

საქართველოს ტექნიკური უნივერსიტეტი

გრანტი №071-13

შენობა-ნაგებობების მონიტორინგის და დიაგნოსტიკის
კომპლექსური მეთოდოლოგიის დამუშავება

შემაჯამებელი ანგარიში

ხელმძღვანელი: პროფესორი /ა. წაჭაბე/

ქადაგებულებები: პროფესორი /თ. ბაციკაძე/
პროფესორი /გ. წიქარიშვილი/
აკ. დოქტორი /გ. ვარდიაშვილი/

თბილისი

2014 წელი

სარჩევი

ეტაპი I		3
I.1.	შესავალი	3
I.2.	შენობა-ნაგებობების დეგრადაციის და რემონტის დაგეგმვის პროგნოზირების არსებული მეთოდიკა	7
I.3.	დეფორმაციების და ბზარების მონიტორინგის არსებული მოწყობილობები და სისტემები	12
I.4.	შენობების და სამშენებლო კონსტრუქციების მონიტორინგის სახეები	17
I.5.	მოწყობილობები მონიტორინგისათვის	20
I.6.	შენობა-ნაგებობების მონიტორინგის სისტემები	25
I.7.	მონიტორინგის და დიაგნოსტიკის კომპლექსური სისტემები	34
I.8.	შენობების და ნაგებობების სივრცითი დეფორმაციის მონიტორინგი	49
ეტაპი II		77
II.1.	შესავალი	77
II.2.	შენობა-ნაგებობების ზღვრული მდგომარეობის შესწავლა დაზიანებების გათვალისწინებით	78
II.3.	დაზიანებული შენობა-ნაგებობების უსაფრთხოება, ხანგამძლეობა და მარაგი (რესურსი)	88
ეტაპი III		93
III.1.	შესავალი	93
III.2.	კონსტრუქციის რღვევის აქტიურ ზონებში ვიზიალური და ინსტრუმენტალური ძიების მეთოდიკა	94
III.3.	აკუსტიკური ემისიის და ულტრაბგერითი კონტროლის მეთოდებით აღმოჩენილი დაზიანებების უკონფიდენციალური თეორიის გამოყენება	111
III.4.	ბზარის გავრცელების კოორდინატების სიგრძის და მიმართულების განსაზღვრის მეთოდი და მოწყობილობა	113
ეტაპი IV		116
IV.1.	ქ. თბილისში ყიფშიძის ქ. №20ა-ში მდებარე საცხოვრებელი შვიდსართულიანი შენობა	116
IV.2.	სხვა ტიპის თბილისშიძისათვის სივრცითი მოდელის გამოყენების შესაძლებლობა	138
IV.3.	ქ. ტყიბულში ამბროლაურის გზის მიმდებარე სანიტალურ ზონაში საფილტრი სადგურის შენობა (გადახურვის, „ПКЖ“-ის ტიპის ფილის ავარიულ ჩამოშლასთან დაკავშირებით სახურავის ავარიული მდგომარეობის შესწავლა-გაანალიზება) გამოყენებული ლიტერატურა	151
		170

**I. შენობა-ნაგებობების ტექნიკური მდგომარეობის მონიტორინგის და
დიაგნოსტიკის არსებული მეთოდების, მოწყობილობებისა და სისტემების
მიმოხილვა და ანალიზი**

I.I. შესავალი

დასმული პროცედურის გამოყოფა და გადაწყვეტა განპირობებულია, პირველ
რიგში, იმით, რომ კონსტრუქციების მზიდი ძლიერდატვირთული ელემენტების
მსევილმასშტაბიანი მექანიკური დაზიანებები და რღვევები, როგორც წესი იწვევენ
მაქსიმალურ ზარალს. ამა თუ იმ ავარიული სიტუაციის რეალიზაციიდან მიღებული
ჯამური ზარალი მნიშვნელოვნადაა დამოკიდებული კონსტრუქციების, მოწყობილობების,
დაცვის სისტემების და სხვათა ელემენტების რღვევის ან მექანიკური დაზიანების
ხარისხზე. მაგალითად, აშშ-ს სტანდარტების ნაციონალური ბიუროს მონაცემების
მიხედვით აშშ-ს ეკონომიკაში ჯამური ხარჯები, დაკავშირებული კონსტრუქციების
გაუთვალისწინებელი რღვევებისგან მიყენებული ზარალის ანაზღაურებასთან, აგრეთვე
რღვევების აღკვეთისკენ მიმართულ დონისძიებებთან, შეადგენს ათეულ და ზოგჯერ
ასეულ მლნ დოლარს წელიწადში.

ავარიებისა და კატასტროფების შედეგად კონსტრუქციების მზიდი ელემენტების,
სახელდობრ მსევილმასშტაბიანმა რღვევამ შეიძლება მიგვიყვანოს შესაძლო
მაქსიმალურ ზარალთან. ეს რღვევები უშეალოდ კავშირშია, როგორც ადამიანური
ფაქტორის უზარმაზარი როლის გამოვლინებასთან, ისე შიგა (მატერიალური) და გარე
(მექანიკური ზემოქმედებები) ფაქტორების მნიშვნელოვან როლზე. ამას გარდა,
ავარიების და კატასტროფების გაჩენას და მიმდინარეობას, როგორც წესი, თან ახლავს
არსებული ტექნოლოგიური დეფექტების გავრცელება და ძაბვების მომატებული
კონცენტრაციის ზონებში ბზარების წარმოქმნა. ამიტომ შენობა-ნაგებობების
უსაფრთხოების უზრუნველყოფის პროცედურების გადაწყვეტა მდგომარეობს მექანიკური
ბზარების კრიტერიუმების მიხედვით ძლიერ დაზიანებულ მდგომარეობაში
კონსტრუქციის მზიდი ელემენტების უსაფრთხოების და სიცოცხლისუნარიანობის
უზრუნველყოფის ამოცანების გადაწყვეტაში. შენობა-ნაგებობების ავარიული
მდგომარეობის წარმოქმნისას მატერიალური და მექანიკური ზემოქმედების
მნიშვნელოვანი გამოვლინებების მიზეზები მდგომარეობს შემდეგში:

- ანგარიშის და კონტროლის თანამედროვე მეთოდების, თანამედროვე
ტექნოლოგიების არასაკმარისი დანერგვა, აგრეთვე მოძველებული ნორმების და
სტანდარტების გამოყენება;
- უსაფრთხოების პროცედურასთან თანამედროვე სამუცნიერო მიღების
არასაკმარისი შემუშავება და გამოყენება;

- პრინციპულად ახალი უდევექტო მაღალი სიმტკიცის კონსტრუქციების და მაღალ სიცოცხლისუნარიანობის მასალების არარსებობა.

ამგვარად, მექანიკური კატასტროფების ფარგლებში შენობა-ნაგებობების უსაფრთხოების და სიცოცხლისუნარიანობის უზრუნველყოფის და ანალიზის მეცნიერული საფუძვლების შექმნა საკმაოდ პერსპექტიულია.

ჩვენი კვლევა უპირველეს ყოვლისა ხასიათდება გამოკვლევის თავისი ობიექტით ან საგნით, აგრეთვე მეთოდებით, რომელთა საფუძველზეც წარმოებს მიმართულების ფორმულირების ფარგლებში შესასწავლი მოვლენების და პროცესების ანალიზი.

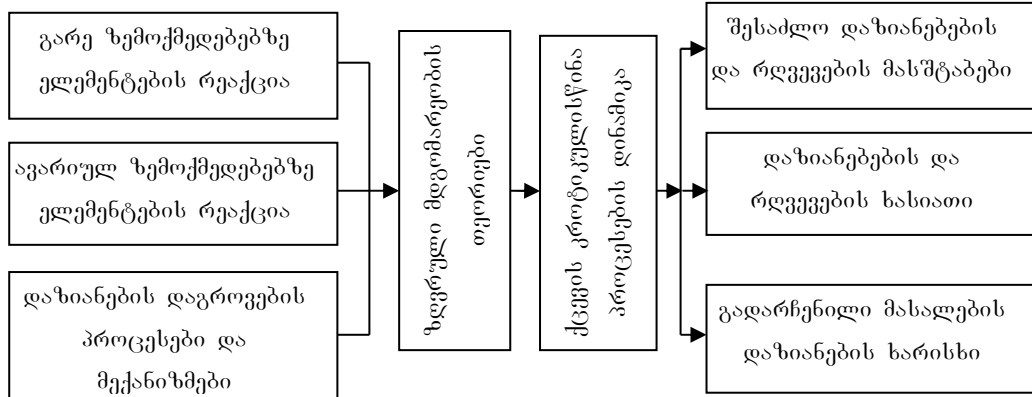
კვლევის საგანს წარმოადგენს მექანიკურ დაზიანებებთან და რდვევებთან დაკავშირებული ავარიები, რომელთა შედეგების, უსაფრთხოების თვალსაზრისით, აქვს პრინციპული მნიშვნელობა (ანუ ის ავარიები, რომლებიც ხასიათდება დიდი ზარალით). მონიტორინგი და დიაგნოსტიკა საშუალებას იძლევა გავაანალიზოთ შემდეგი ავარიული სიტუაციები: რდვევები, ვარდნა, ჩამონგრევა, შეჯახება, აფეთქებები, ხანძრები, რადიაციულად საშიში და მომწამლავი ნივთიერებების უწყვეტი და ზალპისებრი გამოტყორცნა. ჩვენი კვლევა ემყარება მასალათა გამძლობის ტრადიციულ და ახალ განვითარებად მეთოდებს, დრეკადობის თეორიას, სამშენებლო მექანიკას, ფირფიტების და გარსების თეორიას, სიმტკიცის თეორიას, კონსტრუქციულ მასალათმცოდნეობას, სიმტკიცის ფიზიკას, მანქანების დინამიკას, მთლიანი და დისკრეტული სისტემების გამოთვლით მექანიკას, სითხეების და აირების მექანიკას, საიმედოობის თეორიაზე რდვევის წრფივ და არაწრფივ მექანიკას, ტრიბოლოგიას, საზომ ტექნიკას და კომპიუტერული კომპლექსური პროგრამების გამოყენებას.

მონიტორინგის და დიაგნოსტიკის მეთოდები – ესაა სიმტკიცის თეორიული მდგრმარეობის და პრინციპების მეცნიერებული მოდელების ერთობლიობა, მათ შორის ბზარების, დიდი პლასტიკური დეფორმაციების, ექსტრემალური დატვირთვების, დინამიკური უფექტების, ფიზიკური წარმოშობის და კოროზიული არებიდან გამოწვეული დაზიანებების ჩათვლით. ამას გარდა, დაზიანებების და რდვევების თავდაპირველ და შემდგომ სტადიებს შეუძლიათ გამოიწვიონ ავარიული სიტუაციების განმეორებითი გამოვლინება, ისეთები, როგორიცაა რადიაციული და ტოქსიკური ნივთიერებების გამოტყორცნა, აფეთქებები, ხანძრები და ა. შ. ეს გამოვლინებები მნიშვნელოვნად ართულებენ კატასტროფული რდვევების შემდგომი სტადიების მექანიკის ანალიზს. ამიტომ ჩვენი კვლევები ეყრდნობა სიმტკიცესთან მოსაზღვრე საგნების თეორიულ დასკვნებს და ექსპერიმენტულ შედეგებს, ისეთებს, როგორიცაა აფეთქებების თეორია, აირების და სითხეების მექანიკა და ა.შ. ამგვარად, რდვევის მექანიკის დამაკავშირებელი პრობლემები მნიშვნელოვან ადგილს იკავებენ ჩვენს კვლევებში.

ჩვენი კვლევების ძირითად სამეცნიერო ამოცანებს წარმოადგენს: დაზიანებების დაგროვების პროცესების კვლევა, კონსტრუქციების ელემენტების რეაქცია გარე და

შიგა (მათ შორის ავარიული) ზემოქმედებებზე, ზღვრული მდგომარეობის თეორიის განვითარება და კონსტრუქციის ელემენტების კრიტიკულისტინა ქმედების პროცესი, რომლებსაც მიგეავართ ამა თუ იმ შედეგებამდე, აგრეთვე დაზიანებული შენობანაგებობების კრიტიკული, გარდამავალი, კრიტიკულის წინა და დასაშვები მდგომარეობების თეორიების შექმნა.

მექანიკური კატასტროფების ფარგლებში გამოკვლევების სხვადასხვა მიმართულების ურთიერთქმედების სქემატური სტრუქტურა წარმოდგენილია ნახ. I.1-ზე.



ნახ. I.1 კრიტიკული, გარდამავალი, კრიტიკულის წინა და დასაშვები მდგომარეობების სქემატური სტრუქტურა

რდვევის მექანიკა, როგორც ფუნდამენტალური სამეცნიერო დისციპლინა ტექნიკურ დიაგნოსტიკაში, უნდა განვიხილოთ სამეცნიერო საფუძვლის სახით, რომელიც გამოიყენება მომატებული პოტენციური საშიშროების რთულ შენობანაგებობებში ავარიული და კატასტროფული სიტუაციების გაჩენის წყაროების და განვითარების სცენარების ანალიზისათვის. ამასთან დაკავშირებით ჩნდება დიდი მოცულობის კვლევების ჩატარების აუცილებლობა, რომელიც დაკავშირებულია კატასტროფების და ავარიების გაჩენის და განვითარების სხვადასხვა სტადიებზე სიმტკიცის, რესურსის და საიმედოობის კრიტერიუმების მიხედვით ობიექტების ზღვრული მდგომარეობის გაჩენის პირობების შესწავლასთან. ავარიების და კატასტროფების სცენარების საანგარიშო ანალიზი უნდა განხორციელდეს ეტაპობრივად ტრადიციული საინჟინრო მიდგომების უწყვეტი განვითარების გათვალისწინებით:

- სიმტკიცეზე, სიხისტეზე და მდგრადობაზე (მასალების წინააღმდეგობის მეთოდების გამოყენებით);
- სიმტკიცეზე და ციკლურ რესურსზე, ხანგამძლეობაზე (მრავალი და მცირე ციკლური დაღლილობის თეორიების მეთოდების გამოყენებით);
- სიმტკიცეზე და დროებით რესურსზე, ხანმედეგობაზე (დენადობის და ხანგრძლივი სიმტკიცის თეორიების მეთოდების გამოყენებით);

- დინამიკურ სიმტკიცეზე და რესურსზე (დეფორმირების და რღვევის დინამიკის მეთოდების გამოყენებით);
- ბზარმედეგობაზე (რღვევის წრფივი და არაწრფივი მექანიკის მეთოდების გამოყენებით);
ამასთან მონიტორინგის და დიაგნოსტიკის ფარგლებში გამოიყენება:
- ზემოთხსენებული თეორიების და დისკიპლინების ანალიზური მეთოდები;
- რიცხვითი მეთოდები (სასრულ ელემენტთა სასრული სხვადასხვაობის მეთოდები, ვარიაციული მეთოდები);
- ექსპერიმენტალური მეთოდები (ნიმუშების, მოდელების და ნატურული კონსტრუქციების მექანიკური ცდები);
- კომბინირებული მეთოდები (ანალიზურის, რიცხვითის და ექსპერიმენტალურის ერთობლიობა).

მაქსიმალური პიპოთეზური ავარიების აქტიური შემუშავება საშუალებას იძლევა მოხდეს მონიტორინგის და დიაგნოსტიკის ფარგლებში შენობა-ნაგებობების შესწავლის შემდეგი პირველი რიგის ამოცანების ფორმულირება:

- სისტემის ელემენტებზე მომქმედი გარე დატვირთვების სისტემის დადგენა როგორც ნორმალურ, ისე ავარიულ პირობებში მისი ექსპლუატაციის რეალური პირობებიდან გამომდინარე;
- ძლიერ დატვირთული მზიდი ელემენტების დაძაბულ-დეფორმირებული მდგომარეობის შესწავლა გარე და შიგა დინამიური დატვირთვების გათვალისწინებით;
- შენობა-ნაგებობების კონსტრუქციების ელემენტების, სიმტკიცის, დაზიანების და შესაძლო რღვევის მასშტაბების შეფასება;
- ასეთი დაზიანებების და რღვევების შედეგების შეფასება;
- კატასტროფული და საშიში დაზიანებებისაგან გამოწვეული შესაძლო ზარალის შემცირების ან გამორიცხვისათვის რეკომენდაციების და ზომების შემუშავება.

რაც შეეხება უკანასკნელ პუნქტს, კატასტროფული დაზიანებების აღკვეთის მოთხოვნები, ზოგადად, წარმოადგენს საყოველთაოდ მიღებულს და რთული შენობა-ნაგებობების ფუნდამენტალური მოთხოვნებიდან ერთერთს – მსხვილი ავარიების აღკვეთის მოთხოვნები, რომლებიც მიზნად ისახავენ აღმიანების და გარემომცველი არის გამიჯვნას ტექნიკური ზემოქმედებისაგან, რომლებსაც აქვთ ძნელად წინასწარმეტველებადი შედეგები.

ძლიერ მნიშვნელოვანია სამი ძირეული პრინციპის შემუშავება, რომელთა შემდგომი დანერგვა პრაქტიკაში საშუალებას მოგვცემს აღკვეთოს მსხვილმასშტაბიანი რღვევები. ეს პრინციპებია ხარისხის უზრუნველყოფა, პერიოდული ან უწყვეტი დიაგნოსტიკის და ოპერატორული ანალიზის უზრუნველყოფა. უარესი შემთხვევის დაშვება.

ხარისხის უზრუნველყოფის პრინციპი მეტყველებს შენობა-ნაგებობების ელემენტების საიმედოობის მაღალი ხარისხის მიღწევის აუცილებლობაზე მასალების არჩევის, ტექნოლოგიური დამუშავების, წარმოების ხარისხის გარანტიის, ექსპლუატაციის და სხვათა ხარჯზე.

უარესი შემთხვევის დაშვების პრინციპი მიუთითებს შესაძლო ავარიული სიტუაციის შესწავლის აუცილებლობაზე, პიპოთეზური ავარიის განხილვის ჩათვლით, ამასთან ამ პრინციპის შესაბამისად აუცილებელია ორიენტირება მოხდეს გარემოებების ყველაზე არახელსაყრელ განვითარებაზე.

პერიოდული ან უწყვეტი დიაგნოსტიკის და ოპერატიული ანალიზის პრინციპი შეიცავს შენობა-ნაგებობების ელემენტების მდგომარეობაში გადახრების ადრეულ აღმოჩენასთან და შესაძლო შემდგომი ექსპლუატაციის გადაწყვეტილების მიღებასთან დაკავშირებულ ამოცანებს.

I.2. შენობა-ნაგებობების დეგრადაციის და რემონტის დაგეგმვის პროგნოზირების არსებული მეთოდიკა

რემონტის პროგნოზირების მეთოდიკის ანგარიშის ამოცანებს წარმოადგენს: ბიუჯეტის ანგარიში სამოქალაქო ნაგებობების შენახვასა და რემონტებზე უახლოეს წელიწადში; ბიუჯეტის საორიენტაციო ანგარიში (პროგნოზირება) და ოპტიმიზაცია შენახვისა და მათი რემონტებისათვის დასაგეგმ პერიოდში, მათ შორის არსებული ბიუჯეტური შეზღუდვების ჩათვლით, რომელიც შეიცავს ნაგებობის დეგრადაციის პროგნოზს გეგმიური პერიოდის განმავლობაში; სარემონტო ზემოქმედებების არარსებობა, სარემონტო ზემოქმედებების შესრულება ოპტიმიზირებული გარაფიკის მიხედვით, რემონტების შესრულების გრაფიკის განსაზღვრა, სპეციალური გამოკვლევების ჩატარება და შესაბამისი საპროექტო დოკუმენტაციის გამოშვება.

ანგარიშის ობიექტს წარმოადგენს სატიტულო სის საზღვრებში ნებისმიერად შეკრეული ნაგებობა. არჩევა ფორმირდება სპეციალური პროცედურის მიხედვით და ეწოდება “დაგეგმვის ობიექტი”.

დასაგეგმ პერიოდს წარმოადგენს 1÷99 წლამდე დროის არჩეული მონაკვეთი, ამასთან ათვლის დასაწყისი იქნება რემონტის დღე, თუმცა რეალური სიზუსტის ჩათვლით, დაკვირვების დასაგეგმი პერიოდის ხანგრძლივობის განსაზღვრა რეპომენდირებულია 10–15 წლით.

დასაგეგმი პერიოდი ჩვეულებრივ იყოფა ორ ეტაპად და მაჩვენებლების ანგარიში ამ ეტაპების მიხედვით წარმოებს სხვადასხვა ალგორითმით. ეს დაყოფა დასაბუთებულია ოთხი, პრინციპულად განსხვავებული სახეობის მოქმედებების

არსებობით, სამოქალაქო საინჟინრო ნაგებობების შენახვისა და რემონტების მიხედვით, რომლებიც შეიცავენ:

- რუბინულ სამუშაოებს: დასუფთავება, მცირე სეზონური რემონტი;
- დანიშნული სარემონტო ზემოქმედებები ე.ი. სამუშაოები, ადრე არ იყო დაგეგმილი, მაგრამ რომლებიც აუცილებელია ჩატარდეს შემდეგი ინსპექციის ჩატარების მომენტამდე;
- დაგეგმილი სარემონტო ზემოქმედებები, რომელთა აუცილებლობა ადრევე იქნა გამოვლენილი და გათვალისწინებული მოცემულ პერიოდში შესრულებისათვის;
- პროგნოზირებული სარემონტო ზემოქმედებები, რომლებიც საჭიროა შენობების საჭირო დონეზე შენარჩუნებისათვის, მათი ბუნებრივი დეგრადაციის გათვალისწინებით მოელი დაგეგმილი პერიოდის განმავლობაში.

მოცემული კლასიფიკაციიდან ჩანს, რომ დასაგეგმი პერიოდის პირველ წელიწადზე ან შემდეგი ინსპექციის ჩატარების მომენტამდე (F_1) ფინანსური მოთხოვნილება, განსაზღვრული I, II, III სახეობების ზემოქმედებებით, რომელიც გამოანგარიშებული უნდა იყოს მაღალი სიზუსტით. ფინანსური მოთხოვნილება მეორე წლიდან პერიოდზე (F_2), განსაზღვრული I და IV სახეობის ზემოქმედებებით, შეიძლება მხოლოდ ვიგარაუდოთ ე.ი. უნდა გამოითვალის მიახლოებით, რამდენად ძალაშია სამოქალაქო ნაგებობების კონსტრუქციების, სტანდარტული ელემენტების ცვეთის, ტრანსპორტის მოძრაობის პირობების, რემონტისათვის გამოყენებული მასალების სხვადასხვაობა, აგრეთვე გაუთვალისწინებელი სიტუაციების გაჩენა. ამიტომ ხანგრძლივი გეგმური პერიოდის განმავლობაში III სახეობის ზემოქმედების ზუსტად გამოანგარიშება შეუძლებელია.

ამგვარად მოელი გეგმური პერიოდის ბიუჯეტი განისაზღვრულია როგორც

$$F = F_1 + F_2 \quad (I.1)$$

ანგარიშის შედეგებში წარმოებს ობიექტის დეგრადაციის პროგნოზირება მოელ გეგმიურ პერიოდზე.

სარემონტო ზემოქმედებების დაგეგმვა მოელ გეგმიურ პერიოდზე, დაწყებული მეორე წლიდან, გამოითვლება დეგრადაციული მოდულის მიხედვით, გამომდინარე მდგომარეობის ფაქტიური კატეგორიის ინსპექციური ფორმის და ელემენტების დაშვების კატეგორიის მითითებიდან, აგრეთვე მდგომარეობის ზღვრულად დასაშვები კატეგორიის დანიშნულებიდან. ბიუჯეტის საორიენტაციო ანგარიში გეგმიური პერიოდის ყოველ (დაწყებული მეორე წლიდან) წელიწადზე, რომელშიც გათვალისწინებულია: დასუფთავება, სეზონური რემონტი და შენახვა იანგარიშება ნაგებობის ფართობის მიხედვით ახალი სამშენებლო ნაგებობების ექსპლუატაციაში ჩაშვების

გათვალისწინებით, აგრეთვე თანმხლები ხარჯების ავარიული მომსახურეობის შემცველობაზე და ტრანსპორტზე.

შემდგომში განიხილება ხარჯები სპეციალურ გამოკვლევებზე და საპროექტო სამუშაოებზე, რომელიც აუცილებელია სარემონტო ზემოქმედებების შესრულებისათვის მოსამზადებლად და საორიენტაციო ხარჯები დანიშნული სარემონტო ზემოქმედებების შესრულებაზე.

ბიუჯეტის ანგარიში შემდეგ წელიწადზე ითვალისწინებს: დასუფთავებას, შენახვას, სეზონურ რემონტებს, თანმხლებ ხარჯებს ტრანსპორტის და ავარიული მომსახურეობის შენახვაზე (ზემოთ აღნიშნულის ანალოგიურად), აგრეთვე ხარჯებს ინსპექციის სამსახურის მიერ დანიშნული სარემონტო ზემოქმედებების შესრულებაზე და ხარჯებს წინასწარ დაგეგმილ სპეციალურ გამოკვლევებზე და საპროექტო სამუშაოებზე, რომლებიც აუცილებელია სარემონტო სამუშაოების შესრულების მოსამზადებლად, რაც განისაზღვრება როგორც პროცენტი სარემონტო ზემოქმედებების საორიენტაციო ღირებულებიდან.

დამატებით ჩაითვლება ხარჯები წინასწარ დანიშნულ და დაგეგმილ სარემონტო ზემოქმედებების შესრულებაზე, რომლებიც გათვალისწინებულია სარემონტო დოკუმენტაციის მონაცემების საფუძველზე.

ბიუჯეტის ანგარიშის და სარემონტო ზემოქმედებების დაგეგმვის შედეგები არჩეული სტრატეგიისათვის წარმოდგენილია, როგორც მთლიანობაში ობიექტის დასაგეგმად ისე მასში შემავალი ყოველი ნაგებობისათვის. საძიებო მონაცემების გამოყენებით ყოველი კონკრეტული ნაგებობის შედეგების ანალიზისას შეიძლება დავაზუსტოთ სტრატეგია და ვაწარმოოთ ახალი ანგარიში სარემონტო დანიშნულების კორექტირებული ცხრილების ბაზაზე. ეს გახსნის იტერაციული დაგეგმვის დამატებით შესაძლებლობას.

სტანდარტული ელემენტების დეგრადაციის აღწერა სარემონტო ზემოქმედებების არარსებობისას

ფინანსური მოთხოვნილების ძირითადი ანგარიში გეგმიურ პერიოდზე, დაწყებული მეორე წლიდან წარმოადგენს ნაგებობის ტექნიკური მდგომარეობის დეგრადაციის მოდულს.

სამოქალაქო საინჟინრო ნაგებობების და კერძოდ მათი ელემენტების ფუნქციონალური თვისებების დარღვევის ხანგრძლივი შესწავლის საფუძველზე დადგენილია, რომ განხილული შემთხვევისათვის ცვეთის ნებისმიერი რაოდენობრივი მახასიათებლის ცვლილება შეიძლება იყოს აღწერილი დროის მონაკვეთის მიხედვით განსაზღვრული ფუნქციით $[O;T]$.

$$I = e^{\lambda}(t - T_0) = 1 \quad (I.2)$$

სადაც: I – ნორმატიული ფარდობითი ცვეთა;

t – დროის მიმდინარე მომენტი, წელი;

T – მუშაობის ნორმატიული ვადა, წელი;

T_0 – დეფექტების გარეშე ექსპლუატაციის პერიოდი, წელი;

λ – ზღვრული პირობიდან გამოანგარიშებული ნორმირების კოეფიციენტი

$$\frac{I}{t} = T = 1 \quad (I.3)$$

ანუ ყოველი სტანდარტული ელემენტისათვის:

$$\lambda = 0.693 / (T - T_0) \quad (I.4)$$

სინამდვილეში სხვადასხვა ელემენტების ზღვრულ მდგომარეობას შეესაბამება ფარდობითი ცვეთის სხვადასხვა აბსოლუტური მნიშვნელობები (ჩვეულებრივ 70÷100%-ის დიაპაზონში), რომლებიც დაინიშნებიან კონსტრუქციული ნაგებობებიდან. შეიძლება ჩაითვალოს, რომ ”მუშაობის ნორმატიულ ვადას” შეესაბამება “ზღვრული მდგომარეობა”, გაგებული როგორც 100% ნორმატიული ცვეთა ($I = 1$).

ტექნიკური მდგომარეობის დეგრადაციის მთელი დიაპაზონი დახასიათებული ნორმატიული ცვეთის (I) ცვლილებით, იყოფა 5 კატეგორიად: სამი ძირითადი და ორი შუალედური, ცხრილი I.1.-ის შესაბამისად.

ცხრილი I.1. ელემენტების მდგომარეობის კატეგორიის განზოგადებული მახასიათებლები

კატეგორია	მახასიათებლები	მაქსიმალური ცვეთა $I_0, \%$
1	2	3
1	ნორმალური ფუნქციონირება, დამაკმაყოფილებელი გარე სახე	20
1.5	შუალედური 1	40
2	ნორმალური ფუნქციონირების დარღვევა, განსაზღვრულ დატვირთვების ან/და მოძრაობების შეუძლებლობა, არადამაკმაყოფილებელი გარე სახე, შემდგომი ექსპლუატაცია ნეგატიურად მოქმედებს მზიდ ელემენტებზე	60 (დასაშვები)

1	2	3
2.5	შეალედური 2	80
3	ცალკეული ელემენტების მტყუნება, საჭიროა დატვირთვების და/ან მოძრაობის შეზღუდვა, ცუდი გარე სახე	100 (ზღვრული)

ყველა ელემენტის ფაქტიური მდგომარეობის იდენტიფიკაცია წარმოებს მასზე ამა თუ იმ “მდგომარეობის კატეგორიის” მიკუთვნების გზით. შემდგომი ანგარიშისათვის მიიღება, რომ ელემენტის ფაქტიური ცვეთა ტოლია

$$I = 0.5(I_P(i) + I_P(i+1)) \quad (I.5)$$

სადაც: i – მდგომარეობის კატეგორიის ნომერი;

$$I_P(i) - i\text{-}ური კატეგორიის მაქსიმალური ცვეთა.$$

მაგალითად, თუ ელემენტს მიეკუთვნება მდგომარეობის “2” კატეგორია, მისი ფაქტიური ცვეთა გაიგება როგორც 50%, თუ მდგომარეობის “2.5” კატეგორია – 70%.

ელემენტის მდგომარეობის შემდგომ პროგნოზირებას აწარმოებენ რაოდენობრივი ცვეთის მაჩვენებლებში. ამგარად, ცნება “მდგომარეობის კატეგორია” საჭიროა მხოლოდ ელემენტის ცვეთის დონის იდენტიფიკაციისათვის და ამ მიზნით ისაზღვრება დეგრადაციის პროგნოზის სიზუსტე.

ითვლება, რომ რაც უფრო მაღალია მდგომარეობის კატეგორიის რიცხვი, მით უფრო შესაძლებელია ელემენტის დეგრადაციის უფრო ზუსტი პროგნოზირების მიღწევა. აქ ამოცანა მდგომარეობს, იმაში, რომ კატეგორიის დეტალური დაყოფა მოითხოვს ნაგებობის უფრო შრომატებად და ხანგრძლივ გამოკვლევას. სამოქალაქო ინჟინერული ნაგებობების ექსპლუატაციის მუშაობის რეალური შესაძლებლობების, აგრეთვე დაგროვილი გამოცდილების გათვალისწინებით დადგენილია, რომ 3-5 კატეგორიიანი დაყოფა იძლევა დამაკმაყოფილებელი სიზუსტის უზრუნველყოფის საშუალებას.

i -ური მდგომარეობის საზღვრებში ელემენტის მუშაობის დრო განისაზღვრება ფორმულით:

$$(T_P)_1 + (In[(I_P)_1 + 1]) = I_n[(I_P)_1 + I] / \lambda \quad (I.6)$$

თუ $i > 1$ $i = 1 - \text{სას}$

$$(TP)_i = \lambda In[(I_P)_1 + 1] + T_0 \quad (I.7)$$

ფარდობითი (პროცენტული) ცვეთის მიხედვით მდგომარეობის კატეგორიის შეფასებისას ნარჩენი რესურსის მნიშვნელობის გამოთვლა მოსახერხებელია ნებისმიერი მიმდინარე ცვეთის სიდიდისათვის (I_t) :

$$R = \frac{T - T_0 + 1}{\lambda n(I_t + 1)} \quad (I.8)$$

თუ $T_0 = 0$, მაშინ

$$R = \frac{T - 1}{\lambda n(I_t + 1)} \quad (I.9)$$

მაშინ, რადგანაც ამ შემთხვევაში $\lambda = 0.693/T$

ნარჩენი მარაგის ფარდობითი სიდიდე შეაღენს

$$R' = \frac{R}{T} = 1 - 1.443 \ln(I_t + 1) \quad (I.10)$$

(I.8)–(I.10) ფორმულები საშუალებას გვაძლევენ გამოვითვალოთ ელემენტის ნარჩენი მარაგი მუშაობის მთელ პერიოდში რემონტების არარსებობის პირობისას.

ამასთან უნდა გავითვალისწინოთ, რომ ეს მაჩვენებლები ემყარება “ნორმატიული ანგარიშის” ცნებას, ხოლო უკანასკნელი, განსაზღვრის მიხედვით, გამოიყენება მხელოდ ნორმალური ექსპლუატაციის პირობებში, ე.ო. როდესაც ნაგებობების ყველა ელემენტი ინარჩუნებს მუშაუნარიანობას.

I.3. დეფორმაციების და ბზარების მონიტორინგის არსებული მოწყობილობები და სისტემები

ბეტონის და რკინაბეტონის კონსტრუქციების ხანგამებლეობა პირდაპირაა დამოკიდებული ძალოვან ზემოქმედებებზე და გარემოს გავლენაზე. ექსპლუატაციის დროს რკინაბეტონის ძალური წინაღობის განმასხვავებელ განსაკუთრებულობას წარმოადგენს მისი ანიზოტროპია და შეუქცევადობა, აგრეთვე არაწრფივი არათანაბარი დეფორმაციულობის რეზიმ-მემკვიდრეობითი სპეციფიკაცია. რეალურ დროში დამდგარი დომინანტური მდგენელი მიმართულია ქალაქის ინფრასტრუქტურის ნაგებობების რენოვაციის და რეკონსტრუქციის მოცულობების ზრდისაპერ. მათ რიცხვში შედის: ტრანსპორტის და ფეხითმოსიარულეთა მიწისზედა და მიწისქვედა ჩაწყობის კვანძები; სანაპირო არხების საყრდენების კედლები, ნაგებობები რელიეფის სტაბილურობის შენარჩუნებისათვის; საინჟინრო ნაგებობების მრავალრიცხვანი სპექტრი. ცხადია, რომ სამოქალაქო აგლომერაციის სტაბილური და ავარიის გარეშე განვითარება შეუძლებელია ქალაქის არსებული და ახლად აშენებული საინჟინრო ინფრასტრუქტურის მონიტორინგის სისტემის ჩაღაბების გარეშე. მონიტორინგის სისტემის ერთ-ერთი მდგრელი შეიძლება იყოს ნაგებობისა და კონსტრუქციის დეფორმაციების და ბზარების ანალიზი.

დეფორმაციის თანამედროვე მონიტორინგი შეიძლება ჩატარდეს ოპტიკურ-ბოჭკოვანი სისტემის გამოყენებით. ამ სისტემის მუშაობის პრინციპი მდგომარეობს

შემდეგში: სინათლის სხივი აღწევს ოპტიკურ ბოჭკოში, რომელსაც აქვს მკვეთრი გადაღუნვა. სინათლის სხივის ნაწილი იკარგება, გადის რა ბოჭკოს კედელში, იმ დროს როცა მისი მეორე ნაწილი აირეკლება უკანვე სინათლის წყაროს მხარეს. ეს გადაღუნვა მიიღება სამი ბოჭკოს სპეციალური ხერხით გადახლართვით ისე, რომ წარმოიქმნას კაბელი. კაბელის ახლოს გადაღუნვა ე.წ. “მიკროღუნვის მხარე”, იჭიმება, რადგან ბოჭკოები დაძაბულია დიდი რაოდენობის სინათლის არეკლის შედეგად.

დროის ნებისმიერ მომენტში შეიძლება განისაზღვროს გადამწოდის გადახრა თავდაპირველი მდგომარეობიდან გამოსხივებული და არეკლილი სინათლის კონის ინტენსიურობის სხვაობის მიხედვით.

კონსტრუქციულ ელემენტებში გადანაცვლებების გამზომი გადამწოდის სიზუსტე შეადგენს $\pm 0.02\text{მმ}$ -ს $2 \div 5$ სმ-მდე სიგრძის გადამწოდებისათვის. 6-8 თვის ამოწურვის შემდეგ სისტემის სიზუსტე მცირდება $\pm 0.1\text{მმ}$ -მდე, ათვლილი თავდაპირველი მნიშვნელობიდან. ოპტიკურ-ბოჭკოვანი გადამწოდის ცდომილება დეფორმაციის გაზომვისას შეადგენს 3%. სისტემის კონსტრუქცია საშუალებას იძლევა დავარეგულიროთ გამოსაკვლევი დეფორმაციის მგრძნობიარობა და გარემო. განხილული სისტემა იძლევა საშუალებას დავაკვირდეთ როგორც ერთეულ ბზარებს, ისე რიგი ბზარების ქცევას გამოსაკვლევი ზონის საზღვრებში. ბზარების ადგილმდებარეობის განსაზღვრა ხდება ორ საფეხურად: ჯერ შუქის მილევის მეთოდის მიხედვით სენსორი ადგენს გადამწოდის სიგრძის სრულ ცვლილებას ერთი ბოლოდან მეორემდე და მუშაობს, როგორც გამაფრთხილებელი სისტემა, იტყობინება, რომ რადაც მოუკიდა გამოსაკვლევ ელემენტს. ამ დროს დგინდება ფაქტი, რომ ადგილი ჰქონდა რაღაც გადაადგილებას, გადამწოდი დროებით ხდება ოპტიკური ამრეკლი, რომელიც წარმოადგენს სენსორის შიგნით დეფორმაციის გადანაწილების დასადგენ მოწყობილობას, რაც იძლევა სენსორის შიგნით შუალედურ კვანძურ წერტილებში მაქსიმალური დეფორმაციული არის განსაზღვრის შესაძლებლობას, რითაც სენსორი მიმაგრებულია კონსტრუქციაზე.

ამოსავალი მონაცემები მიიღება როგორც უშუალოდ საინჟინრო ნაგებობაზე, ისე მოშორებული წერტილებისათვის.

ბზარების და დეფორმაციების მონიტორინგი აგრეთვე შეიძლება იყოს ჩატარებული ინსპექციის სპეციალისტების რეკომენდაციების მიხედვით არჩეული ხელსაწყოების გამოყენებით, რომლებიც ასრულებენ ნაგებობის გამოკვლევას ან გამოცდილებიდან გამომდინარე.

ამ მიზნისათვის უფრო შესაფერის ხელსაწყოებს შორის შეიძლება იყოს გამოყენებული მექანიკური გადამწოდები. მათში ბერკეტული და გორგოლაჭიანი კავშირი ადიდებს ბზარების გახსნის მნიშვნელობას. გადანაცვლებების მნიშვნელობების ზრდა იზომება მგრძნობიარე დისკური გადამწოდებით, ოპტიკური დონეებით ან სხვა ზუსტი გამზომი ხელსაწყოებით. მექანიკური გადამწოდები შეიძლება მიმაგრებული იყოს

გამოსაკვლევ ზედაპირზე ან იყოს დასაშლელი და გადანაცვლებების გაზომვას აწარმოებდეს საყრდენებს შორის, რომლებიც მტკიცედაა დაფიქსირებული ბეტონის ზედაპირზე. მეზობელ განზომილებებს შორის დეფორმაცია შეიძლება გამოთვლილი იყოს როგორც გადამწოდების მაჩვენებლებს შორის სხვაობა ან ინვარულ ლარტყაზე გადათვლით.

გადამწოდების სიგრძე ირსევა $112 \div 2000$ მ-მდე. გადაწყვეტის უნარი იზრდება გადამწოდის სიგრძესთან ერთად. ეს გადამწოდები იძლევიან გაზომვის მაღალ სიზუსტეს, მაგრამ მათი დაყენებისათვის აუცილებელია მისადგომობა გასაზომ წერტილებთან და გაზომვის შედეგები უნდა დამუშავდეს ყოველი მოწყობილობისათვის ინდიგიდუალურად.

წინადობის ელექტრონული გადამწოდები წარმოადგენენ მავთულის ბადეს ან ამოჭიმულ სპილენძ-ნიკელის ფოლგას, რომელიც მიმაგრებულია თხელ პლატიკურ ფურცელზე, რომელიც თავის მხრივ მიეკვრება გამოსაკვლევ ზედაპირს. დეფორმაციის განსაზღვრა ხდება გადამწოდის გაჭიმვით ან კუმშვით გამოწვეული ელექტრონული წინადობების ცვლილების გაზომვის გზით. გარემო პირობებთან მაღალი მგრძნობიარობის შედეგად ეს გადამწოდები არ გამოდგებიან მუდმივი მონიტორინგისათვის. დატვირთვის ვიბრაციული მდგენელის განსაზღვრისათვის იყენებენ ვიბროგადამწოდს, ამ ტიპის გადამწოდები წარმოადგენენ მავთულს, გაჭიმულს ორ წერტილს შორის. ბეტონის დეფორმაციებს მივყავართ მავთულის გაჭიმვის ცვლილებასთან, რომელიც აირეკლება რეზონანსული სიხშირის რხევებზე. მავთული აღიგზნება მისი სიგრძის შუაში განთავსებული ელექტრომაგნიტით. ელექტრომაგნიტი ასევე შეიძლება იყოს გამოყენებული ვიბრაციის აღმოსაჩენად და სიხშირულ გასაზომ ხელსაწყოებზე გადასაცემად. მოცემული ტიპის ხელსაწყოებისათვის გადამწოდის სიგრძეები მერყეობენ $12 \div 200$ მმ-ის დიაპაზონში. არსებულ კონსტრუქციებში გადამწოდები უნდა იყოს მჭიდროდ მიმაგრებული ზედაპირზე. გადამწოდის აღწერილი ტიპი განკუთვნილია გარკვეულ მანძილზე მყოფი ელემენტების მონიტორინგისათვის. გადამწოდები შეიძლება მიემაგროს ხიდური ფრთის ნაპირებზე ან სხვა საინჟინრო ნაგებობებზე პირაპირების გადაადგილების მონიტორინგისათვის.

ბეტონის და რკინაბეტონის ტენიანობა არ შეიძლება იყოს განსაზღვრული მხოლოდ საკონტაქტო სინჯის მქონე ინსტრუმენტის გამოყენებით.

არსებობს ნაგებობების კონსტრუქციებში ტენიანობის გაზომვის სამი მეთოდი, რომლებიც იძლევა უკეთეს შედეგებს:

- ქიმიური – ეფრდნობა იმ თვისებებს, რომ განსაზღვრული ქიმიური ნივთიერება შთანთქავს ტენს გაბურდულ დობში არსებული პაერიდან, ტენის შემცველობა გამოითვლება სკალის ფერის ცვლილებით;

- ტევადური - ეფუძნება ელექტრულ ტევადობის ცვლილების გაზომვებს, რომლებიც გამოწვეულია ლიობში არსებული ჰაერის ტენშემცველობით;
- ნამის წერტილი - ეყრდნობა წრიულ გაცივებულ სარკეზე დამუქებების გაჩენის პრინციპს ელექტრო რეგულირებადი სინათლის სხივის გამოყენებით.

ყველა აღწერილი მეთოდი საჭიროებს წინასწარ მომზადებას, რაც მდგომარეობს ხვრელის გაბურღვაში, რომლებიც შეიძლება დახურული იყოს ზედაპირიდან, რათა გავაიოლოთ შემდგომი გაზომვების ჩატარება.

ტემპერატურის მუდმივი მონიტორინგი მომსახურეობისას გვეხმარება კონსტრუქციის ქცევის ანალიზში. წლის განმავლობაში ტემპერატურული ცვლილებებით გამოწვეული ეფექტები შეიძლება 10-ჯერ და მეტადაც აჭარბებდეს, რეალური დატვირთვებით გამოწვეულ ძაბვებს. ამიტომ ტემპერატურა და დეფორმაცია უნდა გაიზომოს ერთდროულად.

არსებობს ტემპერატურის გასაზომი ხელსაწყოების ორი ძირითადი ტიპი:

თერმოწყვილი. თერმოწყვილებში ორი მასალაა გამოყენებული, სხვადასხვა ტემპერატურული მახასიათებლებით, რომლებიც ერთი ბოლოთი მიერთებულია ტემპერატურის მარეგისტრირებელ გასაზომ ხელსაწყოსთან. ორი განსხვავებული მასალის შეერთების წერტილს ეწოდება “გასაზომი დარჩილვა”, ხოლო გასაზომ ხელსაწყოსთან მიერთებულ ბოლოებს - რეპერული წერტილები. ტემპერატურის ცვლილებით გასაზომი დარჩილვის ელექტროწყვილის ელექტრული სიგნალი შეიცვლება. სიგნალის ეს ცვლილება რეგისტრირებული იქნება რეპერული წერტილით. თუ რეპერულ წერტილთან შენარჩუნებულია მუდმივი ტემპერატურა, გასაზომი დარჩილვის ტემპერატურა შეიძლება განისაზღვროს ტარირებული ცხრილებით. თერმოწყვილის დახმარებით ტემპერატურის გაზომვის დიაპაზონი ირსევა $250\text{--}2000^{\circ}\text{C}$. თერმოწყვილის ნაკლს წარმოადგენს შედარებით სუსტი გამაფრთხილებელი სიგნალი.

თერმორეზისტორი. ელექტროგამტარში დენის გატარების წინადობა დაკავშირებულია მათ ტემპერატურასთან. თუ ამ თანაფარდობის წინასწარმეტყველება შესაძლებელია და იგი სტაბილურია, მაშინ შეიძლება ვაწარმოოთ ტემპერატურული გაზომვები. ამ ხელსაწყოებს აქვთ გამოსახვლელი პერსონალურ კომპიუტერთან მისაერთებლად.

აკუსტიკური ემისიის ხელსაწყოები შეიძლება გამოვიყენოთ ბეტონის ან ფოლადის სამოქალაქო ნაგებობებისათვის ბზარწარმოქმნის მონიტორინგის მიზნით. წინასწარდაძაბულ ბეტონის კონსტრუქციაში შეიძლება დავაფიქსიროთ არმატურის კონების რღვევა.

ლაზერული მონიტორინგისას გამოიყენება დოპლერული ტექნოლოგია ნაგებობაზე ან კონსტრუქციულ ელემენტზე ორ ზღვრულ მდგომარეობას შორის გაზომვების ფარდობითი სიჩქარეებისათვის. გასაზომი ბლოკი შეიძლება იყოს,

მაგალითად, ხიდური სვეტები. ეს მეთოდი ხელმისაწვდომია დეფორმაციის გასაზომად საგზაო მოძრაობისას ან რეგულირებული დატვირთვებისას.

ძალოვანი ზემოქმედებების განსაზღვრისათვის იყენებენ აქსელერომეტრებს. ისინი ანხორციელებენ კონსტრუქციის ელემენტების რეაქციის მონიტორინგს არამდგრად დატვირთვაზე, როგორიცაა ნორმალური ან არაორდინალური საგზაო მოძრაობა. აქსელერომეტრი შეიძლება მიერთებული იყოს მუდმივი მონიტორინგის ნებისმიერ სისტემასთან.

ფოლადის არმატურაში ნარჩენი ძაბვების ანალიზი, ნაგებობაზე დარტყმითი ზემოქმედებები, წყალსადენის სისტემის მუშაუნარიანობა აგრეთვე წარმოადგენს ძლიერ მიზგნელოვან საკითხს.

ნაგებობის ტრანსპორტირებად კონსტრუქციაზე დარტყმითი ზემოქმედების გამზომი სისტემები იყენებენ სამდერმულ აქსელერომეტრს, რომელიც დაკავშირებულია გასაზომ ბლოკთან და დამაგრებულია ხიდზე. სისტემის გამაფრთხილებელი სიგნალი შეიძლება მივიღოთ და გავაკონტროლოთ ნაგებობიდან. ელექტრო ან რადიო დაბრკოლებებით გამოწვეული ცრუ სიგნალი შესაძლებელია დაწუნებულ იქნას.

წყალსადენების სისტემის მუშაუნარიანობის მონიტორინგისათვის უნდა გამოვიყენოთ ატმოსფერული ტენიანობის/ტემპერატურის მზომი კომბინირებული გადამწოდი, დაყენებული შენობის ისეთ ზონაში, რომელშიც არის ჰიდროიზოლაციის ნორმალური მდგომარეობა და წყალსადინარი სისტემის გაზრდილი ტენიანობა არ იქნება შენარჩუნებული ხანგრძლივი დროის განმავლიბაში.

ნაგებობის სატრანსპორტო მდგომარეობის მონიტორინგის საფუძველს შეიძლება წარმოადგენდეს ვიდეოკამერის—მოდემის კომპლექსი, რომელიც საშუალებას იძლევა რეალური დროის რეჟიმში დაფიქსირდეს და განუსაზღვრელ მანძილზე გადავცეს 115 კბ-მდე სიჩქარით შავ-თეთრი ან ფერადი ვარიანტი. როგორც წესი, მოდემმა შეიძლება ერთდროულად იმუშაოს 4-8 ვიდეოკამერით, რაც სავსებით საკმარისია საშუალო კლასის ერთ ნაგებობაზე დაკვირვებისათვის.

სამოქალაქო ნაგებობების დისტანციურად დაწვრილებითი დათვალიერების მცდელობები როგორც წესი მოითხოვს გადასაადგილებულ კამერებს ან მათ დიდ რაოდენობას. ასეთი ხელსაწყოების გამოყენებას მივყავართ სისტემის მრავალჯერად გაიაფებასთან და მისი გამოყენება რეკომენდირებულია მხოლოდ განსაკუთრებულ შემთხვევებში.

სამოქალაქო ნაგებობების მუდმივი მონიტორინგისას ინფორმაცია შეიძლება მივიღოთ სამი გზით:

- დისპეჩერულ ცენტრთან მუდმივი გადაცემის გზით სპეციალური კაბელის ან გამოყოფილი სატელეფონო ხაზის, აგრეთვე ქაღაქის ან მობილური ქსელის საშუალებით, სპეციალური მოდემების გამოყენებით;

- დამონტაჟებული გადამწოდებიდან ჩვენებების არაავტომატურ რეჟიმში პერიოდული მოხსნით, კომპიუტერის კომუტირებულ გასაზომ ქსელთან წინასწარი მიერთების გზით;
- სპეციალური დაგროვებითი მოწყობილობებიდან ინფორმაციის პერიოდული მოხსნით. ხილურ ნაგებობებზე დამაგრებული გასაზომი ქსელის გადამწოდებიდან პერიოდულად, ავტომატურ რეჟიმში, ინფორმაციის მიღების განხორციელებით, მონაცემების საკუთარ მეხსიერებაში დაგროვებით.

განხილული სისტემის ინსტრუმენტული აღჭურვის მიხედვით მონიტორინგის და წინადადებების პრაქტიკაში გამოყენება საშუალებას იძლევა ვიწინასწარმეტყველოთ საინჟინრო კონსტრუქციის მზიდუნარიანობის შესუსტების პროცესი და დავდოთ მათი გაძლიერების ადეკვატური საინჟინრო და კონსტრუქციული წინადადებები.

ოპტიმალური გადაწყვეტები უნდა მიგესადაგოთ ყოველი ცალკეული შემთხვევისათვის მონიტორინგის კონკრეტულ ამოცანას, გასაზომი ხელსაწყოების განსაკუთრებულობების ჩათვლით.

მუდმივი მონიტორინგის ერთ-ერთ პრობლემას წარმოადგენს მიღებული ინფორმაციის მნიშვნელოვანი მოცულობა, რომელიც ყოველთვის არაა შესაძლებელი თავისდროულად დამუშავდეს. ამიტომ განსაკუთრებული ყურადღება უნდა მიექცეს ექსპერიმენტის დაგეგმვას, ამოცანების სწორ დაყენებას მონაცემების კომპიუტერული დამუშავების ყველა გამოყენებული მეთოდების აუცილებელი შეკვრით.

I.4. შენობების და სამშენებლო კონსტრუქციების მონიტორინგის სახეები

სამშენებლო კონსტრუქციის უსაფრთხოებას უზრუნველყოფს მისი სიმტკიცე და საიმედოობა, ასევე ამ მაჩვენებლების შესაძლო შემცირების პროგნოზირების შესაძლებლობა, ხანგრძლივი ექსპლუატაციის დროს. თავის მხრივ, სამშენებლო კონსტრუქციების სიმტკიცე და საიმედოობა, როგორც ერთი მთლიანი იქმნება იმ ელემენტების სიმტკიცითა და საიმედოობით, რომლებისგანაც შედგება მოცემული კონსტრუქცია.

ბოლო უკანასკნელი ათწლეულის განმავლობაში, სწრაფად განვითარებადმა სამშენებლო კონსტრუქციების ინდუსტრიამ წინ გაუსწრო ნორმატიულ და რეგლამენტულ მექანიზმებს, მოწოდებულს დარეგულირდეს წარმოების სტანდარტიზაციის საკითხები, ექსპლუატაცია და უსაფრთხოება. შენობის ნებისმიერი კომპონენტი, საჭიროებს ოპერატიულ მონიტორინგს მისი მდგომარეობის შესახებ. ძირითადად ეს არის დინამიკურად დაძაბული მდგომარეობის კონტროლი, რომელიც

ითვალისწინებს მოცულობითი და დროებითი მექანიკური ძაბვების განლაგებას და სიდიდეს.

მაგრამ ყველა დიაგნოსტიკის და კონტროლის საკითხებთან ერთად, შენობა-ნაგაბობების სხვადასხვა კონსტრუქციებს გააჩნიათ მთელი რიგი ნიშნები, რომლებიც არსებითად განასხვავებენ მათ ერთმანეთისაგან რიგ კომპონენტებში. მაგალითისთვის განვიხილოთ ფასადი.

უპირველეს ყოვლისა ფასადი არის გარე მონტაჟის ელემენტი. მეორე ყველა ფასადისათვის დამახასიათაბეჭდი, განმასხვავებელი, როგორც წესი არის დიდი სიბრტყელი ზომები, რისი საშუალებითაც მათ გააჩნიათ დიდი ფართობი ან დიდი გერტიკალური განზომილება. ფასადის ოფისება იყოს შენობის გარე კონტრუქცია და ქონდეს მნიშვნელოვანი გეომეტრიული ზომები თუ განზომილებაში, წარმოადგენს ძირითად მახასიათებელს, რომელიც განსაზღვრავს მონიტორინგისა და მისი მთლიანობის, როგორც სამშენებლო კონსტრუქციის ელემენტის, კონტროლის სპეციფიკას. სხვა ნიშნები როგორიცაა: ტექნოლოგიური და ტექნიკური გადაწყვეტილებების მრავალფეროვნება, წარმოადგენენ პარამეტრებს, განმსაზღვრელს ფასადის ადგილს, ფასადური კონტრუქციების რიგში. ამიტომაც ისინი ითვალისწინებიან, ანგარიშში ფასადის მონიტორინგის ორგანიზებისას, როდესაც კონტროლის საბაზო სისტემა შექმნილია და საჭიროა მისი ადაპტირება კონკრეტული პარამეტრებისათვის.

უეჭველია, რომ დღეისათვის საჭიროა მიღებულ იქნას ზომები სვადასხვა კონსტრუქციის ელემენტების უსაბრთხოების ნორმების დასადგენად პროექტირებისას, მონტაჟისა და ექსპლუატაციისას. მაგრამ უკვე უზნებიერებადი კონსტრუქციებისთვის ყველაზე აქტუალური პრობლემა არის მათი მდგომარეობის მონიტორინგი. მონიტორინგი კონკრეტულ შემთხვევაზე დამოკიდებულობით, შეიძლება იყოს, დისკრეტული—დაგეგმილი კონტროლის ფორმატში (ერთჯერადი გამოკვლევა გარკვეული დროის პერიოდში) ანუ კონტროლი დროის რესურსით, ან “პერპერული” გზით. რაც ითვალისწინებს ფასადის კონსტრუქციის მუდმივ კონტროლს, მრიცხველების საშუალებით. ფასადის მონიტორინგის ორგანიზებისათვის, როგორც დისკრეტული ასევე პერპერული მეთოდით, მშენებლობაში მოიზიდებიან ახალი თაობის მეთოდები.

დავუბრუნდეთ ისევ ფასადებს. ფასადი, როგორც წესი შენობის ნაწილია, რომელსაც გააჩნია მნიშვნელოვანი სიმაღლე და რადგანაც ის შენობის გარე ნაწილია, პრობლემა ერთჯერადი გამოკვლევის, დისკრეტული მონიტორინგისათვის, არის სიმაღლის სპეციალისტების მოწვევის აუცილებლობა. ამასთან მნიშვნელოვანია იმ გარემოების გათვალისწინება, რომ ფასადური კონსტრუქციის ანალიზი – არამხოლოდ “მაღლა მცოცავისთვის” სამუშაოების ჩატარების მაღალ რისკთან არის დაკავშირებული, ერთმნიშვნელოვნად ისაზღვრება, როგორც ოსტატობა, ასევე საქმე, რომელიც ითხოვს ინჟინერ-მშენებლის მაღალ კვალიფიკაციას. სპეციფიკურ პირობებში

ეოფნისას, დიდ სიმაღლეზე სპეციალისტი შეზღუდულია, გამოკვლების ორგანიზების ვარიანტების შერჩევაში. მას ამ შემთხვევაში შეუძლია გამოიყენოს მხოლოდ სამი დიაგნოსტიკის მეთოდი: ვიზუალური მეთოდი, არამრღვევი კონტროლისათვის პორტატული აპარატურის გამოყენება და მასალის ნიმუშის, ან კონსტრუქციის ლოკალური ელემენტის ამოჭრა, შემდგომი ლაბორატორიული კვლევისთვის.

რადგანაც ფასადის დესტრუქციული ცვლილებების მიზეზები და სახეები, რომლებსაც პოტენციურად შეუძლიათ მიგვიყვანონ ავარიულ მდგომარეობამდე, წინასწარ ცნობილი არ არიან, ხოლო ფასადური კონსტრუქციის მრავალფეროვნების გამო ნაკლებად პროგნოზირებადი. ამასთან საჭიროა, ოპერატორულად დამუშავება მიმდინარე ინფორმაციის და ის რაც უკვე ზემოთ ითქვა, სპეციალისტ გვალებარს უნდა გააჩნდეს სიმაღლის სპეცისლისტის მაღალი კვალიფიკაცია და იყოს ინჟინერ-მშენებელი დიდი სამეცნიერო და ტექნიკური გამოცდილებით.

სწორედ ასეთ საკითხებში გამოიყენება საწარმოო ალპინიზმი – სამუშაო ზონაში შემსრულებლის მოხვედრის მეთოდი სიმაღლეზე ალპინისტური ტექნიკისა და მოწყობილობებით კონკრეტული ამოცანის შესასრულებლად, ფასადის გამოკვლევისას. საწარმოო ალპინიზმი ისეთი უნიკალური და ახალია, რომ სამუშაოებისა და პროფესიების რეესტრში მხოლოდ 2001 წელს გამოჩნდა.

ამრიგად დისკრეტული მონიტორინგი მთლიანად და კვალიფიციურად შეიძლება განხორციელდეს საწაროო ალპინიზმის სპეციალისტების მიერ. უნდა აღინიშნოს რომ ოპტიმალურია დისკრეტული მონიტორინგის გამოყენება იმ სიტუაციებში, რომლებიც საჭიროობენ ოპერატორული გადაწყვეტილებების მიღებას. ექსტრემალური საკონტროლო გამოკვლევა ხშირად ხდება ერთადერთი, ფასადის მდგომარეობის შეფასების საშუალება. მაგრამ უნდა აღინიშნოს, რომ უწყვეტი მონიტორინგის სწორი ორგანიზებით შესაძლებელია თავიდან ავიცილოთ მსგავსი სიტუაციების წარმოქმნა.

არსებობს მონიტორინგის ორი სახე:

1. საბაზო მონიტორინგი – რამოდენიმე ძირითადი კვანძების ერთდროული კონტროლის სქემით, წინასწარ განსაზღვრული შემქმნელებისაგან, როგორც პოტენციურად მაქსიმალური რისკის ადგილი, ან იმ კვანძების, რომლებიც იყვნენ განსაზღვრული, როგორც ავარიული მდგომარეობის შექმნის შესაძლო წყაროები, საწარმოო ალპინიზმის სპეციალისტების მიერ საკონტროლო გამოკვლევის დროს.
2. მთლიანი მონიტორინგი – ხელოვნური ნეიროქსელის სქემით, შედგენილი კომპლექსური სენსორების მრიცხველებით. მრიცხველი აკონტროლებს მიცემულ პარამეტრებს და გენერირებს განგაშის სიგნალს პარამეტრების ნორმაზე გადაცდომის შემთხვევაში, რომელიც განისაზღვრება შენობის უსაფრთხო ექსპლუატაციით. ამასთან მრიცხველების სისტემა მოიცავს კონსტრუქციას მთლიანად ისე, რომ კონსტრუქციის ნებისმიერი უბანი იმყოფება რამოდენიმე მრიცხველის კონტროლის ზონაში.

რათქმაუნდა საბაზო მონიტორინგი არის მთლიანი მონიტორინგის კერძო შემთხვევა და შესაბამისად უფრო მარტივი და იაფი მონტაჟისა და ექსპლუატაციისას. საბაზო მონიტორინგი მიზანშეწონილია ექსპლუატაციაში მყოფი ფასადის კონტროლის აუცილებლობისას, რომელიც აგებული იქნა მაკონტროლებელი მრიცხველების გარეშე.

I.5. მოწყობილობები მონიტორინგისათვის

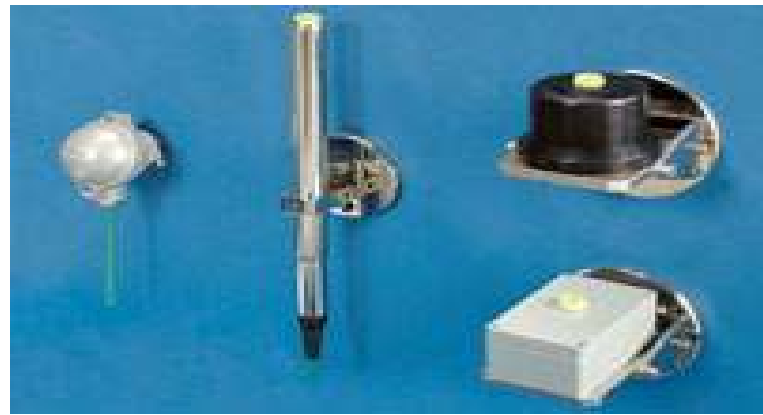
ხელსაწყოვები და მოწყობილობა გაორეგნიკური მონიტორინგისათვის სპეციალიზაციით, კონტროლირებადი პარამეტრებზე დამოკიდებულობით, შეიძლება დაიყოს რამოდენიმე ჯგუფად.

“ინკლინომეტრი და გადახრისმზომი” – ჩასადგმელი და ზედაპირული ციფრული ინდიკაციით.

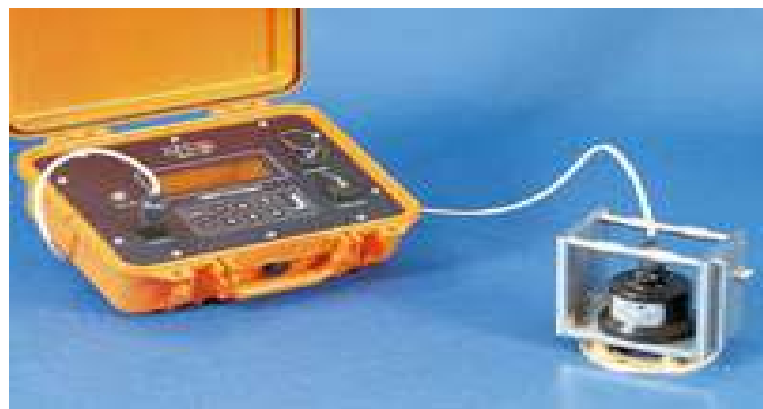
- ინკლინომეტრი მოთვალთვალე სენსორით (ვერტიკალური და პორიზონტალური მოდელი)
- დისტანციური კოორდინომეტრი (TEL-310)
- მრავალფუნქციური მონაცემების რეგისტრატორი (NADIR) გადახრების გასაზომაო (დამუშავების პაკეტით)
- გადასატანი გადახრებისმზომი (TILLI), გაზომვები წარმოებს სპეციალურად, სტაციონალურად დამონტაჟებულ, გადახრად ჭანჭიკზე, როგორც პორიზონტალურ ასევე ვერტიკალურ ზედაპირზე.
- სასიგნალო სისტემა პორიზონტალური გადაადგილებების კონტროლისათვის ფუნდამენტში, შენობა-აგებობებში, ლიფტის შახტების ვერტიკალური გადახრების კონტროლისათვის.



სურ. I.2. მაღალი სიზუსტის ინკლინომერტიული სისტემა Nadir



სურ. I.3. ზედაპირული გადახრების მზომი, მაგნიტორეზისტორული ინკლონომეტრი,
ინკლუნომეტრი აუცილებელი კორექციით



სურ. I.4. გადასატანი პორტატული გადახრების მზომი TILLI

პირაპირებისა და ბზარების კონტროლის მრიცხველი (Jointmeters) ერთეულოვანი და სამ კომპონენტიანი.

- გადაადგილების ტერმინალური მრიცხველი.
- ინტეგრირებული სისტემები (GRID) – 4 მინიატურული, ელექტრული ბზარების მზომი, კომპაქტური რეგისტრატორით.
- მაკრთულოვანი მზომები – გადაადგილების აღმოსაჩენად, (გაფართოვება ან შეკუმშვა) მთის მასებში. ანკერებს შორის მანძილი 30მ-მდე, გაშლის დიაპაზონი 28-მდე.



სურ. I.5. ბზარების მზომი (პირაპირების და ნაკერების კონტროლის მრიცხველი)



სურ. I.6. ელექტრო-დეფორმატორი



სურ. I.7. ბზარების მავთულოვანი მზომი

დატვირთვების მრიცხველი – გრუნტის დატვირთვის მრიცხველს გააჩნია ლითონის დიფრაგმა $D=230\text{მმ}$; მკვრივი მასების გაზომვისას იღებენ მართკუთხა ფირფიტას $1000 \times 2000\text{მმ}$ ბრტყელი ქვესადები საშუალებას იძლევა გავზომოთ ელასტიურობის კოეფიციენტი და ქვის დეფორმაციის შესაძლებლობები, ბეტონის და ადურის წყობის.

ბეტონის დატვირთვების მრიცხველი გამოიყენება გვირაბების მონიტორინგისათვის ბეტონის ფენის შიგნით. გასაზომ უჯრედებს გააჩნიათ დამატებითი

კომპენსატორი, რომელიც აღადგენს დაწოლას (ქვესადებსა და ბეტონს შორის მჭიდრო კავშირის უზრუნველყოფისათვის მონტაჟის შემდეგ).

ტენზომეტრული მრიცხველი – გამოყენება მექანიკური დატვირთვების გასაზომად როგორც ლითონის ასევე რკინაბეტონის კონსტრუქციებში. მოდელების მრავალფეროვნება საშუალებას იძლევა გადავწყვიტოთ სხვადასხვა სახის ამოცანები.

ყველაზე ხშირად მრიცხველ ამონტაჟებენ არმატურაზე ბეტონის შასხმამდე რთული სამშენებლო კონსტრუქციების დამზადებისას, (ხიმინჯები, რიგელები, ან ხიდების მალები)

დატვირთვის ჰიდრავლიკური მრიცხველი – საანკერო მრიცხველი (ელექტრო/ჰიდრავლიკური ან ტენზომეტრული დიაპაზონით 3000 დან 10000კ) საყრდენების მონიტორინგის საშუალებას იძლევა, რკინაბეტონის სვეტში, საანკერო დგარებში, ლითონის სვეტებში, დატვირთვები ხიდის საყრდენებზე.



სურ. I.8. არმატურაზე დეფორმაციის ვიბრაციული მრიცხველის მონტაჟი



სურ. I.9. დაწევის მრიცხველის ელექტრული დუბა



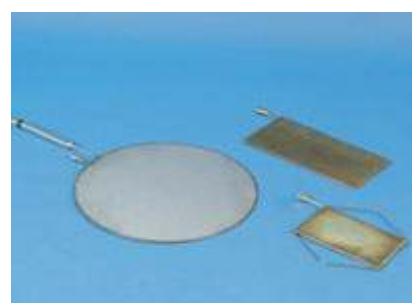
სურ. I.10. ჰიდრავლიკური ანკერი (დაწევის მრიცხველი)



სურ. I.11. ბეტონის დატვირთვის მრიცხველი



სურ. I.12. ელექტრო რეგისტრატორი დატვირთვის მრიცხველი



სურ. I.13. გრუნტის დაწოლის მრიცხველი

რეგისტრატორები და ინფორმაციის შემგროვებლები - მარტივი ციფრული მოწყობილობები და უნივერსალური პორტატული რეგისტრატორები.

- ინილონგერ - განცალკევებული ავტონომიური მონაცემების რეგისტრატორი; მეხსიერების სიმძლავრე 64000 გაზომვა, პორტი RS485;
- მონაცემების რეგისტრატორი (ADK-10) მძლავრი, უნივერსალური, მრავალფუნქციური რეგისტრატორი CR10X-ის ბაზაზე. ეს არის მიკრო კომპიტერი, ტაიმერი, მულტიმეტრი, სკანერი, სიგნალების მრიცხველი და მაკონტროლებელი. ოპერაციული სისტემა მრავალფუნქციურია, იგი საშუალებას იძლევა ერთდღოულად ვაწარმოოთ გაზომვები და კომუნიკაცია. საბაზო მოდული 6 პირველდი კომუტატორის სკანირების საშუალებას იძლევა. კომუტატორები უზრუნველყოფენ დამატებით 192 შემომავალ ანლოგურ ან დიფერენციალულ (ციფრულ) არხებს.
- პროგრამული უზრუნველყოფა (Multilogger) შემუშავებულია რეალურ დროში მონიტორინგისათვის (ADK-10 რეგისტრატორის ბაზაზე) რეალიზებულია შესაძლებლობები: კომუნიკატორების სკანირება, არხების დაყენება, სკანირების პერიოდის დანიშვნა, ავარიული სიგნალების ზღვრის შეყვანა შეტყობინების სიგნალის დაბრუნებით, ინფორმაციის გრაფიკული გამოსახვა, ლოკალური ან დაშორებული შეერთება COM-პორტი RS 232, ის საშუალებით. MD-9 მოდემის ან GSM-ის შეერთებით.



სურ. I.14. პორტატული
ინფორმაციის
შემგროვებელი



სურ. I.15. ინფორმაციის
უნივერსალური შემგროვებელი



სურ. I.16. მონაცემების
უნივერსალური შემგროვებელი რეგისტრატორი ADK-10 და
Multilogger



სურ. I.17. საველე
რეგისტრატორი
(Minilogger)



სურ. I.18. რეგისტრაციის და
დამუშავების სისტემა ADK-10



სურ. I.19. დამხმარე
მოწყობილობები ADK-10

ობიექტების მონიტორინგი – გაცილებით რთული და მრავალკომპონენტიანი კონტროლის სისტემის შემუშავება ხდება მაღლივი შენობების, არამდგრადი გრუნტების,

დამბების, ცოცვადი ქანობების და სხვა რთული ინჟინრული კონსტრუქციების მონიტორინგისათვის.

ყველა ზემოთ ჩამოთვლილი არის უნიკალური ობიექტი, როგორც თავისი კონსტრუქციით, ასევე იმ გეოლოგიური უნიკალურობით სადაც უშუალოდ არის განხორციელებული. ხაზგასმით უნდა აღინიშნოს, რომ ობიექტის გეოლოგიური საფუძველი, გეოლოგიური პირობები არ არის აბსოლიტურად სტაბილური. დროთა განმავლობაში ისინი იცვლებიან ზოგჯერ კი ძალიან მკვეთრად.

მრავალი პარამეტრის მონიტორინგი, რომლებიც უზრუნველყოფენ კონსტრუქციის სტაბილურობას, საშუალებას იძლევა ავამადლოთ მისი საექსპლუატაციო საიმედოობა, გავზარდოთ მისი ფუნქციონირების დრო და თითქმის გამოვრიცხოთ უბედური შემთხვევები მისი ნგრევის დროს.

I.6. შენობა-ნაგებობების მონიტორინგის სისტემები

I.6.1. შესავალი

დღეისათვის სამშენებლო ნაგებობების მონიტორინგის სისტემის შექმნა არ მოითხოვს მტკიცებულებებს და დასაბუთებებს. უფრო მეტიც – რუსთეში და საზღვრებს გარეთ მიმდინარეობს სამშენებლო ნაგებობების ტექნიკური მონიტორინგის (სწორ) სხვადასხვა სისტემების შემუშავების აქტიური პროცესი.

ძირითადი საკითხი, რომელიც შეიძლება განისაზღვროს, როგორც უფრო მეტად მნიშვნელოვანი ამ სფეროში – მონიტორინგის არსებული სისტემები რატომ არ გახდა კონსტრუქციებში დასტრუქტურული ცვლილებების საიმედოდ და ეფექტურად მაპიებელი ინსტრუმენტი? საკითხი არცთუ მარტივი და პასუხი მასზე უნდა მოვიძოოთ მიზეზების მთელ რიგ კომპლექსში. ჩამოვთვალოთ სწორ სისტემების შემუშავებაზე გავლენის მქონე ძირითადი ასპექტები.

- ტექნიკური – ფიზიკო-ტექნიკური მიზეზების განსაზღვრა, რომლებზეც ბაზირდება გამზომი სისტემა;
- ტექნოლოგიური – ექსპლუატაციის და მონტაჟის მაკომპლექტირებელი წარმოების მეთოდების და ხერხების შემუშავება;
- ეკონომიკური – სისტემის დირექტულებითი პარამეტრების ოპტიმიზაცია.

ჩამოთვლილი ასპექტების გარდა მნიშვნელოვანია აგრეთვე სწორი ადგილის სოციალური და ფინანსურული განსაზღვრა. რადგან მონიტორინგი საბოლოოდ ეხებოდეს ყოველ მოქალაქეს, აუცილებელია კანონმდებლობის ბაზა, რომელიც განსაზღვრავს და არეგლამენტირებს მის მიზანს და ფუნქციას. ამასთან მონიტორინგის სტატუსის განმსაზღვრელი იურიდიული მექანიზმი უნდა

შესაბამებოდეს დანერგვის მოფიქრებულ პოლიტიკას, რომელიც ითვალისწინებს ფსიქოლოგიური აღქმის ყველა ასპექტს: ტექნიკურს, ტექნოლოგიურს და ეკონომიკურს.

I.6.2. მონიტორინგის სისტემის განხორციელების ბლოკ-სქემა

ცხადია, რომ მონიტორინგის ტიპიური სისტემის არ არსებობის მიზეზი მდგომარეობს იმ ფაქტში, რომ მრავალი შემუშავებული სისტემა შემოიფარგლება კონტროლის ერთი ან რამდენიმე პარამეტრის განხილვით. ამასთან კონკრეტული პარამეტრების კონტროლი ბაზირდება სხვადასხვა ტიპის გადამწოდებზე. რამდენადაც ნებისმიერ გამზომ სისტემას აუცილებლად აქვს ორი ძირითადი შემადგენელი ფიზიკური სიდიდეების გარდამქმნელი და დამუშავების ელექტრონული ბლოკი. მაშინ ყოველ მათგანში ერთგვაროვნების არ არსებობა მრავალჯერ ზრდის მონიტორინგის სიტემის სხვადასხვატიპობრიობას და როგორც შედეგი, ამცირებს ტიპიური სისტემის შექმნის შესაძლებლობას.

სხვადასხვა ტიპის სისტემების სიმრავლიდან მიღებული ინფორმაცია ითხოვს დამუშავების რთული სისტემის შექმნას. მეორე მხრიდან, სისტემის ავტომატიზაციის სპეციალისტები ანგითარებენ უფრო და უფრო რთულ ტექნოლოგიებს, ფიზიკური კონტროლის პროცედურების ოპტიმიზაციის საკითხებისგან დამოუკიდებლად. ამასთან კონკრეტული სისტემები იქმნებიან სხვადასხვა ამოცანების, კონსტრუქციების და საკონტროლო-გამზომი პირობების ქვეშ. შედეგედ ჩნდება მოქმედების სხვადასხვა პრინციპის მქონე დამოუკიდებელი სისტემების მასა, ახალი ამოცანისას ჩნდება ახალი სისტემა და ა.შ. ტიპიური სისტემა ასეთ პირობებში ვერ შეიქმნება. დასავლეთის ტექნოლოგიებით გატაცება ან მორალურად მოძველებული შემუშავებების გამოყენება რუსული სპეციფიკით განსაზღვრული თანამედროვე აქტიური მშენებლობის დროს, არ აახლოებს მიზნის მიღწევას.

მონიტორინგის სისტემის, როგორც ტიპიური ინსტრუმენტის შექმნისათვის უნდა ჩამოყალიბდეს მიზანი. აუცილებელია შეიქმნას სხვმ სისტემა საბაზო ვარიანტში, რომელიც ითვალისწინებს, როგორც მინიმუმ ყველა ტიპიური საცხოვრებელი შენობის კონტროლს. მონიტორინგის საბაზო ვარიანტი უნდა უზრუნველყოფდეს ძირითადი პარამეტრების კონტროლს, რომლებიც პასუხისმგებლები არიან პოტენციური ავარიების უფრო მეტად გავრცელებულ მიზეზებზე. აუცილებლობისას საბაზო ვარიანტს უნდა ქონდეს გაფართოების შესაძლებლობა, როგორც კონტროლის წერტილების რაოდენობის მიხედვით, ისე საკონტროლო კონსტრუქციების სახეობის მიხედვით, აგრეთვე საკონტროლო პარამეტრების სის მიხედვით. სხვმ ტიპიური სისტემა უნდა შეიცავდეს:

- საბაზო ფიზიკურ პრინციპზე აგებულ გამზომ ბლოკს;

- სიგნალების დამუშავების ელექტრულ ბლოკს, რომელიც აღვილად ადაპტირდება გაფართოებული საბაზო სისტემების დროს.

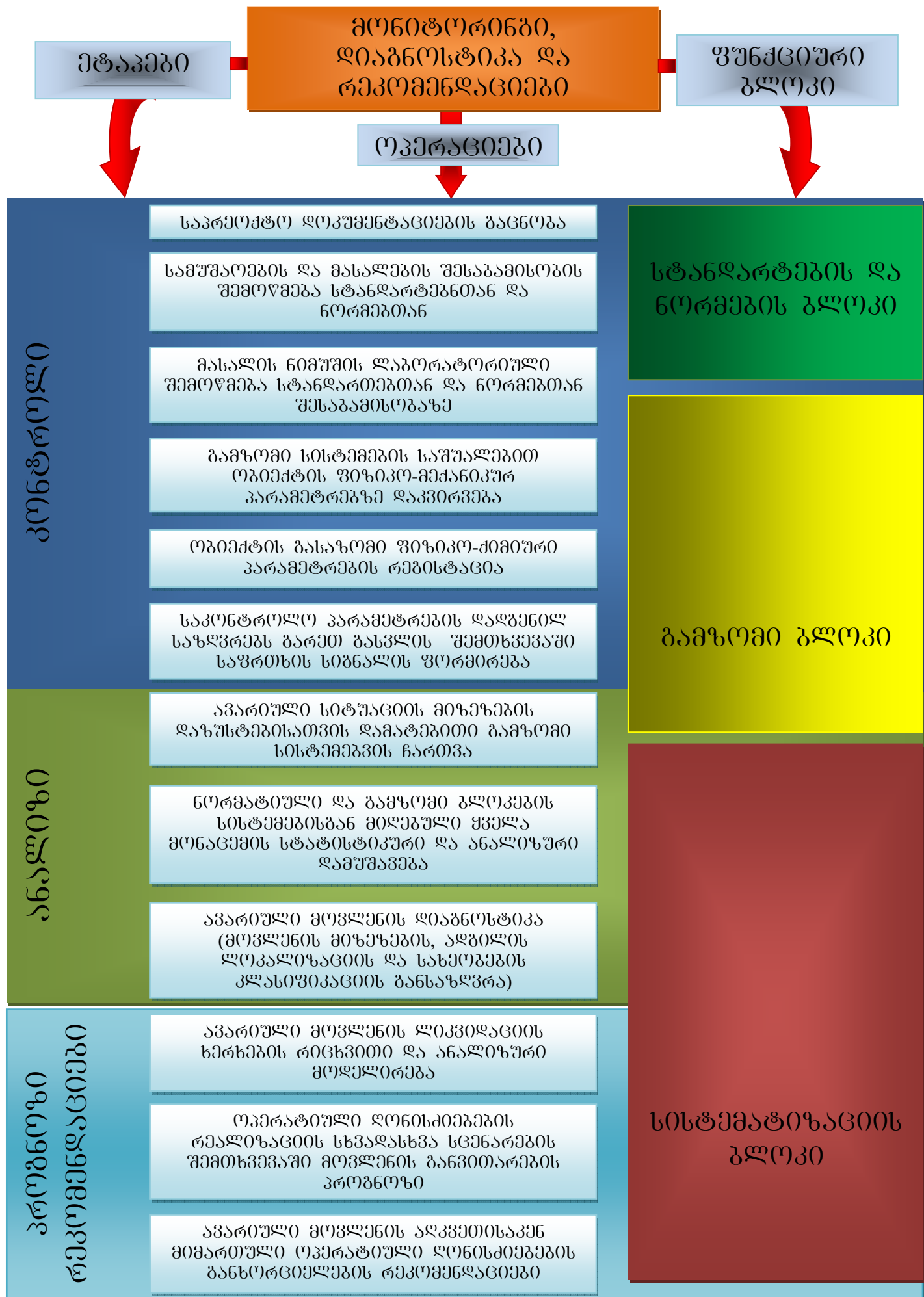
სამშენებლო მონიტორინგის თპტიმალური სისტემების შემუშავების მიზნის მიღწევისათვის, წარმოდგენილია საკონტროლო-გამზომი სისტემა ბოჭკოვან-ოპტიკური გადამწოდების ბაზაზე. მოვახდინოთ ამ სისტემის ძირითადი პარამეტრების ფორმულირება (სურ. I.20).

მონიტორინგის სისტემაში გამოყენებული საბაზო გადამწოდი წარმოადგენს დეფორმაციის ამპლიტუდურ ბოჭკოვან-ოპტიკურ გადამწოდს. გადამწოდს აქვს შესრულების რამდენიმე ვარიანტი, რომელიც იძლევა რკინაბეტონის კონსტრუქციაში მისი ჩასმის ან სამშენებლო ელექტრულების ზედაპირზე დამაგრების შესაძლებლობას. გადამწოდის დამაგრება დესტრუქციის პოტენციური წყაროს (დიდი დატვირთვები, მოქენტები) მაქსიმალურად შესაძლო წერტილებში რეგლამენტირდება პროექტის სტადიაზე.

კონტროლი შეიძლება მიმდინარეობდეს როგორც მონტაჟის განმავლობაში, ისე შენობის ექსპლუატაციის პერიოდში. სიგნალების დამუშავების ელექტრონული ბლოკი იღებს მუდმივ ინფორმაციას კონსტრუქციის მდგომარეობის შესახებ კონტროლის შიგა და გარე წერტილებიდან. საპროექტო მონაცემებთან ამ ინფორმაციის შედარება მუდმივ რეჟიმში იძლევა კონსტრუქციის „ჯანმრთელობის“ შესახებ დასკვნების გაკეთების საშუალებას.

ამასთან ანალიზი წარმოებს ნაგებობის მდგომარეობის რიცხვითი მოდელირების გზით რეალურად გაზომილი მონაცემებით, რომლებიც შეიტანება ანგარიშზე. მიღებული შედეგი საშუალებას იძლევა გავიგოთ, როგორ დეფორმირდა შენობა მთლიანობაში. მნიშვნელოვანია აღვნიშნოთ, რომ ინფორმაცია მიიღება მხოლოდ ლოკალური დეფორმაციის მიხედვით, ხოლო დასკვნები შეიძლება გამოვიტანოთ მთლიანობაში შენობის ცვლილების მიხედვით. სისტემაში დამატებით არის ტემპარტაციის ბოჭკოვან-ოპტიკური გადამწოდი, რომლის მგრძნობიარე ელემენტის მინიატურობა საშუალებას იძლევა იგი ჩამაგრდეს ყველაზე ძნელად მისაღწევ ადგილებში, მათ შორის ისევ და ისევ რკინაბეტონის კონსტრიუქციების შეგნით.

მიღებული სისტემა წარმოადგენს უნიფიკაციის მაგალითს მონტაჟის და დამზადების ტექნოლოგიების, საბაზო ფიზიკური პრინციპის მიხედვით, ამასთან ბოჭკოვანი ოპტიკის ბაზაზე ფიზიკური სიდიდეების გარდაქმნის მექანიზმების სხვადასხვაგვარობა საშუალებას იძლევა მოცული იქნეს პარამეტრების მთელი სპექტრი, რომელთა კონტროლი აუცილებელია მშენებლობაში.



სურ. I.20. სამშენებლო მონიტორინგის ორგანიზაციის

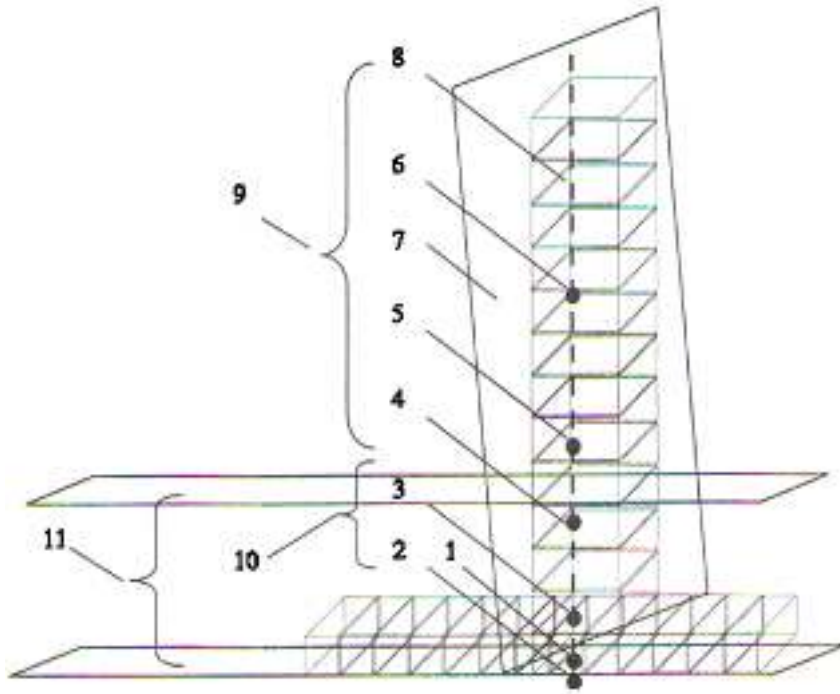
პასუხისმგებლობის ობიექტებისათვის ან დამატებითი კონტროლის აუცილებელობის შემთხვევებში გადამწოდების რაოდენობა იზრდება, სისტემა ივსება სხვა გადამწოდებით (როგორც ბოჭკოვან-ოპტიკური, ისე ტრადიციული). სისტემაში გამოყენებულ სიგნალების გადაცემის და დამუშავების ელექტრულ ბლოკს აქვს უნიფიცირებული სტრუქტურა. სიგნალების გადაცემა შეიძლება განხორციელდეს როგორც ბოჭკოვან-ოპტიკური კავშირის არხებით, ისე არსებული ელექტრული ქსელით (რაც არ მოითხოვს კავშირს არხების აღჭურივის დამატებით სამუშაოებს), აგრეთვე უკაბელო ფორმატით.

ბოჭკოვან-ოპტიკური გადამწოდები წარმოადგენენ მაქსიმალურად უსაფრთხო გადამწოდების მაგალითს, რომლებიც იძლევიან ფეთქებადუსაფრთხოების და ხანძარუსაფრთხოების უზრუნველყოფის გარანტიას ფეთქებადი აირის ან აალებადი ნივთიერების პირობებშიც კი, გამომდინარე იქიდან, რომ ისინი არ შეიცავენ ელექტრულ ჯაჭვს და სიგნალებს. ამას გარდა, ბოჭკოვან-ოპტიკური გადამწოდები არ ექცევიან ელექტრომაგნიტური ველის გავლენის ქვეშ და თავად არ ახდენენ მათ ინდუცირებას. სამშენებლო მონიტორინგის ბოჭკოვან-ოპტიკური სისტემების დანერგვას სოციალურ-ფსიქოლოგიური აღქმის თვალსაზრისით ყველა ეს თვისება არა ნაკლებ მნიშვნელოვანია, ვიდრე რეალიზაციის ტექნიკური ასპექტები.

„მონიტორინგი-ცენტრი“ გადამწოდებზე ბაზირებულ მონიტორინგის სისტემებში გამზომი კვანძების განთავსების საერთო პრინციპები განისაზღვრება შემდეგი პირობებით:

- კონკრეტული გადამწოდების კონტროლის ქვეშ მყოფი ზონები უნდა ფარავდნენ კონტროლირებადი ნაგებობების მაქსიმალურად შესაძლო მოცულობას ან ფართს;
- გადამწოდების მოწყობის რაოდენობა და ადგილი უნდა იყოს საკმარისი იმისათვის, რათა გასაზომი პარამეტრების აპროქსიმირებისას იყოს კონტროლირებადი პარამეტრის განაწილების ვალების აღდაენილი სურათის მიღების შესაძლებლობა;
- გადამწოდების განთავსება ოპტიმიზირებული უნდა იქნეს იმგვარად, რომ ერთი ტიპის გადამწოდების მონაცემები შევუდაროთ სხვა ტიპის გადამწოდების მონაცემებს სხვადასხვა პარამეტრების კორელაციის დონის შესახებ შემდგომი დასკვნების გამოტანით;
- გადამწოდების რაოდენობა უნდა იყოს მინიმიზირებული მონიტორინგის სისტემის შექმნის ხარჯების თვალსაზრისით;
- გადამწოდების ქსელის კონფიგურაცია უნდა უზრუნველყოფდეს გასაზომი კვანძის ზონაში შენობის ან ნაგებობის პარამეტრის ლოკალური კონტროლის მიღმა ნაგებობის გლობალური მახასიათებლების შეფასების შესაძლებლობას, კერძოდ, შენობების ან ნაგებობების მიწისზედა და მიწისქვეშა ნაწილების ურთიერთქმედების კორელაციას.

ზემოთჩამოთვლილი პირობებიდან გამომდინარე საზღვრავენ გასაზომი კვანძების განთავსებას შემდეგ დონეებზე (სურ. I.21).



სურ. I.21. ვერტიკალურად სხავადსხვა დონეზე გასაზომი კვანძების განთავსების პრინციპი. აღნიშნულია: 1 – I დონეზე კონტაქტური ძაბვების გადამწოდები; 2 – II დონეზე დეფორმაციის გადამწოდი; 3 – III დონეზე დეფორმაციის გადამწოდი; 4 – IV დონეზე დეფორმაციის გადამწოდი;

5 – V დონეზე დეფორმაციის გადამწოდი; 6 – VI დონეზე დეფორმაციის გადამწოდი; 7 – ვერტიკალური მკვეთი სიბრტყე; 8 – ვერტიკალური პირდაპირი, ყველა დონის გადამწოდების შემაერთებელი; 9 – მიწისზედა ნაწილი; 10 – გამყოფი ზღვარი; 11 – მიწისქვეშა ნაწილი

- გრუნტის საფუძვლის დონე, საძირკვლის ფილის ძირი – I დონე;
 - საძირკვლის ფილის არმირების ზონის ქვედა დონე – II დონე;
 - საძირკვლის ფილის არმირების ზონის ზედა დონე – III დონე;
 - პირველი სართულის „მინუს“ დონე (თუ არსებობს) – IV დონე;
 - პირველი სართულის დონე – V დონე;
 - ვერტიკალის მიხედვით შენობის ცენტრში მყოფი სართულის დონე – VI დონე.
- I-VI დონის ქსელის ორგანიზაცია საშუალებას იძლევა მიზიდოთ ინფორმაციის რაოდენობა, რაც მთლიანად დაახასიათებს შენობის მდგომარეობას ნაგებობის შემადგენელ ყველა ძირითად ნაწილში ვერტიკალის მიხედვით: მიწისქვეშა ნაწილი (I-III დონე), მიწისქვეშა და მიწისზედა ნაწილების შეპირაპირების ზონა (IV-V დონე);

მიწისზედა ნაწილი (VI დონე). ამ ამოცანის გადაწყვეტაში ძირითად პრინციპს წარმოადგენს შემდეგი პირობების დაცვა (სურ. 21): I დონეზე განსაზღვრული გამზომი კვანძი იკავებს პროექციის ადგილს II, III, IV, V და VI დონეებზე შესაბამის გამზომ კვანძში. ამგარად ყოველ დონეზე განთავსებულ ყველა გასაზომ კვანძს აქვს ერთი და იგივე კოორდინატები (x - y) სიბრტყეში. ამ სახით ორგანიზებული გადამწოდების ვერტიკალური „ბუჩქი“ იძლევა სხვადასხვა დონეზე, მაგრამ ერთ ვერტიკალზე განთავსებული გასაზომი პარამეტრების მონაცემების რეგისტრირების საშუალებას. ამიტომ არსებობს პარამეტრების კორელაციის გაანალიზების შესაძლებლობა კონკრეტული დონეების განთავსების სიმაღლის ცვლილების მიხედვით.

I.6.3. მონიტორინგის სისტემაში ფუნქციონალური სქემების დამუშავება (მონიტორინგის სისტემების რეალიზაციის მაგალითები)

მონიტორინგის ობიექტი: მრავალფუნქციური მაღლივი კომპლექსის „მონარქ-ცენტრი“ (სურ. I.22) საოფისე ბლოკი.

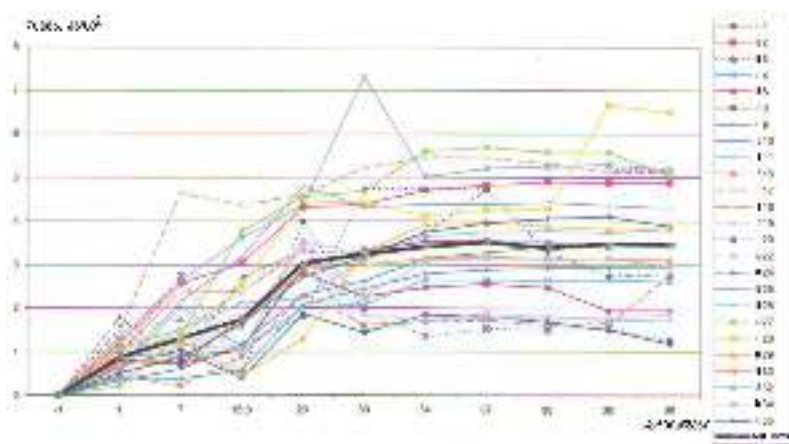
მისამართი: ქ. მოსკოვი, ლენინგრადი პროსპექტი 31.

მონიტორინგის პერიოდი: 2006 წლის 20 სექტემბრიდან.

მონიტორინგის მიზანი:

- კონსტრუქციის დაძაბულ-დეფორმირებული მდგომარეობის მონიტორინგი;
- კონტაქტური ძაბვების გადანაწილების და ჯდომის კორელაცია;
- შენობის მე-4 სართულზე პილონების დეფორმაციის კონტროლი;
- პილონებში მომენტების ანალიზი;
- პარამეტრების კონტროლი მშენებლობის დროს და ექსპლუატაციის პერიოდში.

გასაზომი კვანძების რაოდენობა: 130



სურ. I.22. მრავალფუნქციური მაღლივი კომპლექსის „მონარქ-ცენტრი“ საოფისე ბლოკი.

მონიტორინგის მონაცემები: მშენებლობისას გრუნტში წარმოქმნილი კონტაქტური ძაბვები

მონიტორინგის ობიექტი: მრავალფუნქციური მაღლივი კომპლექსის SIEMENS-აჭკ „სისტემა“ (სურ. I.23 და I.24).

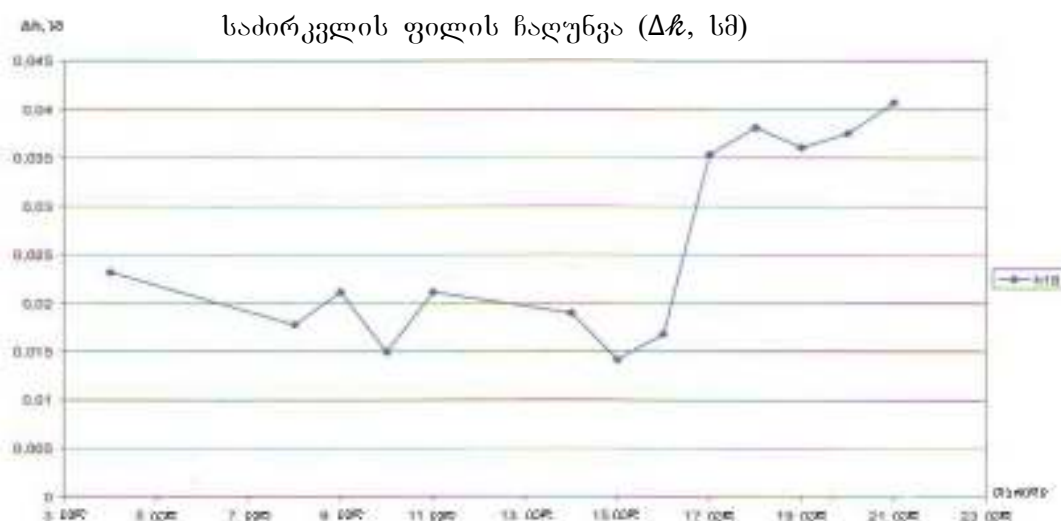
მისამართი: ქ. მოსკოვი, ლენინგრადი პროსპექტი 39.

მონიტორინგის პერიოდი: 2007 წლის 15 ივნისიდან.

მონიტორინგის მიზანი:

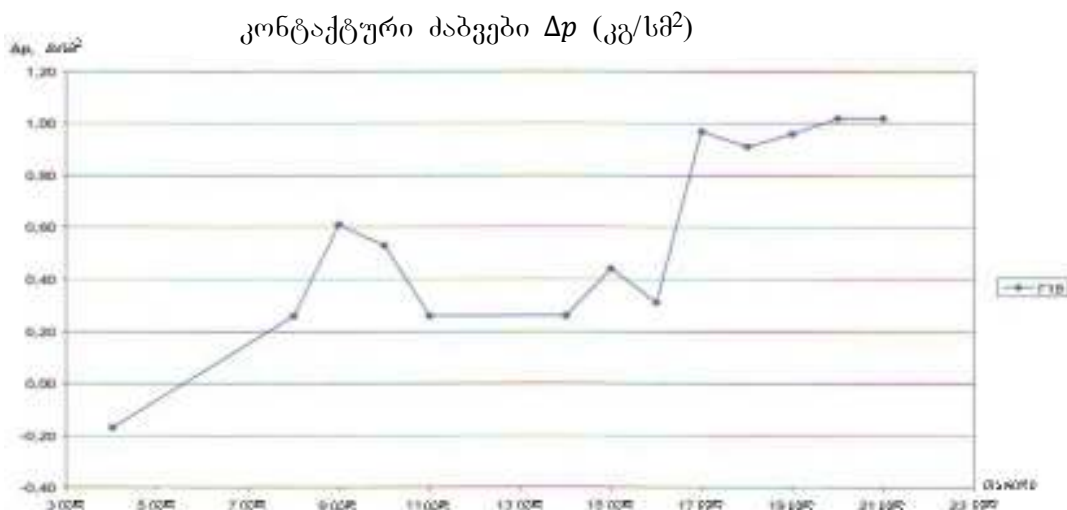
- კონსტრუქციის დაძაბულ-დეფორმირებული მდგომარეობის მონიტორინგი;
- კონტაქტური ძაბვების კონტროლი;
- პილონებში მომენტების ანალიზი.

გასაზომი კვანძების რაოდენობა: 160



სურ. I.23. მრავალფუნქციური მაღლივი კომპლექსის SIEMENS-აჭკ „სისტემა“.

მონიტორინგის მონაცემები: საძირკვლის ფილის ჩაღუნვა



სურ. I.24. მრავალფუნქციური მაღლივი კომპლექსის SIEMENS-აჭკ „სისტემა“.

მონიტორინგის მონაცემები: კონტაქტური ძაბვები

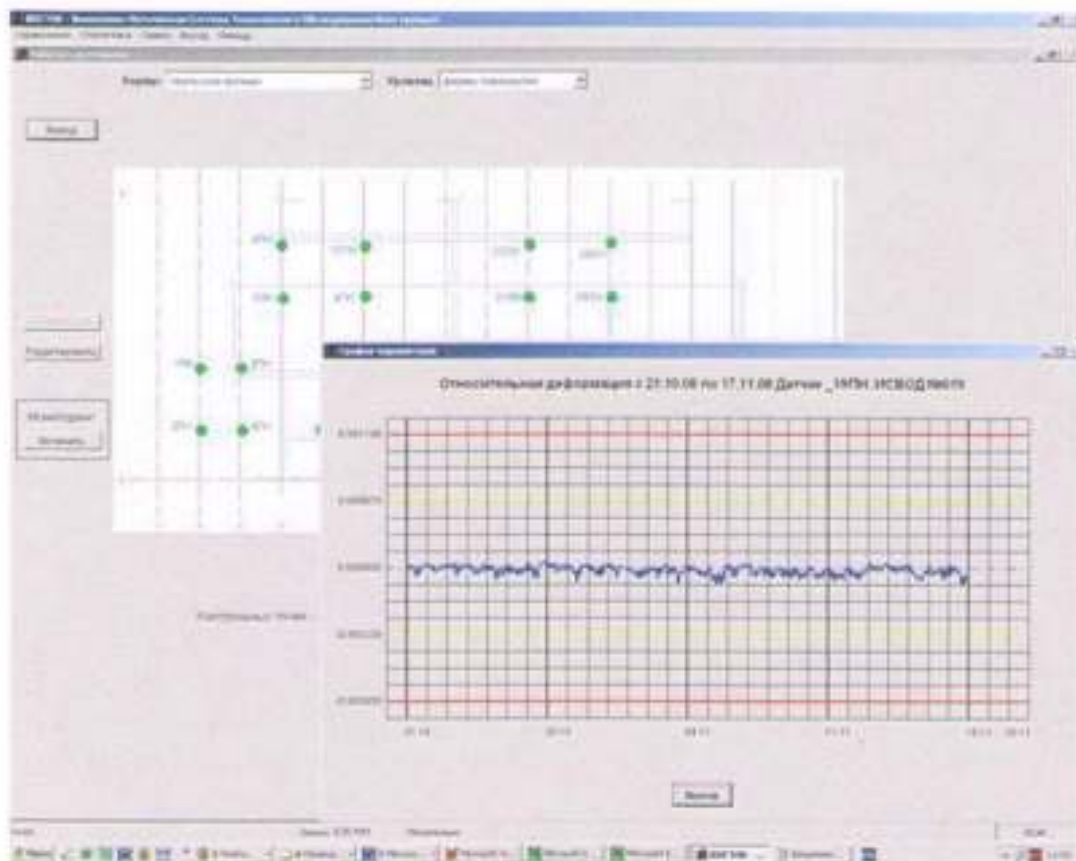
მონიტორინგის ობიექტი: ყინულის სასახლე „ურალის ელვა“ (სურ. 25).

მისამართი: ქ. ჩელიაბინსკი, ცენტრალური რ-ნი, შრომის ქ. №187ა.

მონიტორინგის პერიოდი: 2008 წლის 30 სექტემბრიდან.

მონიტორინგის მიზანი:

- სახურავის კონსტრუქციის 15 თაღოვანი ფერმის დეფორმაციის კონტროლი.
გახაზობის კვანძების რაოდენობა: 34



სურ. I.25. მონიტორინგის სისტემის „მონიტორინგი-ცენტრი“ დისპექ्टერის პუნქტის რეგისტრაციის ეპრანი ყინულის სასახლეში „ურალის ელვა“.

მონიტორინგის ობიექტი: ბალტიის გვირაბის მშენებლობა, როგორც ტრანსპორტის განვითარების პირველი გამშვები კომპლექსის, ლენინგრადის და ვოლოკოლამსკის ტრასის ნაწილი.

მისამართი: ქ. მოსკოვი, მეტროს სადგურის „შევარდენი“-ს რ-ნი.

მონიტორინგის პერიოდი: 2008 წლის 12 სექტემბრიდან.

მონიტორინგის მიზანი:

- სამუშაოების წარმოების ადგილთან უშუალო სიახლოვეს გრუნტის მასივში წნევის მონიტორინგი;

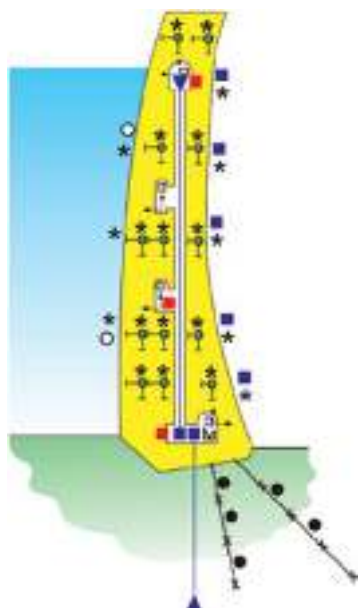
- კონსტრუქციის სამაგრის დეფორმაციის კონტროლი გამონამუშევრობის გასვლილასა.

გასაზომი კვანძების რაოდენობა: 35

I.7. მონიტორინგის და დიაგნოსტიკის კომპლექსური სისტემები

I.7.1. მაღლივი ობიექტის მონიტორინგი

მრიცხველების სისტემა საშუალებას იძლევა გავაკონტროლოთ მაბეჭის ზრდა და შენობა-ნაგებობების კონსტრუქციებში დეფორმაციების ჩასახვა ან მის ძირითად ელემენტებში გადახრა ვერტიკალიდან, პორიზონტალური გადაადგილება განსაზღვრულ პორიზონტზე, შევაფასოთ ობიექტის გრუნტზე დაწევის სიდიდე, ზედა სართულებზე ქარის დაწევის სიდიდე, განვახორციელოთ კონტროლი შენობის ფუძის გეოლოგიურ და პიდროგეოლოგიურ მდგომარეობაზე (ნახ. I.26).

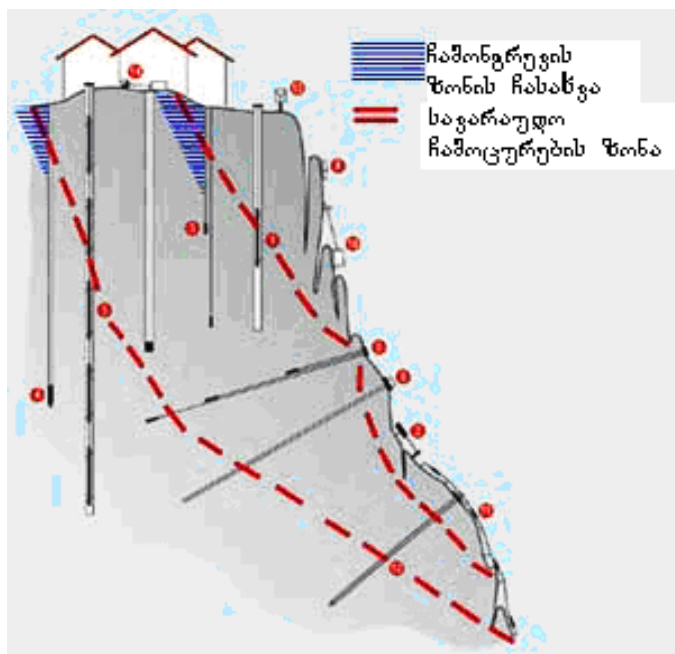


ნახ. I.26. ნაგებობის სხეულზე მრიცხველების განლაგების სქემა, თაღური დამბა (ანალოგიურია მაღლივი შენობისთვის)

დასაშვები საექსპლუატაციო დატვირთვების გადაჭარბება ან უარყოფითი ზემოქმედება, რომელიც იწვევს კონსტრუქციის მდგრადობის დაკარგვას, წარმოშობს ავარიული შეტყობინების სიგნალს. მონიტორინგის სქემაზე შესაძლოა გამოყოფილ იქნას ავარიული ზონა და დაკონკრეტდეს ზემოქმედების ტიპი.

I.7.2. მთის ჩამოცურების მონიტორინგის სიტუაცია

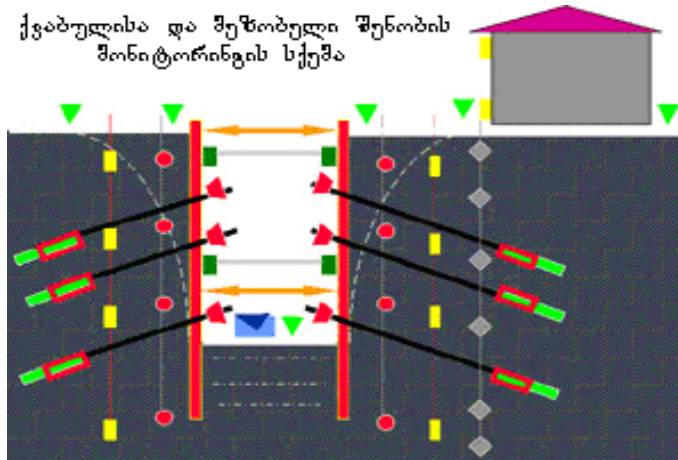
ოპტიმალური სქემის შემუშავებისათვის მნიშვნელოვანია ინჟინერულ-გეოფიზიკური გამოკვლევა. შესწავლა და დახარისხება საშუალებას იძლევა დაკონკრეტდეს ცოცვადი სტრუქტურის პარამეტრები, გამოვყოთ ზონები, რომლებიც საჭიროებენ გაძლიერებას და განვსაზღვროთ სენსორების დაყენებისთვის მაქსიმალურად ეფექტური ადგილები. მიღებობა მექანიკურად განვალაგოთ მრიცხველები გამოსაკვლევი ობიექტის ფართობზე მნიშვნელოვნად ამცირებს მონიტორინგის ეფექტურობას.



ნახ. I.27. მთის ჩამოცურების მონიტორინგის სიტუაცია

I.7.3. ქვაბულის ინჟინერული დამცავი ნაგებობის მონიტორინგი

გეოტექნიკური მონიტორინგის ხელსაწყოების ფართო სპექტრის გამოყენება, საშუალებას გვაძლევს გავაკონტროლოთ ქვაბულის პერიმეტრზე არსებული გრუნტის მასების გადაადგილება, შევაფასოთ დაწოლა ქვაბულის დამცავ კედელზე. გავაკონტროლოთ კონსტრუქციის პორიზონტალური მდგომარეობა, გარშემო არსებული შენობების მდგომარეობა და ქვაბულის გავლენა მათ სტაბილურობაზე.



ნახ. I.28. ქვაბული ინჟინრული დამცავი ნაგებობის მონიტორინგი

სურათებზე: I.29; I.30; I.31; I.32; I.33; I.34; გამოსახულია მონიტორინგის ტექნიკური საშუალებების გამოყენება და მონტაჟი.



ნახ. I.29. შენობის
ვიბრომედეგობის
კონტროლი



ნახ. I.30. DSM სისტემის
ჰიდროგლიკური შეერთების
კვანძი გრუნტის ჯდენის
კონტროლისათვის



ნახ. I.31. ვერტიკალური
გადახრის შუქურა-
მრიცხველის საბაზო
კონსტრუქცია



ნახ. I.32. ბზარის მზომი
დამონტაჟულია პირაპირის
სტაბილურობის
კონტროლისათვის



ნახ. I.33. ძაბვის
ტენსომეტრული მრიცხველი,
დაძაბულობის მრიცხველი,
დამონტაჟულია ლითონის სამონტაჟო ნიშაში ცემენტის
კონსტრუქციაზე



ნახ. I.34. ბეტონის
ტენსომეტრული მრიცხველი,
დაძაბულობის მრიცხველი,
კონსტრუქციაზე
სსნარის ჩასხმამდე

I.7.4. გადაწყვეტილებები შენობებისა და ნაგებობების საექსპლუატაციო და სადისპეტჩერო სამსახურებისათვის

I.7.4.1. შესავალი

ამჟამად მთელ მსოფლიოში წარმატებით ვითარდება შენობებისა და ნაგებობების ექსპლუატაციის მომსახურების ბაზარი. ამას მოწმობს საექსპლუატაციო კომპანიების შექმნა და განვითარება მსხვილ სამშენებლო ფირმებთან და მიღებული ფედერალური მიზნობრივი პროგრამა „საცხოვრებელი“ 2002-2010 წლებისათვის, რომელშიც აღინიშნება გადასვლა ხელშეკრულებით ურთიერთობებზე საბინაო-კომუნალური მეურნეობის ექსპლუატაციის დარგში 2011 წლისთვის. ამასთან დაკავშირებით, მუშაობენ რა მკაცრი კონკურენციის პირობებში, საექსპლუატაციო კომპანიებმა მაქსიმალურად ეფექტურად უნდა მართონ თავისი საქმიანობა და ააგონ ურთიერთობები კლიენტებთან. ეს ამოცანები წარმატებით ვერ გადაწყდება ავტომატიზაციის გარეშე. ავტომატიზაციის დარგში უნიკალურ შესაძლებლობებს გვთავაზობს გეოინფორმაციული სისტემები, რომლებსაც აქვს მარტივი და გასაგები გრაფიკული სამომხმარებლო ინტერფეისი. გეოინფორმაციული ტექნოლოგიები წარმატებით გამოიყენება სხვადასხვა დარგში, მათ შორის, უძრავი ქონების მართვაში და გვთავაზობს სივრცითი და სიტუაციური ანალიზის მძლავრ საშუალებებს, რაც მნიშვნელოვანი ნაწილია შენობებისა და ნაგებობების საექსპლუატაციო და სადისპეტჩერო სამსახურებისათვის.

გადაწყვეტილების სახელწოდება

შენობებისა და ნაგებობების საექსპლუატაციო სამსახურების
საინფორმაციო სისტემა

მიზანი

შენობებისა და ნაგებობების ექსპლუატაციის ეფექტურობის ზრდა.

დანიშნულება

შენობებისა და ნაგებობების ექსპლუატაციის პროცესის ავტომატიზაცია.

ეფექტურობა

1. საექსპლუატაციო ობიექტების შესახებ ინფორმაციის შეკრების და ანალიზისთვის საჭირო დროის და ფინანსური დანახარჯების შემცირება;
2. მმართველობითი გადაწყვეტილებების მიღების ხარისხის და ოპერატიულობის ზრდა;
3. სტრატეგიული დაგეგმვის განხორციელების შესაძლებლობა საექსპლუატაციო ობიექტის შესახებ ინფორმაციის სრული კონსოლიდირებული ინფორმაციის საფუძველზე.
4. შტატგარეშე სიტუაციაზე რეაგირების ოპერატიულობის ზრდა;
5. კლიენტების მომსახურების ოპერატიულობისა და ხარისხის ზრდა.

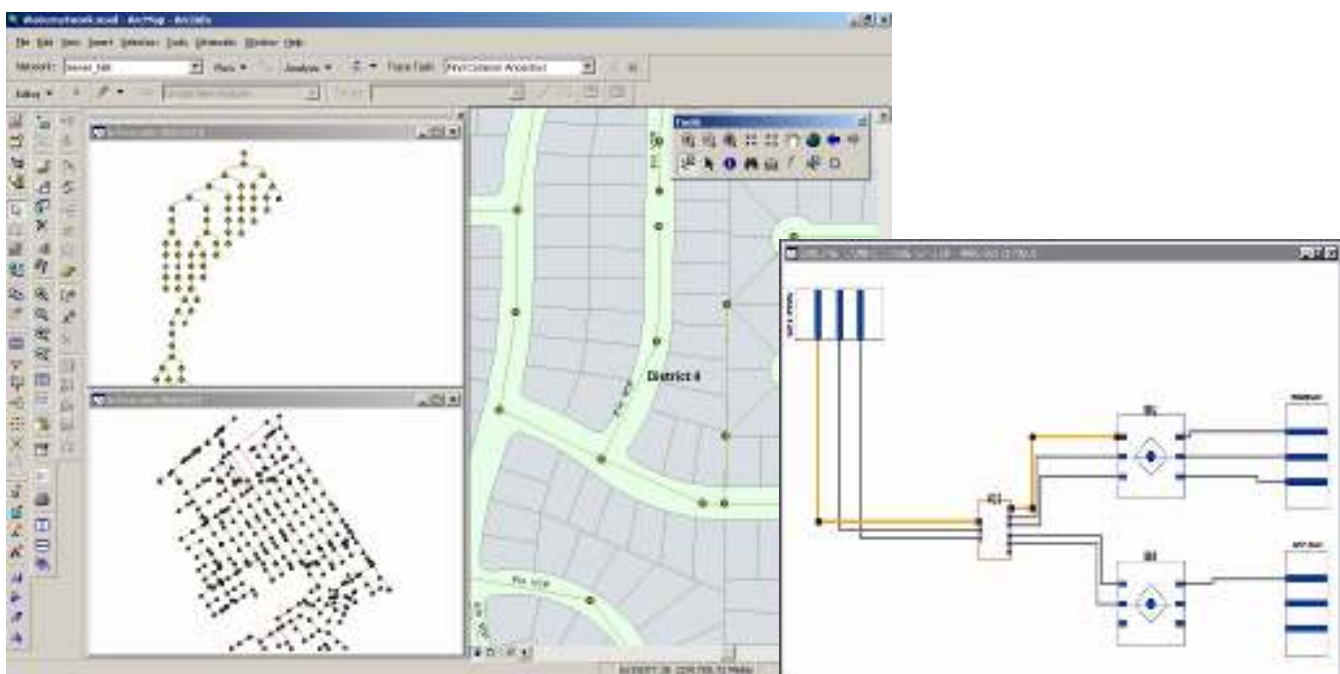
გადაწყვეტილების არსი.

გადაწყვეტილების არსი მდგომარეობს საექსპლუატაციო და სადისპეტჩერო სამსახურების ერთიანი საინფორმაციო სისტემის შემუშავებაში, უძრავი ქონების ექსპლუატაციის და დისპეტჩერიზაციის ეფექტური მართვის მიზნით.

საექსპლუატაციო და სადისპეტჩერო სამსახურის ერთიანი ინფორმაციული სისტემა საშუალებას იძლევა გადაწყდეს იმ ამოცანათა ფართო სპექტრი, რომლებიც მიმართულია შენობებისა და ნაგებობების ექსპლუატაციის ეფექტურობის ზრდისკენ. გადასაჭრელი პრობლემათა შორის არის აღჭურვილობის ტექნიკური მომსახურების და რემონტის ამოცანები, ობიექტებისა და აღჭურვილობის დისპეტჩერიზაცია, მართვა და აღრიცხვა, სამუშაოთა მართვა, დაგეგმვა და კონტროლი, სასაქონლო-მატერიალური მარაგის მართვა და სხვა.

I.7.4.2. აღჭურვილობის ტექნიკური მომსახურება და რემონტი

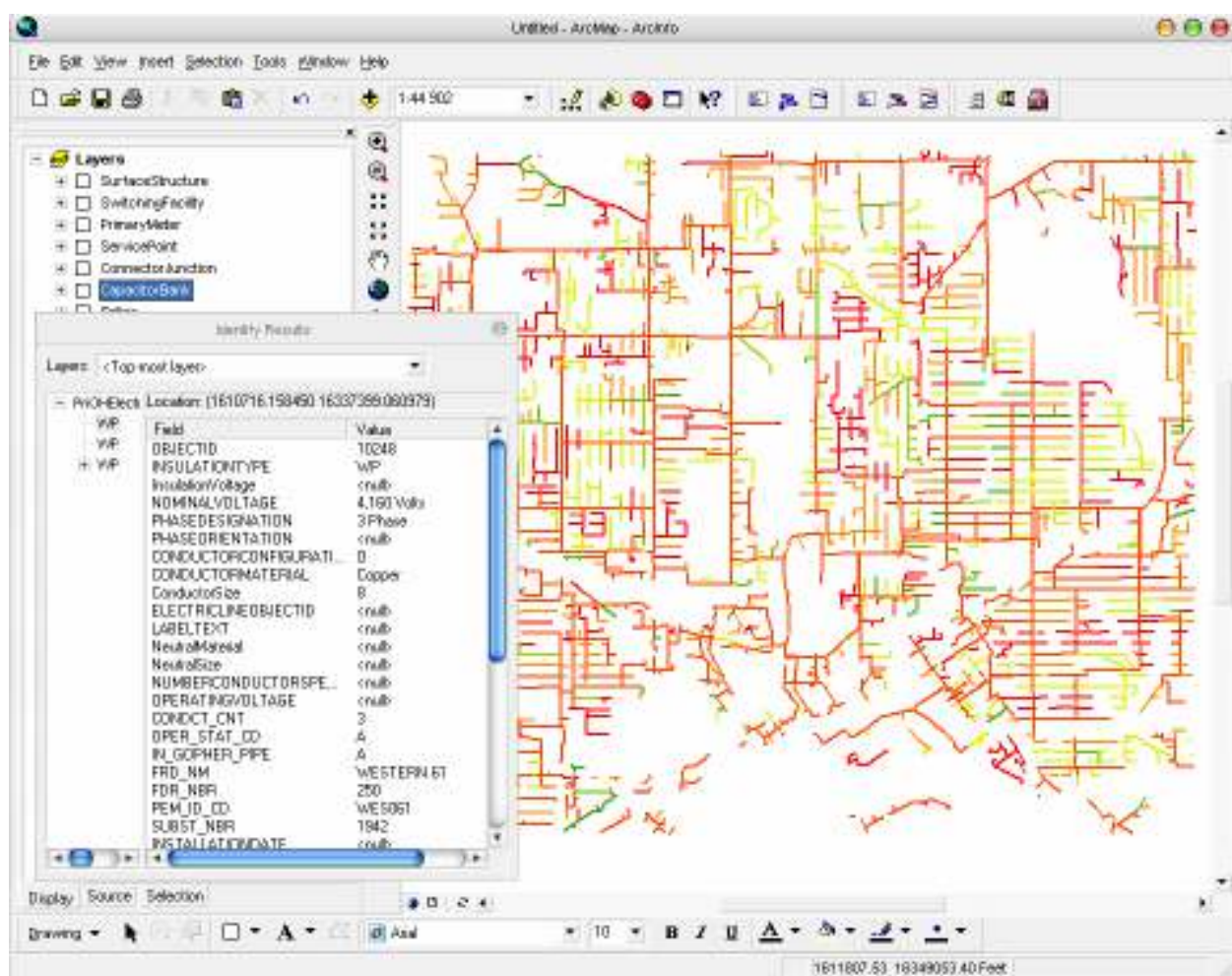
აღჭურვილობის ტექნიკური მომსახურება და რემონტის პროცესების კომპლექსური ავტომატიზაცია საშუალებას იძლევა უფრო ეფექტურად დაგბეგმოთ კაპიტალური რემონტების ვადები, განვახორციელოთ სამუშაოთა შესრულების მონიტორინგი, ჩავატაროთ აღჭურვილობის ტექნიკური პასპორტიზაცია, ვმართოთ აღჭურვილობისა და მასალების დოკუმენტაცია და საგარანტიო ვალდებულებები, აგრეთვე გადავჭრათ ტექნიკურ ექსპლუატაციასთან დაკავშირებული სხვა საგნობრივი საკითხები.



ნახ. I.35. ინფორმაციულ სისტემაში აღჭურვილობის ტექნიკური ინფორმაციის შენახვის და გამოყენების მაგალითი

I.7.4.3. სადისპერსო სისტემები

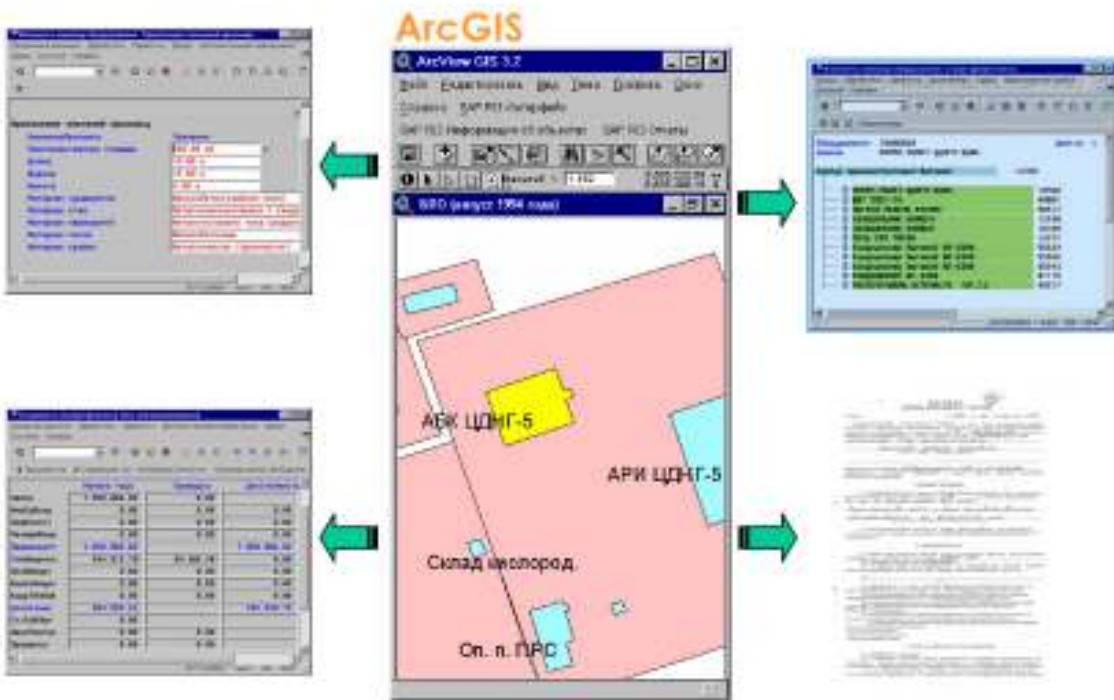
საექსპლუატაციო სამსახურებში სადისპერსო სამსახურების აგება ზრდის უძრავი ქონების და ობიექტების ფუნქციონირების უსაფრთხოებისა და საიმედოობის დონეს. სადისპერსო სისტემები საშუალებას იძლევა განვახორციელოთ აღჭურვილობის მუშაობის მონიტორინგი დროის რეალურ მასშტაბში, აგრეთვე შენობების და ნაგებობების ტექნიკურ მდგომარეობის მონიტორინგი. სადისპერსო სისტემების შექმნა ხელს უწყობს ავარიული სიტუაციების თავიდან აცილებას და საგანგებო სიტუაციებზე ოპერატიულ რეაგირებას.



ნახ. I.36. ელექტროქსელზე დატვირთვის მონიტორინგის მაგალითი
ოპერატორთან

I.7.4.4. ობიექტების და აღჭურვილობის მართვა და აღრიცხვა

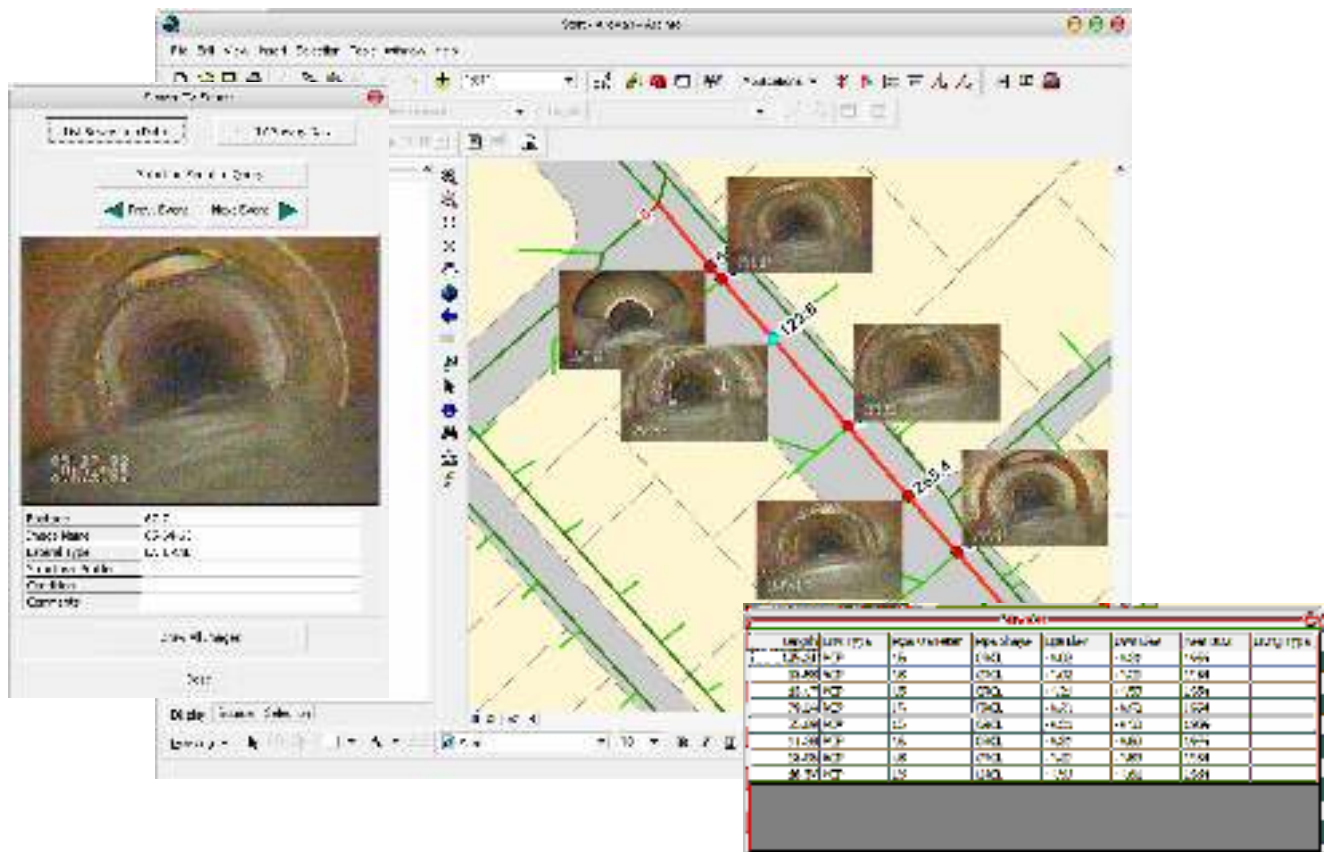
ობიექტების და აღჭურვილობის აღრიცხვის პროცესის ავტომატიზაცია მდგომარეობს საექსპლუატაციო სამსახურის ინფორმაციულ სისტემაში ტექნოლოგიური აგრეგატების, მექანიზმების, წყალგაყვანილობის, გაზგაყვანილობისა და ელექტრული ქსელების, ვალკეული საექსპლუატაციო ჟენობების და ნაგებობების და სხვა შესაძლო ობიექტების შესახებ ინფორმაციის შეგროვებაში, შენახვასა და შეყვანაში. ობიექტების და აღჭურვილობის შესახებ დოკუმენტაციის ხელშეკრულებებისა და სხვა დოკუმენტების შენახვა ერთიან ინფორმაციულ სისტემაში საშუალებას იძლევა ცენტრალიზებულად ვმართოთ საექსპლუატაციო სამსახურის დოკუმენტბრუნვის პროცესი.



ნახ. I.37. გრაფიკული და ატრიბუტული ინფორმაციის
ცენტრალიზებული შენახვა

I.7.4.5. მუშაობის მართვა, დაგეგმვა და კონტროლი

მუშაობის მართვის, დაგეგმვისა და კონტროლის ავტომატიზაცია საექსპლუატაციო სამსახურს საშუალებას აძლევს უფრო ეფექტურად დაგეგმოს სამუშაოები, გაანაწილოს ადამიანური და მატერიალური რესურსები, გააკონტროლოს სამუშაოების შესრულების მიმდინარეობა, მოამზადოს საანგარიშო დოკუმენტები.



ნახ. I.38. სამუშაოების შესრულების კონტროლი

მომწოდებლებთან ურთიერთობისა და საექსპლუატაციო სამსახურის სასაქონლო-მატერიალური მარაგის საჭიროების მართვის ავტომატიზაცია საშუალებას იძლევა უფრო პროდუქტიულად და ოპერატიულად განვახორციელოთ საჭირო მასალის და საქონლის შესყიდვა.

I.7.4.6. სარემონტო და სამაშველო ბრიგადების ინფორმაციული უზრუნველყოფა

მობილური მოწყობილობების გამოყენება აფართოებს საექსპლუატაციო სამსახურის ინფორმაციული სისტემის შესაძლებლობებს. საექსპლუატაციო სამსახურის დისპეტჩერს შეუძლია გააკონტროლოს სარემონტო და სამაშველო ბრიგადების ადგილმდებარეობა და ავარიის შემთხვევაში, უახლოესი ბრიგადა გააგზავნოს შემთხვევის ადგილზე. ჯიბის კომპიუტერის გამოყენებით სარემონტო ბრიგადები ღებულობენ შორიდან შეღწევის შესაძლებლობას ინფორმაციულ სისტემაში და მასში შენახულ მთელს ინფორმაციას, სარემონტო ბრიგადის პერსონალს შეუძლია სწრაფად შეიყვანოს ინფორმაცია დაზიანების მიზეზების და მისი გამოსწორებისთვის საჭირო

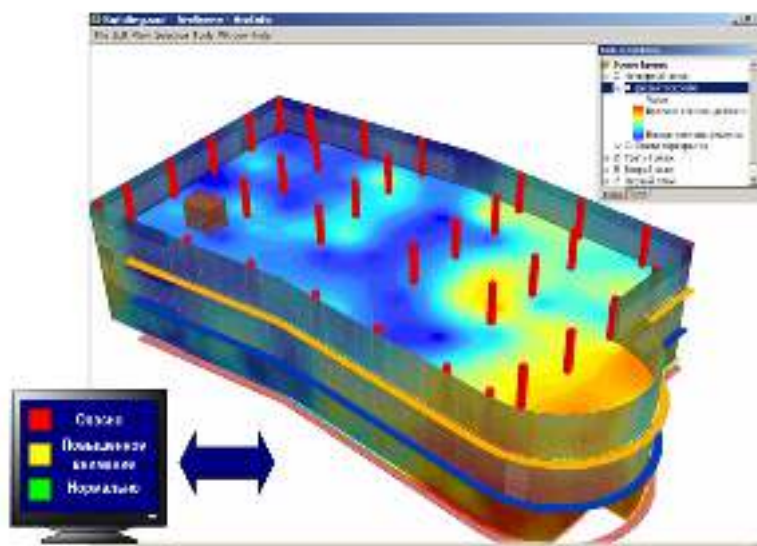
რესურსების შესახებ, რაც მყისიერად აისახება საექსპლუატაციო სამსახურის დისპერჩერის ეკრანზე.



ნახ. I.39. მობილური მოწყობილობები

I.7.5. შენობებისა და ნაგებობების ტექნიკური მდგომარეობის ავტომატიზირებული მონიტორინგი

გეოინფორმაციული ტექნოლოგიები საშუალებას იძლევა დროის რეალურ მასშტაბში აისახოს ნებისმიერი საგნობრივ-თემატური ინფორმაცია შენობის ორი და სამგანზომილებიან მოდელზე. ასეთი ინფორმაციის სახით გამოდის შენობის დეფექტოსკოპია, რომელიც რეალურ დროში SCADA კლასის სისტემით აისახება მართული სენსორების სისტემის საშუალებით.



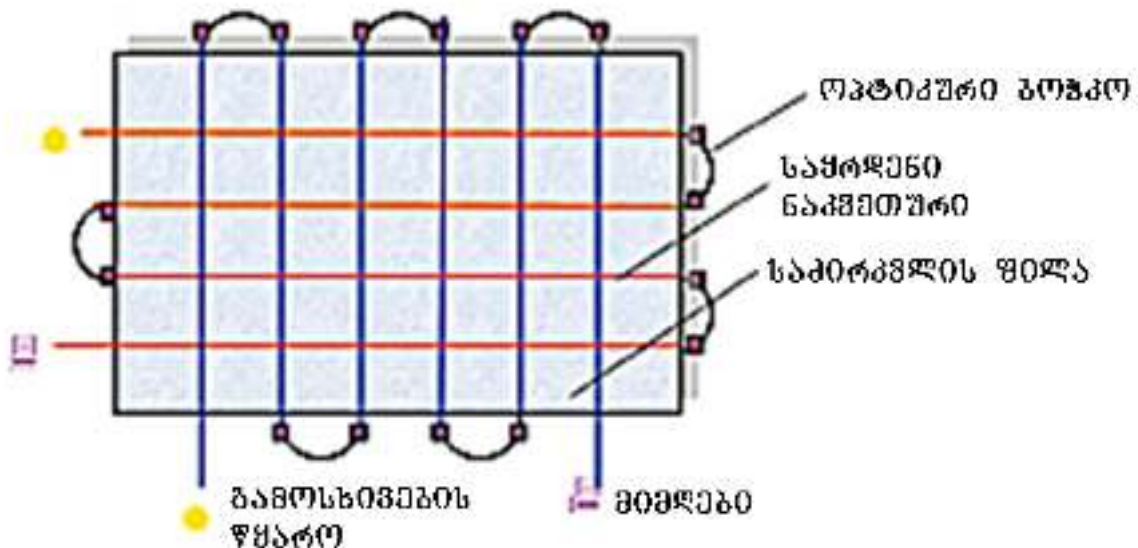
ნახ. I.40. შენობის დეფექტოსკოპია

I.7.6. ინტეგრაციის შესაძლებლობები

გეოინფორმაციული სისტემები დიაა ისეთ გარე სისტემებთან ინტეგრირებისთვის, როგორიცაა SCADA, ERP და სხვა დია სისტემებთან არსებული დია პროტოკოლების ბაზაზე. ინტეგრაციის შესაძლებლობა საშუალებას იძლევა გრაფიკული სახით თვალსაჩინოდ ავსახოთ და გავაანალიზოთ ნაგებობების, კომპლექსების და საწარმოების ყველა ავტომატიზებული სისტემის ინფორმაცია.

I.7.7. პრაქტიკული ამოცანები სამშენებლო მონიტორინგის სისტემის ორგანიზებაზე

ოპტიკური ცენტრი. ოპტიკურ-ბოჭკოვანი სენსორების კომპლექსი წარმოადგენს ოპტიკურ ტესტებს, რომელიც უზრუნველყოფს კონტროლის იაფ საშუალებას „ნორმა-განგაშის“ პრინციპით, რომლის ძირითადი ელემენტია ოპტიკურ-ბოჭკოვანი შუქსატარი. შუქსატარის გაყვანის ტოპოლოგია საშუალებას იძლევა მოვიცვათ ფუნდამენტის ფილის ან სხვა გასაანალიზებელი კონსტრუქციის მთელი მოცულობა. ფუნდამენტის ფილაში ჩასამაგრებლად შუქგამტარს არმატურის დეროგაციების დაბამენ ქვემოდან, ბეტონის მასის ჩასხმამდე. ფუნდამენტის ფილაში შუქგამტარის გაყვანის შესაძლო ტოპოლოგია ნაჩვენებია ნახ-ზე I.41.



ნახ. I.41.

ოპტიკურ ბოჭკოვანი სენსორების კომპლექსი შედგება სამი ძირითადი ნაწილისგან:

- გამოსხივების წყარო;
- ოპტიკურ-ბოჭკოვანი შუქსატარი;
- ოპტიკური სიმძლავრის საზომი (მიმღები).

შუქდიოდის შემცველი გამოსხივების წყარო გამოასხივებს სინათლის სხივს, რომელიც შუქგამტარში გავლის შემდეგ რიგი მიზეზების გამო კარგავს თავის ნაკადის გარკვეულ ნაწილს, კერძოდ შუქსატარზე გარეშე ზემოქმედების შედეგად.

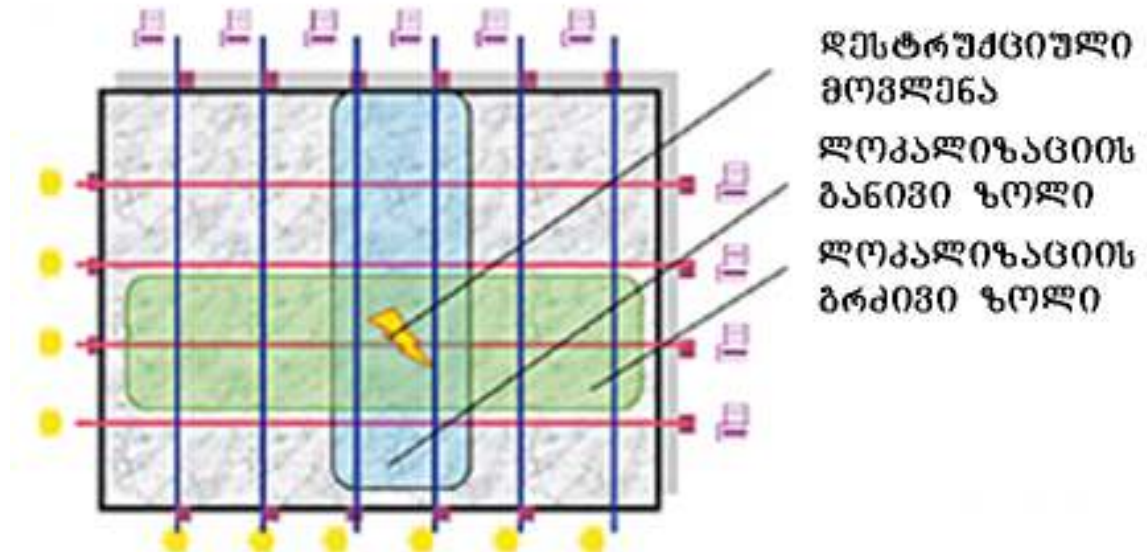
შუქსატარზე ნებისმიერი მექანიკური ან სითბური ზემოქმედება იწვევს მისი ფორმის გეომეტრიულ ცვლილებას ან მიკროდაზიანებას. რაც ავტომატურად იწვევს გამზომის მიერ ფიქსირებული სინათლის ნაკადის სიმძლავრის ნაკადის სიმძლავრის ცვლილებას. სწორედ, ამაზეა დამყარებული კონსტრუქციის გასაკონტროლებელი ფრაგმენტის მონიტორინგის პრინციპი, რაც რეალიზებულია ოპტიკურ-ბოჭკოვანი სენსორებით. მოცემული კრიტიკული მნიშვნელობის მიღწევისას, რაც მიუთითებს კონსტრუქციის რომელიმე ადგილში ზღვრული მექანიკური ან სითბური დატვირთვის არსებობაზე, ოპტიკურ-ბოჭკოვანი სენსორების კომპლექსი სიგნალს ოპერატორს სიგნალების დამუშავების ელექტრონული ბლოკის გავლით აწვდის ავარიული სიტუაციის შესახებ.

ამასთან, გაწყვეტის შემთხვევაშიც კი შუქსატარის ცალკეული დაუზიანებელი ნაჭრები სრულფასოვნად მუშაობს, როგორც სენსორი რეფლექტომეტრების გამოყენებისას – ხელსაწყოები, რომლებიც აანალიზებენ უკუგაბნეული გამოსხივების სხვადასხვა სახეობებს. პოტენციურად, ოპტიკურ-ბოჭკოვანი სენსორების კომპლექსი შეუძლია შეასრულოს უფრო მასშტაბური ამოცანაც, ვიდრე უბრალო სიგნალი ავარიული სიტუაციის შესახებ ფუნდამენტის ფილაში, როგორც საკონტროლო ობიექტის ხარისხის გაუარესების ინტეგრალური მაჩვენებელი.

განვიხილოთ ნახ-ზე I.42 წარმოდგენილი შუქსატარის გაყვანის ტოპოლოგია. აქ შემოთავაზებულია ოპტიკურ-ბოჭკოვანი სენსორების კომპლექსის ვარიანტი სინათლის ორი წყაროთი და ოპტიკური სიმძლავრის ორი გამზომით (პირობითად ორი სხვადასხვა ოპტიკურ-ბოჭკოვანი ქსელი აღნიშნული წითელი და ლურჯი ფერით). შუქსატარის საყრდენი მონაკვეთის თითოეული წყვილი შეერთებულია ოპტიკური შემაერთებლით, რომელიც გამოტანილია ფუნდამენტის ფილის ზედაპირზე.

ავარიული სიგნალის შემოსვლისას, რაც ნიშნავს ოპტიკურ-ბოჭკოვან ქსელში ოპტიკური სიმძლავრის დაცემას კრიტიკულ დონეზე, ოპერატორი შეუდგება ავარიული მოვლენის ადგილის განსაზღვრას. ამისთვის იგი ხსნის ოპტიკურ შემაერთებლებს და თანამიმდევრობით გაატარებს სინათლის სიგნალს გრძივი და განივი ქსელის თითოეულ საყრდენ შუქსატარში, ოპტიკური სიმძლავრის შესაბამისი გაზომვით. შუქსატარის ყველა საყრდენი მონაკვეთის ტესტირების დასრულების შემდეგ განისაზღვრება გრძივი და განივი ქსელის ის შუქსატარები, რომელთა გავლენის ზონაშიც მოხდა ავარიული

მოვლენა. აღმოჩენილი ზონების (ზოლების) გადაკვეთა აფიქსირებს ავარიული მოვლენის ადგილს (ნახ. I.42).

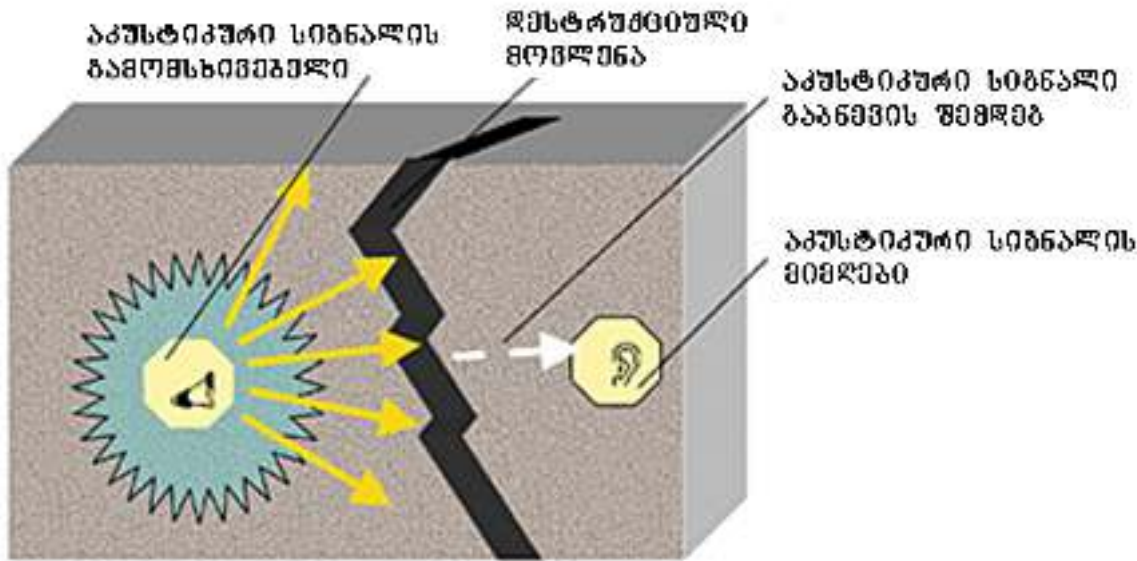


ნახ. I.42.

I.7.8. მონიტორინგის სისტემის ორგანიზება პიეზოკერამიკული სენსორების ბაზაზე

პიეზოკერამიკული სენსორების კომპლექსი წარმოადგენს აკუსტიკური გამოსხივებლებისა და მიმღებების „ბუჩქების“ ოჯახს, რომელიც ფუნდამენტის ფილაში თავსდება მისი ჩამოსხმის დროს. ბუჩქის თითოეული ელემენტი ელექტროსხივებითაა უზრუნველყოფილი ოპერატორისკენ გარე ზონაში გამოყოფილი ელექტროსადენის საშუალებით. აკუსტიკური სიგნალი აღიძვრება გამომსხივებლიდან და ვრცელდება ფუნდამენტის ფილის მთელ გარემოში.

პიეზოკერამიკული სენსორების კომპლექსის მოქმედების ფიზიკური სქემა შემდეგში მდგომარეობას. წყაროს მაზონდირებელი გამოსხივება ვრცელდება უშუალოდ საკონტროლო ფუნდამენტის ფილაში (ნახ. I.43) და საშუალებას იძლევა ინფორმაცია მივიღოთ ბეტონის დრეკადობის მახასიათებლების განაწილების შესახებ, დარტყმით სიბლანტეზე, შიგა დაძაბულობებზე, გრანულომეტრულ შემადგენლობასა და ბეტონის მახასიათებლების ცვლილებაზე.



ნახ. I.43

ასეთ ცვლილებებს უნდა მიგაკუთვნოთ შემდეგი მოვლენები:

- არმატურის კოროზია;
- ბეტონის მიერ სიმტკიცის აკრეფა;
- ფუნდამენტის ფილის გლობალური დესტრუქცია;
- ლოკალური დრმულების წარმოქმნა;
- მიკრობზარების ჩასახვა;
- მაგისტრალური ბზარების განვითარება.

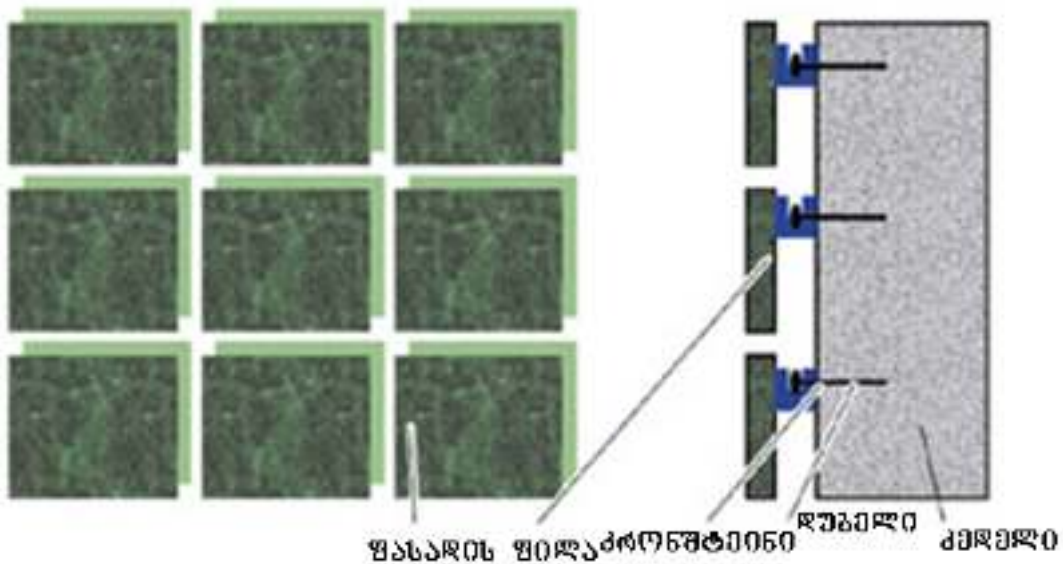
სიგნალების დამუშავების ელექტრონულ ბლოკს აქვს კრიტიკული დაკალიბრებული მნიშვნელობების საფუძველზე, რომლის თანახმად აკუსტიკური სიგნალის ანალიზის ინტეგრალური კოეფიციენტი არ უნდა გასცდეს ტაბულირებულ საზღვრებს. მოცემული საზღვრების მიღწევის შემთხვევაში, პიეზოკერამიკული სენსორების კომპლექსი სიგნალს აძლევს ოპერატორს ავარიული სიტუაციის შესახებ.

I.7.9. სამშენებლო მონიტორინგის სისტემის ორგანიზების პრაქტიკული ამოცანები

ფასადური სისტემების მდგომარეობის მონიტორინგი ამპლიტუდური ოპტიკურ-ბოჭკოვანი სენსორების ბაზაზე.

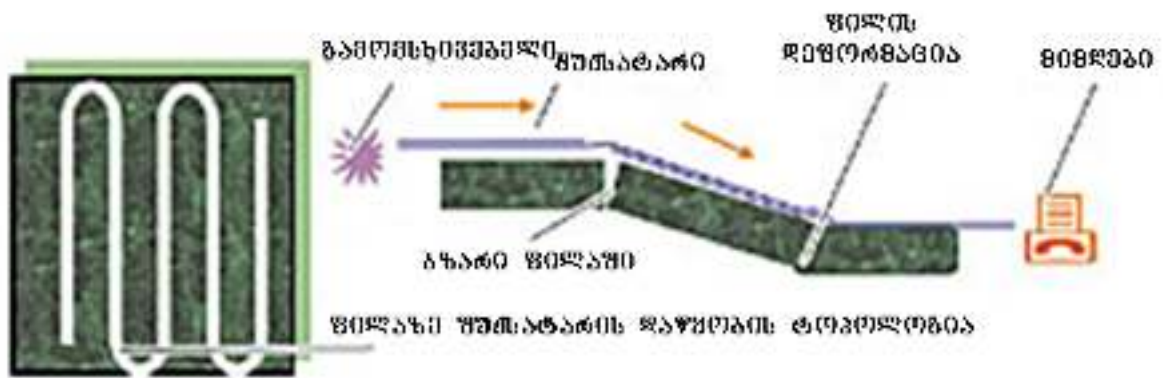
ფასადის კონსტრუქციების მონიტორინგის სისტემის შესაქმნელად შესაძლებელია ოპტიკურ-ბოჭკოვანი სენსორული სისტემების შემუშავება, რომლებიც კონკრეტულად იქნება ორიენტირებული მშენებელი ინჟინერების მიერ დასახულ ამოცანებზე. ამ შემთხვევაში სასურველია გამოვიყენოთ ამპლიტუდური ოპტიკურ-ბოჭკოვანი სენსორების ბაზაზე სპეციალურად შექმნილი მონიტორინგის სისტემა და არ გამოვიყენოთ

შესაძლებლობების ფართო სპექტრის მქონე ხელსაწყოები. შედეგად, ფასადის კონსტრუქციების მონიტორინგის სისტემის მომხმარებლებს ექნებათ ინსტრუმენტი, რომელიც გააკონტროლებს მხოლოდ საჭირო პარამეტრებს საჭირო სიზუსტით, რომელსაც გონიოვრული ღირებულება ექნება.

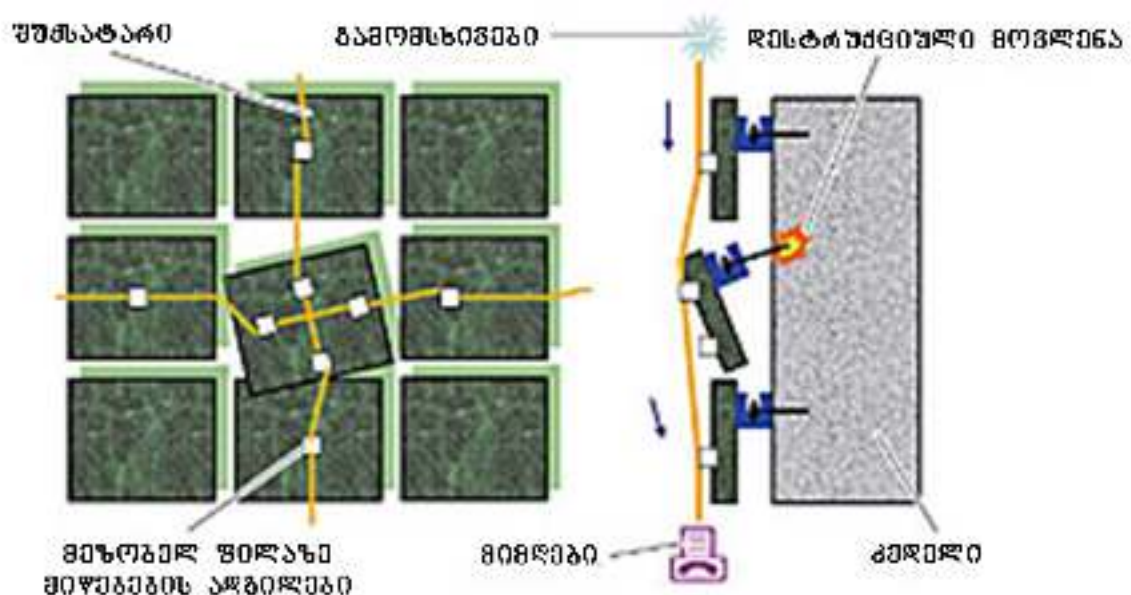


ნახ. I.44.

ერთ-ერთი ვარიანტის სახით განვიხილოთ ფილტრით მოპირკეთებული ფასადი (ნახ. I.44). გადაადგილების და დეფორმაციის ოპტიკურ-ბოჭკოვანი სენსორების დაყენება შესაძლებელია, როგორც ფასადის მონტაჟისას, ასევე საექსპლუატაციო კონსტრუქციაზეც. რადგან ფასადი შედგება გარკვეული რაოდენობის ფილტრებისგან, ამიტომ კონტროლის ბაზისურ ობიექტად შეიძლება ავირჩიოთ ერთ-ერთი მათგანი. ფილას შეიძლება ჰქონდეს ავარიული მოვლენის ორი ვარიანტი: წანაცვლება კრონშტეინის შესუსტების გამო ან თვით ფილის დეფორმაცია და როგორც შედეგი მის ზედაპირზე ბზარის წარმოქმნა ან განვითარება. ბუნებრივია, შესაძლებელია ამ ორი სიტუაციის ერთობლივი განვითარების ვარიანტიც (ავარიული მოვლენების ზედდება ან სუპერპოზიცია). ამ სიტუაციების გასაკონტროლებლად საკმარისია გვქონდეს მრავალარხიანი ოპტიკური ტესტერისებრი სენსორი, რომლის შუქსატარები მიწებებულია გასაკონტროლებელი ფილის ზედაპირზე. თუ ავირჩევთ ფილაზე შუქსატარების განლაგების ტოპოლოგიას, მივიღებთ დეფორმაციის სენსორს (ნახ. I.45). ფარდობითი წანაცვლების განსაზღვრისათვის უნდა მივაწეოთ ორი შუქსატარი – ერთი პორიზონტალური და მეორე ვერტიკალური მიმართულებით ისე, რომ გასაკონტროლებელი ფილის გარდა, შუქსატარი მიწებებული იყოს უახლოეს შეერთებებზეც (ნახ. I.46).



ნახ. I.45.



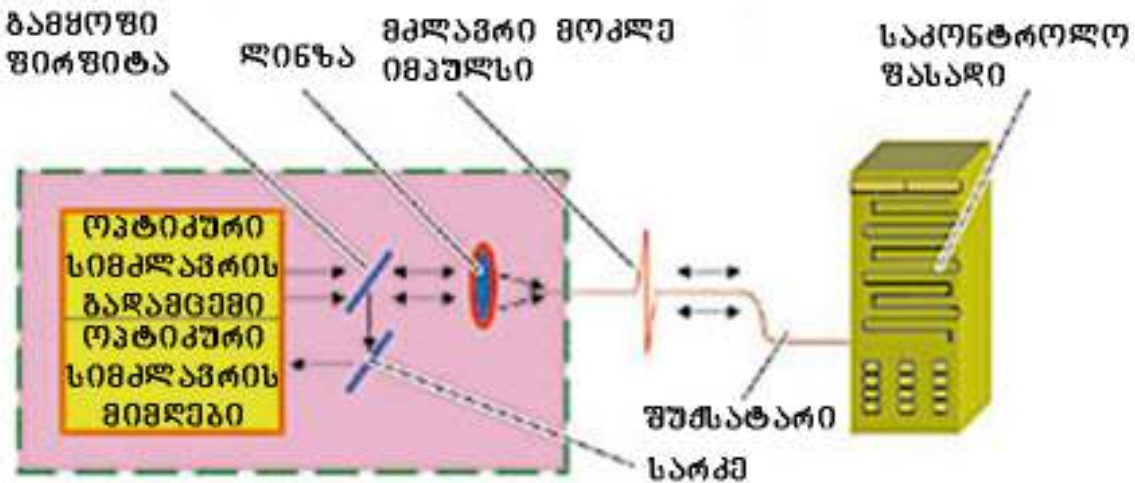
ნახ. I.46.

დეფორმაციის და წანაცვლების სენსორის მოქმედების პრინციპი დამყარებულია წყაროდან გაგზავნილი და შუქსატარში გავლილი სინათლის გამოსხივების ოპტიკური სიმძლავრის კონტროლზე. ოპტიკური სიმძლავრის გამზომი საშუალებას იძლევა გასაკონტროლებელი ფილის დეფორმაციის ან წანაცვლების ხარისხის მიხედვით დავაფიქსიროთ გარდაქმნილი ოპტიკური სიგნალის გამოსავალი ძაბვა.

შედეგად სენსორი, საპროექტო მდებარეობიდან დაუშვებელი გადახრის არსებობის შემთხვევაში სიგნალს იძლევა აგარიული მოვლენის შესახებ, რადგან ადგილი ექნება გამოსავალი ძაბვის შემცირებას ექსპლუატაციის უსაფრთხო პირობების შესაბამის ზღვარზე დაბლა. ზემოთქმული ეხება როგორც წანაცვლების სენსორებს, ასევე დეფორმაციის სენსორებსაც, რომლებსაც შეუძლია აკონტროლოს ფასადის სისტემის ნებისმიერი სხვა ელემენტი.

ფასადის ელემენტების დეფორმაციისა და წანაცვლების მონიტორინგის სისტემის, ასევე მარტივად და ადვილად ორგანიზება უზრუნველყოფს ავარიული მოვლენის დაწყების ზუსტ ფიქსირებას. ამ ფაქტის გათვალისწინებით, რომ ოპტიკურ

შუქსატარს მაღალი სიმტკიცე და მაღალი მგრძნობიარობა ახასიათებს მისი გეომეტრიული ზომის და ფორმის ცვლილების მიმართ (გაჭიმვის ან შეკუმშვის შემთხვევაში, მიკროგადახრების, მიკრობზარების და წყვეტების გაჩენისას), შემოთავაზებული სენსორი ოპტიკური ტესტერის ბაზაზე გვაძლევს მონიტორინგის იაფ და ხარისხიან ინსტრუმენტს.



ნახ. I.47.

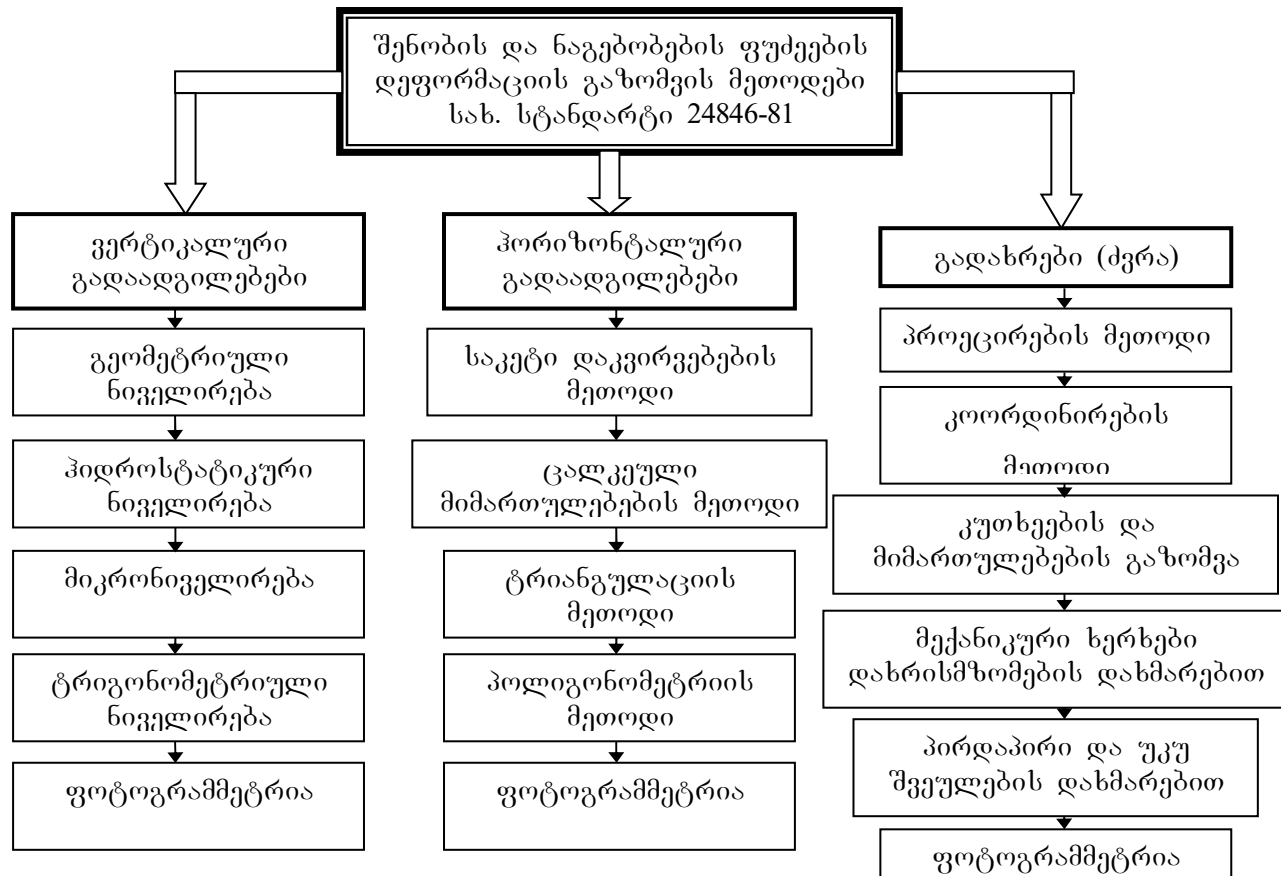
საჭიროების შემთხვევაში შესაძლებელია კონტროლის სისტემის მოდიფიცირება ნებისმიერი სხვა ფასადისთვის. ამასთან, ოპტიკური ბოჭკო მიწებებულია ფასადის მთელს ზედაპირზე საკონტროლო ზონის მაქსიმალური დაფარვით (ნახ. I.47). ამგვარი მეთოდიკა საშუალებას იძლევა გამოვიყენოთ უფრო რთული, მაგრამ გაცილებით მგრძნობიარე ინტერფერომეტრული სქემები. ამ შემთხვევაში, ოპტიკური შუქსატარის მდგომარეობის დიაგნოსტიკა, როგორც წესი, ხდება სხვადასხვა ტიპის რეფლექტომეტრებით. რომლებიც საშუალებას იძლევა გავაანალიზოთ შუქსატარში პირუელ გაბნეული სინათლის გამოსხივების ნაირსახეობები: რელეის, რომანვის და ბრილუენტოვის.

I.8. შენობების და ნაგებობების სივრცითი დეფორმაციის მონიტორინგი

ახალი მშენებლობის გავლენის ზონაში ან ბუნებრივ-ტექნიკური ზემოქმედებით გამოწვეული საფუძვლის გრუნტის არათანაბარი ჯდომის გავლენის ქვეშ მყოფი შენობების სივრცით დეფორმაციაზე გეოდეზიური დაკვირვების ტრადიციული ტექნოლოგია ითვალისწინებს პერიოდული სამუშაოების ჩატარებას ვერტიკალური (ჯდომა) და პორიზონტალური (ძვრა) გადაადგილებების ცალ-ცალკე განსაზღვრისათვის, და აგრეთვე გადახრების გაზომვას.

ნაგებობის და მათი ელემენტების გადაადგილებები შეიძლება განისაზღვროს სხვადასხვა მეთოდებით [1], რომელიც მოცემულია სქემაზე (ნახ. I.48). მეთოდის შერჩევა

დამოკიდებულია დეფორმაციის ხასიათზე გაზომვის სიზუსტის პლასის მოთხოვნებზე, აგრეთვე გეოდეზიური სამუშაოების ჩატარების პირობებზე.



ნახ. I.48. შენობების და ნაგებობების ფუძეების დეფორმაციის გეოდეზიური გაზომვის მეთოდები

ვერტიკალური გადაადგილებები. სამოქალაქო და საზოგადოებრივი დანიშნულების ნაგებობების უმეტესობისათვის მათი კონსტრუქციების ტექნიკური მდგომარეობის მონიტორინგის ფარგლებში ფუძეების არათანაბარი დეფორმაციისას გაზომვის მირითად მეთოდად იყენებენ **გეომეტრიულ ნიველირებას**, რაც ითვალისწინებს ნაგებობების ფუძის დონეზე დადგენილი გაზომვების ციკლების მიხედვით ჯდომის მანიშნების ვერტიკალურ გადაადგილებებზე დაკვირვებას, ეს მეთოდი დღეისათვის ფართოდ გავრცელებულია თავისი ლირსებების წყალობით, როგორიცაა გაზომვების სიზუსტე და სიმარტივე, სამუშაოების შესრულების შესაძლებლობა ნებისმიერი გარე პირობების მიუხედავად, ხელმისაწვდომობა, ხელსაწყოების კომპაქტურობა.

მანიშნებს შორის პირდაპირი ხილვადობის არ არსებობის პირობებში, გაზომვის შეზღუდული სივრცის შემთხვევაში მიზანშეწონილია **პიდროსტატიკური ნიველირების** გამოყენება, რომელსაც აქვს გაზომვის დიდი სიზუსტე და აგრეთვე საშუალებას იძლევა გამოყენებული იქნას ავტომატიზებული სტაციონალური სისტემები ინფორმაციის დისტანციური ჩაწერით. არსებობს ვიდეოგამზომი პიდროსტატიკური გაზომვის სისტემები სხვადასხვა სიმაღლის პორიზონტების გასაზომად. ერთმანეთის სიახლოვეს

განლაგებული წერტილების ჯდომაზე (0.01 მმ) დაკვირვების მაღალ საიმედოობას უზრუნველყოფს **მიკრონიველირება**. სიმაღლის მკვეთრი ცვლილებების პირობებში, ძნელად მისაღვანმ ადგილებში განთავსებული გადასაღები წერტილების არსებობისას, აგრეთვე წინააღმდეგობებისას ნიველირების წარმოებისას იუნებენ **ტრიგონომეტრიულ ნიველირებას**.

პორიზონტალური გადაადგილებები. პორიზონტალური გადაადგილებების გამოვლენა წარმოებს ობიექტის შესაბამისი წერტილების გეგმური კოორდინატების სხვადასხვაობის მიხედვით დაკვირვების სხვადასხვა ციკლებისას. **საკეტი გაზომვები** გამოიყენება სწორხაზოვანი ნაგებობების ან მათი ცალკეული ნაწილების ძვრის მიმართულების შესახებ ინფორმაციის არსებობისას. საკეტი გაზომვების ტრადიციულ ხერხებს მიეკუთვნება მცირე კუთხეების მეთოდი (საკეტის მომიჯნავე წერტილებს შორის პოლარული დაშორებების და მცირე კუთხის გაზომვა), მოძრავი მარკის მეთოდი (მოძრავი მარკის მეშვეობით საკეტი გადაადგილებების განსაზღვრა). **ცალკეული მიმართულებების მეთოდი** გამოიყენება საკეტი ჩამაგრების შესაძლებლობის არსებობისას, ამასთან იზომება ნაგებობებზე და საყრდენ პუნქტებზე დამაგრებული მარკების მიმართულებებს შორის კუთხეები.

გადახრები (ძერები). გადახრების და ღუნვის შესახებ მონაცემებს იღებენ ნაგებობის საძირკვლის და კორპუსის მდებარეობაზე დაკვირვების შედეგების მიხედვით. გადახრის განსაზღვრისათვის გამოიყენება კონსტრუქციის ზედა წერტილის **პროექტირების მეთოდი** სტაბილურ ფუძეზე თეოდოლიტის ან ვერტიკალური პროეცირების ხელსაწყოების დახმარებით. **კუთხეების და მიმართულებების გაზომვის მეთოდი** გამოიყენება მაღალი ნაგებობებისათვის დახურული ფუძით და მდგომარეობის მარკაზე მიმართულების კუთხის ორი პუნქტიდან გაზომვაზე ობიექტის ზედა დონიდან და საყრდენი მიმართულებიდან.

კოორდინატების მეთოდი თავის თავში აერთიანებს საყრდენი გეოდეზიური ქსელის, ტრიანგულაციის მეთოდის ან პოლიგონომეტრიის შექმნას, რომლის წერტილებიდან განისაზღვრებიან ნაგებობებზე დამაგრებული დეფორმაციული მარკების კოორდინატები. **ტრიანგულაციის მეთოდი** ითვალისწინებს ტრიანგულაციური ქსელის შექმნას, სადაც იზომებიან ბაზისები და კუთხეები მანიშნების კოორდინატების შემდგომი გამოთვლით, უპირატესად გამოიყენება საკეტების ბოლო საყრდენი ნიშნების მდგრადი მდგომარეობის უზრუნველყოფის შეუძლებლობისას. მშენებლობის შევიწროებული (შეზღუდულ) პირობებში გამოიყენება პოლიგონომეტრიის მეთოდი, რომლისთვისაც საჭიროა მაღალი სიზუსტის მქონე კუთხური და წრფივი გაზომვები.

ნაგებობების ელემენტების გადაადგილების ცალკეული გაზომვის შედეგების მიხედვით გამოითვლება დეფორმაციული პროცესის ძირითადი მახასიათებლები (ცხრილი I.2), ხდება ობიექტის დეფორმაციის შემდგომი პროცესის პროგნოზირება და მოწმდება საპროექტო ანგარიშების მართებულობა.

ნაგებობების დეფორმაციის ზემოთ ჩამოთვლილი მეთოდებიდან უმრავლესობა დღეისათვის კარგავს აქტუალობას შრომატევადობიდან გამომდინარე, აგრეთვე გეოდეზიური ხელსაწყოების ბაზის თანამედროვე სრულყოფის და განვითარების სისტრატეგიდან გამომდინარე.

ცხრილი I.2.

დეფორმაციის პროცესის მახასიათებლები			
დასახელება	აღნიშვნა	გამოსათვლელი ფორმულა	შენიშვნა
1	2	3	4
აბსოლიტური ჯდომა	s	$s = H_i^{mim} - H_i^{saw}$	$H - i$ წერტილის სიმაღლე
საშუალო ჯდომა	\bar{s}	$\bar{s} = \sum_l^n s/n$	n – ჯდომების გაზომვის წერტილების რიცხვი
ჯდომების სხვადასხვაობა	Δs	$\Delta s_{i,j} = s_i - s_j$	i, j – ჯდომების გაზომვის წერტილები
ჯდომების ფარდობითი სხვადასხვაობა	$\Delta s/L$	$\Delta s_{i,j}/L_{i,j}$	$L_{i,j}$ – მანძილი წერტილებს შორის
გადახრა (პორიზონტალური გადაღვილება)	$D(\Delta x, \Delta y)$	$\Delta x = x_i^{mim} - x_i^{saw}$ $\Delta y = y_i^{mim} - y_i^{saw}$ $D = \sqrt{\Delta x^2 + \Delta y^2}$	$x, y - i$ წერტილის პორიზონტალური გორიზონატები
გადახრა ვერტიკალიდან	u	$u_x = x_i^{zeda} - x_j^{qveda}$ $u_y = y_i^{zeda} - y_j^{qveda}$	i, j – ერთი ვერტიკალური სიბრტყის ზედა და ქვედა დონის წერტილები
დახრა	Δu	$\Delta u = u_i^{mim} - u_i^{saw}$	–
გადახრა (ძვრა)	i	$i = \frac{u}{h}$	h – წერტილებს შორის გადახრა
ფარდობითი ჩაღუნვა (ამოღუნვა)	f/L	$\frac{f_{j-1i+1}}{L_{j-1i+1}}$ $= \frac{(2s_i - s_{i-1} - s_{i+1})}{2L_{j-1i+1}}$	f – ჩაღუნვის ისარი, L სიგრძის უბანზე $i-1, i$ და $i+1$ წერტილებს შორის
გრეხვის ფარდობითი კუთხე	v	$v = (\beta_1 + \beta_2)/L$ $\beta_1 \cong tg\beta_1$ $= -(s_1 - s_2)/B$ $\beta_2 \cong tg\beta_2$ $= -(s_3 - s_4)/B$	s_n – 1-4 წერტილების ჯდომა ნაგებობის ტორსების მიხედვით L, B – წერტილებს შორის დაშორება

1	2	3	4
დეფორმაციის საშუალო სიჩქარე	ν	$v = (s_i^k - s_i^n)/t$	$t - n$ და k გაზომვის ციკლებს შორის დროის პერიოდი

ფუძის დეფორმაცია, როგორც მისგან გამოწვეული ნაგებობების დეფორმაციები, უმრავლეს შემთხვევაში ატარებენ სივრცით ხასიათს. მიუხედავად ამისა ხშირად გეოდეზიური მონიტორინგის მიეღვით სამუშაოების წარმოებისას, რაც რა თქმა უნდა აისახება ნაგებობების კონსტრუციის ტექნიკურ მდგომარეობაზე დეფორმაციის გავლენის და მათი შემდგომი განვითარების პროგნოზირების შესახებ ტექნიკური დასკვნის ხარისხზე. ეს იწვევს შეცდომებს შესაბამისი დონისძიებების ჩატარების რეალების შედეგისას, რაც აფრთხილებს კრიტიკული დეფორმაციებისას ნეგატიურ შედეგებს.

ფუძის დეფორმაციის როგორც ხასიათისას აუცილებელი ხდება სახასიათო წერტილების მასივის სივრცითი გადაადგილებების გეოდეზიური გაზომვის განხორციელება რამოდენიმე დონეზე სიმაღლის მიხედვით და ობიექტის პერიმეტრზე. წარმოდგენილი ამოცანის რეალიზაცია ხდება შრომატევადი, თუკი გამოვიყენებო მხოლოდ გაზომვის ტრადიციულ მეთოდებს.



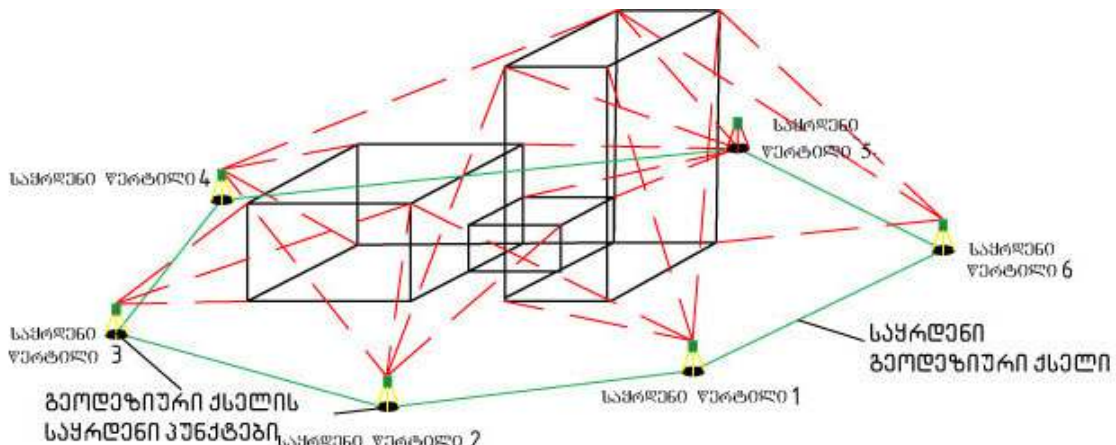
სურ. I.49. ტახეომეტრის საერთო ხედი

დღეისათვის გადაწყვეტის უფრო ეფექტურ ხერხს წარმოადგენს ობიექტის მდგომარეობის სივრცითი აზომვა თანამედროვე ელექტრონული გეოდეზიური ხელსაწყოებით – ტახეომეტრით, რომელიც თავის თავში აერთიანებს კოდური თეოდოლიტის, ლაზერულმანძილმზომის და მინიკომპიუტერის ფუნქციებს. ასეთი

ხელსაწყოები ფართოდაა გავრცელებული თანამედროვე სამშენებლო წარმოებაში და წარმოდგენილია სხვადასხვა ფირმების მიერ, როგორიცაა: SOKKIA (იაპონია), Trimble Navigation (აშშ), Leica Geosystems (შვეიცარია), Topcon Positioning Systems (იაპონია), Nikon (იაპონია), Pentax (იაპონია) და ა.შ. სურ. I49-ზე მოცემულია ტახეომეტრის საერთო ხედი.

ნაგებობის ტახეომეტრიული აზომვა (ს-აზომვა) (ნახ. I.50) ითვალისწინებს მონიტორინგის განსაზღვრულ ეტაპების დანიშნული წერტილების მასივების სივრცით განსაზღვრას. ეს საშუალებას იძლევა გაზომვის სხვადასხვა ციკლში შესაბამისი წერტილების სივრცითი კოორდინატების (x_i y_i z_i) მნიშვნელობების სხვადასხვაობის მიხედვით ერთდროულად გამოითვალოს როგორც ვერტიკალური, ისე პორიზონტალური გადადგილებები, გადახრა (ძვრა) და სხვა დეფორმაციული მახასიათებლები (იხ. ცხრილი I.2).

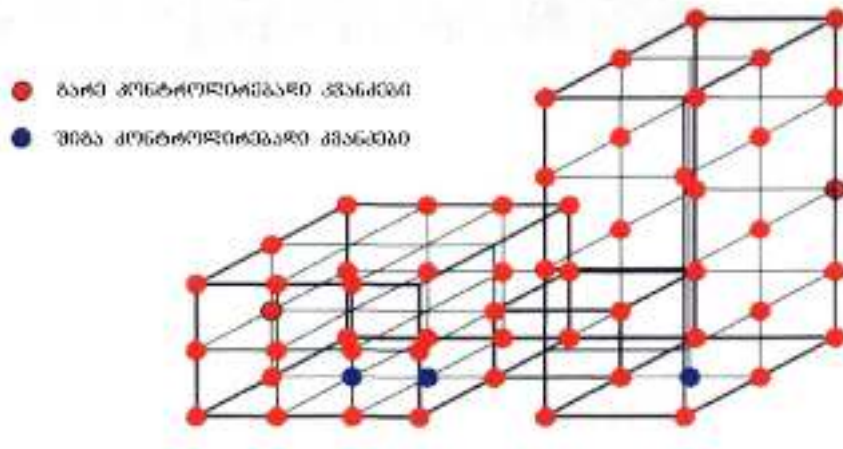
წერტილების მასივის სისტემატიზაციის მიზნით, რომლის გადადგილებებიც თავისი არსით მონიტორინგის საგანს წარმოადგენს შემოვიტანოთ განსაზღვრება ნაგებობის დეფორმაციის კონტროლის სივრცით-საკოორდინაციო მოდელი (ს-მოდელი).



ნახ. I.50. მონიტორინგის ობიექტის ს-აზომვა

ნაგებობების ზომები და მისი კონსტრუქციული სქემის დამოკიდებულებით ს-მოდელი შეიძლება ფორმირებული იქნას მხოლოდ ობიექტის გარე კონტურის მიხედვით, ანუ შედგება გარე კონტროლირებადი წერტილებისგან (კვანძებისგან), რომლებიც ფასადზეა დაფიქსირებული ობიექტის დიდი გაბარიტების ან მისი როცელი კონსტრუქციული სქემის შემთხვევაში გაზომვის სიზუსტის და დეფორმაციის დამატებითი კონტროლის შესაძლებლობების ამაღლებისათვის ს-მოდელი უნდა შეიცავდეს საკონტროლო კვანძებს ობიექტების შიგნით (ნახ. I.51). მოცემული კვანძების ჯდომა განისაზღვრება შენობის შიგნით გეომეტრიული ნიველირების გზით, ამასთან კიფრული ნიველირება მნიშვნელოვნად ზრდის სამუშაოს ტექნიკას. ნაგებობის ფუძის დონეზე განთავსებული გარე კონტროლირებადი კვანძები, შეიძლება დუბლირებული

იქნენ სტანდარტული ჯდომის მარკების დახმარებით, რომლებიც განთავსებულია ობიექტების როგორც შიგნით, ისე გარეთ.



ნახ. I.51. ნაგებობის დეფორმაციის კონტროლის ს-მოდელის გარე და შიგა კონტროლირებადი კვანძები

მონიტორინგის ობიექტების ს-მოდელების ფორმირება დაკავშირებულია რამოდენიმე ძირითადი საკითხის გადაჭრასთან:

- ს-მოდელის კონტროლირებადი კვანძების არჩევის კრიტერიუმების განსაზღვრა;
- გეგმურ-მაღლივი გეოდეზიური საფუძვლის ფორმირებასთან მოთხოვნების განსაზღვრა;
- მონიტორინგის ობიექტთან შეზღუდული დაშვების პრობლემის გადაჭრა;
- ს-მოდელის შექმნისათვის გაზომვის სიზუსტესთან მოთხოვნების განსაზღვრა;
- გაზომვის შედეგების მათემატიკური დამუშავება.

ს-მოდელი წარმოადგენს ურთიერთდაკავშირებული წერტილების (კვანძების) სტრუქტურირებულ მასივს. რომელიც ასახავს მონიტორინგის ობიექტის ძირითად გეომეტრიულ განსაკუთრებულობებს, მისი კონსტრუქციული სქემის განსაკუთრებულობების გათვალისწინებით. ს-მოდელების ფორმირება ხორციელდება რამოდენიმე ეტაპად. აუცილებელი ინფორმაციის შეკრება წარმოებს მონიტორინგის მომზადებულ ეტაპზე ნაგებობის კონსტრუქციის ტექნიკური მდგომარეობის კომპლექსური საინჟინრო გამოკვლევის მიმდინარეობისას.

I ეტაპი – საწყის ეტაპზე, საპროექტო დოკუმენტაციის არსებობის შემთხვევაში ნაგებობის ძირითადი განსაკუთრებულობების გამოვლენა შეიძლება მოხდეს მონიტორინგის ობიექტის ნახვის გარეშეც. ამასთან არქიტექტურული ნახაზების მიხედვით (გეგმები, ფასადები ჭრილები) ფიქსირდება ობიექტის ისეთი მახასიათებლები, როგორიცაა:

- გაბარიტები (ზომები)
- კონფიგურაცია გეგმაში

- სართულიანობა
- ძირითადი ღერძების განლაგება

კონსტრუქციული ნახაზების მონაცემების დეტალური გაცნობისას ძირითადი ურადღება ეთმობა:

- მზიდი კონსტრუქციების განლაგების სქემებს;
- ნაგებობის სივრცით სიხისტეს;
- საძირკვლების ტიპს.

დეფორმაციული მანიშნების განთავსების პროექტის შედგენისას ნაგებობის სახასიათო წერტილებში დამატებით აუცილებელია მოშენების მოედნის საინჟინრო-გეოლოგიური და პიდროგოლოგიური პირობების მონაცემები, რომელთა შესაბამისად შემდგომში განისაზღვრება:

- ჯდომის დასაშვები აბსოლიტური სიდიდეები;
- ჯდომების საპროექტო წინასწარ დასაშვები არაერთგვაროვნება.

დანიშნულების, გაბარიტების, კონსტრუქციული სქემის და სხვა განსხვავებული ობიექტებისათვის საერთო შემთხვევებში სს-მოდელების კონტროლირებადი კვანძები განლაგდება:

- კარქასის კვანძებში;
- მზიდი გრძივი და განივი კედლების გადაკვეთის ადგილებში;
- დეფორმაციული ნაკერების განთავსების ზონაში;
- ნაგებობის ცალკეული ნაწილების შეპირაპირების ადგილებში და სხვა.

ამგვარად, გარე კონტროლირებადი კვანძები უნდა განლაგდნენ აუცილებელი რიგობრიობით გარე კედლების პერიმეტრზე და კუთხეების მიხედვით, ნაგებობის დერძის ბიჯის და სართულების გადახურვის დონის შესაბამისად (საძირკველი – პირველი სართული, შემდეგ არჩეული გადახურვები), უნდა იმყოფებოდნენ სიმაღლის მკვეთრი ცვლილებების ადგილებში, ბურულის მიკვრის ადგილებში და ა.შ.

კონტროლირებადი კვანძების რაოდენობა საკმარისი უნდა იყოს მონიტორინგის ობიექტის სივრცითი დეფორმაციის განსაზღვრისათვის და ჯდომის პროცესის არაერთგვაროვნების გამოვლენისათვის. ამასთან აუცილებელია გავითვალისწინოთ დიდი რაოდენობის წერტილების გაზომვის სირთულე და ეკონომიური მიზანშეწონილობა, გეოდეზიური გაზომვის სიზუსტის შემცირება, რაც პირდაპირაა დამოკიდებული აზომვის სადგურების რაოდენობაზე (ჩაღუნვის მდებარეობაზე). ასევე აუცილებელია ადნიშნული იქნას, რომ მაქსიმალურად სარწმუნო მონაცემების მისაღებად გაზომვების ერთი ციკლის შესრულების დროს უნდა იძლეოდეს ობიექტის სტაბილური მდგომარების გარანტიას. მოცემული ეტაპის დასასრულს ინიშნება ს-მოდელების კონტროლირებადი კვანძების წინასწარი განთავსების ადგილები.

II გზაპი – ს-მოდელების კვანძების წინასწარი არჩევის შემდეგ წარმოებს მათი რაოდენობის და ადგილზე განლაგების კორექცია მონიტორინგის ობიექტის ვიზუალური შესწავლის მიმდინარეობისას შემდეგის გათვალისწინებით:

- გარშემო არსებული განაშენიანების პირობების;
 - ნაგებობების ექსპლუატაციის განსაკუთრებულობების.
- ახლომდებარე ტერიტორიის მჭიდრო განაშენიანების პირობებში საჭიროა:
- მონიტორინგის ობიექტის ს-მოდელების კვანძების დანიშნულ მდებარეობასთან მისაწვდომობის ხარისხის განსაზღვრა;
 - კონტროლირებადი წერტილების რაოდენობის შემცირების შესაძლებლობის განსაზღვრა მათი აზომვის შეუძლებლობისას.

ვიზუალური გაცნობის მნიშვნელოვან ასპექტს შეიძლება მივაკუთვნოთ ნაგებობების გარე მოპირკეთების კონსტრუქციების დაწვრილებითი შესწავლა ჯდომის და დეფრომაციის მანიშნის ტიპის არჩევის მიზნით.

ს-მოდელების შიგა კვანძების ადგილმდებარეობა და რაოდენობა შეიძლება იცვლებოდეს შენობის შიგნით განთავსებული მზიდი კონსტრუქციების ზედაპირებით მიღწევის პირობებზე დამოკიდებულებით.

III გზაპი. ნაგებობებზე კონტროლირებადი კვანძების მდებარეობის ფიქსაცია ხორციელდება დეფორმაციული მანიშნების დახმარებით. ამასთან შესაძლებლობის მიხედვით, აუცილებელია დავიცვათ საკეტების ვერტიკალურობის და მანიშნების დაყენების დონის ჰორიზონტალურობის მოთხოვნები. შემდეგ ფასადების დეტალურ სქემებზე ფიქსირდება გარე დეფორმაციის მანიშნების საბოლოო ადგილმდებარეობები. სართულების გეგმებზე დაიტანება შიგა ჯდომის მარკების ადგილები მზიდი კონსტრუქციების მდგომარეობის მაღლივი კონტროლისათვის. ყოველ მარკას ენიჭება ნომერი, მისი მდებარეობის შესაბამისად, რომლის ქვეშაც შემდგომში ფიქსირდება ყველა დაკვირვება, რომელიც ეხება მოცემულ მარკას.

მოთხოვნები საყრდენი გეოდეზიური ქსელის აგების მიმართ

მონიტორინგის ობიექტების ს-მოდელების აგების მნიშვნელოვან ეტაპს წარმოადგენს საყრდენი გეოდეზიური ქსელის (სგქ) აგება, რომელიც წარმოადგენს წერტილების ადგილმდებარეობაზე არჩეულ და ჩამაგრებულ სისტემას, რომელიც ემსახურება გეოდეზიური აზომვის საყრდენ პუნქტებს. სგქ-ს წერტილების საერთო მოთხოვნები შეიძლება წარმოვადგინოთ შემდეგი სახით [1]:

- დეფორმაციული პროცესების გავლენის ზონის მიღმა განთავსებული ან მოცემული ზონის საზღვრებს გარეთ საკონტროლო ორიენტაციული წერტილების არსებობა;

- სხვადასხვა სახეობის ვიბრაციული პროცესების გავლენის და წერტილების რღვევის შესაძლებლობის არსებობა;
- წერტილის მდგომარეობის სტაბილურობის მუდმივი კონტროლი.

გეგმურ-მაღლივი ქსელის ობიექტების გარე კონტროლირებადი კვანძების ტაქეომეტრული აზომვისათვის იქნება პოლიგონომეტრიის მეთოდით, რომელიც უფრო ხშირად გამოიყენება ქალაქის პირობებში და შეიცავს სგა წერტილებზე განთავსებული სადგურებს, იმ რაოდენობით რაც საკმარისია ობიექტის ყველა მარკირებული წერტილის მდგომარეობის ფიქსაციისათვის. ამასთან დასაშვებია „დაკიდული“ სადგურების არსებობაც. სს-მოდელის კონტროლირებადი კვანძების გადაადგილების სიდიდის განსაზღვრისათვის დეფორმაციული ზონის საზღვრებს გარეთ ჩაიწყობა 3-4 საყრდენი ნიშანი. მათ სტაბილურობაზე მსჯელობენ საწყის და მიმდინარე ციკლში მათი კოორდინატების და სიმაღლეების თანხვედრის მიხედვით.

სგჭს ფორმა განისაზღვრება განაშენიანების ტერიტორიის, მონიტორინგის ობიექტების ფორმის და ფართობის და მასთან მიღწევის მიხედვით [2]. ამაზე დამოკიდებულებით ქსელი პროექტირდება ცალკეული სვლის სისტემის სახით საკვანძო წერტილებით. ნაგებობის აზომვა ხორციელდება კოორდინატების პირობით (ადგილობრივ) სისტემაში. ასეთი სისტემის დერმების უფრო ხელსაყრელი განთავსება მიიღწევა ნაგებობის გრძივ და განივ დერძებთან მათი მიმართულების თანხვედრისას, რაც საშუალებას იძლევა შუალედური გამოთვლების გარეშე განისაზღვროს მოცემული დერძების ახლოს ს-მოდელების კვანძების გადაადგილება.

შიგა კონტროლირებადი კვანძების ჯდომის გერტიკალური შემადგენლობის განსაზღვრის მიზნით შექმნილი მაღლივი ქსელი ფორმირდება გეომეტრიული ნიველირების მეთოდით და შეიცავს საყრდენ რეპერებს, რომელთა მაღლივი მდებარეობა რჩება პრაქტიკულად უცვლელი. რეპერის ტიპი დგინდება მოედნის გრუნტულ პირობებზე დამოკიდებულებით:

- სიღრმითი რეპერები, რომელთა საფუძვლები ჩაიწყობა კლდოვან, ნახევრადკლდოვან ან სხვა ძირითად პრაქტიკულად არაკუმულად გრუნტებში;
- გრუნტული რეპერები, რომელთა საფუძვლები ჩაიწყობა სეზონური გაყინვის ან გრუნტის გადაადგილების სიღმის ქვეშ;
- კედლის რეპერები, რომლებიც მაგრდება მიმდებარე შენობების და ნაგებობების მზიდ კონსტრუქციებზე, რომელთა საძირკველის ჯდომა პრაქტიკულად სტაბილიზებულია.

მაღლივი სგჭ იწყობა ერთეული ბიჯის სახით ან საყრდენ რეპერებს შორის ბიჯების სისტემის სახით, რომლებიც ჩაიწყობა არა უგვიანეს 2 თვით ადრე, ვიდრე დაიწყება ნაგებობის დეფორმაციაზე დაკვირვება. მაღლივი ნიველირების საყრდენი რეპერების მიმართ მოთხოვნები:

- დეფორმაციული პროცესების გავლენის ზონის მიღმა განლაგება ჯდომადი გრუნტის ფენის სამმაგ მანძილზე, ან ქვაბულის მიმაგრების მეთოდზე დამოკიდებულებით მონიტორინგის ობიექტის მიმდებარე ტერიტორიაზე მშენებლობის განხორციელებისას;
- არა ნაკლებ სამი საკონტროლო რეპერის არსებობა;
- დაკვირვების ყოველი ციკლისათვის საყრდენი რეპერების სტაბილურობის კონტროლის შესაძლებლობა.

შიგა ჯდომადი მანიშნების ნიველირება უნდა წარმოებდეს სიმაღლის ერთიან სისტემაში გარე დეფორმაციის მანიშნებთან ერთად ინფორმაციის შემდგომი დამუშავების გამარტივებისათვის. სგჭ-ს ჰუნქტების ზუსტი განლაგება და კონსტრუქცია შემუშავდება უშუალოდ იმ ორგანიზაციის მიერ, რომელიც აწარმოებს გაზოვებს, შესაბამის საექსპლუატაციო და კომუნალური ორგანიზაციების მიერ დამტკიცებული გეგმის მიხედვით და შეთანხმებით.

დეფორმაციული და ჯდომადი მანიშნების დამზადების და დაყენების ტექნოლოგია

საერთო შემთხვევებში დეფორმაციული და ჯდენითი მანიშნები – ესაა გეოდეზიური ნიშნები, რომელიც მჭიდროდაა დამაგრებული ნაგებობის კონსტრუქციებზე, როგორიცაა კედლები, კოლონები, კოჭები, გადახურვები, საძირკვლები და ა.შ, რომლებიც თავის სივრცით მდებარეობას იცვლიან ფუძის არათანაბარი ჯდომის და დეფორმაციის შემდგომი გადანაწილების შედეგად მოელი ნაგებობის მოცულბაში.

გარე დეფორმაციული მანიშნები. სამშენებლო კონსტრუქციების ელემენტების გადაადგილებების სივრცითი შემადგენლის გაზომვისას წინასწარ არჩეულ წერტილებზე (ს-მოდელის კვანძები) ელექტრონული ტაქეომეტრის გამოყენებით აუკნებენ შუქდამბრუნებელ დეფორმაციულ მარკებს თვითწებვადი ამრეკლების სახით, რომლებიც საიმედოდ ეწებება ნებისმიერ თანაბარ ზედაპირს. ამრეკლები წარმოადგენს ბრტყელ თვითწებვად ფირს (ნახ. I.52,ა), რომლის გარე ზედაპირზე დატანილია კატაფოტური ფენა მიკროპრიზმების ან 0.05-დან 0.3 მმ-მდე დიამეტრის შუმის ბურთულების სახით. ფირები მზადდება სხვადასხვა ზომის, უპირატესია მართკუთხა ფორმები, აქვთ მიმართვის ფიქსირებული წერტილი.

თვითწებვადი მარკლების გამოყენება იძლევა შრომის დანახარჯის ეკონომიის საშუალებას, კედლებში დიობების გაბურღვის და დუბელების დაყენების აუცილებლობის არარსებობის შედეგად. ამრეკლებს შეუძლიათ აიტანონ სეზონური კლიმატური ზემოქმედებები.

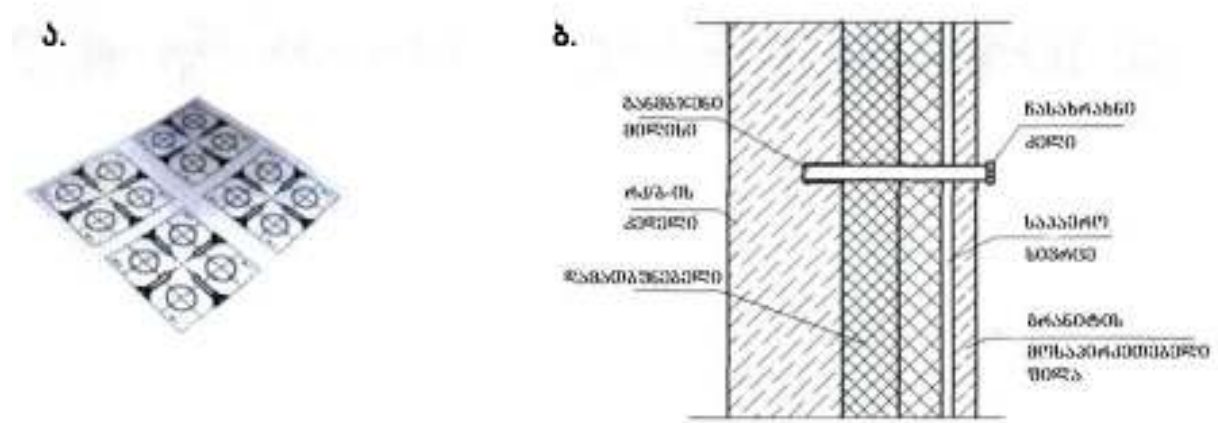
ჯდომის მანიშნები გეომეტრიული ნიველირებისათვის. შედარებით მკაცრი მოთხოვნები წაეყენება ჯდომის მანიშნებს, რომლებიც მაგრდება შიგა

კონტროლირებადი კვანძების განლაგების ადგილებში, რაც გამოიყენება ნიველირის ლარტყის დასამაგრებლად ან ჩამოსაკიდად. მოცემულ შემთხვევაში მათი კონსტრუქციები უნდა უზრუნველყოფნენ ლარტყის მდგომარეობის ფიქსირების სიზუსტეს, მდგრადობას, ხანგრძლივ შენახვას, აგრეთვე უნდა უზრუნველყოფნენ ნიველირების სამუშაოების წარმოების მეტად ხელსაყრელ პირობებს.

დაყენების აღგილების შეასბამისად ჯდენის მანიშნები იყოფა პედლის (კონსტრუქციის ვერტიკალურ საზღვრებზე) და მანიშნი-კონსტრუქციები (ნაგებობის ცალკეული დეტალები, გამოიყენება მანიშნებად). კედლის გარე ჯდომის მანიშნები ძირითადად ყენდება მოკირწყვლის დონიდან $0.4 \div 0.8$ მ-ის დაშორებით. მანიშნები შენობის შიგნით ჩაიწყობა აზომვისათვის მოსახერხებელ სიმაღლეზე ნაგებობის კონსტრუქციებთან დაშვების შესაძლებლობის გათვალისწინებით.

ტრადიციულად ჯდომის მანიშნები მოწყობის და ჩამაგრების ხერხე
დამოკიდებულებით სრულდება:

- გარე და შიგა აგურის (ბლოკის) პედლებში და სვეტებში, რეინაბეტონის და ბეტონის კონსტრუქციების ტანზი ჩასაწყობი;
 - ზედაპირულები, რომლებიც მაგრდება ფოლადის ჩასაწყობ ზოლებზე, ან ფოლადის კოლონებზე;
 - დახურული (მექანიკური დაზიანების აღგილებში);
 - ფარული, შეალერი და ა.შ.



ნახ. I.52. დეფორმაციის და ჯდომის მანიშნები ა) ბრტყელი თვითწებვადი დეფორმაციის
მანიშნები ბ) კედლის ჯდომის მანიშნის მოწყობილობა

შემუშავებული მეთოდიკის რეალიზაციისას შიგა კონტროლირებადი პანძების ნიველირებისათვის გამოიყენებოდა ზედაპირული ჯდომის მანიშნები, რომლებიც ყენდებოდა გადახურვის მზიდ კოჭებზე და მექანიკური ზემოქმედებისგან დაცულ სათავსის შიგა მოპირკეთების კონსტრუქციებზე (დაკიდული ჭერი). სარწმუნო შედეგების მიღების მიზნით გარე ჯდომის მარკები იმ ობიექტებისათვის, რომლებსაც

აქვთ ვენტილირებადი ფასადები და გარე თბოიზოლაცია, რაც დამახასიათებელია დღეისათვის აგებული სხვადასხვა დანიშნულების უმეტესი შენობებისათვის, ეწყობოდა მზიდი კონსტრუქციების ტანში ჩასაწყობი ანკერების სახით. ამ ანკერებში გაზომვის მომენტში ჩაიხრახება ლითონის ძელი, რაც წარმოადგენს ლარტყის ჩამაგრების საყრდენს (ნახ. I.52,ბ). მონიტორინგის მთელი პერიოდის მანძილზე მანიშნების შენარჩუნების უზრუნველსაყოფად ისინი სრულდებოდა მოსახსნელი.

სამგანზომილებიანი ლაზერული გადახრის მზომი სივრცითი კოორდინატების გაზომვისათვის

იქ, სადაც ტახეომეტრი ვერ მუშაობს გამოიყენება ჩვენს მიერ დამუშავებული სამგანზომილებიანი ლაზერული გადახრის მზომი, რომლის ფუნქციონალური სქემა და საერთო ხედი მოცემულია სურ.

I.53-ზე.



სურ. I.53. სამგანზომილებიანი ლაზერული მზომი

ს-აზომვის ტექნოლოგიის გამოყენება შეზღუდული დაშვების პირობებში სამგანზომილებიანი ლაზერული გადახრის მზომის გამოყენებით ტრადიციულ ტექნოლოგიებთან შედარებით, რომლებიც დაფუძნებული იყო სტანდარტული ბრტყელი მარკების გამოყენებაზე საშუალებას იძლევიან:

- გაზომვების შრომატევადობის შემცირება აზომვის სადგურის არარსებობის ხარჯზე, რომლებიც თავსდება გართულებული მიღწევადობის ადგილებში

- (მიმდებარე ნაგებობების სახურავები, სავალი ნაწილები, ტერიტორიის ნაწილები და ა.შ.);
- ნაგებობის სახასიათო წერტილების სივრცითი გადაადგილების უფრო სრული სურათის მიღების უზრუნველყოფა გარე ს-მოდელის კვანძების რაოდენობის ზრდის ხარჯზე, რომლებიც განლაგებულია ზედა კონტროლირებად პორიზონტალურ დონეებში.

კონტროლირებადი კვანძების დეფორმაციის მონიტორინგი

ამოცანის გადაწყვეტისათვის გამოყენება გადაადგილებების განსაზღვრის კოორდინატთა მეთოდი. მონიტორინგის ობიექტის ს-მოდელის დეფორმაციების დროს გარკვეულ შუალედში განსაზღვრავენ დეფორმაციული მანიშნების პორიზონტალური და ვერტიკალური გადაადგილება სიდიდეებით, რომლებიც დაუყრიცულია ნაგებობის კონტროლირებად კვანძებში, რომლებიც გამოითვლება, როგორც შესაბამისი მანიშნების კოორდინატებსა და სიმაღლეებს შორის სხვაობა მონიტორინგის სხვადასხვა ეტაპზე. ამასთან საწყის (ათვლის სათავე) მდგომარეობად მიიღება გაზომვების I ციკლის შედეგები.

გარე კონტროლირებადი კვანძები. ს-მოდელის გარე კონტროლირებადი კვანძების გეგმური და მაღლივი განსაზღვრა სრულდება მათი სივრცით კოორდინატების გაზომვის გზით კოორდინატების ადგილობრივ სისტემაში პოლარული მეთოდით წინასწარ შექმნილი სქემით, რისთვისაც გამოიყენება სამგანზომილებიანი ლაზერული მზომი.

მჭიდრო საქალაქო დასახლება განაპირობებს დიდი რაოდენობის შუალედური სადგურების გამოყენების აუცილებლობას ს-აზომვის წარმოებისას და პოლიგონომეტრულ სვლებში მოკლე მხარეების ჩაწყობას, რაც ამცირებს ორიენტირების სიზუსტეს შემდგომ სადგურზე. ამ მოვლენის აღსაკვეთად რეკომენდებულია სტაციონალური არაგადასატანი დამატებითი საორიენტაციო წერტილების გამოყენება, რომლებიც პოლიგონომეტრიული სვლის სადგურიდან მოშორებულია მანძილით, რაც ამცირებს ცენტრირების და რედუქციის გავლენას.

მოცემულ ნაშრომში დამუშავებულია ს-აზომვის ტექნოლოგიის რეალიზება შეზღუდული დაშვების პირობებში სამგანზომილებიანი ლაზერული გადახრის მზიმის დახმარებით საშუალებას იძლევა ამაღლდეს ს-აზომვის ეფექტურობა სგქ სადგურების რაოდენობის შემცირების და მათ შორის მანძილის გაზრდის ხარჯზე, რაც თავის მხრივ გავლენას ახდენს გაზომვებისას ორიენტირების სიზუსტის გაზრდაზე.

პოლიგონომეტრიული სვლის სადგურების კოორდინატები $S_1, S_2, S_3 \dots S_{q-1}, S_q$, განისაზღვრება კოორდინატთა არჩეულ სისტემაში ადგილზე წრფების სიგრძის L_1, L_2 ,

..., L_{q-1} გაზომვის გზით, რომლებიც თანმიმდევრობით აერთებენ ამ სადგურებს და ქმნიან პოლიგონომეტრიულ სკლას, აგრეთვე მათ შორის პორიზონტალურ კუთხებს β_1 , β_2 , ..., β_a [2]. პოლიგონომეტრიული სკლა ჩაიწყობა საყრდენი (საწყისი) სადგურიდან $S_1 = S_H$ ცნობილი კოორდინატებით x_H , y_H და მოცემული დირექციული კუთხეებით α_H გადამკვეთ წერტილზე S_{CH} . მაშინ $k + 1$ სკლის სადგურისათვის

$$\begin{aligned}\alpha_k &= \alpha_H + \sum_{k=1}^k \beta_k - k180^0; \\ x_{k+1} &= x_H + \sum_{k=1}^k L_k \cos \alpha_k; \\ y_{k+1} &= y_H + \sum_{k=1}^k L_k \sin \alpha_k,\end{aligned}\quad (\text{I.11})$$

სადაც: $\alpha_k = k$ მხარის დირექციული კუთხე;

x_{k+1} , y_{k+1} – პოლიგონომეტრული სკლის $k + 1$ პუნქტის კოორდინატებია

L_k – სკლის პუნქტებს შორის წრფის სიგრძე;

β_k – სკლის მხარეებს შორის კუთხეები.

პოლიგონომეტრიული სკლის (ბიჯის) ჩაწყობასთან ერთდროულად წარმოებს დეფორმაციის მარკების აზომვა ს-მოდელის ვერტიკალური საკეტის მიხედვით მათი განთავსების შესაბამისად. გაზომვების სიზუსტის ამაღლების მიზნით საკეტების აზომვა შესაძლებლობის მიხედვით დუბლირდება სკლის (ბიჯის) მეზობელი სადგურებიდან (ნახ. I.54).



ნახ. I.54. ს-მოდელის ვერტიკალური სკლის ტაქ्सომეტრული აზომვა

დეფორმაციის მარკების სივრცითი კოორდინატები, რომელიც მოწყობილია კონტროლირებად კვანძებში, განისაზღვრება დეფორმაციის მანიშნებზე დახრის კუთხის და მანძილების გაზომვის შედეგების მიხედვით ხელსაწყოში სკლის სადგურის კოორდინატების მნიშვნელობების და ინსტრუმენტის სიმაღლის საფუძველზე (ნახ. 55).

$$\begin{aligned}x_i &= X_k + N \sin \theta \cos \alpha; \\y_i &= Y_k + N \sin \theta \sin \alpha; \\z_i &= Z_k + N \cos \theta + I_h,\end{aligned}\quad (I.12)$$

სადაც: $X_k, Y_k, Z_k - k$ პოლიგონმეტრიული სვლის კოორდინატებია;

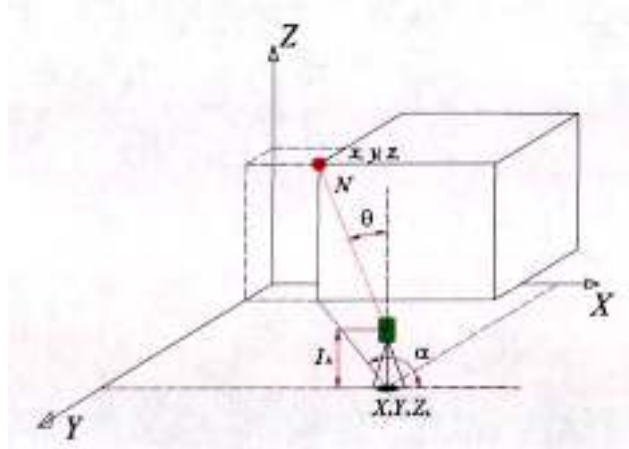
$x_i, y_i, z_i - i$ დეფორმაციის მანიშნის კოორდინატები;

N – დახრილობის მანძილი;

θ – ზენიტის კუთხე;

α – დირექციული კუთხე;

I_h – ინსტრუმენტის სიმაღლე.



ნახ. I.55. ს-მოდელის კვანძების სივრცითი კოორდინატების განსაზღვრა

პოლიგონმეტრიული სვლა იკვება საწყის სადგურზე $S_q = S_H$ ან $S_q = S_3$ სადგურზე x_3, y_3 ცნობილი კოორდინატებით და α_3 დირექციული კუთხეებით S_{C3} გადამკვეთ წერტილზე.

ელექტრონული ტაქეომეტრების გამოყენება საშუალებას იძლევა ვაწარმოოთ პორიზონტალური, ვერტიკალური კუთხეების და დახრილობითი მანძილების ერთდროული გაზომვა. პროგრამული უზრუნველყოფა ავტომატურად ითვლის ვიზირებული სამიზნეების სივრცით კოორდინატებს გასაზომ მანძილებში და გასაზომ კუთხეზე ხელსაწყოს ვერტიკალური ღერძის გადახრაში შესწორებების გათვალისწინებით.

არათანაბარი დეფორმაციის სიდიდე და მიმართულება განისაზღვრება დეფორმაციული მანიშნების კორდინატების სხვადასხვაობის მიხედვით დროის შუალედში ნულს და j -იურ ციკლებს შორის.

$$\begin{aligned}\Delta X_i^j &= x_i^0 - x_i^j; \\ \Delta Y_i^j &= y_i^0 - y_i^j; \\ \Delta Z_i^j &= z_i^0 - z_i^j,\end{aligned}\quad (I.13)$$

მონიტორინგის j ციკლში სს-მოდელის i კოორდინატებად კვანძში გეგმიური გადაადგილებების მიმართულება და სიდიდა:

$$\Delta XY_i^j = \sqrt{(\Delta X_i^j)^2 + (\Delta Y_i^j)^2};$$

$$\varphi_i^j = \arctg \frac{\Delta X_i^j}{\Delta Y_i^j},$$
(I.14)

სადაც: φ – პორიზონტალური გადაადგილების კუთხე

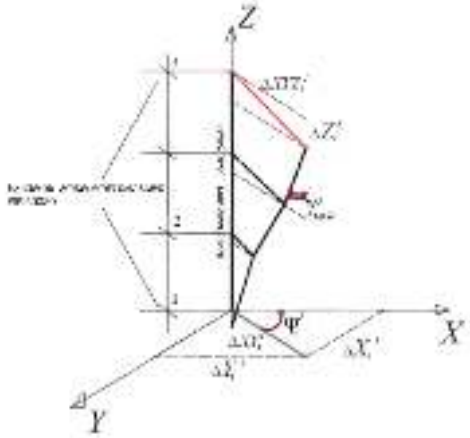
i – კონტროლირებადი კვანძის სივრცითი გადაადგილება

$$\Delta XYZ_i^j = \sqrt{(\Delta XY_i^j)^2 + (\Delta Z_i^j)^2};$$

$$\gamma_{i \rightarrow -1}^j = \arctg \frac{\Delta XY_i^j}{z_i^j - z_{i-1}^j},$$
(I.15)

სადაც: γ – ვერტიკალური გადაადგილების კუთხე

საკეტის გადაადგილების მიმართულება და სიდიდე გამოითვლება ანალოგიური მიმოხილვით ზედა და ქვედა წერტილების კოორდინატებს შორის სხვაობით (ნახ. I.56).



ნახ. I.56. ს-მოდელის ვერტიკალური საკეტის სივრცითი გადაადგილება

შიგა კონტროლირებადი კვანძები. შიგა კონტროლირებად ს-მოდელის კვანძებს შორის წანაცვლება განისაზღვრება მიმდევრობითი გეომეტრიული ნიველირების სვლის ჩაწყობის გზით, საყრდენი რეპერიდან დაწყებული, რომელსაც აქვს ცნობილი ნიშნული, ნიშნულის მიმდევრობითი გადაცემით შენობის საჭირო სართულზე (დონეზე) და შემდგომში ყველა მარკირებული წერტილის აზომვით. ამგვარად ჯდომის მარკის i ნიშნული ყოველ ციკლში:

$$H_i^j = H_{pen} + \sum_{n=1}^n h^j,$$
(I.16)

სადაც: H_{pen} – საყრდენი რეპერის ნიშნული;

n – ჯდომის მარკების რაოდენობა;

h^j – მონიტორინგის i ციკლში ნიველირების ქსელის წერტილებს შორის წანაცვლება

i შიგა ჯდომის მარკის ვერტიკალური ჯდომა შეადგენს

$$\Delta z_i^j = H_i^{j-1} - H_i^j;$$

$$\Delta Z_i^j = H_i^0 - H_i^j,$$
(I.17)

სადაც: Δz_i^j – გაზომვის ციკლებს შორის დროის მანძილზე მარკის ჯდომა;

ΔZ_i^j – გაზომვის ნულოვანი ციკლიდან მარკის სრული ჯდომა.

ს-აზომვის წარმოებისას გაზომვის სიზუსტის მიმართ მოთხოვნები

მონიტორინგის ობიექტის სივრცითი მდებარეობის გეოდეზიური გაზომვა, როგორც გაზომვის ყველა სხვა სახეობა, მუდმივი სიდიდეების განმეორებით განსაზღვრისას იძლევა რამდენადმე განსხვავებულ შედეგებს, რაც განპირობებულია მრავალი ფაქტორით, რომელთა შორის მთავარს წარმოადგენს გაზომვის ძირითადი მახასიათებლები [3]:

- გაზომვის სიზუსტე (განსაკუთრებულად ზუსტი, მაღალი სიზუსტის, ტექნიკური);
- გაზომვის სარწმუნოობა, დამოკიდებულია გაზომვის საშუალებების არჩეულ პარამეტრებზე და ჩასატარებელი გაზომვების მოთხოვნებთან გაზომვის საშუალებების არჩეულ პარამეტრებზე და ჩასატარებელი გაზომვების მოთხოვნებთან გაზომვის საშუალებების მეტროლოგიური მახასიათებლების შესაბამისობაზე;
- გაზომვის ცდომილებები:
- უხეში შეცდომები – გამოწვეულია გასაზომი სისტემების გაუმართაობით, რეგისტრის შეცდომებით, გარე პირობების მქმეთრი გაუარესებით და ა.შ. გამოვლინდებიან მათემატიკური სტატისტიკის მეთოდებით, რაც მოითხოვს განმეორებითი გაზომვების ჩატარებას ან კონტროლდება აქსიომეტრული მაჩვენებლების შესრულებით $\sum \Delta Z = 0$, $\sum \Delta X = 0$, $\sum \Delta Y = 0$;
- სისტემატური – გამოწვეულია ხელსაწყოს, გაზომვის მეთოდების თეორიის შემუშავების არასრულყოფილებით, გასაზომი აპარატურის არაზუსტი გრადუირებით, გაზომვის პირობების ცვლილებებით, გამოსწორდება ექსპერიმენტის შედეგად აღმოჩენილი შესწორებების შეტანით;
- შემთხვევითი – არაკონტროლირებადი ფაქტორების გავლენით (ანათვლების უზუსტობა, ტემპერატურის სემთხვევითი ცვლილება, ვიბრაცია და ა.შ.), ფასდება მათემატიკური სტატისტიკის მეთოდებით მრავალჯერადი გაზომვების მონაცემების მიხედვით.

ს-მოდელის დეფორმაციის გაზომვების სიზუსტე განპირობებულია სამუშაოების წარმოების ტექნიკური დაგალებით ნორმატიული დოკუმენტებით ან, აუცილებლობის შემთხვევაში, მას სპეციალურად ითვლიან. საჭირო სიზუსტე განსაზღვრავს გაზომვის სიზუსტის კლასის არჩევას და ხასიათდება საშუალო კვადრატული ცდომილებით (სკკ).

ს-მოდელის კონტროლირებადი კვანძების სივრცითი მდგომარეობის აზომვის ჩატარების სიზუსტე განისაზღვრება ცდომილების გაჩენის სხვადასხვა წყაროებით:

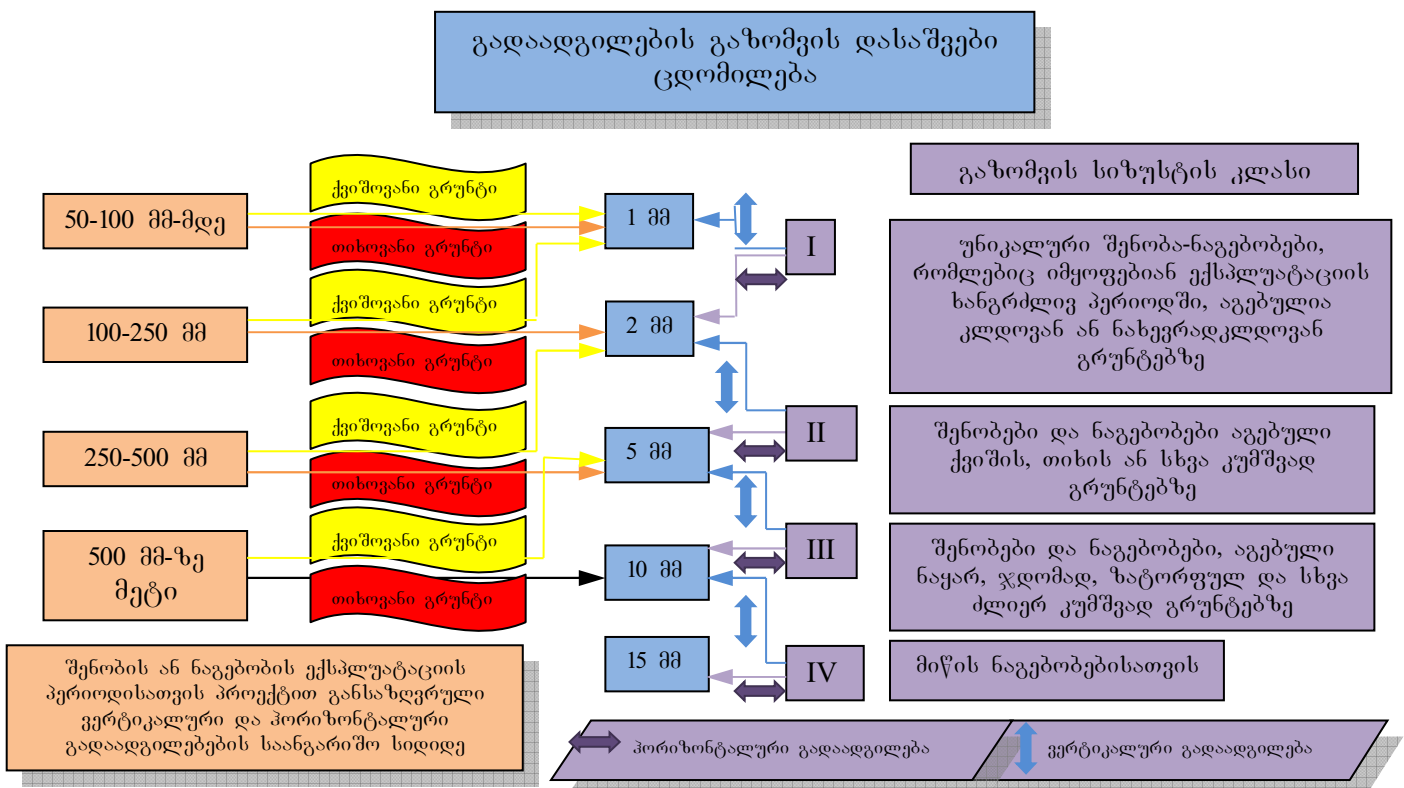
- საწყისი მონაცემების ცდომილება (m_s)

- ცენტრირების ცდომილება (m_c)
- ვიზირების ცდომილება (m_v)
- გარე პირობების გავლენის ცდომილება (m_a)
- ინსტრუმენტალური ცდომილება (m_d)

საერთო შემთხვევაში სს-მოდელის კვანძების კოორდინატების გაზომვის სრული სკვ (საშუალო კვადრატული ცდომილება):

$$m_i^2 = m_s^2 + m_c^2 + m_v^2 + m_a^2 + m_d^2 + \dots + m_n^2 = \sum_{n=1}^n m^2, \quad (\text{I.18})$$

უმრავლეს შემთხვევაში მონიტორინგის ობიექტის გადაადგილებების გაზომვების აუცილებელი სიზუსტე და მისი შესაბამისი სიზუსტის კლასები განისაზღვრებიან ნორმატიული მოთხოვნების საფუძველზე [1], ამასთან ვერტიკალური გადაადგილებების გაზომვები იყოვა სიზუსტის სამ კლასზე, ჰორიზონტალური კი ოთხზე. გადაადგილებების გაზომვის სიზუსტის განსაზღვრის მოხერხებულობისათვის რიცხვი 24846-81-ის ცხრილი I.1 და ცხრილი I.2-ის მონაცემები [1] წარმოდგენილია სქემატური სახით ნახ. I.57-ზე.



ნახ. I.57. გაზომვების დასაშვები ცდომილების განსაზღვრა რიცხვი 24846-81

გადაადგილების გაზომვის სარწმუნობა ფასდება გაზომვის სკვ მეთოდის ფარდობით პროგნოზირებული გადაადგილებების სიდიდესთან, მოვლენის დადგომის სავარაუდობის გამოვლის გზით.

ს-აზომვის ჩატარებისას გაზომვის სიზუსტის ანგარიში

გაზომვის სიზუსტის ანგარიში განსაზღვრავს სამუშაოების წარმოების პროექტს: გაზომვის მეთოდიკას, დასაშვებ გადახრებს, გაზომვის პირობებს. სიზუსტის დაბალი მოთხოვნები არ გამოავლენენ დეფორმაციული პროცესის არსებობას. მომატებული მოთხოვნები, თავის მხრივ, იწვევს დიაგნოსტიკური სამუშოების შესრულების ვადების და მათი დირექტულების ზრდას.

დიაგნოსტიკურ-გასაზომი სამუშაოების სიზუსტის ანგარიშის პროცესის წარმოდგენილი საერთო სახის თანახმად, სს-აზომვის სიზუსტის ანგარიშისას ანსხვავებენ პირდაპირ და უკუ ამოცანებს.

პირდაპირი ამოცანა

უკუ ამოცანა

მიზანი:

სუზუსტის შეფასება

სიზუსტის ანგარიში

მოცემულია:

$B_k; \eta_k$

$\Delta A_i, \xi_i$

განისაზღვროს:

ξ_i

$B_k; \eta_k$

პირობა:

$\xi_i \leq \Delta A_i - \text{პირობა } \text{შესრულებულია}$

$\xi_i \geq \Delta A_i - \text{პირობა } \text{არ } \text{შესრულებულია}$

აქ A_i – ს-მოდელის i კვანძის გადაადგილების მნიშვნელობა გამოითვლება როგორც შესაბამისი კოორდინატების სხვაობა გაზომვის სხვადასხვა ციკლში.

ΔA_i – გადაადგილების გაზომვის დასაშვები (ნორმატიული) სკალარული კორიზონტალური; $\xi_{\Delta Z}$ – გერტიკალური;

B_k – სვლის k სადგურზე სტანდარტული გაზომვები;

α, β, L – შესაბამისად პოლიგონომეტრიულ სვლაში დირექციული კუთხე, მხარის სიგრძე და წრფის სიგრძე;

N, θ, λ – შესაბამისად მარგების აზომვისას დახრილი მანძილი, ზენიტის კუთხე, პოლარული კუთხე;

h – გადაჭარბება ნიველირულ სვლაში;

η_k – გაზომვის საშუალო კვადრატული ცდომილება

m_α, m_β, m_L

m_N, m_θ, m_λ

m_h

ξ_i i დეფორმაციის მარკის i კოორდინატის სკალარული განსაზღვრა

$m_{x(y)}, m_z$

ზემოთ მოყვანილი სიდიდეები დაკავშირებულია შემდეგ საერთო ტოლობებთან:

$$A_i = \varphi_i(B_1, \dots, B_q), i \rightarrow n; \\ \xi_i = \psi_i(B_1, \dots, B_q, \eta_1, \dots, \eta_q), \quad (I.19)$$

სადაც: n – დეფორმაციის მარკების რაოდენობაა;

q – სგა პუნქტების რაოდენობა.

პირდაპირი ამოცანის გადაწყვეტის შედეგად ფასდება გაზომვების ფაქტიური სიზუსტე საკონტროლო სგჭ-ს და გამზომი ხელ საწყოების გამოყენებისას. გაზომვების მოცემული სიზუსტის უზრუნველყოფის აუცილებლობისას წყდება უკუ ამოცანა [2].

შემუშავებული მეთოდიკის რეალიზაციისას კონკრეტული ტიპის გასაზომი აპარატურის არსებობის პირობებში წყდება პირდაპირი ამოცანა. მოცემულ შემთხვევაში სიზუსტის კონტროლი და შეფასება გაზომვების შედეგების მიხედვით წარმოებს პოლიგონომეტრიული სვლის საწყის $S_q = S_H$ ან $S_q = S_3$ წერტილზე ჩატარების ცნობილი x_3 , y_3 კოორდინატებით და α_3 დირექციული კუთხით S_{c3} შემხვედრ წერტილზე. ქსელის სადგურის კოორდინატების განსაზღვრის შეცდომები იზრდება საწყისი წერტილიდან დაცილების პროპორციულად იმასთან დაკავშირებით, რომ მხრის და კუთხის გაზომვა შეიცავს ცდომილებებს შესაბამისად dL_1 , dL_2, \dots, dL_n და $d\beta_1$, $d\beta_2, \dots, d\beta_{n+1}$ სვლის კუთხური და წრფივი აცდენები:

$$\begin{aligned} f_\alpha &= \alpha_q - \alpha_H & \delta f_\alpha &= \alpha_q - \alpha_3; \\ f_x &= x_q - x_H & \delta f_x &= x_q - x_3; \\ f_y &= y_q - y_H & \delta f_y &= y_q - y_3, \end{aligned} \quad (I.20)$$

სრული წრფივი აცდენა

$$f_p = \sqrt{f_x^2 + f_y^2}, \quad (I.21)$$

სვლის პერიმეტრი ფარდობითი აცდენა:

$$\frac{f_p}{\Sigma L} \leq \frac{1}{N}, \quad (I.22)$$

სადაც: N – სვლის დასაშვები ფარდობითი ცდომილების მნიშვნელი.

სგჭ-ს პოლიგონომეტრიის მეთოდით აგებისას წრფივი და კუთხური გაზომვების სიზუსტე შეიძლება აგრეთვე გამოთვლილი იქნას გრძივი და განივი გადაადგილებების კოორდინატების შემადგენელი შეცდომების მიხედვით.

განივი ძვრა:

$$m_u = \frac{m_\beta}{\rho} L \sqrt{\frac{q+3}{12}}, \quad (I.23)$$

გრძივი ძვრა:

$$m_t = m_D \sqrt{q}, \quad (I.24)$$

პოლიგონომეტრიული სვლის ორ საწყის წერტილზე დაყრდნობისას სვლის შეაში იქნება:

$$m_t^{med} = \frac{m_D \sqrt{q}}{2}, \quad (I.25)$$

სკვ ცალკეული სვლის მიახლოებითი შეფასებისას დაახლოებით ერთიდაიგივე მხარეებით, რომლებიც ეყრდნობიან 2 საწყის პუნქტს გაღუნებული სვლისთვის იქნება:

$$M^2 = m_D^2 q + \frac{m_\beta^2}{\rho^2} [D_{D,k}^2], \quad (I.26)$$

სადაც: $D_{D,k}^2$ – დაშორება სვლის ყოველი წერტილიდან მის ცენტრამდე.

სვლის ზღვრული ფარდობითი აცდენა:

$$\frac{2M}{[L]} \leq \frac{1}{N}, \quad (I.27)$$

სადაც: L – სვლის სიგრძე.

დახურული ნიველირული f სვლის აცდენა განისაზღვრება სადგურის n რიცხვისას დახურული სვლის შესაბამისად i ჯდენითი მანიშნის H სიმაღლეებს შორის სხვაობით:

$$f = H_i^K - H_i^H \leq \begin{cases} \pm 0.15\sqrt{n} & - \text{სიზუსტის I კლასი} \\ \pm 0.5\sqrt{n} & - \text{სიზუსტის II კლასი} \\ \pm 1.5\sqrt{n} & - \text{სიზუსტის III კლასი [1]} \\ \pm 5.0\sqrt{n} & - \text{სიზუსტის IV კლასი} \end{cases} \quad (I.28)$$

გადაჭარბების საშუალო კვადრატული ცდომილება m_h სადგურზე ორჯერადი გაზომვების შედეგების მიხედვით:

$$m_h \leq \frac{1}{2} \sqrt{\frac{[d^2]}{n}}, \quad (I.29)$$

სადაც: d – სადგურზე ორჯერადი გაზომვების სხვაობა;

n – ნიველირულ ქსელში სხვაობის საერთო რიცხვი

დახურული სვლებისათვის სიზუსტის შეფასება ხორციელდება სადგურზე გადაჭარბების m_h სკალირიზაციის მიხედვით:

$$m_h \leq \sqrt{\frac{[f^2]}{K \cdot n}}, \quad (I.30)$$

სადაც: f – დახურული სვლის აცდენა, მმ

K – სვლის რიცხვი;

n – სვლაში ნიველირული სადგურის რიცხვი.

სკალირებული სვლებისათვის სიმაღლის განსაზღვრა გამოითვლებოდა შემდეგი ფორმულის მიხედვით:

$$m = m_h \sqrt{n}, \quad (I.31)$$

სადაც: n – სვლაში შედარებით მოშორებულ მარკამდე ნიველირული სადგურების რიცხვი

დეფორმაციული მარკების გადაადგილების გაზომვების სკალირებული ცდომილების თეორიის თანახმად [3]:

$$\begin{aligned} m_{\Delta X(\Delta Y)} &= \pm m_{x(y)} \sqrt{2} \leq m_{\Delta X(\Delta Y)}^{\text{ნორმ}}; \\ m_{\Delta Z} &= \pm m_{z(h)} \sqrt{2} \leq m_{\Delta Z}^{\text{ნორმ}}, \end{aligned} \quad (I.32)$$

უკუ ამოცანის გადაწყვეტის შემთხვევაში საპროექტო სგჭ-ს აგების სიზუსტის შეფასება მდგომარეობს საკვანძო პუნქტების კოორდინატების მოსალოდნელი ცდომილების სვლის ფარდობითი შეცდომების განსაზღვრაში და მათ შედარებაში დასაშვებ მნიშვნელობებთან. ქსელში გაზომვების სიზუსტის წინასწარი ანგარიშის საფუძველში დევს შემდეგ დამოკიდებულებები:

$$m_F = \mu \sqrt{\frac{1}{P_F}}; \quad (I.33)$$

$$\begin{aligned} \frac{1}{P_F} &= f_1 f_1 Q_{11} + 2 f_1 f_2 Q_{12} + \cdots + 2 f_1 f_t Q_{1t} + f_2 f_2 Q_{22} + \\ &\quad + \cdots + 2 f_2 f_t Q_{2t} + \cdots + f_t f_t Q_{tt}, \end{aligned} \quad (I.34)$$

მატრიცული სახით

$$\frac{1}{P_F} = F_{1t}^T N_{tt}^{-1} F_{t1}; \quad (I.35)$$

$$\frac{1}{P_{xt}} = Q_{tt}, \quad (I.36)$$

სადაც: m_F – ქსელის შეფასებული ელემენტის სკა ფუნქციები;

μ – გაზომვის წონის სკა ერთეულები;

$1/P_F = Q_F$ – ქსელის შეფასებული ელემენტის ფუნქციის უპა წონა.

უკუ წონები დამოკიდებულია ქსელის ზომებზე, კონსტრუქციაზე და მასში ელემენტის მდგომარეობაზე:

$$m_F = \mu \sqrt{\frac{1}{P_F}} \cong f(m_\beta, m_D, k, q, g); \quad (I.37)$$

სადაც: m_β, m_D – კუთხეური და წრფივი გაზომვების სკა;

k – შეფასებული ელემენტების ნომერი ქსელში;

q – სგაჭ-ს პუნქტების რაოდენობა;

g – ქსელის კონსტრუქციის მაჩვენებელი.

სიზუსტის ანგარიში შეიძლება წარმოებული იქნას ორი ხერხით:

1. Q_F გამოთვლილი სიდიდის და სიზუსტის განსაზღვრული ნორმატიული კლასის შესაბამისად μ ცნობილი მნიშვნელობის მიხედვით განისაზღვრება ქსელის შესაფასებელი ელემენტის m_F შეცდომა და შეედარება ნორმატიულს.

2. Q_F გამოთვლილი სიდიდის და m_F დანიშნული მნიშვნელობის მიხედვით განისაზღვრება μ და აირჩევა გაზომვების მეთოდიკა.

კონტროლირებადი კვანძების კოორდინატების გაზომვის აუცილებელი სიზუსტის წინასწარი ანგარიში შეიძლება აგრეთვე ვაწარმოოთ შემდეგი ფორმულის მიხედვით:

$$\begin{aligned} \mu &\leq m_{\Delta X(Y)}/\sqrt{2Q_{x(y)}}; \\ \mu &\leq m_{\Delta z}/\sqrt{2Q_z}, \end{aligned} \quad (I.38)$$

ს-აზომვისას გაზომვების შედეგების მათემატიკური დამუშავება

ნორმატიული დოკუმენტებით საჭიროა გაზომვების შედეგების მათემატიკური დამუშავების შესრულება გათანაბრების გამოთვლების გზით. თუმცა როგორც გამოცდილება გვიჩვენებს მონიტორინგისას განმეორებითი გაზომვების შედეგებში შეუვანილი შესწორება ყოველთვის არ ზრდის დაფორმაციის საერთო სურათის სარწმუნობას.

ნაშრომში გაზომვების სიზუსტის კონტროლი, ს-აზომვისას, არსებული ელექტრონული ტაქეომეტრების და ნიველირების დახმარებით უზრუნველყოფილი იყო გეოდეზიური გაზომვების გათანაბრების პროცესში, რაც საშუალებას იძლევა შევამციროთ გაზომვების მსვლელობის პერიოდში შემთხვევთი ცდომილებების გავლენა. მისი არსი მდგომარეობს ს-მოდელის კვანძების კოორდინატების სავარუდო მნიშვნელობების მიღებაში ჭარბი გაზომვების არსებობისას შედეგების სიზუსტის შემდგომი შეფასებით და აცდენების აღმოფხვრით, რაც განპირობებულია გაზომვების შეცდომების არსებობით. ეს მიიღწევა გაზომილ სიდიდეებში (კუთხე, მანძილი) შესწორებების შეფასნის გზით, ან მათი ფუნქციების შესწორებით (ს-მოდელის კვანძების კოორდინატები).

გეოდეზიური გაზომვების გათანაბრების პროცედურის საფუძველში ჩადებულია ალბათობის თეორია და მათემატიკური სტატისტიკა [3]. გადასაზომი სიდიდეების შესწორებები, არიან რა შემთხვევითი სიდიდეები, ემორჩილებიან შემთხვევითი სიდეების ნორმალური გადანაწილების კანონს, რომლის ძირითად მახასიათებლებს წარმოადგენს: გადანაწილების ფუნქცია, გადანაწილების სიმკვრივის ფუნქცია, მათემატიკური ლოდინი, დისპერსია და საშუალო კვადრატული გადახრა.

გათანაბრების პროცედურა შეიძლება შესრულდეს 2 მეთოდით: არამკაცრი (გასაყოფი) და მკაცრი მეთოდით.

არამკაცრი მეთოდი გამოიყენება პოლიგონომეტრიული სვლის პუნქტების ფარდობითად მცირე რაოდენობისას. მოცემულ შემთხვევაში საკოორდინატო აცდენები გადანაწილდება სვლის მხარის სიგრძის პროპორციულად ნამატები, ხოლო მისი წერტილები წანაცვლდება სვლის პარალელურად აცდენის მიმართულებით.

$$\Delta x_i = \frac{f_x L_i}{\Sigma L}; \quad \Delta y_i = \frac{f_y L_i}{\Sigma L}, \quad (I.39)$$

კუთხეური აცდენა გადანაწილდება კუთხეებს შორის თანაბრად და შეიყვანება საპირისპირო ნიშნით კუთხეების გაზომვის მნიშვნელობაში:

$$\nu_i = \frac{f_\alpha}{k}, \quad (I.40)$$

ნაშრომში გასაყოფი გათანაბრების პროცედურა რეალიზდება MSExcel-ის ელექტრონული ცხრილების საშუალებით.

პოლიგონომეტრიული სვლის პუნქტების დიდი რაოდენობის გამოთვლების სიზუსტის და საიმედოობის გაზრდისათვის, აგრეთვე შეცდომების დაუშვებლობის გარანტიის სახით აუცილებელია გამოვიყენოთ გაზომვების მკაცრი გათანაბრება, რომელიც იძლევა აცდენების თანაბარი გადანაწილების საშუალებას, მათი დაგროვების შესაბამისად. დასაწყისისათვის განისაზღვრება საკვანძო პუნქტების კოორდინატების საბოლოო მნიშვნელობა და საკვანძო მიმართულებების დირექციული კუთხეები, ხოლო შემდგომ ამ მონაცემების მიხედვით თანაბრდება ცალკეულ სვლებში.

ს-მოდელის ავტომატიზებული აგების ტექნოლოგია

ს-მოდელის შექმნა, დაწყებული ნაგებობების სავალე აზომვით და დამთავრებული მზა 3-D სქემის ფორმირებით შეიძლება იყოს სრულად ავტომატიზირებული პროცესი. ჩვენს გამოყენებული ციფრული გეოდეზიური აპარატურა საშუალებას იძლევა მოვახდინოთ მონიტორინგის ობიექტების ს-მოდელების ავტომატიზირებული აგების ტექნოლოგიის რეალიზება დისერტაციის ავტორის მონაწილეობით შექმნილი სპეციალური პროგრამული უზრუნველყოფის გამოყენებით, რომელიც ასრულებს გეოდეზიური ინფორმაციის ავტომატიზებულ გადაყვანას ელექტრონულ ნახაზებად. ეს პროგრამული უზრუნველყოფა შედის კ.წ. გამზომინფორმაციული კომპლექსის შემადგენლობაში, რომლის ძირითად მიზანს წარმოადგენს გეოდეზიური ინფორმაციის დაჩქარებული შეკრების უზრუნველყოფა და მის ბაზაზე შენობების და ნაგებობების ნახაზების ავტომატიზებული აგება. შემუშავებულის საფუძველში დევს თანამედროვე გეოდეზიური ხელსაწყოების გამოყენება (ტაქეომეტრები, გადახრის მზომები და ლაზერული მანძილმზომები) და გაზომვის მონაცემების დამუშავებისათვის თანამედროვე პროგრამული საშუალებების ნაკრები.

გამზომი ინფორმაციული კომპლექსის ტექნიკური ნაწილი ეფუძნება „Sokkia“-ს ტაქეომეტრების გამოყენებაზე. კომპლექსის პროგრამული ნაწილი ეფუძნება გეოდეზიური ინფორმაციის წინასწარი დამუშავების სისტემაზე Prolink (ფირმა „Sokkia“) და ელექტრონული ნახაზების აგების სისტემაზე AutoCAD (ფირმა Autodesk), რომელიც ფლობს ორ პრინციპულ უპირატესობას სხვა ანალოგიურ სისტემებთან შედარებით:

- მონაცემების წარმოდგენის DXE-ფორმატი, რომელიც წარმოადგენს სხვა სისტემებთან მონაცემების გაცვლის უნივერსალურ ფორმატს, კერძოდ სემ სისტემებთან და გეოდეზიური ინფორმაციის დამუშავების სისტემებთან;
- AUTO-LISP შიგა პროგრამების ჩაშენებული ენის არსებობა, რომელიც საშუალებას იძლევა AutoCAD მოვაწყოთ სპეციფიკური ტექნიკური ამოცანების ავტომატური შესრულებისათვის, კერძოდ, ნახაზების აგება გეოდეზიური ინფორმაციის ბაზაზე.

ს-მოდელის ავტომატური აგებისას ქმედებების საერთო მიმდევრობა შეიძლება წარმოვადგინოთ შემდეგი სახით:

1. გეოდეზიური ხელსაწყოების დახმარებით ნაგებობების კონტროლირებადი კვანძების კოორდინატების განსაზღვრა;
2. PROLINK პაკეტის დახმარებით ინფორმაციის დამუშავება და მომზადება;
3. AutoCad-ის სისტემაში ნაგებობების ს-მოდელის კარკასის ავტომატური აგება (აქსონომეტრია და სიბრტყითი ნახაზები).

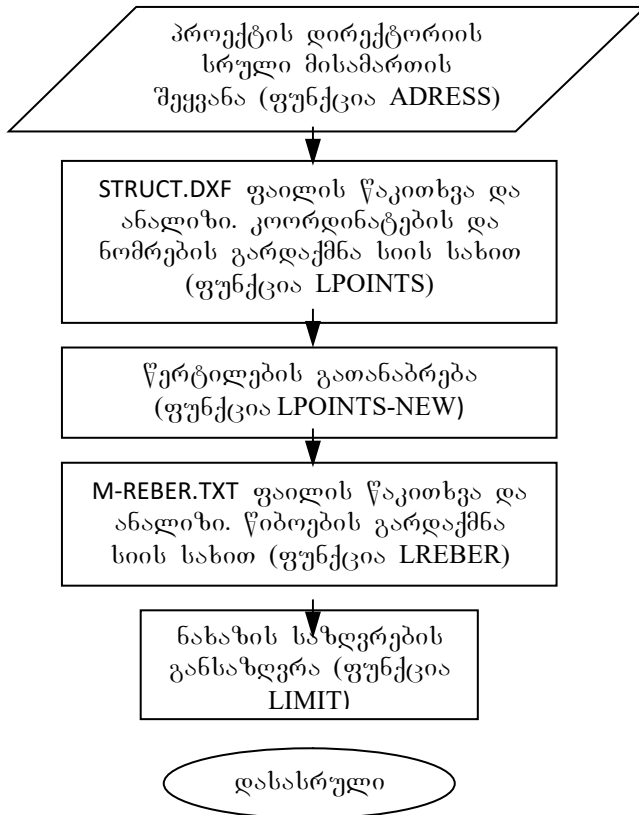
გაზომვების ჩატარების პროცესში ხელსაწყოში დაგროვილი ინფორმაცია შემდეგ გადაიქაჩება კომპიუტერში გეოდეზიური ინფორმაციის დამუშავების სპეციალიზებული პაკეტის PROLINK დახმარებით. ამ პაკეტს აქვს შესაძლებლობა მოახდინოს ინფორმაციის მოდიფიცირება და შეინახოს იგი DXF ფორმატის რამდენიმე ტიპის ფორმატის ფაილებში, რომელიც შედის AutoCAD-ის სისტემაში მონაცემების წარმოდგენის მრავალრიცხოვანი ფორმის შემადგენლობაში.

DXF-ფაილები წარმოადგენენ განსაზღვრული ფორმატის ტექსტურ ფაილებს, რომლებიც ჩვეულებრივ შეიცავენ AutoCAD-ის ნახაზების გრაფიკული ობიექტების შესახებ ინფორმაციას: შრეების დასახელება, გეომეტრიული ობიექტების ტიპები და აღწერა. ამას გარდა უოველ ობიექტთან შეიძლება იყოს დაკავშირებული სხვა რიცხვითი და სიმბოლური მნიშვნელობები, რომელიც აუცილებელია სხვადასხვაგვარი გრაფიკული აგებებისათვის. ამგვარად, DXF-ფაილი შეიძლება შეიცავდეს არა მხოლოდ რიცხვით ინფორმაციას, რომელიც საჭმარისი იქნება ს-მოდელის აგებისათვის, არამედ ტექნიკურ ინფორმაციასაც, აზრობრივი აღწერების ჩათვლით, რაც საშუალებას იძლევა მოვახდინოთ მონაცემების დაჯგუფება AutoCAD-ის შიგნით ნახაზების აგებისას განსაზღვრული ნიშნების მიხედვით.

ნაგებობის ს-მოდელის შექმნისას გაზომვების წერტილების კავშირების ანალიზისათვის დამატებითი ინფორმაციის მომზადება ხდება MSExcel-ის პაკეტში, რომლის ფაილებიც შემდეგ გადაეცემა AutoCAD-ის გრაფიკულ სისტემას.

იმისათვის, რომ კორექტირებული და მომზადებული ინფორმაციის საფუძველზე, რომლებიც შეეხება ნაგებობების გეომეტრიულ პარამეტრებს და წარმოდგენილია AutoCAD-ის საკონტროლო კვანძების კოორდინატებით ავტომატურ რეჟიმში ავაგოთ სს-მოდელის სიბრტყითი ნახაზები და აქსონომეტრია, უნდა განვახორციელოთ მისი დაყენება AutoLISP ენის პრაგრამული ფაილის ჩატვირთვის გზით.

მოცემულ ფუნქციას ასრულებს ტექნიკური ფაილი პირობითი სახელწოდებით MONITORING, რომელიც წარმოადგენს ფუნქციის მიმდევრობის აღწერის პროგრამას ნახაზების ავტომატიზირებული აგებისათვის (ნახ. I.58).



ნახ. I.58. MONITORING მოდულის ალგორითმის ბლოკ-სქემა

ფუნქცია LPOINTS ითვლის ფაილს STRUCT.DXF, აანალიზებს მის შემცველობას, ამოიცნობს კონტროლირებადი კვანძების კოორდინატებს და ნომერს, და ახდენს მათ ორგანიზებას ჩამონათვალის სახით (n_i, x_i, y_i, z_i).

1. პროექტის დირექტორის სრული მისამართის შეყვანა (ფუნქცია ADRESS).
2. STRUCT.DXF ფაილის ანალიზი და წაკითხვა. წერტილების კოორდინატების და ნომრების გარდაქმნა ჩამონათვალში (ფუნქცია LPOINTS).
3. წერტილების გათანაბრება (ფუნქცია LPOINTS-NEW)
4. M-REBER.TXT ფაილის ნალიზი და წაკითხვა. წიბოების გარდაქმნა ჩამონათვალში (ფუნქცია LREBER).
5. ნახაზის საზღვრების განსაზღვრა (ფუნქცია LIMIT)
6. აქსონომეტრიის მითითებულ დირექტორიაში გამოსახვა და ჩაწერა (ფუნქცია AKS)

ფუნქცია LREBER ითვლის M-REBER.TXT ფაილიდან შემაერთებელი წერტილების ნომერს, აანალიზებს მათ და ახდენს წიბოების ჩამონათვალს.

ფუნქცია LPOINTS-NEW ახდენს კოორდინატების ინფორმაციის კორექტირებას ცდომილებების მოცილებისათვის, რომლებიც იწვევენ გეოდეზიური გაზომვების შედეგების დამახინჯებას.

ფუნქცია LIMITS განსაზღვრავს ნაგებობის ნახაზის მასშტაბს მოცემული ფორმატის ფურცელზე მისი განთავსებისათვის გაზომილი წერტილების კოორდინატების ანალიზის გზით, ხაზების არეალის საზღვრების განსაზღვრისათვის აუცილებელი ზღვრული მნიშვნელობების გამოვლენის მიზნით.

ფუნქცია AKS წერტილების კორექტირებული კოორდინატების და წიბოების მატრიცის მიხედვით გამოხაზვს ნაგებობის სს-მოდელის აქსონომეტრიას, ე.წ. კარკასულ-წერტილოვანი მოდელის ფორმაში და იმახსოვრებს მას AKS.DWG ფაილში.

ამგვარად ფორმირებული ფაილები DWG გაფართოებით წარმოადგენენ AutoCAD-ის სისტემის სტანდარტულ ფაილებს და წარმოადგენენ ნაგებობის ს-მოდელის საბაზო ნახაზებს, რომლებიც შეიძლება იყონ არასრული და შემდგომში მოხდეს მათი რედაქტირება არასაკმარისი ინფორმაციის დამატება ხელით. აუცილებლობისას ს-მოდელი შეიძლება გამოვიყენოთ ნაგებობის საანგარიშო მოდელის აგების საფუძვლად, სიბრტყითი და სივრცითი ნახაზების DXF ფაილებიდან სემ-მოდელში გარდაქმნის გზით.

ამგვარად, ობიექტების ს-მოდელის აგების მოცემული ტექნოლოგია იძლევა დიაგნოსტიკური გაზომვების მონაცემების დაჩქარებული დამუშავების საშუალებას და წარმოადგენს შენობების და ნაგებობების მზიდი კონსტრუქციების ტექნიკური მდგომარეობის მონიტორინგის ჩატარების სივრცითი მეთოდიკის ელემენტს.

II. შენობა-ნაგებობების ზღვრული მდგომარეობისა და ნარჩენი რესურსის მონიტორინგის და დიაგნოსტიკის მეთოდოლოგიის დამუშავება დაზიანებათა გათვალისწინებით

II.1. შესაგალი

ბოლო დროს აქტუალური ხდება შენობა-ნაგებობების მონიტორინგი და დიაგნოსტიკა, მათი უსაფრთხოების უზრუნველყოფის და რესურსის გაგრძელების ანალიზის მზარდ აუცილებლობასთან დაკავშირებით [4,5,6,7,8,9-12]. შენობა-ნაგებობების რესურსის, უსაფრთხოების, ხანგამდლეობის, სიმტკიცის პრობლემების გადაწყვეტასთან კომპლექსური მიდგომის მეთოდოლოგია შეიცავს შემდეგ ძირითად დებულებებს:

- მზიდი ელემენტების კონსტრუქციული მასალების მდგომარეობის ანალიზი, გაჩენილი ექსპლუატაციური დაზიანებების და საწყისი ტექნოლოგიური მემკვიდრეობის ჩათვლით;
- მზიდ ელემენტებში მაკრო და მიკრო დეფექტების ზომების, დისლოკაციის, პარამეტრების და ხასიათის განსაზღვრა;
- მზიდ ელემენტების დაძაბულ-დეფორმირებული მდგომარეობის საანგარიშო და ექსპერიმენტალური ანალიზი;
- მასალის ბუნებრივი და დაჩქარებული ხანდაზმულობის (დაბერების) მექანიზმის გამოკვლევა;
- კონსტრუქციის მზიდი ელემენტების ზღვრული მდგომარეობის ანალიზი;
- კონსტრუქციის ელემენტების და მასალების სიცოცხლისუნარიანობის შეფასება დაზიანების სხვადასხვა სტადიაზე;
- სიმტკიცის, ხანგამდლეობის, უსაფრთხოების და ნარჩენი რესურსის საანგარიშო-ექსპერიმენტალური განსაზღვრა;
- შენობა-ნაგებობების ზღვრული მდგომარეობის, სიმტკიცის, უსაფრთხოების და ხანგამდლეობის ძირითადი პრინციპების ჩამოყალიბება კატასტროფების მექანიკის პოზიციიდან.

დიდი ხნის განმავლობაში ფუნდამენტალური და გამოყენებითი კვლევები ორიენტირებული იყო პროგრესის უმნიშვნელოვანესი მახასიათებლების მიღწევაზე (ეფექტურობის, ერთეული სიმძლავრის, სიჩქარის ამაღლება, ახალი მასალების და ტექნოლოგიების ათვისება) ავარიების და კატასტროფების გაჩენის რისკის გათვალისწინების გარეშე. ამის გამო ბევრი განვითარებული მრეწველობის ქვეყანა აღმოჩნდა მძიმე სოციალური, ეკონომიკური და მატერიალური შედეგებისათვის მოუმზადებული, რაც გამოიწვია ძლიერი ავარიების და კატასტროფების მზარდმა

რიცხვმა. ამასთან რთული და საპასუხისმგებლო შენობა-ნაგებობები, რომლებიც წარმოადგენენ უძლეველ საშიშროებას ხალხისა და გარემოსათვის, უმრავლეს შემთხვევაში იქმნებოდა პროექტირების ტრადიციული წესების, გაანგარიშების და გამოცდის უმარტივესი საინჟინრო მეთოდების გამოყენებით.

ამან გამოიწვია, უკანასკნელ ათწლეულში, შენობა-ნაგებობების უსაფრთხოების უზრუნველყოფის ახალი პრინციპების და კონცეფციების ფორმირება, აგრეთვე სამეცნიერო კვლევების ახალი მიმართულების – მონიტორინგის და დიაგნოსტიკის კომპლექსური სისტემების ფორმირება. მომავალში, როგორც ჩანს, ეს სამეცნიერო მიმართულება შეიცავს არა მხოლოდ შენობა-ნაგებობების კატასტროფული რღვევის დაფიქსირებას, არამედ, აგრეთვე მათი გამომწვევი მიზეზების დაღინას და უფრო მეტიც, წინა ავარიული მდგომარეობის განსაზღვრას.

II. შენობა-ნაგებობების ზღვრული მდგომარეობის შესწავლა დაზიანებების გათვალისწინებით

მონიტორინგი და დიაგნოსტიკა დაკავებულია არა იმდენად სხვადასხვა სახეობების ზემოქმედებების შესწავლით, რამდენადაც განსაზღვრული ზემოქმედებებიდან საანგარიშო მოქმედ დატვირთვებზე გადასვლის აპარატის შექმნით. ეს გადასვლა შეიძლება განხორციელდეს შესაბამისი საანგარიშო მოდელების (ფუნქციონალური ან იმიტაციური) შექმნის ბაზაზე სრულმასშტაბიანი ან მოდელური ექსპერიმენტების ჩატარებისას. საექსპლუატაციო დატვირთვის პირობების მონაცემები წარმოადგენს ამომავალ წერტილს ძირითადი საანგარიშო პარამეტრების დანიშვნისას, რომლებიც შედის მონიტორინგის და დიაგნოსტიკის საბაზისო განტოლებებში და საჭიროა ინიცირებული და განვითარებული ავარიების და კატასტროფების შემდგომი მოდელირებისათვის.

საერთო შემთხვევებში შენობა-ნაგებობების ექსპლუატაციისას მათზე მოქმედებს სამი ძირითადი ტიპის დატვირთვა: მექანიკური P_m (წნევისაგან, წონისაგან, ინერციის ძალებისაგან და სხვა); თბური P_t (ტემპერატურის არათანაბარი გადანაწილებისაგან და (ან) მასალების არაერთგვაროვანი თბოფიზიკური თვისებებისაგან) და ელექტრომაგნიტური P_{em} (ელექტრომაგნიტური ველის ზემოქმედებისაგან). ჯამური საექსპლუატაციო დატვირთვები ქმნიან შესაბამის ძაბვებს σ და დეფორმაციებს ε . საექსპლუატაციო დატვირთვის პარამეტრების (დატვირთვის ციკლების რიცხვის N , დროის T , ტემპერატურის T , საექსპლუატაციო ძალების P , დაძაბულობის σ და დეფორმაციის ε) გათვალისწინებით აგებენ დროებით დამოკიდებულებებს P , T , σ , ε . ყველა i -რეჟიმის ანალიზიდან დგინდება უფრო მეტად არახელსაყრელი შესამება P ,

$T : P_{\max} - T_{\max}$ – მომატებული და მაღალი ტემპერატურებისას; $P_{\max} - T_{\min}$ – დაბალი და კრიოგენული ტემპერატურებისას. ასეთი შეხამების რიცხვი განისაზღვრება საანგარიშო დეტალების ან ელემენტების რიცხვის და გეომეტრიული ფორმის, მათში საშიში ზონების და კვეთების რიცხვის გათვალისწინებით. დაძაბულობის მახასიათებლების სწორედ ეს არახელსაყრელი თანწყობა მიიღება გადამწყვეტად კონსტრუქციების სიმტკიცის, უსაფრთხოების და ხანგამძლეობის შემდგომი საანგარიშო-ექსპერიმენტალური შეფასებისათვის. ამას გარდა, დატვირთვის მიხედვით ადგენენ დამატებით საანგარიშო პარამეტრებს:

- ძალვის რხევის სიდიდე (ნაზრდი) $\Delta \mathbf{P}$ და ძალვების ამპლიტუდა $P_a = \frac{\Delta P}{2}$
- ტემპერატურის ნაზრდი ΔT ;
- ვიბრაციული (ორი ან მრავალსიხშირიანი) დატვირთვის ძალვების ნაზრდი ΔP_β .

ამასთან განსაზღვრას ექვემდებარება დაძაბულობა σ (დეფორმაციები ε) ტემპერატურები T , წარმოქმნილი დეფექტების (ბზარების) ზომები, ფორმა და ადგილი ϵ , რომლებიც იცვლება დროში τ . ეს პარამეტრები დამოკიდებულია საექსპლუატაციო დატვირთვის პირობებზე (წნევაზე, მექანიკურ და ელექტრომაგნიტურ ძალვებზე, სიჩქარეზე, აჩქარებაზე), კონსტრუქციული ელემენტების გეომეტრიულ ფორმებზე და ზომებზე, კონსტრუქციული მასალების თვისებებზე. რადგან პრაქტიკულად ყველა ავარიული სიტუაციის გაჩენა და განვითარება იწყება მზიდი ელემენტების დაზიანებით (რღვევა, დეფორმირება, სიმკვრივის კარგვა, მდგრადობის კარგვა), მაშინ დიაგნოსტიკის პროცესში აუცილებელ განსაზღვრას ექვემდებარება საბაზისო პარამეტრების მაქსიმალური (σ_{\max} , ε_{\max} , T_{\max}) და ამპლიტუდური ($\sigma_a, \varepsilon_a, T_a$) მნიშვნელობები. მათი მიხედვით დგინდება შესაბამისი ციკლების ასიმეტრიის კოეფიციენტები.

ჯამური ავარიული დატვირთვები ქმნიან შესაბამის დაძაბულობებს და დეფორმაციებს σ, ε რომლებიც საბოლოოდ განსაზღვრავენ დროის τ დატვირთვის ციკლის N რიცხვის მიხედვით ექსპლუატაციური დაზიანებების დაგროვებას a :

$$a = [\{p_m, p_{em}, p_T\}, \{\tau, N\}_T] \quad (\text{II.1})$$

თუ განხილული რეჟიმების საერთო რიცხვი k -ს ტოლია, მაშინ წრფივი ჯამური დაზიანების საფუძველზე ჯამურ დაზიანებას ვაღებენ შემდეგი ფორმულის გამოყენებით

$$a = \sum_i^k \{ai\} \leq 1 \quad (\text{II.2})$$

აღნიშნული დამოკიდებულებები წარმოადგენს ამოსავალ წერტილს შენობა-ნაგებობების სიმტკიცის მარაგის, საიმედოობის და საინჟინრო უსაფრთხოების

ანალიზისათვის. სიდიდეებს p, T და τ -ს, როგორც წესი იძლევა საექსპლუატაციო რეჟიმები და შეიძლება დარეგისტრირდეს კონსტრუქციების კონკრეტულ-გაზომვით სისტემებიდ. საერთო და ადგილობრივი დაძაბულ-დეფორმირებული მდგომარეობის პარამეტრები σ და ε შეიძლება მიღებული იქნას p, T და τ სიდიდეების მიხედვით ანგარიშით ან ნატურული სპეციალური გაზომვით, არამრღვევი კონტროლის მეთოდებით.

როგორც ზემოთ იყო აღნიშნული, შენობა-ნაგებობების და კონსტრუქციის მზიდი ელემენტების რეაქცია ჯამურ დატვირთვებზე, ფიზიკური ველების და კოროზიული არეების ზემოქმედებაზე წარმოადგენს არა მხოლოდ დაძაბულობის და დეფორმაციების ველების გაჩენას, არამედ დაზიანებების ველის გაჩენას. ამასთან დაძაბულობის კონცენტრაციის ზონებში ადგილობრივ დაძაბულობას და დეფორმაციებს აქვთ მომატებული მნიშვნელობები, ხოლო თვით მასალების დაზიანებების პროცესები მიმდინარეობს უფრო ინტენსიურად და იწვევს რღვევას. ამასთან დატვირთვის და არის პირობებზე დამოკიდებულებით რეალიზდება დაზიანების და რღვევების დაგროვების სხვადასხვა მექანიზმები. ამ მექანიზმებს შორის უფრო საშიშია ისინი, რომლებიც იწვევენ კატასტროფულ (ზვავისმაგვარ) რღვევებს, მაგალითად კოროზიული დასკდომის დინამიკური და ხანგრძლივი სტატიკური დატვირთვის, სტატიკური მცირებნიანი დატვირთვისას ბზარების არამდგრადი განვითარების, კონტაქტური ურთიერთქმედების პირობებში. მასალაში დაზიანებების გაჩენის და დაგროვების განსაკუთრებული მექანიზმების ფიზიკური ანალიზი და გამოვლენა თამაშობს ძლიერ მნიშვნელოვან როლს კონსტრუქციის ზღვრული მდგომარეობის მიღწევის ფიზიკური კრიტერიუმების ფორმირებისას.

ამგვარად, დეფორმირებული მექანიკის განმსაზღვრელი თანაფარდობების და დაზიანებების კინეტიკის, მირითადი დამაზიანებელი ფაქტორების და დაძაბულ-დეფორმირებული მდგომარეობის ცოდნა იძლევა დაზიანებულ მდგომარეობებში შენობა-ნაგებობების ზღვრული მდგომარეობის იერარქიის შემუშავებაზე გადასვლის საშუალებას. ამასთან ელემენტების ზღვრული მდგომარეობა ხასიათდება დეფორმაციულობისა და სიხისტის, ერთჯერადი მოკლევადიანი, დინამიკური და ხანგრძლივი სტატიკური რღვევის, რღვევის წრფივი და არაწრფივი მექანიკის კრიტერიუმებით (განსაზღვრავს მზიდუნარიანობას).

რღვევის მექანიკის პოზიციიდან წვეულებრივ განიხილავენ ზღვრული მდგომარეობის შემდეგ ტიპებს:

- რღვევა (ბლანტი და მყიფე);
- ელემენტის მოელ კვეთზე პლასტიკური დეფორმირება;
- მდგრადობის დაკარგვა;
- დაუშვებელი ფორმის გაჩენა;

- ციკლური დატვირთვისას მიკრობზარების გაჩენა;

უსაფრთხოების თვალსაზრისიდან ზღვრული მდგომარეობის პირველ სახეობას (რდვევა) აქვს პრინციპული მნიშვნელობა, რადგან იწვევს მაქსიმალურ შესაძლო ზარალს. ზღვრული მდგომარეობის პირველ სახეობისათვის (რდვევა) საანგარიშო სახით შეიძლება იყოს განხილული შემდეგი შემთხვევები: სრული რდვევა, ბზარების განსაზღვრული ზომის მიღწევა, ბზარების არასტაბილური მდგომარეობის გაჩენა ერთჯერადი სტატიკური ან დინამიკური დატვირთვისას, ციკლური ან ხანგრძლივი სტატიკური დატვირთვისას ბზარის მიერ განვითარების მოცემული სიჩქარის მიღწევა, ერთჯერადი სტატიკური ან დინამიკური დატვირთვებისას მოძრავი ბზარის გაჩერების სტადია. ზღვრული მდგომარეობის დადგომა მიღწევა დატვირთვის საექსპლუატაციო (მათ შორის ავარიული) რეჟიმების ზემოქმედების შედეგად საწყისი ტექნოლოგიური ან საექსპლუატაციო დაფაქტების განვითარებით.

შენობა-ნაგებობების ელემენტების ზღვრული მდგომარეობის განმსაზღვრული კრიტერიუმების კომპლექსი, შეიძლება წარმოვადგინოთ ფუნქციონალური დამოკიდებულების სახით $\phi_{N,T,\tau}\{\{\sigma, \varepsilon\}, N, T, \tau\} = \phi_c$, რომლის მარცხენა ნაწილი ხასიათდება კონსტრუქციების მდგომარეობის პარამეტრების (ძალოვანი, დეფორმაციული და სხვა) ერთობლიობით, რომლებიც ასახავენ კონსტრუქციების რეაქციას გარე (მათ შორის ავარიული) ზემოქმედებებზე, ხოლო მარჯვენა – ანალოგიური კომპლექსია, მაგრამ მასში შედის მასალების (კონსტრუქციების ელემენტების) კრიტერიული მახასიათებლები. $\phi_{N,T,\tau}$ მნიშვნელობას კრიტერიულ დამოკიდებულებებში განსაზღვრავენ ანგარიშით, ხოლო მასალის კრიტერიულ მახასიათებლებს ϕ_c განსაზღვრავენ კონსტრუქციების ნატურული ელემენტების, მოდელების ან ნიმუშების ექსპერიმენტიდან.

შენობა-ნაგებობების მდგომარეობის დასაშვები პარამეტრების საზღვრების დადგენისათვის კრიტიკული მახასიათებლები მცირდება რამოდენიმეჯერ ანუ ანგარიშში შეჰყავთ უსაფრთხოების (მარაგის) კოეფიციენტები. კრიტიკული მახასიათებლების მიხედვით მარაგის კოეფიციენტები ინიშნება, როგორც წესი კონსტრუქციების შესაძლო ზღვრული მდგომარეობიდან, მისი (ან მისი პროტოტიპების) ექსპლუატაციის პრაქტიკიდან და ტრადიციიდან გამომდინარე. ზღვრული მდგომარეობის ზოგიერთი შემთხვევისათვის მარაგის კოეფიციენტები შეიძლება მიღებული და გამოთვლილ იქნას მეცნიერულად დასაბუთებული კოეფიციენტების საფუძველზე გამოთვლის გზით.

დეფორმირების და რდვევის მექანიკის ფუნდამენტალურ საკითხს წარმოადგენს მდგომარეობის გათანაბრების შესახებ კითხვები, რომლებიც ახასიათებენ კავშირს დაძაბულობის σ და დეფორმაციების ϵ დენად მნიშვნელობებს შორის. ეს კავშირი საერთო შემთხვევებში არის საკმაოდ რთული და დამოკიდებულია კონსტრუქციის მასალის ტიპზე, დატვირთვის პირობებზე (ტემპერატურა, დეფორმირების სიჩქარე, გარემომცველი არის ფიზიკო-მექანიკური ზემოქმედებები). დაძაბული მდგომარეობის

თვისებებზე, დეფორმირების პროცესში მასალაში შესაძლო სტრუქტურულ ცვლილებებზე და მიკრო და მაკრო დაზიანებების განვითარების ხარისხზე. კონსტრუქციებში მასალების ზღვრულ მდგომარეობაზე და მექანიკურ ქცევაზე გავლენის მომხდენი უფრო მნიშვნელოვანი ფაქტორების რიცხვს მიეკუთვნებიან: ტემპერატურა, დეფორმირების სიჩქარე, ატანის დრო, ციკლურობა, დაძაბული მდგომარეობის სახეობა, კვეთის აბსელიტური ზომები, აგრეთვე სხვა ფიზიკური ზემოქმედებები. ეს ფაქტორები გავლენას ახდენენ დეფორმირების და რღვევის მრუდების ფორმაზე, აგრეთვე მდგომარეობის გათანაბრების ძირითად პარამეტრებზე. დაბალი ან კრიოგენული ტემპერატურების რაიონში ცივადმტვრევადი მასალებისათვის ზღვრული მდგომარეობის დაღგნა შეიძლება შეფასდეს ექსპლუატაციურ ტემპერატურასა T_i და სიმყიფის კრიტიკულ ტემპერატურას T_{ki} შორის ტემპერატურული ინტერვალის მიხედვით:

$$\Delta T_{ki} = T_i - T_{ki} \quad (\text{II.3})$$

დეფორმირებულ დამოკიდებულებაში სიმტკიცეზე და რესურსზე კომპლექსური ანგარიშის ჩატარებისას იყენებენ საექსპლუატაციო დატვირთვების გასაშუალებული მახასიათებლების, დეფორმირებისა და რღვევის მიმართ კონსტრუქციული მასალების წინააღმდეგობის გასაშუალებული ან გარანტირებული მახასიათებლების მთელ საწყის ინფორმაციას, რომლებიც განისაზღვრება ფიზიკური (დეფორმაციური) მეთოდით კონტროლის ნორმების მიხედვით. თუ პროექტირების ან ექსპლუატაციის სტადიაზე ანგარიშში შექავთ დატვირთვის (გადანაწილების ფუნქციები და მათი პარამეტრები), მზიდი ელემენტების დეფექტურობის და მასალების მექანიკური თვისებების სტატიკური მახასიათებლები, მაშინ შესაძლებელი ხდება განისაზღვროს კონსტრუქციების საიმედოობის შესაძლო მახასიათებლები [13,5,6,14,15].

ავარიების და კატასტროფების გაჩენის და განვითარების სხვადასხვა სტადიაზე სიმტკიცის მარაგის და საიმედოობის კრიტერიუმების მიხედვით ობიექტების ზღვრული მდგომარეობის წარმოქმნის პირობების შესწავლასთან დაკავშირებული დიდი მოცულობის კვლევის ჩატარების აუცილებლობასთან დაკავშირებით ასეთი თავისი არსით არაწრფივი ობიექტების წინასწარმეტყველებისა და შესწავლისათვის ყველაზე ეფექტურ სამეცნიერო მიდგომას წარმოადგენს მათემატიკური მოდელირება ან რიცხვითი ექსპერიმენტი. რიცხვითი ექსპერიმენტის წარმატებული ჩატარებისათვის საჭიროა მონაცემების სპეციალური ბაზების და ბანკების შემუშავება, რომელიც თავის თავში აერთიანებს გარემომცველი და დეფორმირებული არის ფიზიკო-მექანიკურ თვისებებს, დეფორმირებისა და რღვევის მიმართ კონსტრუქციული მასალების წინააღმდეგობის მახასიათებლებს, აგრეთვე მდგომარეობის გათანაბრების და მათი ეპოლუციის გათანაბრების პარამეტრებს, მათ შორის დაზიანებების კონტინუალური

მექანიკის მოდელებისათვის, დატვირთვის შესაძლო შედეგებით გამოსაკვლევი ობიექტების კვანძების და დეტალების ტიპების აღწერისათვის და სხვა.

როგორც კონსტრუქციების ხანგამძლეობის და უსაფრთხოების რიცხობრივი შეფასებისათვის არსებითი მნიშვნელობა აქვს კონსტრუქციის ანგარიშის მეთოდებს. დღეისათვის შემუშავებულია და პრაქტიკაში ფართოდ გამოიყენება კონსტრუქციის ელემენტების მუშაუნარიანობის შეფასების სხვადასხვა მოდელები და მეთოდები შემთხვევითი დატვირთვების რეალიზაციის, მასალების თვისებების გადანაწილების მოცემული კანონის და სხვათა პირობებში. ასეთი მოდელების აგების საფუძველში ჩვეულებრივ ჩადებულია შესაძლო ზემოქმედებების ხასიათის, მასალების თვისებების გადანაწილების განსაკუთრებულობების და გეომეტრიული ელემენტების ემპირიული ცნობები. ეს მოდელები და შესაბამისი საანგარიშო მეთოდები იძლევიან რისკის დასაშვები პარამეტრების გადანაწილებაზე, ნორმირებაზე და დასაბუთებაზე გადასვლის საშუალებას, კონსტრუქციების ელემენტების დატვირთულობის და დეფექტურობის დონეებზე გადასვლის საშუალებას. აუცილებელია აღინიშნოს, რომ კონსტრუქციის ელემენტების მუშაუნარიანობის შესაძლო შეფასებების საფუძველზე მიღებული ლირებული შედეგები მცირდება ემპირიული დაშვებების დასაბუთების შემცირების მიხედვით, რომლებიც ჩადებულია საანგარიშო მეთოდების საფუძველში, ამიტომ მცირედ შესაძლებელი მოვლენების შეფასებისას ჩნდება ობიექტური სირთულეები, რომლებიც დაკავშირებულია ალბათობითი ანალიზის შედეგების უტყუარობასა და დასაბუთებულობასთან.

უსაფრთხოების პრობლემების გადაწყვეტა მჭიდრო კავშირშია კომპლექსურ გამოკვლევებთან, დაძაბულ-დეფორმირებული და ზღვრული მდგომარეობების რიცხვითი აქსერიმენტული მეთოდების გამოყენებასთან, აგრეთვე გამოკვლევების უნიფიკაციასა და სტანდარტიზაციასთან. კრიტიკული მექანიკური მახასიათებლების აქსერიმენტალური განსაზღვრისათვის, რომელიც შედის მონიტორინგის და დიაგნოსტიკის საბაზისო ბლოკში, ზოგადად შეიძლება ჩაიწეროს შემდეგი სახით [4,12]:

$$\begin{aligned} & \{S, R_{\tau, N}, P_R, R_\sigma\} = \\ & = F\{f_s(P_s, T, N, \tau, \phi) f_\sigma(\sigma_B, \sigma_T, \sigma_{B\tau}, \sigma_{-1}, E, \lambda, H_B, \eta, \psi, K_{lc}) f_\ell(\ell, K_t, F)\} \end{aligned} \quad (4)$$

სადაც S – უსაფრთხოების მახასიათებლებია; $R_{\tau, N}$ – მარაგის მახასიათებლები; P_R – საიმედოობის მახასიათებლები; $R\sigma$ – სიმტკიცის მახასიათებლები (რდგვევისადმი წინააღმდეგობა); f_s – საექსპლუატაციო დატვირთვის ფუნქციონალი; T – ტემპერატურა დროის მოცემულ მომენტში; N – დატვირთვის ციკლების რიცხვი; τ – ექსპლუატაციის დრო; ϕ – ფიზიკური ზემოქმედებების ველების პარამეტრები (რადიაცია, მუშა რაონი, მაგნიტური ველი); f_σ – კონსტრუქციული მასალების ფიზიკო-მექანიკური თვისებების ფუნქციონალი, σ_B – სიმტკიცის ზღვარი, σ_T – დენადობის ზღვარი; $\sigma_{B\tau}$ – ხანგრძლივი

სიმტკიცის ზღვარი; σ_{-1} – ამტანიანობის ზღვარი; E – დრეკადობის მოდული; λ – თბოგამტარობის კოეფიციენტი; H_B – სიმყარე (მიკროსიმყარე); η – პლასტიკურ არეში გამკვრივების მაჩვენებელი; ψ – მასალის ზღვრული პლასტიურობა; K_{lc} – ბზარმედეგობის მახასიათებელი; K_{lc} – ბზარმედეგობის მახასიათებელი; f_ℓ – კონსტრუქციის მზიდი ელემენტების კონსტრუქციული ფორმების ფუნქციონალი; ℓ – დეფექტის ზომა; K_t – დაძაბულობის კონცენტრაციის თეორიული კოეფიციენტი; F – განსახილველ ზონაში განივჯვეთის მახასიათებლები.

ამგვარად, უსაფრთხოების ანალიზი გვთავაზობს კონსტრუქციების მთლიანობის შეფასების მრავალდონიან სისტემას და შესაბამისად განისაზღვრება ამოცანის დაყენებით, დატვირთვის პირობებით და საკვლევი ობიექტის საშიშროების ხარისხით.

ავარიული სიტუაციებისათვის შენობა-ნაგებობების სიმტკიცის უსაფრთხოების და ხანგამდლეობის ანგარიში წარმოებს რდვევის მექანიკის საბაზო ფორმულების საფუძველზე, ავარიული სიტუაციის მიმდინარეობის მომენტისათვის მაქსიმალური დატვირთვის გამოყენებით ფორმულაში (4) შემავალი მასალის თვისების მახასიათებლები გამოიყენება დროის მოცემული მომენტისათვის τ , მოცემული ტემპერატურისათვის T და დეფორმაციულობის სიჩქარისათვის. ამას გარდა, ანგარიშში შედის (ექსპლუატაციის ნორმალურ პირობებთან შედარებით) მარაგის კოეფიციენტები.

მაგალითად, ფორმულის (4) შესაბამისად მზიდი ელემენტების სიმტკიცის ტრადიციული ნორმატიული ანგარიშისას სიმტკიცის ძირითად პირობას წარმოადგენს შემდეგი პირობა:

$$\{R_\sigma\} = F\{f_s(P_s)f_\sigma(\sigma_B\sigma_T\sigma_{B\tau})f_\ell(F)\} \quad (5)$$

რომელიც შეიძლება წარმოვადგინოთ უფრო ტრადიციული სახით

$$\sigma_n^b = (\rho_{max}^b/F) \leq [\sigma]_n = \left\{ \frac{\sigma_B}{n_B}, \frac{\sigma_T}{n_T}, \frac{\sigma_{B\tau}}{n_{B\tau}} \right\} \quad (6)$$

სადაც σ_n^b – ნორმინალური ძაბვებია მაქსიმალური დატვირთვებისაგან P_{max}^b ექსპლუატაციის ნორმალურ პირობებში; $[\sigma]_n$ – ნორმინალური დასაშვები ძაბვები; $\{n_T, n_{B\tau}, n_B\} = \{1, 5 \div 3\}$ – მარაგის კოეფიციენტები სიმტკიცის მახასიათებლების მიხედვით (დენადობის ზღვარის σ_T , ხანგრძლივი სიმტკიცის ან ცოცვადობის ზღვარის $\sigma_{B\tau}$, სიმტკიცის ზღვარის σ_B მიხედვით). შენობა-ნაგებობების ანგარიშისათვის აგარიული სიტუაციის გაჩენისა და განვითარებისას შეიძლება გამოყენებული იყოს ფორმულები (5), (6) მაქსიმალური დატვირთვების P_{max}^b ცვლილებით ავარიული სიტუაციების დროს. მოცემული მომენტისათვის τ მაქსიმალურ დატვირთვებზე ρ_{max}^b .

ამასთან მექანკური მახასიათებლები $\sigma_B, \sigma_T, \sigma_{B\tau}$ ანალიზებული ავარიული სიტუაციებისათვის აირჩევა, აგრეთვე დროის მოცემულ მომენტი τ , მოცემული ტემპერატურისას T და დეფორმირების სიჩქარისას. ხოლო მარაგის კოეფიციენტები (ექსპლუატაციის ნორმალურ პირობებში ანალოგიურთან შედარებით) მიიღება მცირე და ტოლი: $\{n_T, n_{B\tau}, n_B\} = \{1.1 \div 2.5\}$.

მზიდი ელემენტების ხანგრძლივი დატვირთვისათვის სიმტკიცის ანგარიში წარმოებს (მარაგის ანგარიში დროებითი და ციკლური) შემდეგი ფორმულით [4]:

$$\{R_{\tau,N}, R_\sigma\} = F\{f_s(P_s, T, N, \tau, \phi), f_\sigma(\sigma_B, \sigma_T, \sigma_{B\tau}, E, \lambda, n, \psi) f_\ell(K_t, F)\} \quad (\text{II.7})$$

ბზარისმაგვარი დეფექტების არსებობისას მყიფე რდგევის მიმართ წინააღმდეგობა შეიძლება წარმოვადგინოთ, სიმტკიცის პირობების ანალოგიურად (5) და (6) შემდეგი საბაზისო ფორმულის სახით:

$$\{P_R, R_\sigma\} = F\{f_s(P_s, T, \phi), f_\sigma(K_{Ic}) f_\ell(\ell)\} \quad (\text{II.8})$$

ან

$$K_I^b = f(P_{max}^b, T_{min}, \ell) \leq [K_I] = \frac{K_{Ic}}{n_k} \quad (\text{II.9})$$

სადაც: $[K_I]$ – დაბაბულობის ინტენსიურობის კოეფიციენტის დასაშვები მნიშვნელობა ექსპლუატაციის მინიმალური ტემპერატურის გათვალისწინებით T_{min} ; n_k – ძაბვის ინტენსიურობის კრიტიკული კოეფიციენტის K_{Ic} მიხედვით, რომელიც განსაზღვრულია ტემპერატურისას T_{min} . ექსპლუატაციის ნორმალური პირობების სიდიდე n_k აიღება $n_T \leq n_k \leq n_B$ ინტერვალში ან იანგარიშება მიღებული მოდელის ჩარჩოებში.

ტემპერატურის მდგომარეობაზე (მყიფე ან ბლანტი) ტემპერატურის გავლენის და K_{Ic} -ს T_{mir} -ზე დამოკიდებულების გათვალისწინებით კონსტრუქციული მასალებისათვის, გათანაბრების ანგარიშს (9) აუცილებელია დაემატოს სიმტკიცის კრიტიკული ტემპერატურების მიხედვით ანგარიში:

$$T_{min}^b = f(\ell, F) \geq [T] = T_k + [\Delta T_k] \quad (\text{II.10})$$

სადაც: $[T]$ – ექსპლუატაციის დასაშვები მინიმალური ტემპერატურა; T_k – სიმყიფის კრიტიკული ტემპერატურა, რომელიც შეესაბამება K_{Ic} -ს მკვეთრ შემცირებას; $[\Delta T_k]$ – სიმყიფის კრიტიკული ტემპერატურების მარაგი. კონსტრუქციული ფოლადისაგან დამზადებული მზიდი ელემენტებისათვის მარაგის სიდიდე $[\Delta T_k]$ ინიშნება $20 \div 30^\circ C$ ინტერვალში.

ფორმულის (4) თანახმად დეფექტებით დაზიანებული კონსტრუქციების ხანგამდებობის მახასიათებლების სახით შეიძლება გამოვიყენოთ საიმედოობის და სიმტკიცის მარაგი:

$$\{R_{\tau,N}, P_R, R_\sigma\} = \\ = F\{f_s(P_S, T, N, \tau, \phi) f_\sigma(\sigma_B, \sigma_T, \sigma_{B\tau}, \sigma_{-1}, E, \lambda, H_B, \eta, \psi, K_{Ic}) f_\ell(\ell, K_t, F)\} \quad (\text{II.11})$$

ბზარების განვითარების სტადიაზე ტექნიკური სისტემების მარაგი $R_{\tau,N}$ დგინდება ბზარმედეგობის კრიტიკულების თანახმად (II.9) ფორმულის მიხედვით, რღვევის დიაგრამების საფუძველზე, რომლებიც აკავშირებს ბზარის ზრდის სიჩქარეებს დროის მიხედვით τ ხანგრძლივი სტატიკური დატვირთვისას ან ციკლების რიცხვის მიხედვით N ციკლური დატვირთვებისას:

ამასთან რესურს განსაზღვრავენ რღვევის დიაგრამის გათანაბრების ინტეგრირებით ბზარის დენადი ზომის მიხედვით

$$\{R_{\tau,N}\} = \int_{\ell_0}^{\ell_c} d\ell_{\tau,N} \leq [\tau, N] = \left\{ \frac{\tau_c}{n_\tau}, \frac{N_c}{n_N} \right\} \quad (\text{II.12})$$

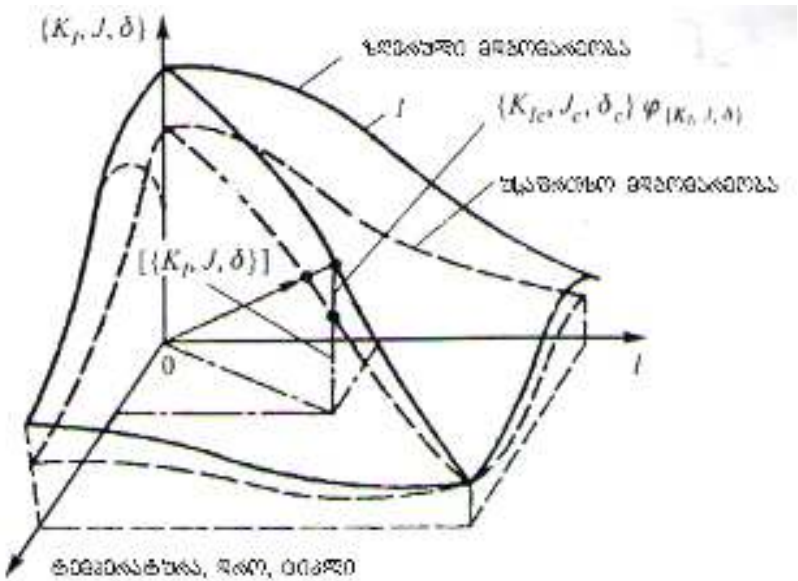
სადაც ℓ_c - დეფექტის კრიტიკული ზომა, რომელიც დგინდება (9)-(10) მიხედვით; ℓ_0 - ექსპლუატაციის მოცემულ სტადიაზე საწყისი დეფექტი; $[\tau, N]$ - ექსპლუატაციური დატვირთვის ციკლების დასაშვები რიცხვი ან დასაშვები დრო; n_τ, n_N , - მარაგი რესურსის მიხედვით.

ხანგამდლეობის ანგარიში, დამატებით, შეიძლება აგრეთვე მივიყვანოთ დეფექტის დასაშვები ზომების ანგარიშთან [1] ბზარმედეგობის კრიტიკულების მიხედვით

$$l_{max}^b = f(K_{Ic}, F, \phi, P_{max}^b) \leq [l] = \frac{l_c}{n_l} \quad (\text{II.13})$$

სადაც l_{max}^b - ექსპლუატაციის დეფექტის მაქსიმალური ზომა; ℓ_c - დეფექტის კრიტიკული ზომა; n_l - მარაგი დეფექტის ზომის მიხედვით. n_l დგინდება $n_b \leq n_l \leq n_T^2$ საზღვრებში. უფრო საპასუხისმგებლო და პოტენციურად საშიში კონსტრუქციებისათვის დაკმაყოფილებული უნდა იყოს მოთხოვნები ყველა მარაგის მიხედვით - $n_k, [\Delta T_k]$ და n_l .

ავარიული სიტუაციებისათვის ზღვრული და უსაფრთხო (დასაშვები) მდგომარეობების თვალსწინისით ხანგამდლეობის ანგარიშს აწარმოებენ ბზარმედეგობის კრიტიკულების მიხედვით (II.8)-(II.13) შესაბამისად (ნახ. II.1).



ნახ. II.1. ზღვრული და უსაფრთხო მდგომარეობების სქემა პზარის მაგვარი დეფექტებით
დაზიანებული მაღალი რისკის ობიექტებზე ავარიების და კატასტროფების
ექსპერტისას

ამასთან ავარიული სიტუაციის განვითარების მოცემული მომენტისათვის უნდა გავითვალისწინოთ დატვირთვების შესაბამისი ექსტრემალური დონეები, ტემპერატურული მინიმუმების მინიმალური და მექანიკური თვისებების მინიმალური მახასიათებლები. რადგანაც ავარიული სიტუაციებისას, როგორც წესი მაქსიმალური ადგილობრივი და ხშირად მინიმალური ექსტრემალური ძაბვები აჭარბებენ დენადობის ზღვარს, ამიტომ რდგევის წრფივი მექანიკის გათანაბრება ხდება გამოყენებელი. ამასთან დაკავშირებით კონსტრუქციების ხანგამდებობის ანალიზისათვის ავარიული სისტემების გაჩენისა და განვითარების პირობებში გამოყენებული უნდა იყოს რდგევის არაწრფივი მექანიკის გათანაბრებები საანგარიშო პარამეტრების სრული გამოყენებით (II.11). რდგევის მექანიკის წრფივი საბაზისო მახასიათებლები იცვლება რდგევის მექანიკის არაწრფივი მახასიათებლებით, მაგალითად, გახსნა პზარის წვერზე, J - ინტეგრალი, პლასტიკურ არეში დეფორმაციის ინტენსიურობის კოეფიციენტი, პზარმედეგობის კოეფიციენტი და ა.შ.

ამგვარად, საბაზისო ფორმულების (II.4)-(II.14) გათვალისწინებით უსაფრთხოება მონიტორინგის და დიაგნოსტიკის პოზიციიდან, უნდა განიხილებოდეს, როგორც მზიდი ელემენტების კომბინირებული უნარი წინააღმდეგობა გაუწიოს ექსტრემალურად მაღალი შიგა და გარე ზემოქმედებების უფრო შესაძლო და არახელსაყრელ ფაქტორებს მასალის რდგევის და დეფორმაციის შემცირებული მახასიათებლებისას. ამასთან ფორმულის (II.4) შესაბამისად მიიღება შემდეგი ფორმულა

$$\{S\} \in f(T_{\tau, N}, P_R, R_\sigma) \in f(n_T, n_B, n_{B\tau}, n_N, n_i, n_K, N_l) \quad (\text{II.14})$$

II.3. დაზიანებული შენობა-ნაგებობების უსაფრთხოება, ხანგამდლეობა და მარაგი (რესურსი)

მეცნიერების და ტექნოლოგიების თანამედროვე მიღწევები უქმდება და იძლევა საშუალებას მნიშვნელოვნად ამაღლდეს პროექტირების სტადიაზე დანიშნული რესურსი ტრადიციული წესების მიხედვით, ანგარიშის და გამოცდის უმარტივესი მეთოდიკის საფუძველზე. ამასთან კომპლექსში გადაწყვეტილი უნდა იყოს შემდეგი ძირითადი პრობლემები:

- როგორც ცალკეული ობიექტების, ისე ობიექტების სისტემების საწყისი, გამოყენებული და ნარჩენი რესურსის რიცხობრივი ანალიზი;
- საპროექტო, ფაქტიური და ნარჩენი რესურსის დასაბუთება;
- მზიდი ელემენტების კონსტრუქციული მასალების მდგომარეობის შეფასება გაჩენილი საექსპლუატაციო დაზიანებების და საწყისი ტექნოლოგიური მემკიდრეობითობის გათვალისწინებით;
- მზიდი ელემენტებში მაკრო და მიკროდეფექტების ხასიათის, პარამეტრების, დისლოკაციის და ზომების განსაზღვრა;
- მზიდი ელემენტების დეფორმირებული მდგომარეობის ნორმატიული და ექსპერიმენტალური ანგარიში;
- ბუნებრივი და დაჩქარებული ხანდაზმულობის (დაბერების) მექანიზმების კვლევა;
- დაზიანების სხვადასხვა სტადიებზე კონსტრუქციის ელემენტების და მასალების ხანგამდლეობის შეფასება;
- რესურსის კომპლექსური დიაგნოსტიკა;
- ნარჩენი რესურსის წინასწარი და დაზუსტებული საანგარიშო-ექსპერიმენტალური განსაზღვრა.

ზემოთაღნიშნული პრობლემების გადაწყვეტას შეიძლება ჰქონდეს, როგორც საუწყებო-ობიექტური, ისე უნიფიცირებული ხასიათი. ამასთან პრინციპულად მნიშვნელოვანია, რომ ნარჩენი რესურსი განისაზღვროს უფრო მაღალი სამეცნიერო-მეთოდური დონით, ვიდრე საპროექტო და საწყისი.

ახლად დაპროექტებული კონსტრუქციებისათვის სიმტკიცის ანგარიშს აწარმოებენ დატვირთვის ექსპლუატაციური რეჟიმების ყველა სპექტრის მიხედვით, გაშვების წინა და პერიოდული ცდების ჩათვლით, მუშა პარამეტრების რეგულირება და ავარიული დაცვის სისტემების ამუშავება.

სიმტკიცის რესურსის და ბზარმედეგობის დასაბუთებისათვის საჭიროა მზიდი ელემენტების დაძაბულ-დეფორმირებული მდგომარეობის ანგარიშის კომპლექსი, რომელიც შეიცავს ნომინალური და მაქსიმალური ძაბვების განსაზღვრას, ამ ძაბვების ამპლიტუდებს, ექსპლუატაციის მაქსიმალურ და მინიმალურ ტემპერატურებს,

ექსპლუატაციის დროის და ციკლების რაოდენობას. რთული მრავალელემანტიანი კვანძებისათვის ამ ანგარიშს უმატებენ ოპტიკურად აქტიური (ფოტოდრეკადი) და დაბალმოდულიანი მასალების გამოცდის მოდელებს, აგრეთვე შესაბამისი კონსტრუქციული მასალებისაგან მიღებულ მონაცემებს. ცდებს ატარებენ დატვირთვის საექსპლუატაციო რეჟიმის იმიტაციისას, ხოლო ნომინალურ და ლოკალურ ძაბვებს, დეფორმაციებს, ტემპერატურებს ზომავენ ტენზორეზისტორების, ოპტიკურად აქტიური და მყიფე ტენზომეტრისათვის საფარების, მუარის მეთოდის, პოლოგრაფიის, თერმოჩვენების დახმარებით.

ტექნიკური დიაგნოსტიკის, დატვირთვის ინდიკატორების და დაზიანების გადამწოდების ექსპრიმენტალური საშუალებების გამოყენება საშუალებას იძლევა აღვადგინოთ კონსტრუქციის ელემენტების დატვირთულობა და მასალების დაზიანების კინეტიკა ექსპლუატაციის პროცესში. გამოყენებული მეთოდების საფუძველს უნდა შეადგენდეს მექანიკური, ფიზიკური და ქიმიური მოვლენები, რომლებიც თან ახლავს დაზიანების დაგროვების პროცესს. დაზიანების გადამწოდების მგრძნობიარე ელემენტებში (მაგალითად, ტენზორეზისტორებში) შეუქცევადი დაზიანების დაგროვების დაფიქსირებისას, შეიძლება შეიქმნას დაზიანებების დაჯამების მოდელი და ვიმსჯელოთ კონსტრუქციების ელემენტების დაზიანების ხარისხს. კონსტრუქციის მასალაზე დამაზიანებელი ფაქტორების რთული კომპლექსის ზემოქმედებისას მიზანშეწონილია დამუშავდეს მასალის ექსპლუატაციური კონტროლის კომპლექსური სისტემა.

სიმტკიცის რესურსის და ბზარმედეგობის კრიტერიული მახასიათებლების დამტკიცებისათვის ატარებენ ატესტაციური გამოცდების კომპლექსს სტანდარტულ ან სპეციალურ ლაბორატორიულ ნიმუშზე. იმ შემთხვევაში, როცა იქმნება ახალი და უნიკალური კონსტრუქციები ატარებენ მოდელების გამოცდას, მიყავთ რა ისინი დაუშვებელი დეფორმაციების განვითარების, მყიფე ან ბლანტი რღვევის, ბზარების გაჩენის და განვითარების მდგომარეობამდე. ამასთან ფართოდ გამოიყენება დეფექტოსკოპის მეთოდები და საშუალებები – ულტრაბგერითი, რენტგენული, ოპტიკური, აკუსტიკური და აკუსტოემისიური, ელექტრომაგნიტური, თბოვიზიური, პოლოგრაფიული.

ასეთი ცდების შედეგებიდან გამომდინარე წყვეტენ ორ მნიშვნელოვან პრაქტიკულ ამოცანას:

- მიღებული საანგარიშო სქემების, ზღვრული მდგომარეობების და სიმტკიცის მარაგების დასაბუთება;
- ახალ, ჩვეულებრივ შემცირებულ სიმტკიცის მარაგზე გადასვლა.

ამ უკანასკნელ შემთხვევაში სიმტკიცის ზღვრულად მცირე მარაგი დასაბუთებულია სრულმასშტაბიანი კვლევებით მიახლოებით საშტატო პირობებში – კონსტრუქციულ-ტექნოლოგიური გადაწყვეტების საფუძველზე საექსპლუატაციო ზემოქმედებების წარმოდგენილი სპექტრის მიხედვით. თუმცა, ასეთი ცდების

ჩატარებისას ადგილობრივი მაბვის და დეფორმაციის მიხედვით მარაგი რეკომენდირებულია იყოს 1.15-1.25-ზე არა ნაკლები, ხოლო რესურსის მიხედვით – არა ნაკლებ 3-5.

კონსტრუქციების ექსპლუატაციის სტადიაზე მზიდი ელემენტების (მექანიკური თვისებები და დეფაქტურობა) მდგომარეობის ცვლილების და საექსპლუატაციო დაზიანებების დაგროვების ჩათვლით აუცილებელია მოხდეს ნიმუშების, ცალკეული კვანძების ან მთლიანად ნაკეთობების გამოცდა, განსაზღვრავენ ნარჩენ სიმტკიცეს, რესურსს და ბზარმედეგობას. უსაფრთხო ექსპლუატაციის რესურსის გახანგრძლივება შეიძლება ყველა მარაგის – ნომინალური ძაბვების, ადგილობრივი ძაბვების და დეფორმაციების, ბზარმედეგობის, ციკლების დროის და რიცხვის მიხედვით.

შენობა-ნაგებობების რესურსში იგულისხმება მისი მუშაობა ექსპლუატაციის დაწყებიდან ზღვრული მდგომარეობის დადგომამდე. ზღვრული მდგომარეობის აღჭმა დაიშვება სხვადასხვაგვარად მისი შეფასების არჩეულ კრიტერიუმზე დამოკიდებულებით. მაკროდეფექტების (ბზარის ტიპის) არ არსებობისას ზღვრული მდგომარეობა განისაზღვრება ადგილობრივი ძაბვების ან დეფორმაციების კრიტიკული სიდიდეებით ექსპლუატაციური დატვირთვის ბლოკისთვის მოყვანილი ძაბვების ციკლების სქემის მიხედვით ძაბვების კონცენტრაციის და ძაბვების მახასიათებლების წერტილების და სიდიდეების გამოვლენის ზონების გათვალისწინებით. სტატიკური, ხანგრძლივი და ციკლური სიმტკიცის კრიტერიუმების საფუძველზე ანგარიშში ფორმულის (II.14) თანახმად, ადგილობრივი ძაბვების და დეფორმაციების მიხედვით მარაგის კოეფიციენტების შეფანა საშუალებას იძლევა დადგინდეს უსაფრთხოების თვალსაზრისით დასაშვები ჯამური დაზიანება (II.11) და (II.15) ტიპის ფორმულები). k – სათვის დროის, ციკლების რიცხვის და ტემპერატურის მიხედვით დატვირთვის რეჟიმები:

$$[a] = \sum_i^K \{a_i\} \leq 1 \quad (\text{II.15})$$

და შეფასდეს უსაფრთხო ექსოლუატაციის მარაგი, მათ შორის ავარიული რეჟიმებისას. საჭიროა აღინიშნოს, რომ მნიშვნელოვან გავლენას დაზიანების დაგროვებაზე, უშუალოდ კი რესურსზე ახდენენ როგორც კონსტრუქციული ფაქტორები, მათ შორის ძაბვის კონცენტრატორები, ისე მასალის მექანიკური თვისებებით $\sigma_{\text{v}}, \sigma_{\text{t}}, \psi_k, S_k, m$ განსაზღვრული ტექნოლოგიური ფაქტორები. ამიტომ, ექსპლუატაციური და ავარიული დატვირთვების, აგრეთვე ბზარების შესაძლო ჩასახვის და განვითარების პროცესში მასალების ფიზიკო-მექანიკურ დაზიანებებთან დაკავშირებით ჩნდება როგორი შენობა-ნაგებობების მზიდი ელემენტების დაძაბულ-დეფორმირებული მდგომარეობის დაზუსტების ამოცანები.

როგორც წესი, ავარიებს და კატასტროფებს თან ახლავს მომატებული კონცენტრაციის ზონებში ბზარების გაჩენა და განვითარება. ამ შემთხვევაში ცხადი ხდება კონცენტრაციის არეში კვლევების მიზანშეწონილობა და პერსპექტიულობა.

ამგვარად, როგორც ექსპლუატაციის სტადიაზე, ისე პრინციპულად ახალი მაღალი რისკის კონსტრუქციების დაპროექტების დროს სიმტკიცის, ხანგამძლეობის, უსაფრთხოების და რესურსის პრობლემები, პრინციპულად ახალი კონსტრუქციული მასალების შექმნა შემცირებული დეფექტურობით და მაღალი ხანგამძლეობით მჭიდროდაა დაკავშირებული ბზარების (ბზარმედეგობის) კინეტიკის გამოკვლევის ამოცანების დაყენებასა და გადაწყვეტასთან.

ზემოთქმულთან დაკავშირებით კონსტრუქციების ბზარმედეგობის პროგნოზირებისა და დასაბუთებისას ძირითად მიზნებს და ამოცანებს წარმოადგენს: კონსტრუქციების სიმტკიცის, ხანგამძლეობის და უსაფრთხოების კომპლექსური კრიტერიუმების, ანალიზის მეთოდების და ნორმირების დამუშავება, ბზარის განვითარების მიმართ კონსტრუქციული მასალების წინადმდეგობის მახასიათებლების საფუძველზე.

ამოცანების გადაწყვეტისათვის გამოიყენება ბზარების, სიმტკიცის თეორიის, დაღლილობის და საიმედოობის მექანიკის და ფიზიკის თანამედროვე თეორიული გარემოებები, პრინციპები და მეთოდოლოგიური მიდგომები, შემდეგი პრიორიტეტული მიმართულებების მიხედვით [11]:

– ფენომენალური მოდელების დამუშავება, რომელიც დაკავშირებულია ბზარების განვითარების ლოკალურ და არალოკალურ კრიტერიუმებზე ექსპერიმენტალური ფიზიკო-მექანიკური ზემოქმედებების და კოროზიული არების პირობებში;

– ბზარისმაგვარი დეფექტების არსებობისას კონსტრუქციების კატასტროფული რღვევების და კრიტიკული, გარდამავალი ზღვარს გარე და დასაშვები მდგომარეობების კრიტერიუმების აგება;

– ბზარების მექანიკის არაწრფივი ამოცანების გადაწყვეტის უფასებური ანალოგიური და რიცხვითი მეთოდების შექმნა, დაზიანებული კონსტრუქციების უსაფრთხოების, ხანგამძლეობის და რესურსის პრობლემების გადასაწყვეტად მიკრო და მაკრო ბზარების განვითარების სტატიკური მოდელირების მეთოდების განვითარება;

– ბზარების (მასალების და კონსტრუქციების ბზარმედეგობის) კინეტიკის ექსპერიმენტალური გამოკვლევა რღვევის სხვადასხვა მექანიზმების რეალიზაციისას როლი დაძაბული მდგომარეობის პირობებში;

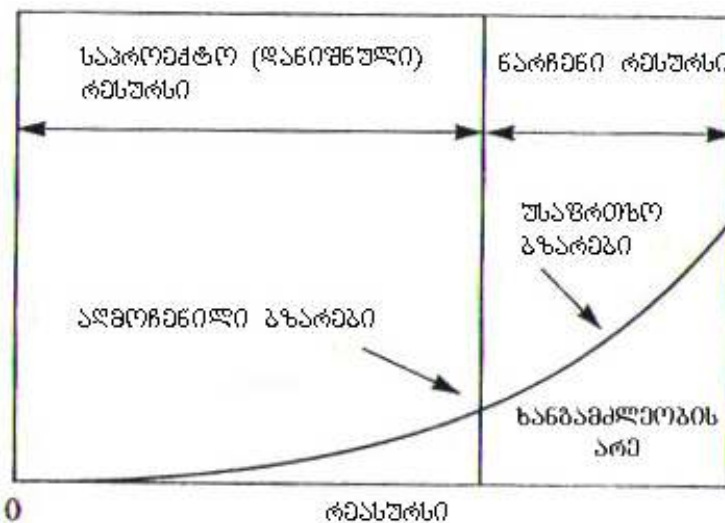
– მიკროსტრუქტურულად და ფიზიკურად მოკლე ბზარების გავრცელების ფენომენალური თეორიის აგება მრავალდერძული ციკლური დატვირთვის პირობებში, რაც რღვევის პროცესის მართვაზე გადასვლის საშუალებას იძლევა;

– კონსტრუქციების უსაფრთხოების, ხანგამძლეობის და რესურსის კრიტერიუმების მიხედვით მასალების ბზარმედეგობისადმი მოთხოვნების დასაბუთება, პრინციპულად ახალი კონსტრუქციული მასალების შექმნა გაზრდილი ხანგამძლეობით;

– პრინციპულად ახალი ექსპერიმენტალური მეთოდების და საშუალებების, რღვევის ლოკალიზაციის და ბზარების გავრცელების შეჩერების საშუალებების

დამუშავება ძლიერ დაზიანებულ მდგომარეობაში კონსტრუქციის უსაფრთხო ექსპლუატაციის რესურსის და ხანგამდლეობის უზრუნველყოფის მიზნით.

რესურსის განსაზღვრასთან დაკავშირებით დიდ მნიშვნელობას იძენს ზღვრული მდგომარეობის განმარტება არჩეულ კრიტერიუმზე დამოკიდებულებით. მაგალითად შენობა დაპროექტდა უსაფრთხო რესურსის პრინციპის მიხედვით, რომლის შესაბამისადაც კონსტრუქციაში პრაქტიკულად არ დაიშვებოდა საპროექტო (დანიშნული) რესურსის პერიოდის მანძილზე ბზარების წარმოქმნა. ამიტომ ბზარებით დაზიანებული კონსტრუქციების რესურსის გახანგრძლივება საპროექტოს საზღვრებს გარეთ შეიძლება უზრუნველყოფილი იყოს უსაფრთხო ზომებამდე ბზარის განვითარებისას მათი ხანგამდლეობის ხარჯზე (ნახ. II.2).



ნახ. II.2. ბზარების განვითარებასთან დაკავშირებული დაზიანებული ტექნიკური სისტემების რესურსი

დაზიანების დაგროვების და ბზარების განვითარების პირობებში რესურსის გახანგრძლივების შესაძლებლობა შეიძლება დასაბუთებული იქნას იმით, რომ დღეისათვის შექმნილია წინაპირობები, ბზარების მექანიკის თეორიული საფუძვლების და საინჟინრო მეთოდების პრაქტიკული გამოყენებისათვის, აგრეთვე ტექნიკური დიაგნოსტიკის საშუალებები, რომლებიც საშუალებას იძლევიან საკმარისად ზუსტად განისაზღვროს ბზარისმაგვარი დაფაქტები დაზიანებულ კონსტრუქციებში. ცხადია, ამასთან ერთად გატარებული უნდა იქნას კონსტრუქციის ხანგამდლეობის დაწვრილებითი ანალიზი კონსტრუქციის მასალების უსაფრთხო ექსპლუატაციის მოთხოვნების დაცვისას მისი ფიზიკო-მექანიკური დაზიანების გათვალისწინებით, აგრეთვე რეგლამენტირებული დაფაქტოსკოპიური კონტროლის მიხედვით რეკომენდაციების დამუშავება.

III. შენობა-ნაგებობების საშიში დეფორმაციების მონიტორინგის და დიაგნოსტიკის სისტემების დამუშავება, ბზარის ზომების განსაზღვრა ექსპერიმენტულად

III.1. შესავალი

რდვევის ექსპერიმენტალური მექანიკა, როგორც რდვევის მექანიკის ნაწილი, შეისწავლის ბზარების გავრცელებას და ინიცირების პროცესებს მყარ სხეულებში, როცა მათზე მოქმედებს დატვირთვა, ფიზიკური ველი ან აგრძიული გარემო. რდვევის მექანიკის ამ ნაწილში გამოიყენება დაძაბაულ-დეფორმირებული მდგომარეობის ანალიზის მეთოდი ბზარის გარშემო წვეროზე, ბზარის გავრცელების სიჩქარის და ზომების გაზომვის მეთოდი, ფაქტოგრაფიკული მეთოდი, რდვევის ზედაპირის გამოკვლევა მექანიზმების და რდვევის კინეტიკა, ფიზიკური მოდელირება შიგა ექსპერიმანტალურ მოქმედებაზე მყარ სხეულებში. ექსპერიმენტალური მექანიკის ჩარჩოებში რდვევის მექანიკაში შეიძლება გამოვყოთ ფუნდამენტალური და გამოთვლითი მიმართულება. ფუნდამენტალური გამოკვლევის ძირითად ამოცანას წარმოადგენს მყარი სხეულის რდვევის მექანიზმის და კინამატიკის შესწავლა, რომელზეც დაფუძნებულია რდვევის მექანიკის მოდელები და კრიტერიუმები. ძირითად გამოკვლევებს მიეკუთვნება ექსპერიმენტალური გამოკვლევები ბზარის გავრცელებაზე მასალის კონსტრუქციებში, პირობით კონსტრუქციაზე ფიზიკო-მექანიკური რეალური ზემოქმედება ხორციელდება.

დაძაბაულ-დეფორმირებული მდგომარეობის ექსპერიმენტალური ანალიზი ბზარის გარშემო მყარ სხეულზე დრეკადი და დრეკადპლასტიკური დატვირთვისას დაფუძნებულია მასალების ექსპერიმანტალური მექანიკის მეთოდებზე, რომელთა შორის შეიძლება დაგასახელოთ მყიფე ტენზომეტრიუმებიარე დაფარვის მეთოდი, ოპტიკურად მგრძნობიარე დაფარვით, ელექტროტენზომეტრით, პოლარულ-ოპტიკური, აკუსტიკურ ემისიის, ულტრაბენერითი და ა.შ.

ბზარის გავრცელების სიგრძის გაზომვა და სიჩქარის გავრცელება დამოკიდებულია ბზარის გავრცელებასთან ფიზიკური ველებით, რომლებიც წარმოიქმნება რდვევის პროცესის გარეშე. ფიზიკური ველებს შეიძლება მივაკუთვნოთ: სინათლის, დრეკადი, ელექტრული, მაგნიტური და ელექტრომაგნიტური.

ჩამოვთვალოთ რამოდენიმე მეთოდი ბზარის გავრცელების სიჩქარის და სიგრძის გაზომვის, რომლებიც დამოკიდებულია სხენებულ ფიზიკურ ველებზე: ოპტიკური და ვიზუალური; დრეკად დამყოლი და აკუსტიკურ ემისიური; ელექტროტინაალმდეგობა და ელექტრული პოტენციალის სხვაობა; ფეროგრაფია და მაგნიტურფენილური; რენტგენული და ელექტრო-მიკროსკოპული.

ზედაპირის რღვევა (ტეხილი) მყარ სხეულებში შეიცავს თავის თავში მოქლ ინფორმაციას კონსტრუქცების შესახებ. ტეხილების შესწავლა დაფუძნებულია სიჩქარის ელექტრულ და რენტგენოსტრუქტურულ მეთოდებზე.

ექსპერიმანტალური მეთოდები, რომლებიც განსაზღვრავენ ბზარის ხასიათს შეიძლება დაფუძნებული იქნან რღვევის მექანიკის შემდეგ მიღებომებზე:

– როცა სხეულის ზომა ბზარის ზომის ტოლია, ამასთან ანალიზის შედეგები გავითვალისწინოთ ბზარის წვეროს გარშემო დაძაბულ-დეფორმირებულ მდგომარეობისას;

– ენერგიის დანაკარგი სხეულის ზედაპირის ერთეულზე წარმოქნილი ბზარის გავრცელების დროს;

– დადგენილია კორელაციური დამოკიდებულებები კონსტრუქციის ბზარმედეგი და ფიზიკურ პარამეტრებს შორის.

III.2. კონსტრუქციის რღვევის აქტიურ ზონებში ვიზიალური და ინსტრუმენტალური ძიების მეთოდიკა

ნივთიერების ფიზიკო-მექანიკურ მდგომარეობაზე ობიექტური ინფორმაციის მისაღებად აუცილებელია გამოვიყენოთ კომპლექსური მეთოდი, რომელიც საშუალებას მოგვცემს მივიღოთ გამოსაცდელი კონსტრუქციის შედეგები ნებისმიერ ადგილზე, ეს აუცილებელია.

ამჟამად ნაგებობების გამოსაკვლევად იყენებენ ვიზუალურ მეთოდებს სპეციალური ხელსაწყოების გამოყენებით.

დაზუსტებულია, რომ არამრღვევი (ურღვევი) კონტროლის მეთოდების გამოყენებით მიღება შემდეგი ობიექტური დასკვნები:

- სამშენებლო მასალის ძირითადი მახაიათებლები;
- კონსტრუქციის ერთგვაროვნება;
- მასალის დრეკადი მახასიათებლები;
- კონსტრუქციის დეფექტურობა;
- მასალის სიმკვრივე და ტენიანობა.

ვიზუალური მეთოდი. ვიზუალური მეთოდი კონსტრუქციის მდგომარეობის შეფასებისათვის გამოიყენება. ნაგებობების ვიზუალური დათვალიერების ტექნიკური ექსპერტი გამოავლენს ხილულ დეფექტებს, გეომეტრიულ ზომებში ცდომილება, მოხაზულობის ცვლილება, განსახილველი კონსტრუქციის ფაქტორის და ფერის ცვლილება, ბზარების განლაგება.

ბზარის გახსნის დაკვირვებისათვის იყენებენ უქურას (ყალაურს), მსაზე მიუთითებენ მისი დაყენების თარიღს, ნომერს იმ ორგანიზაციის მონაცემებს რომელმაც

იგი დაამონტაჟა. დაკვირვებები დეფექტების აღმოჩენის შესახებ ფიქსირდება სპეციალურ ჟურნალში.

არამრღვევი მეთოდი. ბოლო წლებში ნაგებობების გამოკვლევებმა აჩვენა, რომ ფართოდ გამოიყენება ეგრეთ წოდებული არამრღვევი კონტროლი. მისი უპირატესობა იმაში მდგომარეობს, რომ სხვადასხვა გაზომვები ხდება სხვადასხვა ხელსაწყოებით.

კონტროლის მეთოდები, რომლებიც რეკომენდირებულია თანამედროვე მეცნიერებით, იყოფა ორად აქტიურად და პასიურად:

- შემწოვი გამომსხივებლით კონტროლი;
- რადიოაქტიური მეთოდი;
- კაპილარული მეთოდი.

კონსტრუქციების დეფექტების და დაზიანებების ტექნიკური დიაგნოსტიკას ატარებენ გამომდინარე მისი გეომეტრიული ზომებიდან, წარმოქმნის მიზეზებზე და ზრდის დინამიკაზე, მასალის ქიმიური შემადგენლობის ანალიზით.

გახსნილი დეფექტები და შიგა დაზიანებები მასალის მოცულობაში გამოსაკვლევ კონსტრუქციაში გამოიკვლევა არამრღვევი კონტროლის მეთოდით.

ქვემოთ განხილულია კონსტრუქციების კონტროლისათვის გავრცელებული და პერსპექტიული არამრღვევი კონტროლის მეთოდები:

აკუსტიკური ემისია

აკუსტიკური ემისიის სიგნალები შეიძლება მომდინარეობდნენ მყარი სხეულების დეფორმირებისას სხვადასხვა წყაროდან. ჩვეულებრივ ისინი იუწყებიან მასალის შიგა სტრუქტურის ძალიან სწრაფი ლოკალური ცვლილების შესახებ. აკუსტიკური ემისიის გამომწვევი მიზეზი სხვადასხვა მასალისათვის სხვადასხვაა; ასე მაგალითად: სრიალი დისლოკაციისას, გაორება, მარტენსიტული ტიპის ფაზური გარდაქმნები და რა თქმა უნდა მიკრობზარწარმოქმნა, ბზარების განვითარება და ხახუნის პროცესები. ატომების სრიალი, გაორება და ფაზური გარდაქმნები არღვევენ სტრუქტურის მთლიანობას და ამით განაპირობებენ გარემოში დრეკადი ტლდების გამოყოფას. ასეთი ტალღების ზუსტი ანალიზი ბეტონის შემთხვევაში გაძნელებულია და არც არის მიზანშეწონილი, რადგან ისინი ხასიათებიან დაბალი ენერგიით და სწრაფად მიიღევიან მასალაში მაღალი სიხშირის გამო. ამ მოვლენების აკუსტიკური ემისია შესწავლილია სხვა უფრო ერთგვაროვანი მასალებისათვის (ლითონები, პოლიმერები, შენადუღი ნაერთები და სხვა).

ბზარების წარმოქმნის დროს მექანიკური ტალღების გამოსხივება შეიძლება აიხსნას მასალის იმ ნაწილის დინამიკური განტვირთვით, რომელიც ბზარის ნაპირებს ესაზღვრება. ამავე ეფექტს იწვევს ბზარების ნახტომისებური ზრდაც [16].

ვ. ფინკელის [17] აზრით, განვითარებადი ბზარის დრეპადი ტალღის წარმოქმნას ხელს უწყობს მისი სიჩქარის პულსაცია, ასევე მიმართულების მკვეთლი ცვლილება, ე.ი. აკუსტიკური სიგნალების წარმოქმნის ერთ-ერთ მიზეზად შეიძლება დავასახელოთ ბზარების განტოტვა.

ბზარების განვითარებისას წარმოქმნილ აკუსტიკურ მოვლენებს იკვლევდნენ მრავალ ნაშრომში [18,19,20,21].

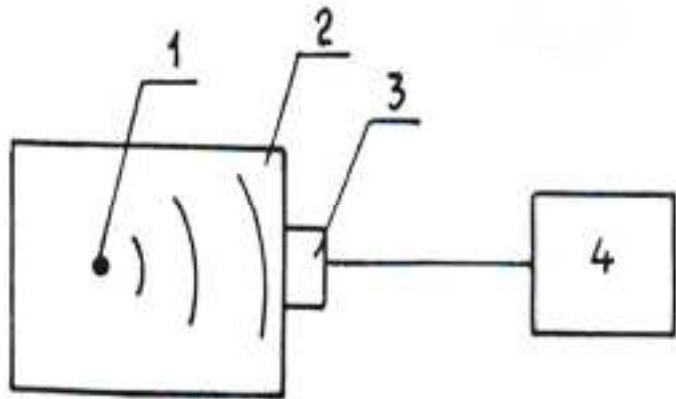
ყოველგვარი მშრალი ხახუნი მიმდინარეობს ზედაპირების მიკროარაერთგვარობების პლასტიკური დეფორმაციების თანხლებით. სხეულების შემადგენელი ნაწილების უერთიერთსრიალის დროს იდრვევა ძველი და ჩნდება ახალი საკონტაქტო უბნები. ყველაფერმა ამან შეიძლება გამოიწვიოს მიკრობზარების წარმოქმნა ხახუნის ზედაპირებზე. ამგვარი პროცესები მიმდინარეობს სხეულის შიგნითა (ტანში) მისი დეფორმაციების დროს. ხახუნის შედეგად გამოწვეული მექანიკური ტალღები ასევე აკუსტიკური ემისიის ჩამოყალიბების საფუძველია. გერმანელი მეცნიერი ი. კაიზერი მიიჩნევდა გაგლეჯვის ზედაპირების ურთიერთხახუნის პროცესს, რომელიც მასალის შიგნით მისი დეფორმირებისას მიმდინარეობს, აკუსტიკური სიგნალების ალმოცენების ერთ-ერთ ძირითად მიზეზად [22].

ზემოთ მინიშნებული წყაროები, რა თქმა უნდა, ვერ ამოწურავენ აე-ს იმპულსების წარმოშობის ყველა მიზეზს, მაგრამ ისინი ითვლებიან ძირითად კერებად კონსტრუქციებში ბერითი რხევების გაჩერისა, აქედან გამომდინარე აკუსტიკური ემისიის, როგორც მოვლენის ცნება შეიძლება ასე განისაზღვროს აკუსტიკური ემისია არის მასალის შიგა სტრუქტურის დინამიკური გადაწყობით გამოწვეული მექანიკური ტალღების გამოსხივების პროცესი” [16].

ზემოთქმულიდან გამომდინარე შეიძლება დავასკვნათ, რომ მექანიკური ტალღები შეიძლება გამოთავისუფლდნენ, როგორც სუბმიკროსკოპულ და მიკროსკოპულ დონეებზე (ერთგვაროვანი მასალების მესერებში წარმოქმნილი სრიალის და გაორების პროცესები დეფორმაციისას, ფაზის სწრაფად მიმდინარე მარტენსიტული გარდაქმნები), ასევე მიკროდონეებზეც (ბზარების გაჩენა, მათი განვრცობა და განვითარება, რღვევისა და ხახუნის პროცესები).

წყაროების სიდიდის მიხედვით, იმიტირებული ბერითი სიგნალები ვრცელდებიან რამდენიმე ათეული რიგის სიხშირეებით, კერძოდ ინფრაბგერიდან (<16 ჰე-ზე, როგორც მიწისძვრების შემთხვევაში) დაწყებული და ულტაბგერით დამთავრებული (<16 ჰე-ზე) [23].

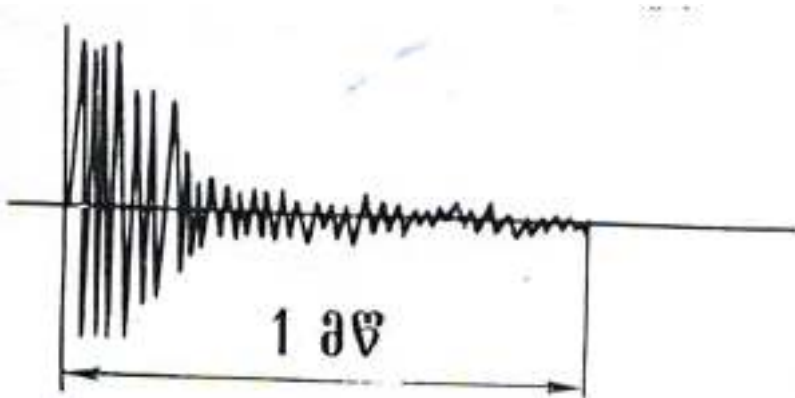
აკუსტიკური სიგნალების რეგისტრაციის უმარტივესი სქემა წარმოდგენილია ნახ. III.1-ზე



ნახ. III.1

გამოსაკვლევ სხეულში 2 ადძრული მექანიკური იმპულსები, რომლებიც 1 წყაროს მიერ არიან გამოწვეულნი, გარდაიქმნებიან ელექტრულ სიგნალებად კონტაქტური პიეზოგაქდამქნელით 3. ეს ელექტრული სიგნალები ძლიერდება, გადამუშავდება და რეგისტრირდება ელეტრული აპარატურით 4.

ტალღური მოძრაობის დისპერსია მყარ სხეულში იწვევს საწყისი მექანიკური სიგნალის ფორმის დამახინჯებას. შემდეგი დამახინჯებების მიზეზია გარდამქნელის თვისებები. საწყისი მექანიკური იმპულსის მცირე ენერგიის გამო, რათა მოხდეს ხელსაწყოს მგრძნობიარობის ამაღლება, როგორ წესი იყენებენ პიეროგადამწოდებს. ამ გადმწოდების მუშაობა დაფუძნებულია გრაკვეული კრისტალების თვისებებზე, რაც გამოიხატება მათზე მექანიკური ზემოქმედების შემთხვევაში ელექტრული სიგნალის აღმდრის ფენომენზე (პიეზოელექტრული ეფექტი), ამიტომ მექანიკური ზემოქმედების ცალკეული ციკლის დროს აღიძვრება თავად გარდამქნელის რეზონანსული რხევები, ხოლო გარდამქმნელის ბოლოში გამოსული ელექტროსიგნალს უქნება რადიოიმპულსური სახე, რომელიც ნახ. III.2-ზე ასახული.



ნახ. III.2 ელექტონულ ოსცილოგრაფზე დაფიქსირებული სიგნალის სახე დეპოლიარიზაციის საშიშროების თავიდან აცილების მიზნით რომელიც შესაძლებელია წარმოიშვას შემხვედრი, ძლიერი ელექტრული ველების (>100 ვოლტ/მმ),

დიდი მექანიკური დაძაბულობის, ან ატომური გამოსხივების ზემოქმედების ($>10^{10}$ რად) დროს, ბგერითი ემისიის გარდამქნევი სიგნალები საკვლევი ობიექტის ზედაპირიდან არინებული უნდა იქნას სპეციალური ტალღაგამტარებით, ოსცილოგრაფზე რეგისტრაციის და შემდგომი ანალიზისათვის.

თუ ორი მექანიკური სიგნალის წარმოშობის დრო აღემატება გარდამავალი პროცესების მიმდინარეობის დროს საკვლევ სხეულში, ამ შემთხვევაში აკუსტიკური ემისიის იმპულსები აღქმულნი იქნებიან ხელსაწყოს მიერ, როგორც დისკრეტული თანმიმდევრობა და ამ ტიპის ემისიას ეწოდება დისკრეტული ემისია.

თუ ბგერითი იმპულსები წარმოიქმნებიან ძალიან მჭიდრო თანმიმდევრობით, მაშინ ფაქტიურად შეუძლებელი ხდება ერთი სიგნალის მეორედან გამოცალკავება. ამ შემთხვევაში საქმე გვაქვს უწყვეტ აკუსტიკურ ემისიასთან, რომელიც ოსცილოგრაფზე გამოისახება მთლიანი ელექტრული ტალღა.

აკუსტიკური ემისიის პარამეტრები. უნდა აღინიშნოს, რომ დღემდე არ არის სტანდარტიზირებული აკუსტიკური ემისიის ტერმინოლოგია. გამოქვეყნებულ სამუშაოებში ერთი და იგივე ცნების აღსანიშნავად ხშირად სხვადასხვა ტერმინი იხმარება, რაც ძალიან ართულებს მიღებულ შედეგების გაგებას და ინფორმაციის გაცვლას. უნდა აღინიშნოს, რომ ამ სამუშაოში, ჩვენს მიერ გამოქვეყნებული იქნება [1] წიგნში მოყვანილი ტერმინები. აკუსტიკური ემისიის პარამეტრებია: იმპულსების საერთო რაოდენობა (დროის გარკვეულ შუალედში დისკრიტული აკუსტიკური ემისიის იმპულსების საერთო რაოდენობა), ჯამური აკუსტიკური ემისია (დროის საკვლევ ინტერვალში აკუსტიკური ემისიის სიგნალებისრაოდენობა დაწესებული შეზღუდვის (დისკრიმინაციის) დონის პირობებში), აე-ს აქტიურობა (იმპოულსების საერთო რაოდენობაა დროის ერთეულში), აკუსტიკური ემისიის სიგნალების ამპლიტუდა (აე-ს ინტენსივობაა (ჯამური აკუსტიკური ემისია, დროის ერთეულში), აკუსტიკური ემისიის (ტალღის) მაქსიმალური მნიშვნელობა დროის მოცემულ შუალედში), ამპლიტუდური განაწილება (დროის არჩეულ შუალედში აე-ს იმპულსების ამპლიტუდების განაწილება), აე-ს სიგნალების ენერგია (დროის მოცემულ ინტერვალში, წინასწარ დადგენილი სიხშირის ზონაში, გამოყოფილი ენერგია), აე-ს სპეციალური სიმკვრივე (აე-ს სიგნალების განაწილება ენერგიის სიხშირის მიხედვით).

როგორც აღნიშნული იყო, მასალაში წარმოქმნილი მექანიკური ტალღები, პიეზოგარდაქმნელით გარდაიქმნება ელექტრულ სიგნალებად. პრაქტიკაში ძირითადად ამ ელექტრული სიგნალებით ოპერირებენ, რომლებიც ასევე შეგვიძლია დავახასიათოთ ზემოთ ჩამოთვლილი პარამეტრებით.

წვენთვის ცნობილია, რომ აე-ს სიგნალები წარმოიქმნებიან დიდი სიხშირის დიაპაზონში – სმენით აღსაქმელი ხმაურიდან ულტრაბგერებით იმპულსებამდე. პრაქტიკულად გასაზომი სიხშირე იმყოფება 30 ჰერცისა და 200 კილოჰერცის შუალედში. გასაზომი დიაპაზონის შეზღუდვა ძირითადად განპირობებულია სხვადასხვა

ხელის შემსლელი ფაქტორების თავიდან აცილების მიზნით (როგორებიცაა დანადგარის ხმაური, წნების ფილების მოძრაობა და სხვა). ასე მაგალითად, დ. მოსესოვის [24] მონაცემებით აუ-ს იმპულსების სიხშირის დიაპაზონი ბეტონისათვის იცვლება 20 კტ-დან 120 კტ-მდე. სხვა ექსპერიმენტატორები [25,26] იყენებენ აპარატურას, რომლის რხევის სიხშირის დიაპაზონი მერყეობს 1,6 კტ-დან 50 კტ-მდე, შესაბამისი გარდამქნელების და ფილტრების შეღევით სიხშირის სპექტრი ცალკეული ექსპერიმენტებისათვის მიღებულია სხვადასხვა.

აკუსტიკური ემისიის სიგნალების მართებული ინტერპრეტაციისთვის აუცილებელია ნათელი მოვფინოთ, თუ რამდენად შეესაბამებიან ოსცილოგრაფზე რეგისტრირებული იმპულსები მასალაში დატვირთვისას მიმდინარე დესტრუქციულ მოვლენებს. ამ მიზნით ს. ჟურკოვის და მისი მოწაფეების ნაშრომში გამოკვლეული იქნა რაოდენობრივი ურთიერთდამოკიდებულება მყარ ტანში წარმოქმნილ დეფექტებსა და დარეგისტრირებულ ელექტრულ სიგნალებს შორის. ამასთან რეგისტრირდებოდა, როგორც სიგნალების საერთო რაოდენობა, ასევე მათი ამპლიტუდური განაწილებაც. შემდეგ ხდებოდა ნიმუშის განტვირთვა და დატვირთვის გამო მასში გაჩენილი ბზარების გამოკვლევა ხდებოდა ოპტიკური მიკროსკოპით, ნიმუშიდან ამოკვეთილი ნახებების (შლიფების) მეშვეობით. ექსპერიმენტების გაკონტროლების მიზნით ნახების (შლიფის) ამოღება ხდებოდა დაუტვირთავი ნიმუშებიდანაც. ნახებების შედარებამ ცხადყო, რომ მიკრობზარების უმეტესობა წარმოშობილ იქნა დატვირთვის შემდეგ, თუმცა მათი გარკვეული კონცენტრაცია დაუტვირთავ ნიმუშებშიც აღინიშნებოდა. ნახების ზედაპირზე ბზარების რაოდენობის დათვლის შემდეგ წარმოებდა მათი სეპარაცია ზომების მიხედვით. ამის შემდეგ ნიმუშიდან წარმოებდა 5000 მკმ სისქის ნახების ამოღება, მასზე ბზარების დატვლა და ა.შ. ამან საშუალება მისცა აგტორებს მიეღოთ ბზარების კონსცენტრაციის სურათი ნიმუშის მთელს მოცულობაში და ეს მონაცემები შეედარებინათ იმპულსების მთვლელ აპარატზე დაფიქსირებული აკუსტიკური სიგნალების სპექტრისათვის. აღმოჩნდა, რომ ნახაზებზე დავთლილ ბზარების და აკუსტიკური სიგნალების რაოდენობებს შორის სხვაობა მხოლოდ რამდენიმე ერთეულს შეადგენდა. ასევე გამოკვლეულები იქნა დამოკიდებულება ბზარის სიგრძესა და გამოსხივებული იმპულსის ამპლიტუდას შორის. ამისათვის ორ ნიმუშს შორის მაგრდებოდა სხვადასხვა დიამეტრის მინის ძაფები. ღუნვისას ეს ძაფები მყიფედ იმსხვრეოდნენ და მათი მსხვრევისას წარმოქმნილი დრეგადობის იმპულსი რეგისტრირდებოდა პიეზოგადამწოდით, რომელიც თავის მხრივ მიმაგრებული იყო ნიმუშის ზედაპირზე, ელექტრულ სიგნალად გარდაქმნილი ტალღები შემდგომ ხვდებოდნენ ამპლიტუდურ ანალიზატორში. სიგნალის ამპლიტუდის პარამეტრების დამოკიდებულება მინის ძაფების დიამეტრზე წრფივი აღმოჩნდა.

ხემოთ აღნიშნულიდან გამომდინარე ეჭვს აღარ იწვევს რომ აუ-ს პარამეტრები უტრყუარ ინფორმაციას გვაწვდიან მასალის შიგნით მიმდინარე სტრუქტურულ

ცვლილებებზე და ხელსაწყოს მგრძნობიარობის ზღურბლის მართებული გრადუირებით შეიძლება მოვიცვათ მასალის დესტრუქციის მთელი პროცესი.

მიკრობზარების წარმოქნის და დაგროვების პროცესების შესასწავლად სხვადასხვა მეცნიერის მიერ გამოყენებული იქნა აე-ს სხვადასხვა პარამეტრი, სხვადასხვა შეთანხმებით. ასე მაგალითად, ს. ჟურკოვსკისა და მისი მოწაფეების სამუშაოებში მიკრობზარების დაგროვების კინეტიკის შესწავლის და მასალების ხანგამდლეობის პროგნოზირების მიზნით გამოყენებოდა აე-ს იმპულსების რაოდენობისა და ამპლიტუდური განაწილების ანალიზი. მიმოხილვით ნაწილში აღნიშნული იყო რომ გ. პოჩტოვიკი და ს. ტემნიკი ბეტონის სიმტკიცის შესაფასებლად იყენებდნენ პზარწარმოქმნის ენერგიის პარამეტრებს. აკუსტიკური ემისიის ენერგია და სიგნალების ამპლიტუდური ანალიზი გამოიყენება აგრეთვე ვ. ლოგუნოვისა და ვ. მიხაილევსკაიას ნაშრომში [27], ბეტონის ხანგრძლივი წინააღმდეგობის პროგნოზირებისათვის.

გამოყენებული აღჭურვილობა და აპარატურა. აკუსტიკური ემისიის მეთოდის გამოყენება მოითხოვს მუშაობის განსაკუთრებულ პირობებს, რადგან ყოველგვარი გარეშე ხმაური ექსპერიმენტების ჩატარების დროს წარმოადგენს ხელის შემშლელ ფაქტორს – ცრუ სიგნალების წყაროს. ამიტომ იმ გამოსაცდელ მანქანებს, რომლებიც უზრუნველყოფენ ნიმუშის დატვირთვას, მოეთხოვებათ უხმაურო, ჩუმი მუშაობა. როგორც ცნობილია, ყველა პიდრავლიკური წნევი აღჭურვილია პიდროტუმბოებით, რომელთა მოძრაობაც უზრუნველყოფილია ელექტროძრავებით. პიდროტუმბოების მუშაობისას აღიძვრება ვიბრაციები, რომელიც გადაეცემა პიდრავლიკურ წნევის ძალოვან დანადგარს და მასში ჩაჭედილი ნიმუში განიცდის ვიბრაციას. ამ მდგომარეობაში აკუსტიკური გადამწოდი, რომელიც ნიმუშის წიბოზეა მიჭერილი, იღებს ცრუ სიგნალებს რხევის შედეგად და აე-ს ჭეშმარიტი სიგნალები ძნელად გასარჩევი ხდება. ხელის შემშლელი ხმაურის თავიდან აცილების მიზნით ან უარი ითქვას ელექტრონულ ამძრავიან პიდროდგუშზე, ან პიდროდგუში უნდა დაცილდეს წნევის ძალოვან ნაწილს ისეთ მანძილზე, რომელზეც ვიბრაცია და რხევები საგრძნობი აღარ იქნება.

პიდავლიკური წნევის მიერ განვითარებული ძალვა ვიზუალურად კონტროლირდება სანიმუშო მანომეტრით. დატვირთვისას აღნიშნული ძალვა მანომეტრის გარდა იზომება სპეციალურად დამზადებული და წნევში ჩამონტაჟებული ტენზომეტრული ძალის საზომით, რომელიც ბურდონის მილაკს წარმოადგენს და რომელზეც ორი მხრიდან დაწებებულია ტენზორეზისტორები. მილაკი ორივე ბოლოთი ჩაჭერილია კორპუსში და მათგან ერთ-ერთით მისი შიგა ღრუ მიერთებულია წნევის ცილინდრის ღრუსთან, რის საფუძველზეც ის დეფორმირდება. მილაკზე დამაგრებულ ტენზორეზისტორები აღიქვამენ მილის ზედაპირზე განვითარებულ დეფორმაციებს. ამ დროს აღიძვრება ძალვის პროპორციულ ელექტრონული სიგნალი. ეს სიგნალი

შემდგომში ძლიერდება ტენზოგამაძლიერებელი მოწყობილობით და შეიძლება გაიზომოს ან მიეწოდოს გრაფოამგებს.

ამგვარად, გამოყენებული ელექტრონული, გამაძლიერებელი და მარეგისტრირებელი აპარატურა საშუალებას იძლევა ჩაწერილი იქნას გრძივი, განივი და მოცულობითი დეფორმაციების დაიგრამები, დატვლილი იქნება დატვირთვისას წარმოშობილი აე-ს იმპულსების საერთო რაოდენობა და დაფიქსირებული იქნას მათი განაწილება დატვირთვის ზრდის მიხედვით. ხოლო ელექტრული ოსცილოგრაფის ეკრანზე წარმობდეს ვიზუალური დაკვირვება შემოსული სიგნალების ფორმაზე, ზომებზე და ჩაქრობის ხარისხზე.

ულტაბგერთი კონტროლის მეთოდების კლასიფიკაცია

ულტაბგერთი კონტროლის მეთოდები ძირითადა გამოიყენება კონსტრუქციაში ფარული დეფექტების გამოსავლენად. ისინი არაპირდაპირ მეთოდებს მიეკუთვნება და ფლობენ სპეციფიკურ შესაძლებლობებს, რომლებიც დაფუძნებულია კონსტრუქციის სიღმეში ულტრაბგერის შეღწევის უნარზე.

ულტრაბგერთი კონტროლის მეთოდებს საფუძვლად უდევს ულტაბგერის იმპულსების არეაგლა დეფექტიდან, რის შედეგად განისაზღვრება ზედაპირიდან დეფექტის მდებარეობის სიღმე, რომელიც დამოკიდებულია კონსტრუქციაში ულტრაბგერის გავრცელების სიჩქარეზე და დეფექტამდე მანძილის გავლის დროზე.

დეფექტის მდებარეობა ზედაპირიდან განისაზღვრება შემდეგი ფორმულით:

$$h = \frac{ct}{2} \quad (\text{III.1})$$

სადაც: c – ულტაბგერის გავრცელების სიჩქარეა, $\text{მმ}/\text{წმ}$;

t – დეფექტამდე და უკან ულტაბგერის გავრცელების დრო, წმ .

ულტაბგერთი დეფექტოსკოპია დაფუძნებულია მიმართული ტალღის თვისებებზე. ტალღა გარემოში მიმართულად, სხივის სახით ვრცელდება და აირეკლება გარემოს საზღვრიდან ან დეფექტებიდან, რომელაც სხვა აკუსტიკური თვისებები აქვს.

მოწყობილობის ტიპებიდან გამომდინარე შეიძლება გამოვყოთ ულტაბგერითი კონტროლის შემდეგი მეთოდები.

1. ექოიმპულსური მეთოდი (ექოლოგაციის მეთოდი) დაფუძნებულია ულტაბგერითი რხევის მოკლე იმპულსების კონსტრუქციაში გატარებასა და იმ ექოსიგნალების რეგისტრაციაზე, რომელიც აირეკლებადეფექტიდან და მიემართება მიმდებისაკენ. დეფექტის ნიშანია ექოსიგნალი დაფექტოსკოპიის ეკრანზე.

მეთოდი საკმაოდ არის გავრცელებული პრაქტიკაში მაღალი მგრძნობელობის, რეალიზაციის სიმარტივისა და უნივერსალურობის გამო.

2. ჩრდილური მეთოდი (გამჭოლი გამტარობის მეთოდი). ამ მეთოდში გამომსხივებელი და მიმღები განლაგებულია თანარ რძულიად კონსტრუქციის სხავადასხვა მხარე დეფექტის ნიშანი არის გამომსხივებლიდან მიმღებამდე მისული სიგნალის ამპიტუდის შემცირება. მეთოდის რეალიზება შესაძლებელია ფირფიტის, მილის და ა.შ. კონტროლისათვის, როგორც იმპულსური, ისე უწყვეტი გამოსხივებით.
 3. სარკისებრ-ჩრდილური მეთოდი დაფუძნებულია ტალღის სიგნალის შესუსტებაზე, რომელიც არეკლილია კონსტრუქციის მოპირდაპირე ზედაპირიდან. შესაძლებელია გამოყენებული იქნეს ერთი გარდამქმნელი. დეფექტის ნიშანია მიღებული სიგნალის ამპიტუდის ჟ მცირება. წარამტბით გამოიყენება ფურცლოვანი ლითონის, ნაჭედის, მილის, რელსის და ა.შ. კონტრლისათვის.
 4. იმპენდანსის მეთოდი. განკუთვნილია წვრიკედლიანი ლითონური და პლასტმასის შემონაკერების მირჩილვის ან მიწებების ხარისხის განსაზღვრისათვის მყარ დანამატთან და დაფუძნებულია დ დოს რხევის რეჟიმის ანალიზზე (პიეზოელემენტით), მიყრდნობილია კონსტრუქციის ზედაპირზე დეფექტის არსებობისას ზედაპირის მოცემული უბნის აკუსტიკური იმპენდანსი მცირდება, რაც იწვევს დეროს რხევის ამპლიტუდის გაზრდას, მის ბოლოზე მექანიკური ძაბვის შემცირებას, რხევის ფაზის ცვლილებას და რეზონანსული რხევის სიხშირის გადანაცლებას. ამ ნიშნებიდან ნებისმიერი ამტკიცებს დეფექტების არსებობას.
 5. თავისუფალი რხევის ანუ სპექტრული მეთოდი. დაფუძნებულია კონსტრუქციის საკუთარი რხევის სიხშირის სპექტრის ანალიზზე, მასზე ვიბრაციული დარტყმის შემდეგ სპექტრის ანალიზი წარმოებს სმენით (ჭურჭლის წარუნინის მიხედვით) ან სპეციალური აპარატურის გამოყენებით. მეთოდს წარმატებით გამოიყენებენ მასალების დრეკადი მუდმივების შეფასებისათვის თავისუფალი რხევის აღგზნების გზით განსაზღვრული ფორმის და ზომის ნიმუშში, მაგალითად დეროში.
 6. რეზონანსული მეთოდი დაფუძნებულია რეზონანსული რხევის აღგზნებაზე და ანალიზზე კონსტრუქციის საკვლევ მოცილობაში. რეზონანსული სიხშირის მიხედვით განაზღვრავენ კონსტრუქციის სისქეს. დეფექტის არსებობას უწევენ ნორმალურთან შედარებით სისქის ნაკლები მნიშვნელობა, რეზონანსული პიკის ოსცილოგრაფის ეკრანზე შესუსტება ან გაქრობა.
- მეთოდების პირველი ჯგუფი განიხილავს ულტაბგერის ლოკალურ ათგზნებას, ხოლო მეორე ჯგუფი – ულრაბგერითი აღგზნების მთელ კონსტრუქციაში ან მთელი სისქის მიხედვით გამომსხივებელზე.

ვინაიდან ულტრაბგერითი თალღა, რომელიც გამოყენებულია პრაქტიკაში სიხშირის მეგაჰერცულ დიაპაზონზე, არ გადის ჰაერში, ამიტომ ძ ღრებო გარდამქმნელსა და საკონტროლებელ კონსტრუქციას შორის ავსებული უნდა იყოს კონტაქტური გარემოთი (საკონტაქტო სითხით).

ულტრაბგერითი ტესტირება წარმოადგენს დაუზიანებელი ტესტირებას, რომელიც ეყრდნობა ბეტონში ულრაბგერითი იმპულსური სიჩქარის ანათვლებს.

მიმართულება რომლითაც ვრცელდება მაქსიმალური ენერგია წარმოადგენს მართ კუთხეს გადაცემის ზედაპირისადმი, შესაძლებელია იმპულსების აღმოჩენა ბეტონში სხვა მიმართულებითაც. ამიტომაც შესაძლებელია გაიზომოს იმპულსური სიჩქარე ორი გადამცემის განთავსებით პორ საპირისპირო სიბრტყეებზე (პირდაპირი გადაცემა), ან მეზობელ სიბრტყეებზე (ნახევრად პირდაპირი გადაცემა), ან ერთიდაიგივე სახე (არაპირდაპირი ან ზედაპირული გადაცემა).

შენიშვნა 1. შესაძლებელია აუცილებელი იყოს გადამწოდების განთავსება საპირისპირო სიბრტყეებზე, მაგრამ არა ერთმანეთის საპირისპირო სიბრტყეზე. ამგვარი განთავსება ითვლება ნახევრად პირდაპირ გადაცემად.

შენიშვნა 2. არაპირდაპირი გადაცემის მოწყობა არის ყველაზე ნაკლებ მგრძნობიარე და უნდა გამოყენებული იქნას, როდესაც ბეტონის მხოლოდ ერთი სიბრტყე არის მისაღები, ან როდესაც ბეტონის ზედაპირის ხარისხი შედარებით საერთო ხარისხთან არის მისაღები.

შენიშვნა 3. ნახევრად პირდაპირი გადაცემის მოწყობა აქვს შუალედური მგრძნობიარობა ნასესხები მოწყობებს შორის და უნდა გამოყენებული იქნეს მხოლოდ მაშინ, როდესაც პირდაპირი მოწყობა არ შიძლება გამოყენებული იქნეს.

პირადპირი გადაცემისათვის, ნაწილაკის გარბენის სიგრძე წარმოადგენს მანძილს გადამწოდებს შორის და როდესაც ეს შესაძლებელია, ნაწილაკის გარბენის სიგრძის გაზომვის სიზისტე უნდა იყოს $\pm 1\%$ და სიზუსტე უნდა იყოს ჩაწერილი.

ნახევრად პირდაპირი გადაცემისათვის, საერთოდ დადგენილია, რომ საკმარისი სიზუსტით ნაწილაკის გარბენის სიგრძედ მიიჩნევა გაზომილი მანძილი გადამწოდების სიბრტყეების ცენტრებს შორის. ნაწილაკის გარბენის სიგრძეს სიზუსტის შეფასება დამოკიდებულია გადამწოდის ზომაზე ცენტრებს შორის მანძილთან შედარებით და იგი უნდა შეფასდეს.

პირდაპირ და ნახევრად პირდაპირი გადაცემისათვის იმპულსის სიჩქარე გამოითვლება ფორმულით:

$$V = \frac{L}{T} \quad (\text{III.2})$$

სადაც: V – არის იმპულსი სიჩქარე, კმ/წმ;

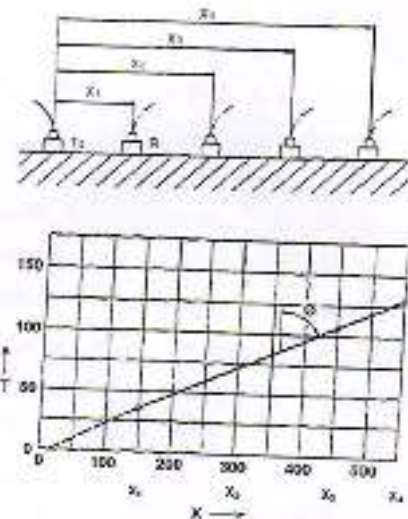
L – არის ნაწილაკის განარბენის სიგრძე, მმ-ში;

T – არის იმპულსი მიერ სიგრძის გავლის დრო, სმ.
იმპულსის სიჩქარის საბოლოო განსაზღვრა შესაძლებელია გამოიხარტოს 0,01 კმ/წმ ან სამი თანრიგიანი ციფრით.

არაპირდაპირი გადაცემისას არსებობს გაურკვევლობა დაკავშირებული გადაცემის ტრაექტორიის ზუსტ სიგრძესთან გზაზე, გამომდინარე გადამწოდისა და ბეტონს შორის უმნიშვნელო საკონტაქტო ფართიდან. ამიტომ სასურველია, შესრულდეს მრეწველობა მრავალჯერადი გაზომვები გადამწოდების ერთმანეთთაოსაგან განსხვავებულ მაზილზე დაშორებით.

ამისათვის გადამცემი გადამწოდი უნდა განთავსდეს ბეტონის ზედაპირის ფიქსირებულ წერტილში P და მიმღები გადამწოდი უნდა განთავსდეს ფიქსირებული ნაზრდით X ზედაპირზე შერჩეული ხაზის გასწვრივ. გადაცემის დრო აღინიშნება წერტილებად გრაფიკზე და ასახავს მათ დამოკიდებულებას გადამწოდებს შორის მანძილზე. მაგალითად ასეთი გრაფიკი ნაჩვენებია ნან. 3-ზე.

წერტილზე გამავლი დახაზული საუკეთესო სწორი ხაზის დახრა გაიზომება და ჩაიწერება როგორც იმპულსის საშუალო სიჩქარე ბეტონის ზედაპირზე სეღცეული ხაზის გასწვრივ. როცა ამგვარად გაზომილი და ჩაწერილი წერტილები ასახავენ წყვეტას, მოსალოდნელია, რომ ზედაპირზე არსებობენ ბზარები ან ზედაპირული ფენა უხარისხოა და სიჩქარის გაზომვა ამ შემთხვევაში არასაიმედოა.



ნახ. III.3 იმპულსის სიჩქარის დადგენა არაპირდაპირი (ზედაპირული)

გადაცემისას

დახაზეთ უჯრედები ბეტონზე და გაზომეთ გარბენის სიგრძე უჯრედების წერტილებს შორის, ამით შესაძლებელია შევაფასოთ ბეტონის ერთგვაროვნება. მნიშვნელოვანია გრაფიკების გამოყენება ცდების შედეგების ნატლად წარმოსაჩენად და ბეტონის საშუალო ხარისხის დემონსტრირებისათვის.

როდესაც ულტრაბგერითი იმპულსი ბეტონში გაივლის შეხვდება ბეტონის და ჰაერის გაყოფის ზედაპირს, ამ დროს ენერგიის გადაცემა გაყოფის ზედაპირიდან

უმნიშვნელოა (დიფრაქციისა და არეკვლის გამო) ასე რომ ნაწილაკის გარბენის სიგრძე უნდა აღემატებოდეს მსგავსი დეფექტების გარეშ ბეტონის შემთხვევას. ეს მოვლენა შეიძლება გამოვიყენოთ დეფექტების, ფულუროების, დაზიანებული ადგილების, ბზარების ადგილმდებარეობის დასადგენად.

თუ დეფექტის სიგრძე ძალზე მცირეა შეუძლებელია შეფასების გაკეთება (მაგ. შეუძლებელია ფულუროების გამოვლენა რომელთა სიგრძე ნაკლებია თავაკის დიამეტრზე).

მასალების მნიშვნელოვანი ფიზიკური თვისებები, რომლებიც გავლენას ახდენენ იმპულსის სიჩქარეზე, წარმოადგენენ დრეკადობის მოდულს და სიმკვრივეს. ბეტონში ეს თვისებები არის დამოკიდებული შემავსებლის ტიპზე, მის პროპორციებზე (ნარებში) და მის ფიზიკურ თვისებებზე და ცემენტის ფიზიკურ თვისებებზე, რომელიც დაკავშირებულია ძირითადად, ორიგინალური წყალ-ცემენტის შეფარდებაზე და ბეტონის ასაკზე. მეორე მხრივ, ბეტონის სიმტკიცე უფრო მეტად დამოკიდებულია წყალ-ცემენტის შეფარდებაზე ვიდრე შემავსებლის ტიპზე და შემავსებლის და ცემენტის პროპორციაზე. ეს დამოკიდებულება იმპულსის სიჩქარესა და ბეტონის სიმძლავრეს შორის ფიზიკურად არაპირდაპირია და უნდა დადგინდეს კონკრეტული ბეტონის ნარევისათვის. უცნობი ბეტონისათვის სიმძლავრის შეფასება მხოლოდ იმპულსის სიჩქარის საფუზველზე არ არის სარწმუნო.

როდესაც ბზარის ადგილმდებარეობა დადგენილია, ფიქსირებულია ორი ანატვალი, როგორც ეს ნაჩვენებია ნახ. III.4 (1,2). ერთი ანათვალი აიღება როდესაც თავაკები სიმძლავრისტულად არის განთავსებული ბზარის (2) მიმართ, მეორე შემთხვევაში იგივე მანძილი ცეცხას შორის აიღება დეფექტების გარეშე ზედაპირზე (1).

შემდგომი ფორმულით შეიძლება გამოთვლილი იქნას “ h ” სიღრმის დეფექტი, იმ პირობით რომ ბზარი არ არის წყლით გავსებული:

$$h = x \sqrt{\frac{t_c^2 - 1}{t_s^2}} \quad (\text{III.4})$$

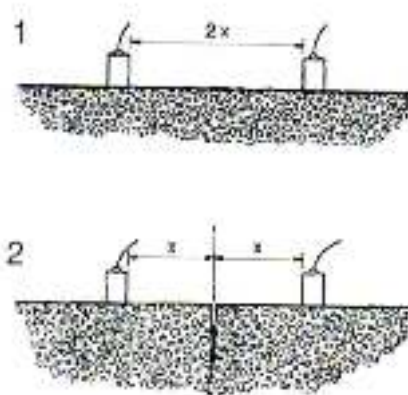
სადაც: x – ნახევარი მაზილი ცეცხას შორის;

h – ბზარის სიღმე;

T_c – ნაწილაკის გარბენის სიგრძე ბზარზე;

t_s – ნაწილაკის განარბენის სიგრძე ზედაპირის გასწვრივ ბეტონში დეფექტების გარეშე.

“ h ” და x ერთნაირ ერთეულებში იზომება.



ნახ. III.4 ბზარის სიღმის შეფასებისათვის თავაკების ადგილმდებარეობა

კაპილარი კონტროლის მეთოდი

კაპილარი მეთოდის შესასრულებლად გამოიყენება პრეტრანტის სითხეები მოცემული ნახ. III.5-ზე



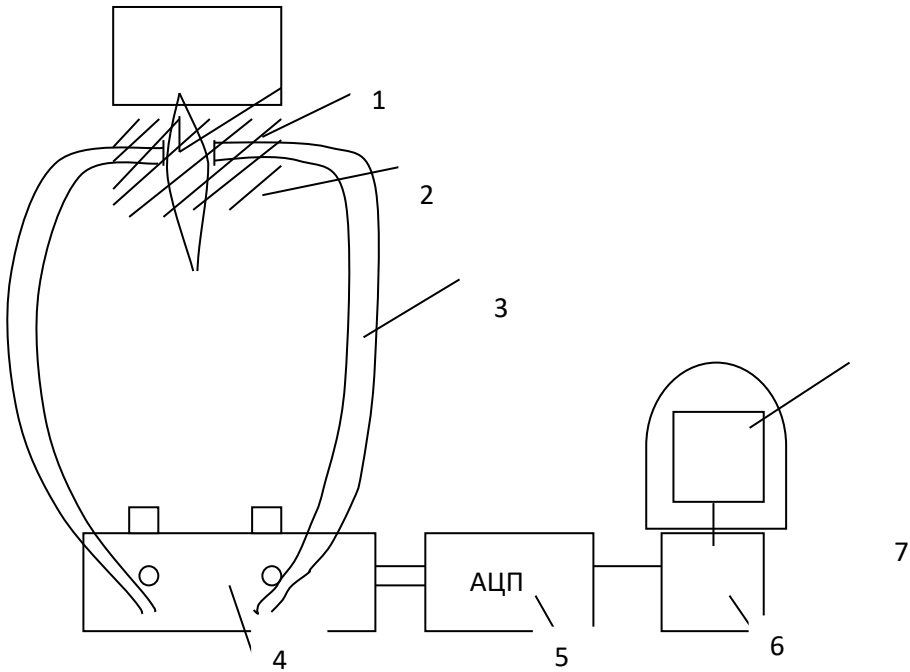
ნახ. 5. პრეტრანტის სითხეები

პრეტრანტს ჯერ ასხავენ წითელიდან ბზარებები სითხეს, 5 წუთს გააჩერებენ შემდეგ შუაში მოთავსებული ბალონიდან და ბოლოს მესამე ბალონიდან ნახ. III.5 რის შედეგადაც უხილავი ბზარი გამოვა ზედაპირზე.

ბზარის სიგანის გაზომვის მეთოდი და მოწყობილობა

რკინაბეტონის კონსტრუქციების უმეტესობისათვის СНиП 2.03.01-84* თანახმად ბზარის გახსნის სიგანის სიღილე ნორმირდება. ნორმირებული მნიშვნელობები მოცემულია ცხრილ 2-ში СНиП 2.03.01-84*.

იმისათვის, რომ განვსაზღვროთ ბზარის გახსნის დინამიკა, ჩვენს მიერ დამუშავებულია მეთოდი და შესაბამისი ბოჭკოვან-ოპტიკური მოწყობილობა, რომლის სქემა მოცემულია ნახ. III.6-ზე.



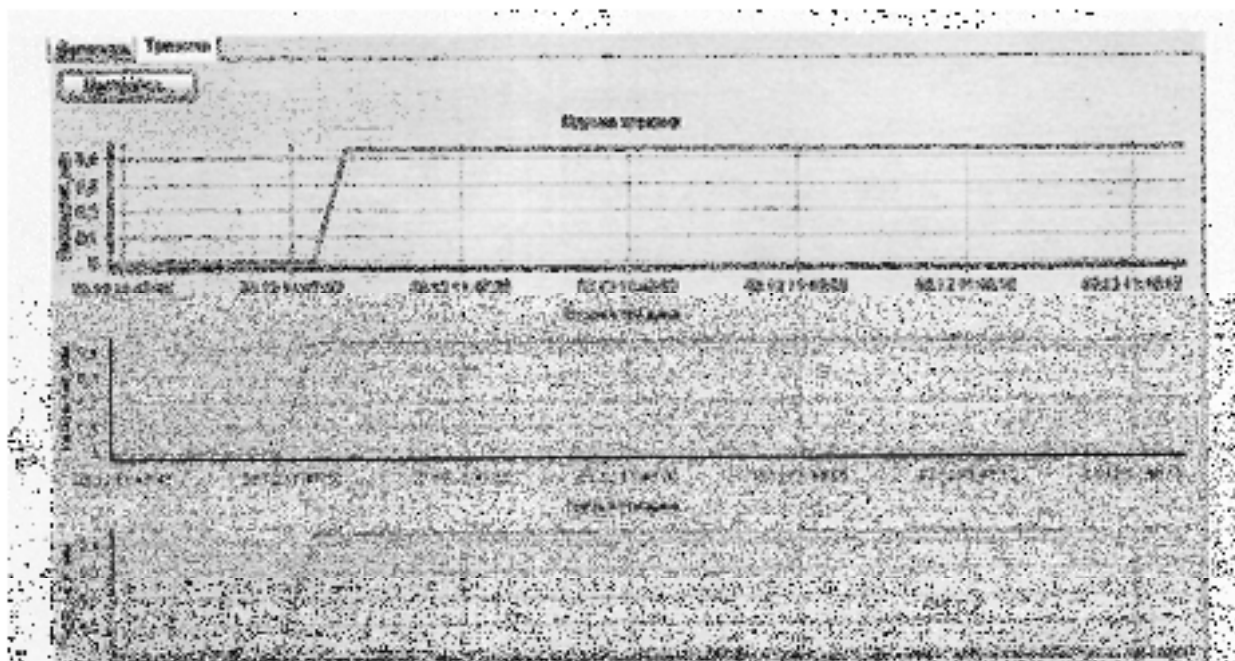
ნახ. III.6. 1 - ბზარი, 2 - თაბაშირის ფენა, 3 - ბოჭკოვან-ოპტიკური შუქსატარი, 4 - სინათლის გამომსხივებელი და მიმღები, 5 - ანალოგიურ ციფრული გარდამქმნელი, 6 - პროცესორი, 7 - მონიტორი

წარმოდგენილი მოწყობილობა მუშაობს შემდეგნაირად: კონსტრუქციაზე წარმოშობილ ბეწვებზარზე (1), რომელიც ჯერ არ არის საშიში მოითხოვს დაკვირვებას ვამაგრებთ თაბაშირის (2) საშუალებით ორ ბოჭკოვან-ოპტიკურ შუქსატარს (3) ერთმანეთის თათარდერძულად მათ შორის დერჩო ტოლია მათი დიამეტრის ნახევარის, მეორე ბოლოებით შუქსატარები მიერთებულია გამომსხივებელზე და მიმღებზე (4), მიმღები (4) მიერთებულია ანალოგიური ციფრულ გარდამქნელებზე (5), პროცესორზე (6) და მონიტორზე (7). გამომსხივებლიდან სინათლის ნაკადი ვრცელდება პირველ შუქსატარში და გადადის მეორე შუქსატარში, თუ ბზარის სიგანე შუქსატარის დიამეტრზე ნაკლებია. მეორე შუქსატარის გავლის შემდეგ სინათლის სხივი მოხვდება მიმღებზე, მიმღებიდან (4) ოპტიკური სიგნალი ელექტრული სიგნალის სახით გადაეცემა ანალოგიურ ციფრულ გარდამქნელს (5) რომელიც სიგნალს დაამუშავებს და გარდაქმნის ციფრულ ფორმაში და გადასცემს პროცესორს (6), პროცესორში დევს დევს ჩვენს მიერ დამუშავებული პროგრამა, რომელიც მონიტორზე (7) გვაძლევს გრაფიკულ გამოსახვას, ბზარის გახსნის დინამიკას, როდესაც ბზარის გახსნა კრიტიკულზე მოდის ხელსაწყო იძლევა განგაშის სიგნალს, ხმოვანს ან წითელი ნათებით.

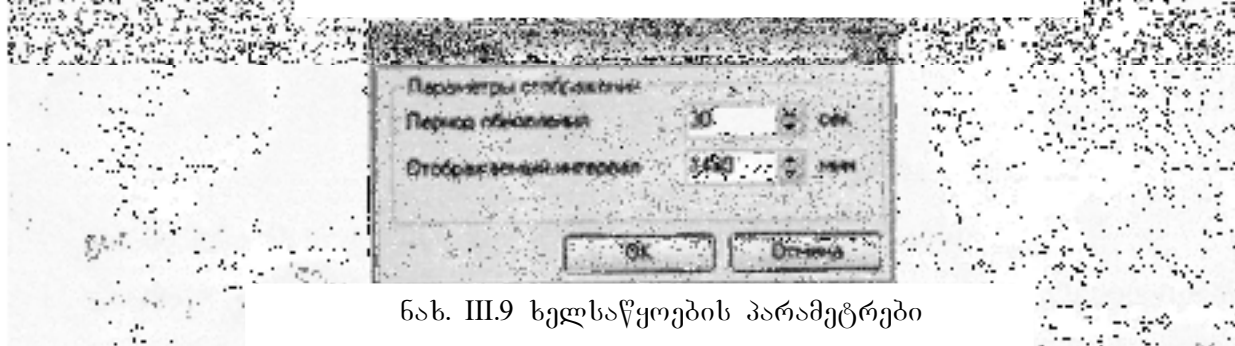


ნახ. III.7. ოპერატორის სამუშაო ადგილი

გადაცემის მუშაობის გრაფიკული სახე ბზარების გასხნისას წარმოგვიდგება დიაგრამის სახით (ნახ. 7). მოცემული ფუძე აისახება მხოლოდ იმ შემთხვევაში, როცა აირჩევა ერთი ობიექტი (მაგ. „კოჭი“ 1) ეკრანზე გამოისახება მონაცემები, მიღებული ბოლო 24 საათის განმავლობაში. ამასთან გრაფიკების განახლება ხდება 1,5 წთ-ის ინტერვალით. ამ ხელსაწყოების შეცვლა შეიძლება დიალოგის დახმარებით, დილაკით „ხელსაწყოები“ (ნახ. III.7). განახლების პერიოდი გავლენას ახდენს გრაფიკების განახლების ინტენსივობაზე. ასახული ინტერვალი იძლევა შუალედურ დროს, რომელიც იქნება გამოსახული გრაფიკზე.



ნახ. III.8 ფუძე „ბზარი”



ნახ. III.9 ხელსაწყოების პარამეტრები

ბზარის გახსნის გადაცემის მნიშვნელობა შეიტანება პროტოკოლის საერთო სისტემის მონიტორინგში, მოცემული ნახ. III.7-ზე. პერიოდულობა დამოკიდებულია ხელსაწყოების სისტემაზე, პროტოკოლირება განხორცილდება მთელი დროის განმავლობაში სისტემის მუშაობისას.

Дате	Датчик перегрузкии №5747	Датчик антикражи №5748	Датчик троицкого района №5749
04.12.2009 10:14:08	0,9344743	0,4338631	0,4338631
04.12.2009 10:14:12	0,9344743	0,4338631	0,4338631
04.12.2009 10:14:15	0,9344743	0,4338631	0,4338631
04.12.2009 10:14:19	0,9344743	0,4338631	0,4338631
04.12.2009 10:14:21	0,9344743	0,4338631	0,4338631
04.12.2009 10:14:24	0,9344743	0,4338631	0,4338631
04.12.2009 10:14:28	0,9344743	0,4338631	0,4338631
04.12.2009 10:14:31	0,9344743	0,4338631	0,4338631
04.12.2009 10:14:34	0,9344743	0,4338631	0,4338631
04.12.2009 10:14:37	0,9344743	0,4338631	0,4338631
04.12.2009 10:14:40	0,9344743	0,4338631	0,4338631
04.12.2009 10:14:43	0,9344743	0,4338631	0,4338631
04.12.2009 10:14:46	0,9344743	0,4338631	0,4338631
04.12.2009 10:14:49	0,9344743	0,4338631	0,4338631
04.12.2009 10:14:52	0,9344743	0,4338631	0,4338631
04.12.2009 10:14:55	0,9344743	0,4338631	0,4338631
04.12.2009 10:14:58	0,9344743	0,4338631	0,4338631
04.12.2009 10:15:01	0,9344743	0,4338631	0,4338631
04.12.2009 10:15:04	0,9344743	0,4338631	0,4338631
04.12.2009 10:15:07	0,9344743	0,4338631	0,4338631

ნახ. III.10 გადაცემით მიღებული პროტოკოლი

სისტემის მონიტორინგის გაცნობა შესაძლებელია „პროტოკოლის ნახვის” ინსტრუმენტის დახმარებით (მენიუ „სერვისი” > „პროფილის დათვალიერება” (ნახ. III.10)).

მონაცემების დათვალიერებისათვის საჭიროა შესრულდეს შემდეგი მოთხოვნები:

1. მოვნიშნოთ მარცხნივ გადამცემები, რომელთა ნახვაც თქვენ გინდათ, TB7A.4-ის შემთხვევაში, შეიძლება ავირჩიოთ პროფილური გადამწოდები, მეორე და მესამე ბზარების ობიექტებზე (კოჭი 1);
2. დაზუსტდეს მოთხოვნილ დროს ინტერვალი, ვიხელმძღვანელოთ იტერაციით პირველ და მეორე ჩანაწერების საფუძველზე;
3. თუ აღებულია დროის დიდი ინტერვალი, მაშინ რეკომედირებულია გაკეთდეს არჩევა ყველა ჩანაწერებიდან მიმდევრობით, ეს მონაცემები, შეიძლება დაზუსტდეს ველში „ავირჩიოთ ყოველი ჩანაწერი”.
4. დაგჭიროთ ღილაკზე „განახლება”.

ზღვარის მნიშვნელობის მოძებნა იწვევს ბზარის გახსნის მდგომარეობის კონსტრუქციის გადასვლას სახიფათო მდგომარეობაში. სისტემა ინფორმაციას იღებს

ვიზუალური და ხმოვანი სიგნალით ზღვრული მნიშვნელობები აიღება ცხ.2-დან და მიიღება СНиП 2.03.01-84*/1.

III.3. აკუსტიკური ემისიის და ულტრაბგერითი კონტროლის მეთოდებით აღმოჩენილი დაზიანებების ევოლუციის დადგენისათვის ფრაქტალური თეორიის გამოყენება

უსაფრთხოების და საემედოობის შეფასება არმირებული ბეტონის კონსტრუქციებში, წარმოადგენს ძალიან რთულ პრობლემას, რომელიც მეცნიერული კვლევების პირველ რიგში დგას. ამიტომ დიაგნოსტიკის და კონტროლის მეთოდები ხდება სულ უფრო მნიშვნელოვანი კონსტრუქციის საიმედოობის და მდგომარეობის შეფასებისათვის. მეთოდებს შორის ყველაზე კარგ ეფექტურობას წარმოადგენს არამრღვევი კონტროლის მეთოდი დაფუძნებული აკუსტიკურ ემისიაზე და ულტრაბგერაზე.

ენერგიის დისიპაციის დროს ფრაგმენტაციისას ფართოდ გავრცელებული ეფექტები. სხვადასხვა შრომებში თეორიულად გამოყენებულ ფრაქტალურ მიდგომაში იყო ნაჩვენები, რომ ფრაგმენტაციას გააჩნია მრავალმასშტაბური პროცესი ენერგიის დისიპაციისას. მოცემული ფრაქტალური თეორია ითვალისწინებს მრავალამასშტაბური პროცესის ენერგიის დისიპაციას. მოცემული ფრაქტალური თეორიული ითვალისწინებს მრავალმასშტაბურ თვისებას ენერგიის დისიპაციისას და მის ფართო გავრცელებულ ეფექტებს. ასეთი მიდგომა ენერგიის გავრცელებაზე უნდა იქნას ექსპერიმენტალურად დაზუსტებული აკუსტიკური ემისიის მეთოდით.

მოცემულ სამუშაოში ყურადღება უნდა მივაქციოთ დამატებით ასპექტებზე, დაკავშირებულ დროებით ეფექტებზე. გავრცელებული-დროებით ეფექტები გვაძლევს საშუალებას შემოვიტანოთ საჭირო ენერგეტიკული პარამეტრი კონსტრუქციის მდგომარეობის შესაფასებლად, დაფუძნებული აკუსტიკური ემისიის სიგნალებს შორის კორელაციაზე კონსტრუქციის მცირე ნიმუშზე.

აკუსტიკური ემისიის ან ულტრაბგერის ყოველ სიგნალზე ბზარების გავრცელებისას ან სხვა დაზიანებული სხეულის ტალღებზე გააჩნია ხანგრძლივობა τ , რომელსაც ჩვენ ჩავთვლით ფრაქტალურ სიდიდედ. მაშასადამე სიგნალის გავრცელების ხანგრძლივობა ადიწერება შემდეგი კაჭნით:

$$P(<\tau) = \frac{N(<\tau)}{N_{\max}} = 1 - \left(\frac{\tau_{\min}}{\tau} \right)^{D_T} \quad (\text{III.5})$$

სადაც: $N(<\tau)$ – სიგნალების საერთო რაოდენობაა τ -ზე ნაკლები ხანგრძლივობით, N_{\max} – სიგნალების საერთო რიცხვია; $\tau_{\min}(<\tau_{\max})$ – მინიმალური ხანგრძლივობაა; $D_T(<0)$ – ფრაქტალური რიცხვი.

5. განტოლების ინტეგრირებით მივიღებთ სიმკვრივის ინტენსივობის გავრცელების გამომსახველ შემდეგ ფორმულას:

$$P(\tau) = D_T \frac{\tau_{\min}^{D_T}}{\tau^{D_T+1}} \quad (\text{III.6})$$

ენერგიის დიციპაციისას W , მოცულობა V შეიძლება გამოვსახოთ შემდგინავის ფორმულით:

$$W \propto V^{D_s/3} \quad (\text{III.7})$$

ამრიგად, მცირე ენერგია dW დისიპირებული ცალკეული მოვლენით ულტრაბენერის გავრცელება ან აკუსტიკური ემისია აღიწერება (III.7) განტოლებით, სადაც V წარმოადგენს მოცულობას.

ორ და ერთგანზომილებიანი ობიექტებისათვისმ რომლებიც ხასიათდება A და L ზომით, მივიღებთ შემდეგს, $W \propto A^{D_s/2}$ ან $W \propto A^{D_s/2}$ ან $A \propto \tau^2$ ან $A \propto \tau$. ამრიგად ჩვენ მივდივართ შემდეგ ტოლობამდე, ენერგიის სრული დისიპაცია ტოლია:

$$W \propto \int_{\tau_{\min}}^{\tau_{\max}} \tau^{D_s} dN = \int_{\tau_{\min}}^{\tau_{\max}} N_{\max} p(\tau) d\tau \propto N_{\max} \frac{D_T}{D_S - D_T} \tau_{\min}^{D_T} (\tau_{\max}^{D_S - D_T} - \tau_{\min}^{D_S - D_T}) \cong \\ \cong \begin{cases} N_{\max} \frac{D_T}{D_S - D_T} \tau_{\min}^{D_T} \tau_{\max}^{D_S - D_T}, & D_T < D_S, \\ N_{\max} \frac{D_T}{D_S - D_T} \tau_{\min}^{D_T}, & D_T > D_S \end{cases} \quad (\text{III.8})$$

ბეჭრის გერცელების სრული დრო განისაზღვრება შემდეგნაირად:

$$t \propto \int_{\tau_{\min}}^{\tau_{\max}} \tau dN = \int_{\tau_{\min}}^{\tau_{\max}} N_{\max} \varphi(\tau) d\tau \propto N_{\max} \frac{D_T}{1 - D_T} \tau_{\min}^{D_T} (\tau_{\max}^{D_S - D_T} - \tau_{\min}^{D_S - D_T}) \cong \\ \cong \begin{cases} N_{\max} \frac{D_T}{1 - D_T} \tau_{\min}^{D_T} \tau_{\max}^{1 - D_T}, & D_T < 1, \\ N_{\max} \frac{D_T}{1 - D_T} \tau_{\min}^{D_T}, & D_T > 1 \end{cases} \quad (\text{III.9})$$

შესაბამისად მონიტორინგის ექსპერიმენტალური მონაცემებით ულტრაბენერითი ან აკუსტიკური ემისიის მეთოდებზე დაყრდნობით უნდა განვსაზღვროთ, რომ სიგნალი გაიშვება თანდათან ად არა პარალელურად.

გარდა ამისა შემივიტანოთ „პვანტი“ ანუ ერთი იმპულსის ხანგრძლივობის ზომა $\tau_{\min} = \text{const}$. და მივიღებთ სტატიკურ პიპოვებას ავტომოდელირებისათვის ე.ი. $\tau_{\max} \propto t$, ამრიგად გამორიცხვით (III.8) და(III.9) განტოლებებიდან მივიღებთ, რომ:

$$\text{თუ } D_s \geq 1, W \propto \begin{cases} t^{D_s}, & D_T < 1, \\ t^{1+D_s-D_T}, & 1 \leq D_T \leq D_s \\ t, & D_T > D_s \end{cases} \quad (\text{III.10})$$

$$\text{თუ } D_s < 1, W \propto \begin{cases} t^{D_s}, & D_T < D_s, \\ t^{D_T}, & D_s \leq D_T \leq 1 \\ t, & D_T > 1 \end{cases} \quad (\text{III.11})$$

ავლიშნოთ, რომ ჩვეულებრივ $D - 1 < D_s < D$, როცა $\mathbf{D=1,2,3}$ განტოლებიდან გვექნება $W \propto t^\beta$, როცა $1 \leq \beta_t \leq D_s$, თუ $D_s \geq 1$ ან $D_s \leq \beta_t \leq 1$, თუ $D_s < 1$ სრულად ექნება სახე:

$$W \propto t^{\beta_t}, 0 \leq \beta_t \leq 3 \quad (\text{III.12})$$

III.4. ბზარის გავრცელების კოორდინატების სიგრძის და მიმართულების განსაზღვრის მეთოდი და მოწყობილობა

ჩვენს მიერ დამუშავებულია კონსტრუქციებში ბზარის წარმოქმნისას დაზიანებული ადგილის პოვნის მეთოდი და მოწყობილობა ამ მეთოდის განხორციელებისათვის.

შემოთავაზებული მეთოდის მიზანია ბზარის აღმოჩენა და მისი განვითარების მიმართულების დადგენა ობიექტის ზედაპირზე.

დასახული მიზანი შემდეგნაირად მიიღწევა. საკვლევ ობიექტში ან მის ზედაპირზე ათავსებენ წინასწარ განსაზღვრული სიგრძის შუქსატარს, მაგალითად, „ლაბირინთული სპირალის“-ს ფორმით და ამ პარამეტრებს აფიქსირებენ მეხსიერების მოწყობილობაში. შემდეგ რიგრიგობით ორივე ბოლოდან შუქსატარში უწყვეტად შეჰვავთ ლაზერული გამოსხივების პიკოწამური იმპულსები. იმპულსების უკან გაბნევის მრუდებს (რეფლექტოგრამები) არეგისტრირებენ და იხსომებენ. რეფლექტოგრამის მეშვეობით განსაზღვრავენ შუქსატარის გაწყვეტის წერტილამდე მანძილს, ხოლო ობიექტში ამ წერტილის კოორდინატებს აღნიშნული მანძილის შუქსატარის მრუდწირულ ფორმაზე გადატანით ადგენენ. ბზარის განვითარების მიმართულება კი შუქსატარის გაწყვეტის წერტილების მიმდევრობითი შეერთებით დგინდება.

მოცემული ტექნიკური გადაწყვეტა საშუალებას იძლევა, დავადგინოთ: 1) შუქსატარის წყვეტის წერტილამდე მანძილი; 2) ობიექტში ჩადგმული შუქსატარის წყვეტის წერტილების კოორდინატები; 3) ბზარის განვითარების მიმართულება და სიდიდე.

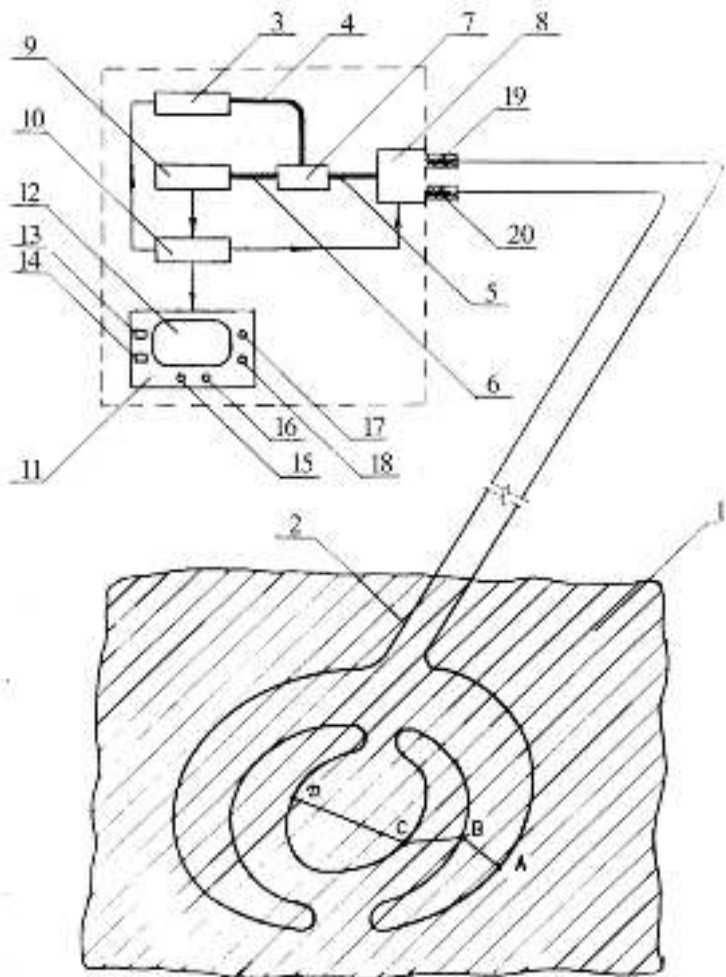
ნახ. III.11-ზე მოცემულია გაბმითი ბოჭკოვან-ოპტიკური გადამწოდის ოპტიკური სქემა. საკითხის უკეთ წარმოდგენისათვის განვიხილოთ მოწყობილობის სქემა და მუშაობის პრინციპი. მოცემული მოწყობილობა შეიცავს: საკვლევ ობიექტს 1, რომლის განშიც ან ზედაპირზე თავსდება შუქსატარი 2 „ლაბირინთული სპირალის“ სახით, ზედაპირზე დამაგრებისას შუქსატარს ფარავენ მყიფე საფარველით, იმპულსურ ლაზერს 3, შუქსატარებს 4, 5, განმშტოებელს 7, ოპტიკურ გადამრთველს 8, ფოტომიმღებს 9, პროცესორს 10, ინფორმაციის ასახვის ბლოკს 11. იმპულსური ლაზერი 3, 5 და 6 შუქსატარებით ოპტიკურად დაკავშირებულია ოპტიკურ გადამრთველს 8 და ფოტომიმღებთან 9, რომელიც, თავის მხრივ, ელექტრულ კავშირშია პროცესორთან 10. უკანასკნელი ელექტრულად უკავშირდება იმპულსურ ლაზერს 3, ოპტიკურ გადამრთველს 8, ინფორ-მაციის ასახვის ბლოკს 11 და მართავს მათ მუშაობას. ინფორმაციის ასახვის ბლოკი 11 შეიცავს ეკრანს 12 რეფლექტორგრამების და საგვლევი ობიექტის 1, საკოორდინატო ბაზეზე შუქსატარის 2 ფორმის ასახვისათვის, მოწყობილობაშია აგრეთვე ორი რიცხვითი ინდიკატორი, 13 ემსახურება მთლიანი შუქსატარის სიგრძის, ხოლო 14 – შუქსატარის სიგრძის შემოკლების ასახვას და ოთხი შუქდიოდი, რომელთაგან 15 დანიშნულია ბზარის არსებობის სიგნალიზაციისათვის, 16 – მისი კრიტიკული სიგრძისათვის, 17 – შუქსატარის ზონდირებისათვის ერთი ბოლოდან, 18 – შუქსატარის ზონდირებისათვის მეორე ბოლოდან. შუქსატარის 2 ოპტიკურ გადამრთველთან 8 შეერთებას ემსახურება 19 და 20 ოპტიკური გასართი მისაერთებლები.

წარმატებით მუშავდება სპეციალური დანიშნულების ოპტიკური ბოჭკოები, მაგალითად, თხევადი გულარით, ორმაგი გულარით და ა.შ.

ბოჭკოვან-ოპტიკურ გადამწოდების ერთ-ერთი თავისებურებაა ნახევრადგამტარული ლაზერების ხელსაყრელი გამოყენება.

ამპლიტუდურ გადამწოდებს ოპტიკურ ბოჭკოზე აქვს დიდი პერსპექტივები და უკანასკნელ პერიოდში მიმდინარეობს აქტიური გამოკვლევები.

თუ გამოვიყენებოთ ტრადიციულ გამზომ ტექნიკას, მაგალითად ელექტროტენომეტრებს, ულტრაბგერითი დეფექტოსკოპებს, დავრწმუნ-დებით რომ ელექტროტენომეტრები განიცდიან კოროზიას და დიდ მანძილზე გაზომილი პარამეტრების გადაცემა შეუძლებელი ხდება, ტენზომეტრიდან მიღებული ინფორმაცია არ არის დაბრკოლება მედგან ტრაქტი. ყოველივე ეს და ის გარემოება, რომ ის იძლევა წერტილოვან არეზე დეფორმაციის მნიშვნელობას. ხოლო ჩვენ შემთხვევაში ამოცანის გადაწყვეტა მოითხოვს რამდენიმე ასეულ ასეთი გადამწოდის დამაგრებას ხიდებში შეუძლებელს ხდის გაზომვის ჩატარებას.



ნახ. III.11 ბეტონის კონსტრუქციაში ბზარის აღმოჩენის, მდებარეობის
და მიმართულების დასადგენი ბოჭკოვან-ოპტიკური სისტემა

ყოველივე ზემოთ აღნიშნული მიგვითითებს იმაზე, რომ ელექტროტენზომეტ-
რებით მოწყობილი ქსელი შეიცავს მთელ რიგ უარყოფით ფაქტორებს და
დიაგნოსტიკურ ცენტრში ამ ტექნიკური საშუალებებით ინფორმაციის გადაცემა და
მონიტორზე ასახვა თითქმის შეუძლებელი ხდება.

ისმის კითხვა, არსებობს თუ არა სხვა უფრო პროგრესული ტექნიკური
საშუალებები, რათა მივაღწიოთ შედეგს. ასეთი ტექნიკა უკვე შექმნილია და ჩვენს მიერ
დაწვრილებით იყო აღწერილი წინა პარაგრაფებში.

როგორც აღნიშნეთ, დამუშავებულია გაბმითი ბოჭკოვან-ოპტიკური
გადამწოდები, რომელიც საშუალებას იძლევა ოპტიკური ძაფი (მონო ბოჭკო)
დაგამაგროთ გამოსაცდელ კონსტრუქციაზე და დაძაბულ-დეფორმირებულ
მდგომარეობიდან დამოკიდებულებით დავაფიქსიროთ ოპტიკური ძაფის გაწყვეტის
წერტილები. ოპტიკური ძაფი მაგრდება დაბირინთული ფორმით სიბტყეზე ან სივრცეში.

IV. გამოკვლევის შედეგების პრაქტიკული გამოყენების მაგალითები

IV.1. ქ. თბილისში ყიფშიძის ქ. №20ა-ში მდებარე საცხოვრებელი შეიძლება მართულიანი შენობა

IV.1.1. შესავალი

ფუძე-გრუნტების არათანაბარი დეფორმაციის პირობებში ექსპლუატაციაში მყოფი ნაგებობის დიაგნოსტიკის და მონიტორინგის კომპლექსური მეთოდიკის, რომელიც დამუშავებულია დისერტაციაში, ექსპერიმეტალური აპრობაცია ხორციელდება ქ. თბილისში, ყიფშიძის ქ. №20ა მისამართზე მდებარე 7 სართულიანი საცხოვრებელი შენობის მზიდი კონსტრუქციების ტექნიკური მდგომარეობის მონიტორინგის მსგავსობისას [28,6,7].

შენობა განლაგებულია რთული საინჟინრო-გეოლოგიური პირობების ზონაში, რაც განაპირობებს ფუძე-გრუნტის მნიშვნელოვანი დეფორმაციების შესაძლებლობას. შენობის ნაწილის ქვეშ ნაყარმა გრუნტმა განსაზღვრა მისი არასტანდარტული მოცულობით-გეგმარებითი და კონსტრუქციული გადაწყვეტა. მშენებლობა დასრულდა 2001 წელი.

შენობის მონიტორინგი ხორციელდება პერიოდული რეჟიმით, დადგენილი გრაფიკის მიხედვით, რომელის შესაბამისად სამუშაოების დასაწყისი თარიღდება 2007 წლით, ძირითადი ეტაპები ხორციელდებოდა 3 თვეში ერთხელ, ხოლო შეალედური კი თვეში ერთხელ.

IV.1.2. შენობის კონსტრუქციების ტექნიკური მდგომარეობის მონიტორინგის სამუშაოების შემადგენლობა

მონიტორინგის მოსამზადებელი ეტაპები

1. საპროექტო, შესასრულებელი და საექსპლუატაციო დოკუმენტაციის ანალიზი;
2. შენობის სამშენებლო კონსტრუქციების ამზომ-გამოსაკვლევი სამუშაოები
 - კონსტრუქციების ფაქტიური მდგომარეობის გამოვლენა და საკონტროლო აზომვა
 - 3. შენობის სამშენებლო კონსტრუქციების საინჟინრო-კონსტრუქციული სამუშაოები
 - დეფაქტების განლაგების ძიება, ფოტოფიქსაცია, უწყისების და სქემების შედგენა.
 - კონსტრუქციული მასალების სიმტკიცის არამრდველი გამოცდები.

- შენობის სემ-მოდელის ფორმირება. საანგარიშო (საექსპლუატაციო) დატვირთვების და საძირკვლების შესაძლო დეფორმაციის განმეორებითი ანგარიში მათი ზღვრული დასაშვები მნიშვნელობების განსაზღვრისათვის.

მონიტორინგის ძირითადი ეტაპები

1. შუქურების საშუალებით კონსტრუქციების დაზიანების მონიტორინგი
- დაკვირვებათა ციკლი თვეში ერთხელ
2. შენობის სივრცითი დეფორმაციის გეოდეზიური მონიტორინგი
- დაკვირვებების ძირითადი ციკლი 3 თვეში ერთხელ
- დაკვირვებების შუალედური ციკლი თვეში ერთხელ
3. შედეგების კამერალური დამუშავება
4. მზიდი კონსტრუქციების დაძაბულ-დეფორმირებული მდგომარეობის ცვლილების ანალიზი სასრულ ელემენტთა მეოთვით.

IV.1.3. შენობის კონსტრუქციის ტექნიკური მდგომარეობის გამოკვლევა

IV.1.3.1. შენობის ძირითადი არქიტექტურული და კონსტრუქციული განსაკუთრებულობები

7 სართულიანი საცხოვრებელი შენობა წარმოადგენს კარკასული ტიპის საცხოვრებელ სახლს, რომლის პროექტი დამუშავებულია 2000 წელს შპს „პირამიდა-98“-ის მიერ (სურ. IV.1.), შენობის გეომეტრიული ფორმა გეგმაში რთული მოხაზულობისაა. გეომეტრიული ზომები გეგმაში 18.00×24.80 მ, სიმაღლე 23.50 მ. სართულების რაოდენობა: 6 სართული მანსარდით, შენობას აქვს სარდაფი. შენობა განლაგებულია მდინარე ვერეს ხრამის თავზე. შენობის ძირითადი არქიტექტურული და კონსტრუქციული განსაკუთრებულობები ვლინდება საპროექტო დოკუმენტაციის შესწავლის მსვლელობისას (არქიტექტურული გეგმები, ფასადები, ჭრილები, კონსტრუქციული ნახატები, ელემენტების სპეციფიკაცია და ა.შ.) რომელიც წარმოადგინა საექსპლუატაციო ორგანიზაციამ, აგრეთვე დაემატა ტექნიკური მდგომარეობის გამოკვლევის მონაცემები, რომელიც მიღებული იქნა მონიტორინგის მოსამზადებელ ეტაპზე.



სურ. IV.1. შენობის ფასადი

შენობის ასაკი: შენობა აგებულია 2001 წელს.

სართულიანობა: 6 სართული, მანსარდით.

შენობის სიმაღლე: 23.50 მ.

მზიდი კონსტრუქციები კოლონები და რიგელები მონოლითური რკინაბეტონისაა, კარკასი შევსილია პეტობეტონის საკედლე ბლოკებით, სარდაფის კედლები შევსილია რკინაბეტონის ცოკოლის ბლოკებით.

სართულშუა გადახურვები შესრულებულია 6 მ-იანი მალის ანაკრები რკინაბეტონის ფილებით.

კიბეები ორმარშიანია, რომელიც მოწყობილია ლითონის კოსოურებზე მოზაიკის საფეხურებით.

სახურავი ორქანობიანია ნივნივებზე მოთუთიებული ბურულით.

შენობას ორ მხარეს აქვს ერკერები, რომლებიც დაყრდნობილია დოინჯებზე, რაც სეისმურ ზონაში არ არის დასაშვები.

შენობას ყველა სართულზე სართულშუა გადახურვის ფილის ქვეშ აქვს სეისმური სარტყელი.

შენობის ბინებში გადაკეთებულია შიგა ტიხები.

შენობას ჩაუტარდა მიმდინარე რემონტი რამდენჯერმე.

IV.1.3.2. მზიდი კონსტრუქციების ტექნიკური მდგომარეობის ვიზუალური და ინსტრუმენტალური გამოკვლევის შედეგები

მონიტორინგის ობიექტის წინასწარმა დათვალიერებამ, მზიდი კონსტრუქციების ნატურულმა გამოკვლევამ, ასაზომმა სამუშაოებმა, ფაქტიური სიმტკიცის ინსტრუმენტალურმა განსაზღვრამ და კონსტრუქციული მასალების ფიზიკური თვისებების არამრდველი მეთოდებით განსაზღვრამ არ გამოავლინა მნიშვნელოვანი გადახრები საპროექტო გადაწყვეტებისგან.

ვიზუალური და ინსტრუმენტალური დათვალიერებით შეიმჩნევა შემდეგი დაზიანებები და ბზარები:

მიმდინარეობს საძირკვლის ჯდომა, რომლის სიდიდე ნორმას აღემატება. აგრეთვე შეიმჩნევა ფუძე-გრუნტის ჯდომა და გადაადგილება აცურების ზედაპირზე (სურ. IV.2, IV.3).



სურ. IV.2. შენობის პორიზონტალური გადაადგილება



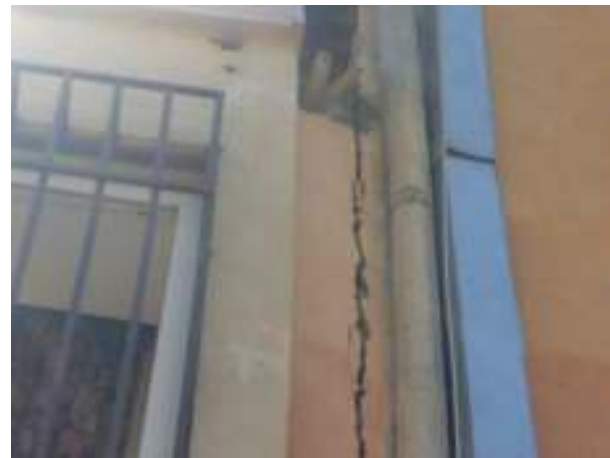
სურ. IV.3. ფუძე-გრუნტის ჯდომის შედეგად გაჩენილი ბზარი

შენობის კედლები დახრილია ჩრდილოეთის მხარეს $5.7 \div 15$ სმ-ის ფარგლებში.

შეიმჩნევა ბზარები კედლებზე, ზღუდარებში და გარე კედლებზე. ბზარების სიდიდე, დახრის კუთხე და ხასიათი მიუთითებს შენობის გრუნტის არა მდგრადობაზე და არათანაბარ ჯდომაზე (სურ. IV.4, IV.5).



სურ. IV.4. შენობის კედელზე
განვითარებული ბზარი



სურ. IV.5. შენობის ძირითად ნაწილსა და
მიშენებას შორის
განვითარებული ბზარი

საძირკვლები პროექტის მიხედვით უნდა შესრულებულიყო მონოლითური რკინაბეტონის წიბოვანი ფილა რკინაბეტონის ნაბურღ-ნატენ ხიმინჯებზე. ადგილზე შესწავლით დგინდება, რომ გაკეთებულია წერტილოვანი რკინაბეტონის საძირკვლები ნაბურღ-ნატენ ხიმინჯებზე (24 ცალი), რომლის თავები ე.წ. „ჭიქები“ დაკავშირებულია ერთმანეთთან რანდკოჭებით. ამის შემდეგ 2003 წელს შენობის ფუძის გამაგრების მიზნით (პროექტი შეადგინა შპს „მონექს“-მა) დამატებით გაკეთდა ნაბურღ-ნატენი ხიმინჯები სულ 16, მათი დიამეტრი 30 სმ-ს შეადგენდა, ჩაღრმავება 25-30 მ (მობინადრეების განმარტებით). ხიმინჯების მოწყობა შესრულდა შემდეგი ტექნიკურით: გაყავდათ ჭაბურღილი, რომელშიც იდგმებოდა ლითონის არმატურა და შემდეგ ჭაბურღილში ხდებოდა წყალცემუნების ჩაჭირხვა. ხიმინჯები განლაგებულია ე.წ. ხურჯინის წესით, რათა მათ მიეღოთ შენობის დატვირთვა. როგორც პროფესორი გ. ჭოხონელიძე თავის ანგარიშში ამბობს ხიმინჯები არ დადის ძირითად ქანებამდე და მაშასადამე ისინი მუშაობენ, როგორც კიდული ხიმინჯები.

როგორც შენობის ახლანდელი მდგომარეობა გვიჩვენებს ამ ღონისძიებებმა არ გააძლიერდა, რადგან შენობის მდგომარეობა არ გამოსწორებულა, ჯდომა ისევ გრძელდება, დაზიანდა კედლები. აგრეთვე უნდა მოგახსენოთ რომ, სვეტები გარსაცმში ჩასვეს მდგრადობის გაზრდის მიზნით, რამაც უფრო დამძიმა კონსტრუქცია. ეს ღონისძიება ზედმეტად მოგვეჩვენა, რადგან სვეტებს ბზარები არ შეენიშნებოდათ.

აგრეთვე შენობის ჩრდილოეთ მხარეს მოხდა დიდი რაოდენობის მიწის შეტანა და მოზვინვა ტერასების სახით. რამაც გაზარდა მოსრიალე მასა და უფრო გააქტიურა მეწყერი.

წინასწარი გეოლოგიური კვლევით დგინდება:

ობიექტი ტექტონიკური თვალსაზრისით განთავსებულია მამა დავითის ანტიკლინალის ჩრდილოეთ ფრთაზე, გეომორფოლოგიურად მოვაკებულ, მდ. ვერეს ხეობის სამხრეთის მეწყრულ ფერდობზე.

გეოლოგიურ აგებულებაში მონაწილეობას იღებს ზედა ეოცენის ნალექები, რომლებიც წარმოდგენილია ქვიშაქვებისა და არგილიტების მორიგეობით, რომელიც გადაფარულია მეოთხეული ტბიური ნალექებით, იგი წარმოდგენილია მონაცრისფრო-ლურჯი თიხებით, მათი სიმძლავრე აღწევს 20-50 მ. ისინი თავის მხრივ გადაფარულია დელუვიური გენეზისის ყავისფერი თიხნარებით, სიმძლავრით 15-20 მ. ზემოდან გვხვდება ტექნოგენური ნალექები, რომლითაც შევსებულია რელიეფის უარყოფითი ფორმები, რომელიც ფართოდაა წარმოდგენილი განსახილველ უბანზე.

საინჟინრო-გეოლოგიური თვალსაზრისით უბანი წარმოადგენს უაღრესად არაკეთილსამყდო ტერიტორიას მშენებლობის საწარმოებლად და მათი შემდგომი ექსპლუატაციისათვის, 90-იან წლებამდე ამ ტერიტორიებზე აკრძალული იყო მშენებლობა უარყოფითი საინჟინრო-გეოლოგიური პირობების გამო. ამ პერიოდიდან იწყება ტერიტორიის ინტენსიური ათვისება, რამაც გამოიწვია შენობა-ნაგებობებით, ქვაბულებიდან ამოღებული გრუნტებით და სამშენებლო ნაგვით (რომლის დაყრაც მოხდა მეწყრულ ფერდობზე) სიტუაციის დამძიმება.

აღნიშნული სახლის გამაგრებისათვის შესასრულებელი პროექტისათვის, ჩასატარებელი საინჟინრო-გეოლოგიური კვლევის დროს გასათვალისწინებელია შემდეგი განსაკუთრებული პირობები: უბანი მდებარეობს მეწყრულ სხეულზე; ფუნდამენტების ფუძის გრუნტები, თავისი ფიზიკო-მექანიკური და დეფორმაციული თვისებებით მიეკუთვნება სუსტ გრუნტებს; ტერიტორია მდებარეობს სეისმურად აქტიურ 8 ბალიან ზონაში.

ზემოთ აღნიშნულიდან გამომდინარე, გამაგრების პროექტისათვის ჩასატარებელია საინჟინრო-გეოლოგიური კვლევების სრული კომპლექსი ს.ნ. და წ. 1.02.07-87-ის „შენობა-ნაგებობების ფუძეები“ და ს.ნ. და წ. 11-02-96-ის „საინჟინრო კვლევა-ძიება მშენებლობისათვის“ მიხედვით.

არსებული მდგომარეობის მიხედვით არ შეიძლება წავუყენოთ პრეტენზია მზიდ კონსტრუქციებს, რადგან საბოლოოდ არ არის გამოკვლეული გრუნტის მდგრადობა. აქმდე ჩატარებულმა ღონისძიებებმა შედეგი არ გამოიღო. აღნიშნული გრუნტის დეტალური შესწავლის შემდეგ შესაძლებელი გახდება დამატებითი სამუშაოების ჩატარება, როგორც შენობასთან მიმდებარე გრუნტის მდგრადობის ამაღლებისთვის, აგრეთვე საძირკვლების და მასზე მდგომი კონსტრუქციების გაძლიერებისათვის.

IV.14. შენობის სივრცითი დეფორმაციის გეოდეზიური მონიტორინგი

IV.14.1. სივრცითი მოდელის გარე საკონტროლო კვანძების გადაადგილების მონოტიონგი

გეოდეზიური მონიტორინგის სამუშაოების შემადგენლობაში შედის შენობის სახასიათო წერტილების მასივის მდგომარეობის გეგმურ-სიმაღლივი აზომვა დროში მათი გადაადგილების გაზომვისათვის. ეს სამუშაო სრულდებოდა 2.5 პუნქტში აღწერილი მეთოდიკის შესაბამისად.

სიზუსტის II კლასისათვის მოთხოვნების [29] თანახმად ვერტიკალური გადაადგილებების გაზომვების ცდომილება უნდა იყოს არა უმეტეს ± 2 მმ, ხოლო ჰორიზონტალური ± 5 მმ.

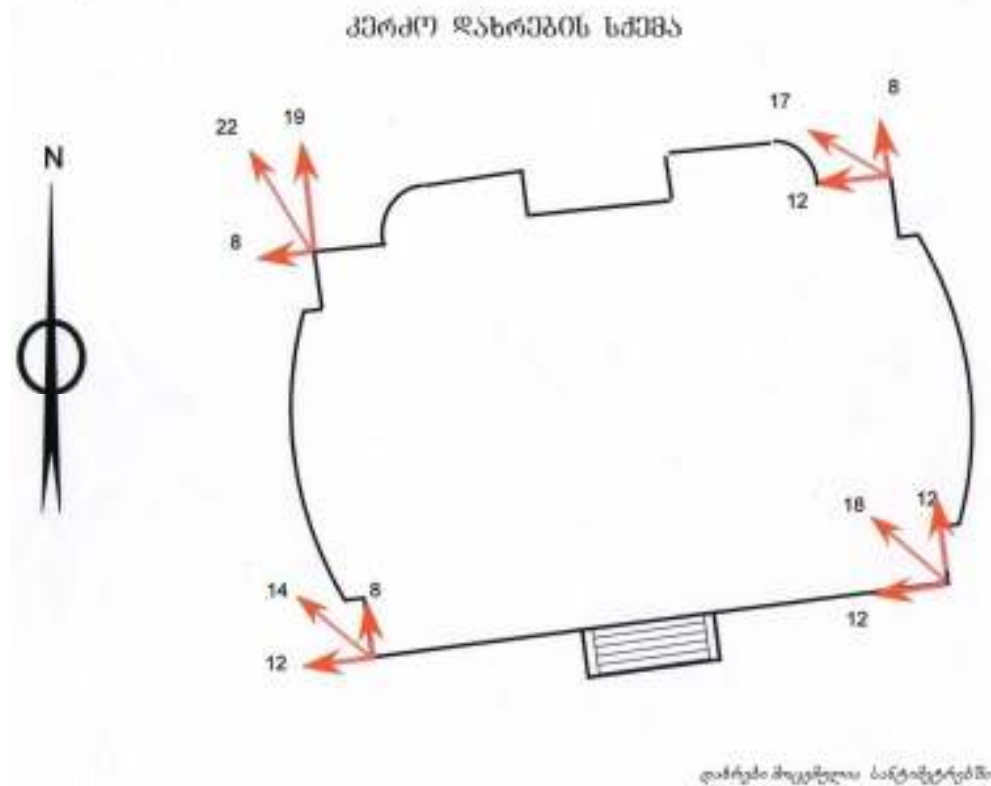
ქ. თბილისის ცენტრალური რაიონის ნაწილში შენობის ადგილმდებარეობასთან დაკავშირებით, რაც ხასიათდება მშენებლობის მაღალი სიმჭიდროვით, ობიექტზე ეფექტურად გამოიყენებოდა საკორდინაცო აზომვის ტექნოლოგია შეზღუდული დაშვების პირობებში სფერული დეფორმაციული მანიშნების გამოყენებით. მოცემული ტექნოლოგიის რეალიზაციამ გამოიწვია სივრცითი აზომვის სადგურების საერთო რაოდენობის შემცირება 1.5-ჯერ, ამასთან შენობის კონსტრულირებადი კვანძების რაოდენობა ზედა დონეში გაზრდილი იქნა 30%-ით ტრადიციულ ბრტყელი მანიშნების გამოყენებასთან შედარებით.

საკონტროლო კვანძების სივრცითი მდებარეობის განსაზღვრისათვის შენობის ფასადზე, მისი კონსტრუქციული და არქიტექტურული განსაკუთრებულობების შესაბამისად დაყენებული იქნა ფირმა SOKKIA-ს 12 ბრტყელი ამრეკლი მანიშნი 39 სფერული ამრეკლით.

ობიექტზე ორგანიზებული იქნა საყრდენი გეოდეზიური ქსელი 8 სადგურისაგან, რომლის კოორდინატები განისაზღვრებოდა კოორდინატების ადგილობრივ სისტემაში დეფორმაციული ზონის საზღვრებს გარეთ განთავსებულ წერტილზე დაყრდნობით. დანარჩენი საყრდენების კოორდინატები განისაზღვრებოდა ST1 სადგურიდან პოლიგონომეტრიული სვლის ჩაწყობის გზით. ნახ. IV.6-ზე წარმოდგენილია პოლიგონომეტრიული სვლა დახურული პოლიგონის სახით და ერთი კიდული წერტილით ST7, რომელიც მოწყობილია შენობის მე-2 სართულის ნაწილზე.

დეფორმაციის კონტროლის სივრცითი მოდელი იქმნებოდა შენობის დანიშნული სახასიათო წერტილების კოორდინატების განსაზღვრის გზით, რომლებიც განთავსებულია 14 ვერტიკალური საკეტის მიხედვით. ყოველ საკეტში ჩანიშნული იყო წერტილები 2-4 სტანდარტულ დონეზე, რომლებიც ემთხვევა მე-2, მე-3 და მე-5

სართულების გადახურვის დონეს (სურ. IV.6). სივრცითი მოდელის აგების სქემას სადგურიდან წარმოდგენილია აქსონომეტრიული სახით ნახ. 8-ზე.



ნახ. IV.6. საყრდენი გეოდეზიური ქსელის სქემა

კოორდინატების გაზომვა სრულდებოდა ფირმა SOKKIA-ს SET4110 მარკის ელექტრონული ტახეომეტრით. $D=100$ მ დისატნციაზე SET4110 ტახეომეტრით გაზომილი კოორდინატების მაქსიმალური აბსოლუტური ცდომილება შეადგენს ± 3.3 მმ-ს, ფარდობითი ცდომილება $1/30$ 000 გაზომილი დისტანციიდან. მონიტორინგის 1-9 ეტაპში (2006 წ-ს ივნისიდან 2008 წ-ს ივლისამდე) კოორდინატების გაზომვის ფარდობითმა ცდომილებამ $\left(\frac{f_p}{\Sigma L}\right)$ შეადგინა დახურული პოლიგონის მიხედვით $1/(20 \cdot 400 \div 40 \cdot 000)$. საშუალო სამუშაო დისტანციის დროს $D=50$ მ, მეზობელი სადგურის მდებარეობის ურთიერთგანსაზღვრის ფაქტიურმა ცდომილებამ შეადგინა ± 2.5 მმ დახურული პოლიგონისათვის, რაც მოწმობს სამუშაოების ჩატარების სიზუსტის შესაბამისობას საყრდენი ქსელის ნორმატიული მაჩვენებლების წერტილების კოორდინატების გაზომვასთან [29]. მარკების მდებარეობის გაზომვის დამატებითმა ცდომილებამ შეადგინა საშუალო სამუშაო დისტანციიდან არა უმეტეს $1/20000$, ანუ ± 2.5 მმ. ამგარად, დეფორმაციული მარკების მდგომარეობის განსაზღვრის ჯამური სკო არ აჭარბებს ± 3.5 მმ-ს. $m_{\Delta x}$, $m_{\Delta y}$ კოორდინატების მიხედვით გადაადგილებების გაზომვის ცდომილება განისაზღვრა 3.22-ის თანახმად 4.9 მმ-ის დიაპაზონში, ხოლო ვერტიკალური

გადადგილების გაზომვის ცდომილება დაფიქსირდა ± 2 მმ დიაპაზონში, რაც შეესაბამება სახ. სტანდ. 24846-81-ის მოთხოვნებს [29].

მონიტორინგის ყველა ეტაპზე შენობის დანიშნული წერტილების ვეტიკალური და ჰორიზონტალური გადადგილების სიდიდეები გამოითვლებოდა როგორც გაზომვების საწყისი, მომდევნო და საბოლოო ეტაპების კოორდინატებს შორის სხვაობა 2.5 პუნქტის შესაბამისად.

IV.14.2. სივრცითი მოდელის შიგა კონტროლირებადი კვანძების ჯდომის მონიტორინგი

ამ სახის სამუშაოების შესრულების ძირითად მიზანს წარმოადგენს საძირკვლების შესაძლო დეფორმაციის შესახებ დამატებითი ინფორმაციის მიღება შენობის ფასადზე და მზიდ კონსტრუქციებზე წერტილის მაღლივი მდებარეობის განსაზღვრის გზით მათი ვერტიკალური გადადგილების სიდიდეების გაზომვისათვის. ყოველ ციკლში სრულდებოდა 81 ჯდომითი მანიშნის ნიველირება, მათ შორის 33 განლაგებულია შენობის ფასადზე.

გარე მზიდ კონსტრუქციებზე წერტილების მაღლივი მდებარეობა ფიქსირდებოდა ჯდომითი მანიშნების ნიშნულების განსაზღვრის გზით, რომლებიც დაყენებულია შენობის I სართულის დონეზე შიგა ფასადის მხრიდან, რომელიც ესაზღვრება ახალი მშენებლობის მოედანს.

შენობის შიგნით მზიდ კონსტრუქციებზე წერტილების მაღლივი მდებარეობა ფიქსირდებოდა ჯდომითი მანიშნების ნიშნულების განსაზღვრის გზით, რომლებიც დაყენებულია მე-3 სართულის რიგელების ქვედა სიბრტყეში.

ჯდენითი მანიშნების ნიშნულები განისაზღვრებოდა გეომეტრიული ნიველირების მეთოდით გაზომვების სიზუსტის [29] II კლასის მოთხოვნების შესაბამისად გარე დეფორმაციული მარკების ერთიანი სიმაღლის სისტემაში.

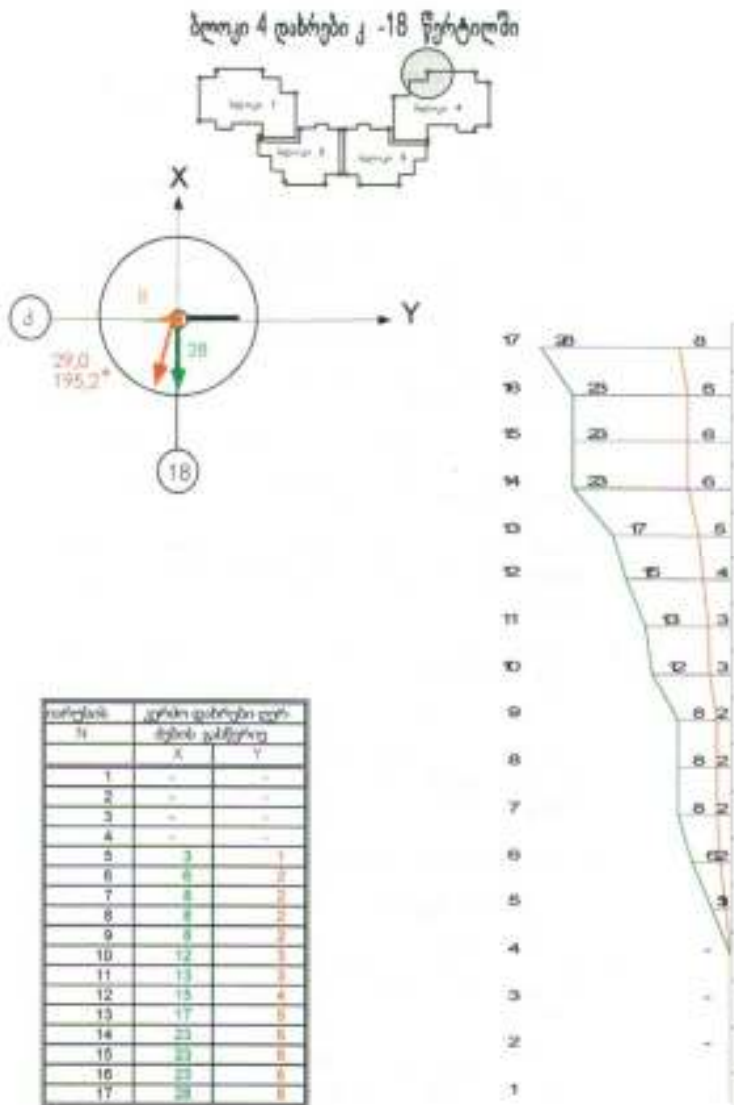
3 სადგურის სიგრძის დახურული სვლები სრულდებოდა პირდაპირი და უკუ მიმართულებით ინსტრუმენტის ორ ჰორიზონტში. ჯდენითი მანიშნების განლაგების სქემები მოყვანილია დანართში II.

ნიველირების სიზუსტის შეფასება ხორცილებული დახურულ და ორმაგ სვლებში აცდენების მიხედვით. ყოველი სვლისათვის გამოითვლებოდა დასაშვები აცდენა $f_n = \pm\sqrt{n}$ [29]. ნიველირების სიზუსტის შეფასებიდან გამომდინარეობს, რომ ნიველირების საშუალო კვადრატული ცდომილება სადგრუზე არ აჭარბებდა 0.5 მმ-ს, რაც შეესაბამება ნიველირების II კლასის სიზუსტის ნორმატივებს.

IV.14.3. გეოდეზიური მონიტორინგის შედეგების ანალიზი

შენობის კონტროლირებადი კვანძების სივრცითი გადაადგილების 2006-2008 წ-ის პერიოდის გეოდეზიური მონიტორინგის შედეგებით დადგენილია, რომ საფუძვლის დეფორმაციის გავლენის მიხედვით მათი ფორმირება და განვითარება დაკავშირებულია ციკლური სეზონური ტემპერატურული ცვლილებებით.

ნახ. IV.7-ზე წარმოდგენილია მე-12 საკეტიდან კვანძების პორიზონტალური გადაადგილები მონიტორინგის 1-9 ეტაპზე 10^0 -ზე მაღლა დადგებითი ტემპერატურების დროს გაზომვები მიმდინარეობდა 1.5 და 9 ეტაპებზე – საზაფხულო ციკლი; 2 და 6 ეტაპებზე – საშემოდგომო ციკლები; 4-8 ეტაპებზე – საგაზაფხულო ციკლი. ზამთრის გაზომვები მონიტორინგის მე-3, მე-7 ეტაპზე მიმდინარეობდა უარყოფითი ტემპერატურების პირობებში, ამასთან ფიქსირდებოდა ზაფხულის მნიშვნელობებზე დიდი გადაადგილები.



ნახ. IV.7. მე-18 წერტილში პორიზონტალური გადაადგილების მნიშვნელობები

სივრცითი მოდელის გარე კონსტროლირებადი კვანძების გადაადგილების მაქსიმალური მნიშვნელობა გეოდეზიური აზომვის კოორდინატების ადგილობრივ სისტემაში დაფიქსირებული იქნა მონიტორინგის 2-9 ეტაპზე გაზომვების I (საწყისი) ციკლის მიხედვით.

სივრცითი მოდელის გარე კონტროლირებადი კვანძების გადაადგილებების სრული სტატისტიკური დამუშავება, რომლებიც ტრანსფორმირებულია სემ-მოდელის კოორდინატების გლობალურ სისტემაში, შენობის ყოველი ფასადის ნაპირა საკეტებისათვის წარმოდგენილია დანართში.

IV.1.5. შენობის კონსტრუქციების დაბაბულ-დეფორმირებული მდგომარეობის შეფასება

IV.1.5.1. საწყისი მონაცემები სემ-ანგარიშისათვის

საპროექტო დოკუმენტაციის და ობიექტის კონსტრუქციების გამოკვლევის შედეგების შესწავლის მსვლელობის დროს გამოვლენილი იქნა შენობის ძირითადი კონსტრუქციული განსაკუთრებულობები, რომლებიც აუცილებელია სემ-მოდელის ბაზის აგებისათვის.

კონსტრუქციული გადაწყვეტა

- კარჯასის მდგრადობა და უცვლელობა უზრუნველყოფილია ვერტიკალური კავშირის სისტემებით, აგრეთვე გადახურვის და სახურავის დისკების სიხისტით, რომელიც საიმედოდ არიან მიერთებული კარჯასის კოჭებთან ძვრამდგრადი წკირით (შტიფტით) მათი ერთობლივი მუშაობის უზრუნველყოფისათვის.
- კოჭების ერთმანეთთან შეერთება და მათი კოლონებთან დამაგრება, როგორც წესი, სახსროვანია, კვანძების გამოკლებით, რომლებიც უზრუნველყოფენ კონსტრუქციის ზოგიერთი ფრაგმენტის მდგრადობას.
- საძირკველზე კოლონების დაყრდნობა – სახსროვანი;
- როტონდის კოლონები მიმაგრებულია გადახურვის დისკებთან, რაც უზრუნველყოფს მათ უცვლელობას.

ცალკეული ელემენტების კონსტრუქციული გადაწყვეტა

- მეორე და მესამე სრთულების გადახურვის დიდმაღიანი კოჭები განკუთვნილია მეტროპოლიტენის გვირაბის გადახურვის მოწყობისათვის და ირებენ ყველა დატვირთვას 8 სართულის გადხურვისა და სახურავისაგან. კოჭების ნაწილი განთავსებულია კედლების სიბრტყეში, სხვები – უშუალოდ გადახურვის ფილების შემადგენლობაში. კოჭების მაღები შეადგენენ $18 \div 31.5$ მ. სამი კოჭი 27 მ მალით დაპროექტებულია კოლოფისებრი, რაც საშუალბას იძლევა ტავზე აიღოს

მნიშვნელოვანი მგრეხი მომენტები, უზრუნველყოს ფართე სარტყლებში ნორმალური ძაბვების უფრო თანაბარზომიერი გადანაწილება.

– დიდმალიანი კოჭი (31.5 მ) შესრულებულია უირიბნო ფერმის სახით 7 სართულის სიმაღლით.

– გადახურვის ძირითადი და მეორე სარისხოვანი კოჭები შესრულებულია ორტესებრებით შედურებით. მათი ანგარიშისას გათვალისწინებულია ერთობლივი მუშაობა გადახურვის მონოლითურ ფილასთან.

– კარგასის მზიდი კოლონები შესრულებულია უპირატესად ორტესებრი კვეთით. კოლონების ნაწილი, რომლებიც ირებენ მნიშვნელოვან ვერტიკალურ დატვირთვებს, შესრულებულია შედურებული კოლოფების სახით. კოლონები, რომლებსაც გეგმაში აქვთ მიმხრობილი კოჭები შესრულებულია მრგვალი მილებისაგან.

– მზიდი კონსტრუქციების ფილადის მარკა $C245$ ($R_{yn}=245$ მპა, $R_{un}=370$ მპა), $C345$ ($R_{yn}=265 \div 345$ მპა, $R_{un}=430 \div 490$ მპა).

IV.1.5.2. შენობის სემ-მოდელის აგება **ЛИРА 9.6-ში**

ყიფშიძის ქ. №20ა-ში მდებარე საცხოვრებელი შენობის სემ-მოდელის შექმნისათვის გამოიყენებოდა პროგრამული კომპლექსი **ЛИРА 9.6**.

შენობის სემ-მოდელი ფორმირებულია ნაშრომის მე-3 თავში წარმოდგენილი პრინციპების შესაბამისად. ლითონკონსტრუქციის ელემენტები (კოლონები, კოჭები, ზემოქმედები, კავშირები) წარმოდგენილია სიგრცითი სწორხაზოვანი დეროვანი სასრული ელემენტები, რომლებიც მუშაობენ გაჭიმვა-კუმშვაზე, ლუნგაზე, გრეხაზე და ძვრაზე. მეორე, მესამე სართულის გადახურვის დიდმალიანი კოჭები მოდელირებულია კოჭი-კედელი ტიპის სასრული ელემენტების სახით.

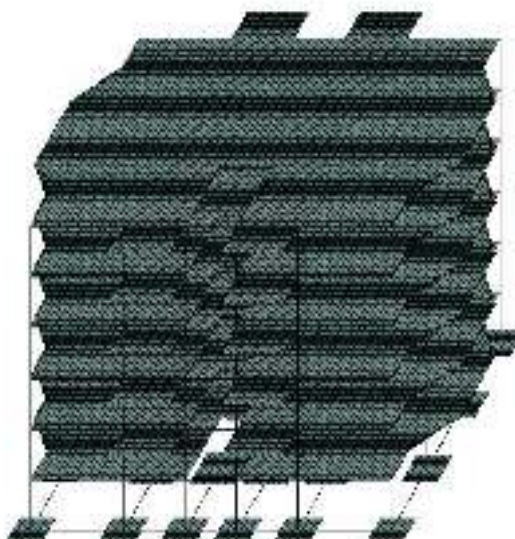
სემ-მოდელის სამუშაო ვერსია შეიცავს 42076 კვანძის და 46138 ელემენტს, რკინაბეტონის გადახურვის (ფილის სასრული ელემენტი) მთლიანი დისკების შემადგენლობაში შემავალი ელემენტების და კვანძების ცათვლით (ნახ. IV.8 \div IV.10).

მოცემული მოდელი საშუალებას იძლევა ჩატარდეს ნებისმიერი ანგარიში დატვირთვების ძირითადი სახეობების მოქმედებაზე: საკუთარი წონა, თოვლის დატვირთვა, დროებითი დატვირთვა ს.ნ. და წ 20.07-85, “დატვირთვები და ზემოქმედებები” შესაბამისად [30], აგრეთვე დინამიკურ და დეფორმაციულ ზემოქმედებებზე.

სემ-მოდელის შესახებ ინფორმაცია	
1. გადახურვის ფილტები და საძირკვლები – გამოყენებულია გარსის ელემენტები „უნივერსალური ოთხეგანმიანი ელემენტი“ სე-44	
2. სვეტები და რიგელები – გამოყენებულია სივრცითი კოჭის სასრული ელემენტების სე-10	
ელემენტების რაოდენობა	46 138
კვანძები რაოდენობა	42 076

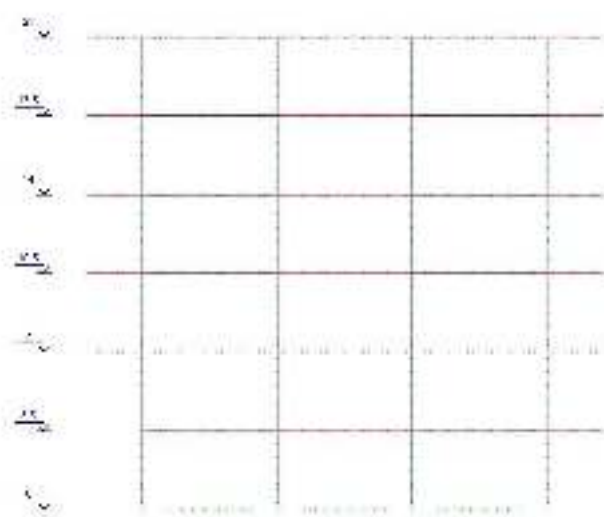
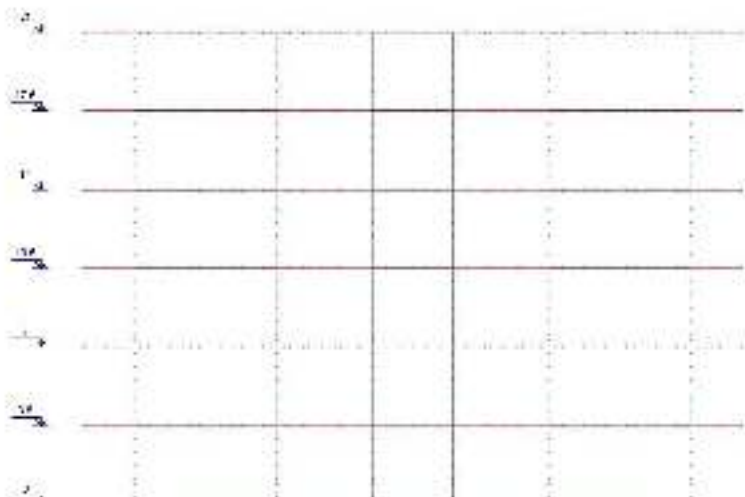
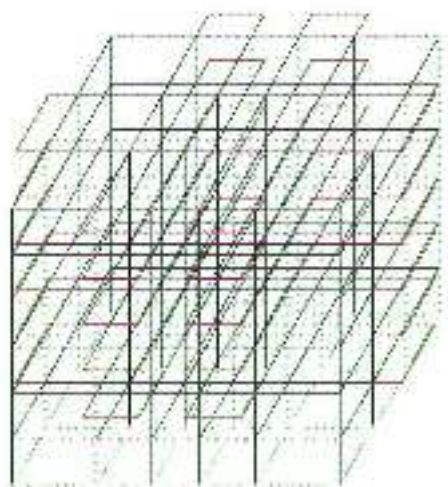
ნახ. IV.8. შენობის სემ-მოდელის შესახებ ინფორმაცია

შენობა



შენობა

ნახ. IV.9. შენობის სემ-მოდელის აქსონომეტრიული სახე



ნახ. IV.10. შენობის სემ მოდელის პროექციონებული სახე

IV.1.5.3. შენობის საბაზისო სემ-მოდელის ანგარიშის შედეგების ანალიზი

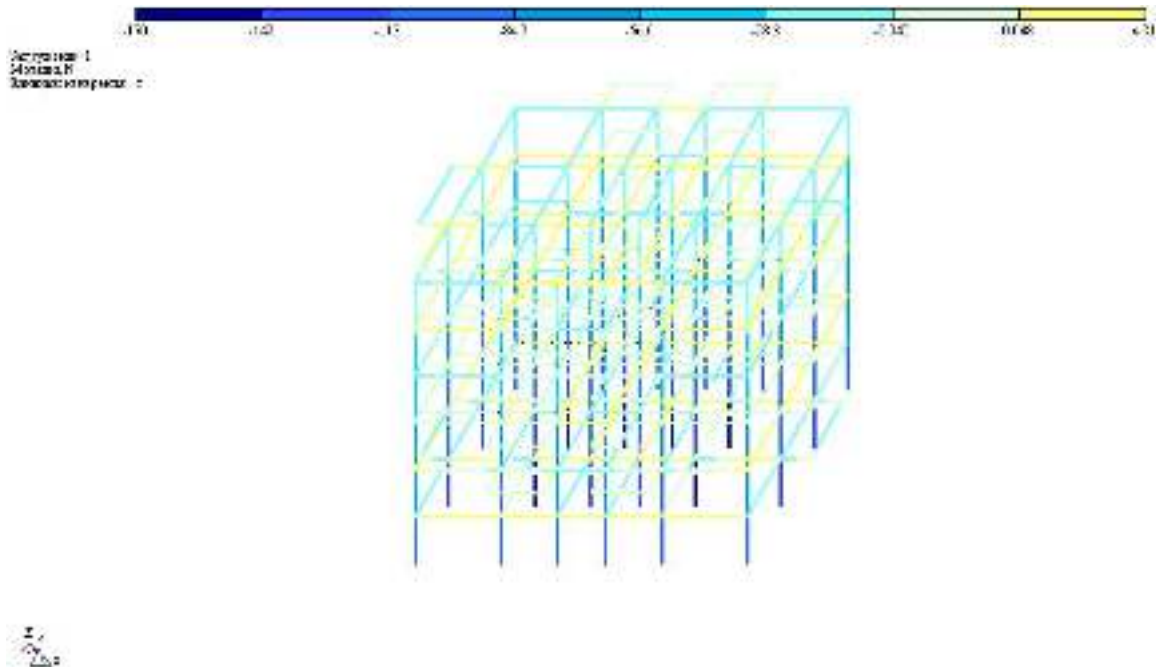
მონიტორინგის შედეგების მიხედვით კონსტრუქციების დაძაბულ-დეფორმირებული მდგომარეობის შეფასების მსვლელობისას განიხილებოდა შენობის დატვირთვა საანგარიშო დატვირთვებით (მუდმივი და დროებითი), აგრეთვე მიყენებული გადაადგილებით, (იხ. I, II და III თავები).

1. ნაგებობის მიმდინარე საექსპლუატაციო (მოცემულ შემთხვევაში ბაზისური) სემ-მოდელი, რომელიც ფორმირებულია საპროექტო დოკუმენტაციის მიხედვით და გაანგარიშება მხოლოდ საანგარიშო დატვირთვების მოქმედებაზე;
2. ნაგებობის მიმდინარე დეფორმაციული სემ-მოდელი, რომელიც ფორმირებულია საბაზისო სემ-მოდელის საანგარიშო დატვირთვების მოშორების შემდგომ და საკონტროლო კვანძებში ჩამაგრებების დამატებით, რომელიც გაიანგარიშება მხოლოდ მოცემულ კვანძებზე მიყენებული გადაადგილებების მოქმედებაზე.

მონიტორინგის მსვლელობისას დაფიქსირებული სემ-მოდელის კარკასის ძირითად კვანძებში, აგრეთვე მიყენებული გადაადგილებების გავლენის პირდაპირი შეფასება მთელი მოდელის ბაზაზე გართულებულია შენობის დიდი მოცულობისა და მზიდი კონსტრუქციების დიდი რაოდენობის ელემენტების გამო. ამ მიზეზით, როგორც ეს აღწერილია 3 პარაგრაფში, მოცემული ობიექტებისათვის გამოიყენებოდა მთელი სემ-მოდელის გაყოფის ტექნოლოგია ბლოკურ სემ-მოდელზე სივრცითი მოდელის მიღებული კონფიგურაციის შესაბამისად (ნახ. IV.9). სემ-მოდელის მტელ შემადგენლობაში სულ წარმოქმნილია 25 კონტროლირებადი ბლოკი (ქ).

კონტროლირებადი ბლოკებისათვის საპროექტო დოკუმენტაციის მონაცემების საფუძველზე ფორმირებული იქნა ძირითადი მზიდი ელემენტების ჯგუფები (ნახ. IV.11) გამომდინარე.

- კონსტრუქციის დანიშნულება (კოლონები, კოჭები, კაგშირები);
- ფოლადის მარკები;
- კვართის გეომეტრიული მახასათებლები.

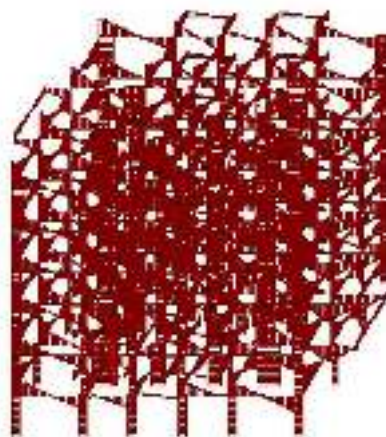
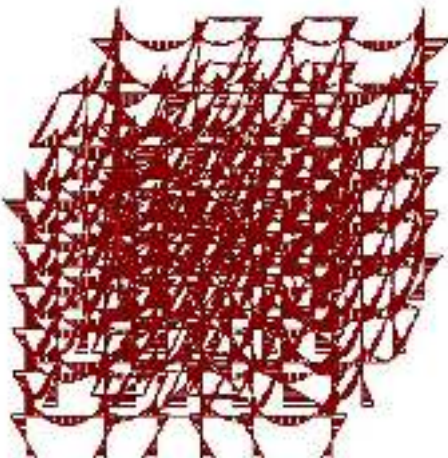


ნახ. IV.11. კბ 1-3 დეროვანი ელემენტების ფეროვანი კლასიფიკაცია

I სართულის ($R_y=300$ მპა) კონტროლირებადი კოჭების საანგარიშო დატვირთვების ზემოქმედებისგან უფრო მეტად დატვირთულ კოლონებში დატვირთევების არჩევითი ანალიზის შედეგები (ნახ. IV.12), დატვირთვები და უფრო მეტად დატვირთული ძირითადი და მეორეხარისხოვანი გადახურვის კოჭების სახასიათო ჩაღუნვები.

გადახურვის კოჭებისათვის სხ და წ II-23-81 “ფოლადის კონსტრუქციები” მოთხოვნების შესაბამისად (ფოლადი C245) [31]:

- $\sigma_{\text{ფლ}} = R_y=240$ მპა;
- $\tau_{\text{ფლ}} = 0.58R_y=139$ მპა;

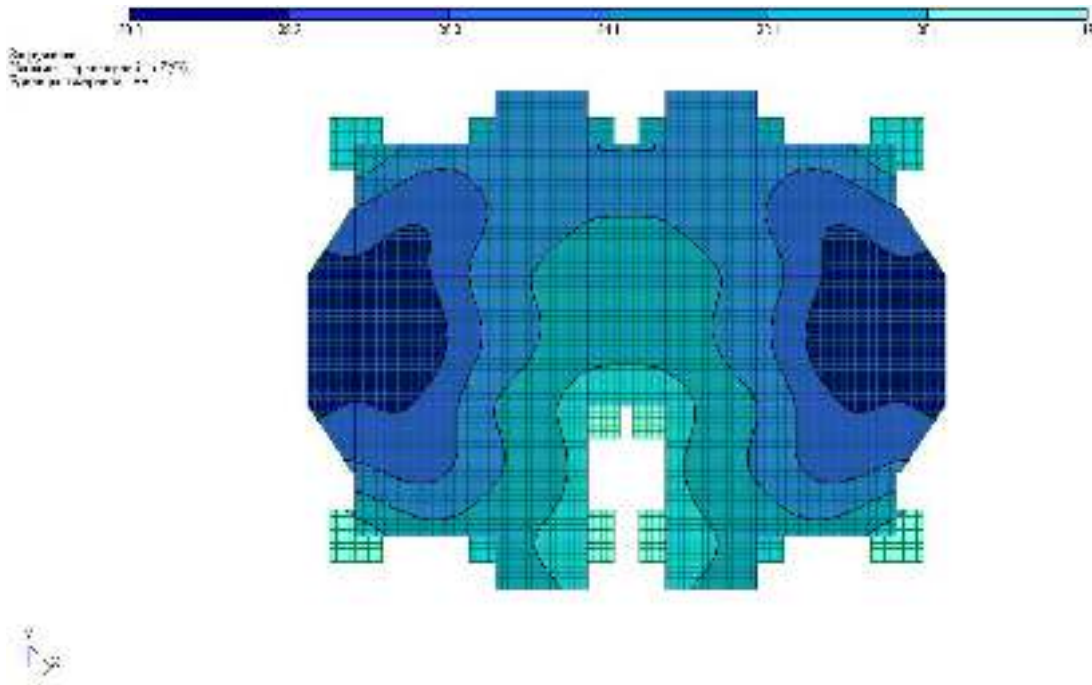


ნახ. IV.12. კბ 1-3 კონსტრუქციებში მღუნავი მომენტების და გრძივი ძალების ეპიურა

ძაბვები დიდმალიან კოჭებში:

- კოჭი 2 – $\sigma = 223 \text{ მპა} < 270 \times 0.9 = 243 \text{ მპა};$
- კოჭი 3A – $\sigma = 213 \text{ მპა} < 243 \text{ მპა};$

ზღვრულად დასაშვები ჩაღუნვა $f_{ტღვ} = \ell / 250$ პირობისას გადახურვის კოჭი მალით 9 მ შეადგენს 3.6 სმ, მალით 8 მ – 3.2 სმ; მალით 9 მ – 3.6 სმ; მალით 11.6 მ – 4.6 სმ (ნახ. IV.13).



ნახ. IV.13. შენობის კონსტრუქციების ვერტიკალური გადაადგილებები მუდმივი და დროებითი საანგარიშო დატვირთვებისგან

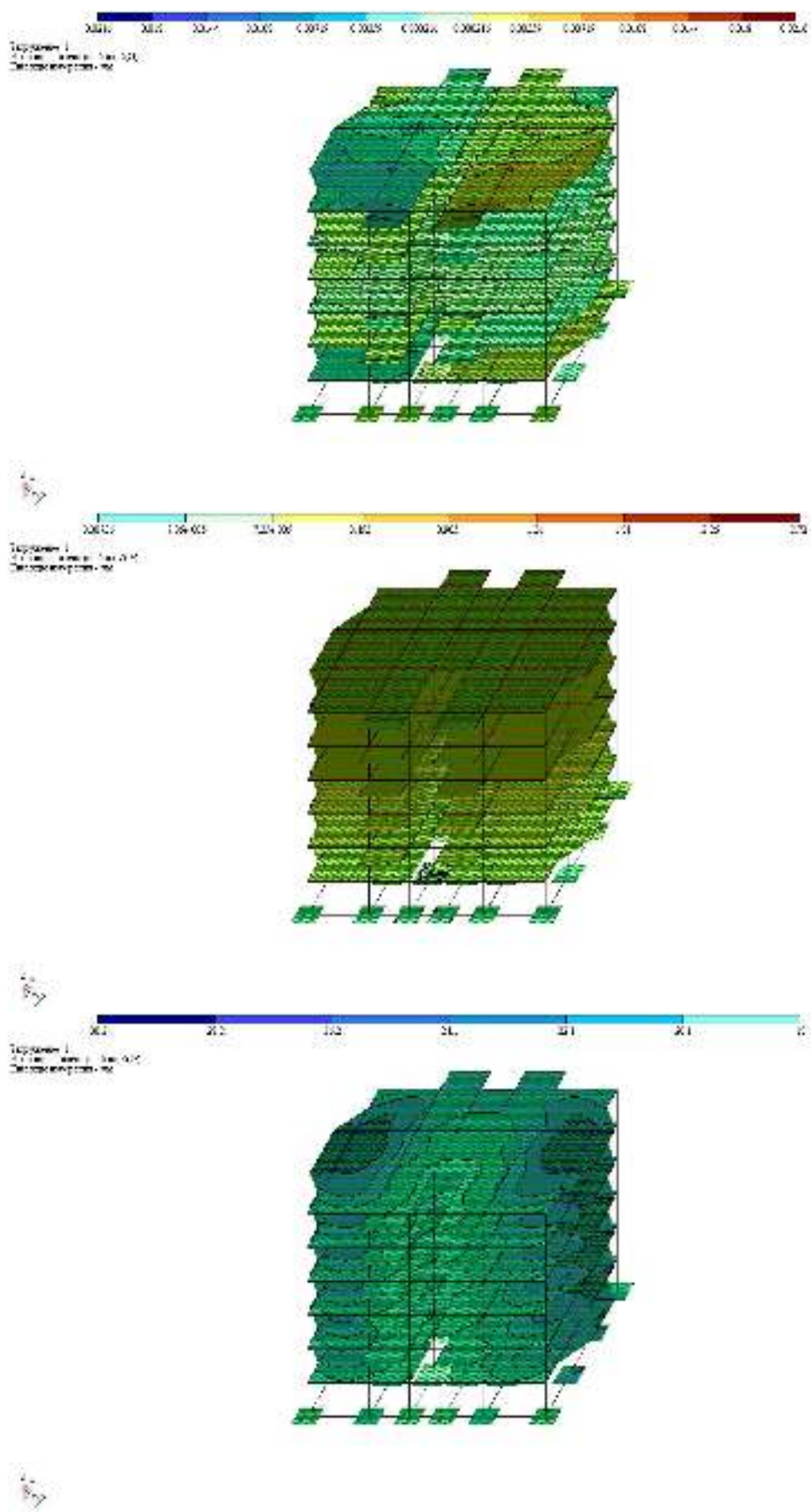
მხოლოდ საანგარიშო დატვირთვებისგან გამოწვეული უფრო მეტად დატვირთული კარგასის კონსტრუქციის ჩატარებულმა არჩევითმა შეფასებამ აჩვენა, რომ კონსტრუქციებში ძალვები, ძაბვები და გადაადგილებები შეესაბამება მოთხოვნებს I და II ჯგუფის ზღვრული მდგომარეობების მიხედვით. შენობის მზიდი კონსტრუქციების განლაგების სქემა მოყვანილია დანართში.

IV.15.4. შენობის კონსტრუქციის დაძაბულ-დეფორმირებულ მდგომარეობაზე ჯდომითი პროცესების გავლენის სასრულ ელემენტთა მეთოდის მოდელირება

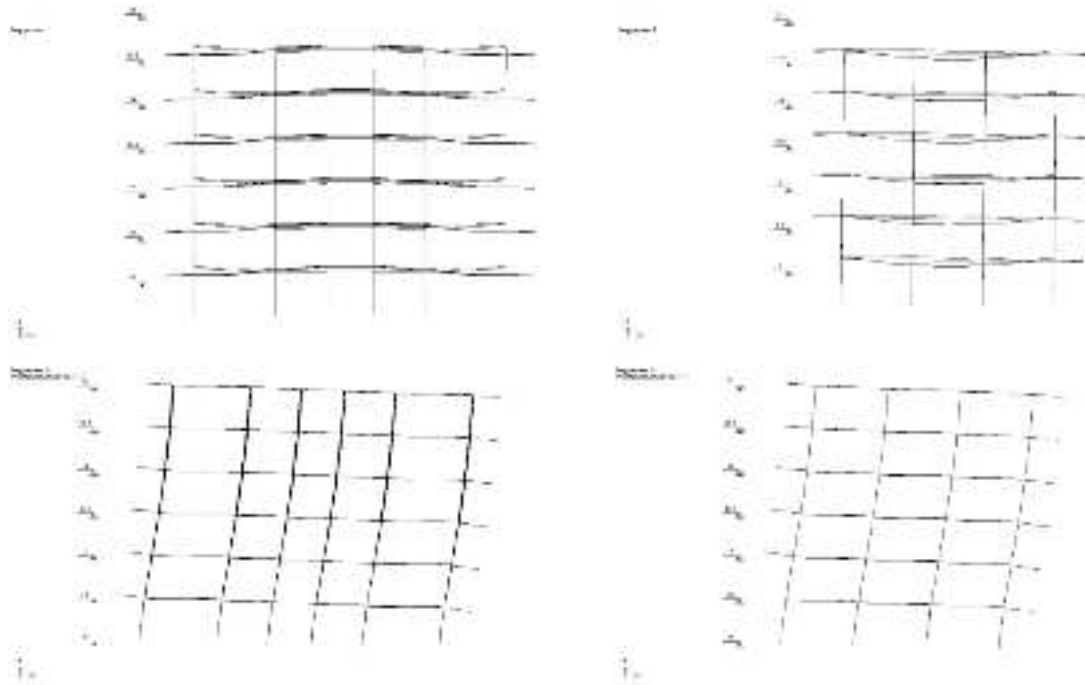
შნობის სემ-მოდელის არსებობა საშუალებას იძლევა მივიღოთ სივრცითი მოდელის კონტროლირებადი კვანძების ვერტიკალური და პორიზონტალური გადაადგილებების და საფუძვლის ზღვრულად დასაშვები სიდიდეების მოდელირების გზით, რომლის დროსაც კონსტრუქციის დდმ დარჩება დასაშვები ნორმების საზღვრებში. ამასთან გადაადგილებების მირებული მნიშვნელობები შეიზღუდა გამოყენებული იქნეს ორიენტირად რეალური გადაადგილებების სიდიდეებისათვის, რომლებიც მიღებული იქნა მონიტორინგის მსვლელობისას, რაც განსაკუთრებით მნიშვნელოვანია იმ ნაგებობებისათვის, რომლების მზიდი კონსტრუქციები დამალულია შიგა და გარე მოპირკეთების მიღმა და მიუწვდომელია გიზუალური დათვალიერებისათვის. ოუმცა ამგვარად მიღებულ მნიშვნელობებს აქვს საკონტროლო

ხასიათი და არ შეუძლიათ ობიექტის კონსტრუქციების მზიდუნარიანობის შენარჩუნების უზრუნველყოფის გარანტირება საფუძვლის დეფორმაციის სურათის ყველა პოტენციური ვარიანტების გათვალისწინების შეუძლებლობით, ამიტომ მზიდი კონსტრუქციების დდმ-ზე საფუძვლის არათანაბარი დეფორმაციის გავლენის ობიექტური შეფასებისათვის აუცილებელია მონიტორინგის მსვლელობისას დარეგისტრირებული გადაადგილების და საანგარიშო დატვირთვების ქმედებებზე სემ-ანგარიშის ჩატარება.

მაგალითის სახით ქვემოთ მოყვანილია შენობის კონსტრუქციის დდმ-ზე სხ და წებით დასაშვები ვერტიკალური ჯდენების ვარიანტებიდან ერთ-ერთის გავლენის მოდელირება. სხ და წ 2.02.01-83 “ძირითადი შენობები და ნაგებობები” – თანახმად [32] მაქსიმალურად დასაშვები არათანაბარი ჯდომებისას $\Delta S/L=0.003$, მეზობელ კოლონებზე ჯდომების მაქსიმალური აბსოლუტური სხვაობა მათ შორის $L=24 \div 27$ მმ. სემ-ანგარიშის ჩატარების შედეგების მიხედვით ჰორიზონტალური გადაადგილებების ზღვრული მნიშვნელობა შენობის ზედა კონტროლირებადი კვანძების ზედა დონეში შეადგენს $\Delta Y=-88$ მმ (ნახ. IV.14).



ნახ. IV.14. შენობის გადაადგილება საანგარიშო დატვირთვებისაგან (H-1) და საყრდენების მოცემული ჯდენით (H-2) ზედა კონტროლირებადი კვანძების დონეზე



ნახ. IV.15. შენობის განვითარებულ დეფორმაციის სქემა

ამასთან გადახურვის მზიდი კოჭები არ განიცდიან დღმ მნიშვნელოვან ცვლილებებს, რაც აისხება მათი კოლონებთან სახსრული კავშირებით და გადახურვის დისკებთან ერთობლივი მუშაობით (ნახ. IV.15). დღმ-ს დიდი ცვლილებები დაფიქსირდა I სართულის კოლონებში. არაცენტრალურად შეკუმშული კოლონების ანგარიში მიმდინარეობდა სწ და წ II-22-81 მოთხოვნების შესაბამისად [31] (49), (51) და (56) ფორმულების მიხედვით NormCad პროგრამის გამოყენებით. უფრო მეტად დატვირთული კოლონების სიმტკიცის და მსგრადობის ანგარიშის შედეგად %-ში ზღვრული მნიშვნელობებისგან.

აუცილებელია ყურადღება მიგაქციოთ იმას, რომ სწ.და წ-ებით დასაშვები ზღვრული არათანაბარი ჯდომის მნიშვნელობების დროსაც კი მოცემული შენობისათვის I სართულის (კბ. 2-1) უფრო მეტად დატვირთული კოლონების მზიდუნარიანობა ამოწურულია მდგრადობის კარგვის გათვალისწინებით.

IV.15.5. გადაადგილების მოქმედებაზე სემ-მოდელის მიმდინარე დეფორმაციული ანგარიშის შედეგების ანალიზი

გეოდეზიური გაზომვების და სივრცითი მოდელის კონსტრულირებადი კვანძების, ვერტიკალური და ჰორიზონტალური გადაადგილებების მიღებული მაქსიმალური მნიშვნელობების ანალიზიდან გამომდინარე მაგალითის სახით სემ-მოდელის ანგარიში მიყენებული გადაადგილებების ქმედებაზე მოყვანილია სემ-მოდელის კონტროლირებადი

ბლოკების კონსტრუქციის სემ ცვლილების ანალიზი, რომლებიც შემოზღუდულია საკეტებით.

ტახეომეტრული აზომვის მონაცემები შევსაბამისი შიგა კვანძების ნიველირების შედეგებით, რომლებიც დაყენებულია შენობის მე-3 სართულის კონსტრუქციებზე.

ობიექტის სემ-მოდელის მიმდინარე დეფორმაციული დატვირთვა გეოდეზიური გაზომვების მონაცემებით კონტროლირებადი ბლოკების სისტემის დახმარებით ხორციელდება პ. 3-ის თანახმად.

1. სემ-მოდელის შესაბამის კვანძებში სივრცითი მოდელის გარე და შიგა კონტროლირებადი კვანძების გადაადგილებების შეუვანა;

2. სემ-მოდელის კარგასის ძირითად კვანძებში გადაადგილებების ინტერპოლაცია კვადრატული, წრფივი და ბრტყელი ინტერპოლაციის დახმარებით;

3. კონტროლირებადი ბლოკების სისტემების ანგარიში (ბლოკოვანი სემ-მოდელი) მიყენებული გადაადგილებების მოქმედებაზე.

ანგარიშისას განიხილებოდა დატვირთვის ორი სახეობა: *H-1* (საანგარიშო დატვირთვა); *H-2* (მიყენებული დატვირთვა). სურ. IV.15-ზე მოყვანილია მიყენებული გადაადგილებების მოქმედებისაგან სემ-მოდელის ბლოკების სქემის ფორმირება, აგრეთვე გადაადგილებების ინტერპოლირებული მნიშვნელობების ფეროვანი წარმოდგენა.

შედეგების მიხედვით მიყენებული გადაადგილებების მოქმედებისაგან (*H-2*) გამოწვეული დიდი ძალვები, რომლებიც დაფიქსირებულია I სართულის ნაპირა კოლონებში. ცხრილი 4-9-ს მონაცემებით დადგენილია, რომ მოცემული დეფორმაციული დატვირთვებისას კოლონები არ განიცდიან დღმ მნიშვნელოვან ცვლილებებს და აკმაყოფილებენ სახ. სტან. 27751-88 მოთხოვნებს [33]. გადახურვის მზიდ კოჭებში მღუნავი მომენტების პარალელურად ჩნდება დამატებითი გამჭიმავი და მკუმშავი ძალვები, რაც იწვევს მათი სამუშაო სქემის ცვლილებას. კონტროლირებადი ბლოკების კონსტრუქციებში აღძრული ძალვების ეპიურები წარმოდგენილია ნახ. IV.12-ზე.

გადაადგილებების დაფიქსირებული სიდიდეების შედარება სემ-მოდელირების მსგლელობისას მიღებულ მათ ზედაპირულ მნიშვნელობებთან მოწმობს, იმას, რომ მზიდი კონსტრუქციების ტექნიკურ მდგომარეობაზე დეფორმაციული პროცესების გავლენა უმნიშვნელოა, რაც აგრეთვე მოწმდება ვიზუალური დათვალიერების მონაცემებით და სემ-ანგარიშის შედეგების მიხედვით კონსტრუქციის დღმ ცვლილებების შეფასებით.

IV.2. სხვა ტიპის ობიექტებისათვის სივრცითი მოდელის გამოყენების შესაძლებლობა

სივრცითი მოდელები აგრეთვე შეიძლება იქნან გამოყენებული სხვადასხვა დანიშნულების ობიექტების ტექნიკურ მდგომარეობის მონიტორინგისას. მაგალითის სახით გამოკვლეული გვაქვს ხუთსართულიან საცხოვრებელ შენობაზე ლითონის კარკასული მიშენების მდგომარეობა.

IV.2.1. შესავალი

გამოსაკვლევი ობიექტი წარმოადგენს ბმ ამხანაგობა „შირაქი“-ს კუთვნილ საცხოვრებელ სახლს, რომელიც მდებარეობს ქ. თბილისში, შირაქის ქ. №11-ში.

გამოკვლევის მიზანი: ქ. თბილისში, შირაქის ქ. №11-ში მდებარე კორპუსის პირველ და მეორე სადარბაზოს შიროს განხორციელებული მინაშენის მზიდი კონსტრუქციების და მათი შემაერთებელი კვანძების ტექნიკური მდგომარეობის გამოკვლევა და მისი შემდგომში ნორმალური ექსპლუატაციისათვის საჭირო დონისძიებების შემუშავება.

მშენებლობის ნორმატიული დოკუმენტის CP-13-102-2003 (შენობების და ნაგებობების მზიდი სამშენებლო კონსტრუქციების გამოკვლევის წესები) თანახმად განისაზღვრა სამუშაოს მეთოდიკა და ამოცანები:

1. მინაშენის საპროექტო დოკუმენტაციის მოძიება, გაცნობა, ანალიზი;
2. მინაშენის ვიზუალურ-ტექნიკური გამოკვლევა;
3. მინაშენის გეომეტრიული პარამეტრების დადგენა;
4. ლითონის სივრცითი კარკასის მზიდი კონსტრუქციების შემაერთებელი ელემენტების (შედუღების ნაკერების და ა.შ.) ტექნიკური გამოკვლევა;
5. მინაშენის და ძირითადი შენობის საძირკვლების პირობების და ფუძის მექანიკური მახასიათებლების დადგენა;
6. კვლევის შედეგებზე დაყრდნობით მინაშენის სივრცითი კარკასის გაანგარიშება სტატიკურ და დინამიკურ დატვირთვებზე;
7. კვლევის და გაანგარიშების შედეგების ანალიზი და დასკვნა, რეკომენდაციების შემუშავება;

**IV.2.2. ქ. თბილისში, შირაქის ქ. №11-ში მდებარე ხუთსართულიანი
საცხოვრებელი სახლის მინაშენის მზიდი კონსტრუქციების ტექნიკური
მდგომარეობის დადგენა**

IV.2.2.1 შესაგალი

მინაშენის ვიზუალური გამოკვლევა ჩატარდა ნორმატიული დოკუმენტის СП-13-102-2003 მე-7 პარაგრაფის (წინასწარი ვიზუალური გამოკვლევა) მოთხოვნების შესაბამისად. ვიზუალური გამოკვლევის მიზანია: მინაშენის მზიდი კონსტრუქციების და მათი შემაერთებელი კვანძების წინასწარი ტექნიკური მდგომარეობის დადგენა და კონსტრუქციების დეტალურ-ინსტრუმენტალური გამოკვლევის ჩატარების აუცილებლობის განსაზღვრა.

წინასწარი ვიზუალური გამოკვლევის დროს მზიდი კონსტრუქციების დათვალიერებისას გამოყენებული იყო გამზომი ხელსაწყოები: ბინოკლი, სახაზავი, რულეტი, შტანგერფარგალი, ციფრული ფოტოაპარატი და სხვა.

ვიზუალური გამოკვლევის დროს განხორციელდა: მზიდი კონსტრუქციების ხილული დეფექტების გამოვლენა; საკონტროლო აზომვები და ჩანაწერები; დეფექტების დაფიქსირება ფოტოსურათებზე; მთლიანად მინაშენის და მისი ცალკეული ელემენტების დეფორმაციების დაფიქსირება; მზიდი კონსტრუქციების ავარიული უბნების დადგენა; მინაშენის მზიდი კონსტრუქციების ტექნიკური მდგომარეობის დადგენა; კონსტრუქციების დეტალურ-ინსტრუმენტალური გამოკვლევის ჩატარების აუცილებლობა.

IV.2.2.2. მინაშენის მზიდი კონსტრუქციების ვიზუალური შესწავლა

დამტკიცებული სახლისა და მინაშენის შესახებ საპროექტო დოკუმენტაცია ვერ წარმოადგინა. ჩვენს მიერ გატარებული სხვადასხვა დონისძიებების მიუხედავად სახლისა და მინაშენის შესახებ ტექნიკური დოკუმენტაციის მოძიება ვერ მოხერხდა. საჭირო გახდა ადგილზე გასვლა და ვიზუალური, აზომვითი და სხვა სახის სამუშაოების ჩატარება.



სურ. IV.16



სურ. IV.17

ქ. თბილისში, შირაქის ქ. №11-ზი მდებარე ნაგებობა გეგმაში მართკუთხა ფორმისაა. იგი ხუთსართულიანია, აგებულია გასული საუკუნის 70-იან წლებში (სურ. IV.16). გააჩნია სარდაფი, შენობა ორსადარბაზოიანია, სართულის სიმაღლე 2,65 მ-ია. მის მზიდ კონსტრუქციებს წარმოადგენს გრძივი და განივი პედლების სისტემა განხორციელებული აგურით, სისქით 38 სმ, სართულთშორისი გადახურვები კონსტრუირებულია ანაკრები დრუტანიანი ფილებით, სისქით 0,22 მ. შენობის ზემირკველი ბეტონისაა. სართულებს შორის კავშირი ხორციელდება ანაკრები რკინაბეტონის კიბეებით, ბაქნები რკინაბეტონისაა. სახურავი ორქანობიანია, რომელიც დაფარულია თუნექის ბურულით (სურ. IV.17).

აღნიშნულ შენობაზე 1989 წელს უკანა ფასადზე, პირველ და მეორე სადარბაზოებს შორის განხორციელდა მიშენება, რომელსაც გეგმაში მართკუთხედის ფორმა აქვს მაქსიმალური ზომებით $3\frac{1}{2} \times 12$ მ. (სურ. 18). მინაშენის მზიდ კონსტრუქციებს წარმოადგენს ლითონის ერთმალიანი ხუთსართულიანი კარკასი ($H=2,65\text{m}$) გრძივი მიმართულებით სვეტების ბიჯით 3 მ.



სურ. IV.18



სურ. IV.19



სურ. IV.20

მინაშენის საძირკველი წერტილოვანია (სურ. IV.19), რომლებიც გაერთიანებულია ლენტური რკინაბეტონის მონოლითური რანდკოჭებით, რომლებზეც დამონტაჟებულია 8 მმ-ის სისქის ლითონის ფურცლები ზომებით $30\frac{1}{2}30$ სმ, რომელიც ჩამაგრებულია რკინაბეტონის საძირკველში. ლითონის ფურცელზე, სიხისტის სამკუთხა ფურცლების შედეგებით დამონტაჟებულია ლითონის სივრცითი კარკასის ორტოტა სვეტები. აღნიშნული სვეტების ბაზის პორიზონტალურ ფურცლიდან მინაშენის სართულშორისი გადახურვის კონსტრუქციის ზედაპირამდე მანძილი 0.2 მ-ია.

მინაშენის სივრცითი კარკასის სვეტები წარმოადგენს შედგენილ ლითონის კონსტრუქციას, რომელიც განხორციელებულია ორი ცალი [№16] ლითონის შველერისაგან რომლებიც ერთმანეთის მიმართ თაროებით არიან ორიენტირებული (სურ. IV.20).



სურ. IV.21

აღნიშნული შველერები ორივე მხრიდან შეკრულია ერთმანეთის მიმართ 0.531, 1.54, 1.6, 0.6 მ-ით (სიმაღლეში) დაშორებული ლითონის ფურცლების საშუალებით. პირველ სართულზე ფურცლების ზომები $-0.5\frac{1}{2}0.6\frac{1}{2}0.08$ მმ-ის ტოლია, ხოლო მეორე და დანარჩენ სართულებზე $-0.5\times1.0\times0.8\times0.3$ მ (სურ. IV.21).

მინაშენის გრძივი მიმართულებით, გადახურვის კონსტრუქციის ქვედა ზედაპირის ნიშნულზე, მოწყობილია გრძივი რიგელები, რომელიც კონსტრუირებულია, [№16 შველერისაგან (სურ. IV.22). გრძივი რიგელები ჰორიზონტალური და ვერტიკალური შედუდების ნაკერით უკავშირდება სვეტების შემაკავშირებელ ფურცლებს და ერთ-ერთ ტოტის ზედაპირს. სვეტების გადაბმის პირაპირები განხორციელებულია ორმხრივად ფურცლებით. განივ რიგელებს გააჩნია 0.85 მ კონსოლი. განივ რიგელები შესრულებულია №16 შველერებისგან. სართულშორისი გადახურვები განხორციელებულია მონოლიტური $\delta = 0.16$ მ-ის სისქის რკინაბეტონის ფილის სახით (სურ. IV.23).



სურ. IV.22



სურ. IV.23



სურ. IV.24

რკინაბეტონის ფილა მოწყობილია, ერთმანეთის მიმართ დაახლოებით 3 მ ბიჯით, (მინაშენის გრძივად) სივრცითი ჩარჩოს გრძივ რიგელებზე ელექტრო შედუდებით მიმაგრებული [16 შველერებისგან განხორციელებულ კოჭებზე. შეა კოჭზე გაკეთებულია ხვრელები, ბიჯით 0.30-0.35 მ, რომელშიც გაყრილია ტ16 არმატურა (სურ. 24). ეს არმატურა განთავსებულია ლითონის კოჭების ქვედა თაროსთან და ის რკინაბეტონის ფილის მუშა არმატურას წარმოადგენს.



სურ. IV.25

უნდა აღინიშნოს, რომ მინაშენში არსებული სათავსოების გარემოსაგან და ერთმანეთთან შემომზღვდავ კონსტრუქციებს წარმოადგენს ცემენტ-ქვიშის ხსნარზე აგურით განხორციელებული კედლები, რაც შესრულებულია მხოლოდ მეორე სართულზე. სხვა სართულებზე, კედლები ამოშენებული არ არის (სურ. IV.25).

აქვე უნდა შევნიშნოთ, რომ მინაშენს გრძივად კონსოლებზე აქვს განხორციელებული ლია აივნები.

IV.2.2.3. მინაშენის, სივრცითი კარკასის მზიდი კონსტრუქციების და მათი შემაერთებელი კვანძების, გამოკვლევის შედეგად გამოვლენილი დეფექტები, კოროზიის ხარისხის დადგენა

ჩატარდა მინაშენის სივრცითი კონსტრუქციების და მათი ელემენტების ტექნიკური მდგომარეობის გამოკვლევა. ნორმატიული დოკუმენტის СП-13-102-2003-ის შესაბამისად.

განსაზღვრული იყო ლითონის ნაგლინი ელემენტების კოროზიის ხარისხი. კოროზიის პროცესის შესასწავლად გამოყენებული იყო: ულტრაბაზერითი სისქის მზომი, ლითონის სახაზავი, შტანგენფარგალი, მიკრომეტრი, გამადიდებელი ლუპა, ბინოკლი.

მინაშენის მზიდი კონსტრუქციების გამოკვლევის საფუძველზე დადგინდა, რომ ლითონის სეეტების მიმაგრება, რკინაბეტონის ლენტურ საძიკველოან განხორციელებულია ხისტად „ბაზის“ საშუალებით. „ბაზის“ კონსტრუქცია წარმოადგენს სვეტის დეროების (ტანის) გაფართოებულ ნაწილს, რომელზედაც სვეტებიდან მოსული ძალვები, სამკუთხა ლითონის სიხისტის ფირფიტების საშუალებით თანაბრად ნაწილდება ყველა მიმართულებით (სურ. IV.26).



სურ. IV.26



სურ. IV.27

როგორც ცნობილია, პროექტირების დროს სვეტის ტიპის შერჩევა ხორციელდება: ეკონომიკური თვალსაზრისით, მოსული დატვირთვების მიხედვით, სვეტებთან კონსტრუქციების შეუძლების კვანძების სიმარტივის მიხედვით, და სხვა. ცნობილია, რომ მაქსიმალური დატვირთვა გამჭოლი კვეთის მქონე, შველერებისაგან შედგენილ, სვეტებზე არ უნდა აღემატებოდეს 270-350 ტონას. (იხ. ტ. Kopp. AH СССР Стрелецкий Н.С. и др. „Строительные Конструкции“, М.1972 с.290-291).

მინაშენის ლითონის სვეტები განხორციელებულია ორი ტოლი, ლითონის №16 შველერებისაგან, რომლებიც შექრულია პორტონტალური ფურცლებით და თაროების შედუღებით (სურ. IV.27).

ფურცლები ერთმანეთის მიმართ სიმაღლეში პირველ სართულზე დაშორებულია იატაკიდან 0.53, 1.54; 1.6, 0.6 მ. სართულებზე ფურცლების რაოდენობა შემოისაზღვრება ორი ან სამი ცალით, რომელიც გადახურვის, იატაკის დონეზე და სართულის სიმაღლის ნახევარზეა მოწყობილი. სვეტების ვიზუალური დათვალიერებით აღმოჩნდა, რომ მიწის ზედაპირიდან პირველი სართულის დონემდე, მდებარე სვეტს გააჩნია გადახრა, რომლის სიდიდე 10 სმ-ია, მეორე სართულზე – 15 სმ, მესამე სართულზე – 17 სმ, მეოთხე სართულზე – 24 სმ. სვეტების ტოტების შემაკავშირებელ ფურცლებზე ზოგ ადგილას არ არსებობს ვერტიკალური ნაკერი. პირველი და მეორე სართულის სვეტის შეერთება განხორციელებულია შემდეგნაირად: პირველი სართულის იატაკის ქვედა დონეზე სვეტზე დადუღებულია ფირფიტა 20×20 სმ სისქით 0.08 სმ, რომელზედაც შემდეგ დამონტაჟებულია განივი რიგელი, შველერები №16, რომლის თაროს ზომა არის 6.5 სმ. იმავე თაროზე დადუღებულია 20 სმ-ის სიგრძის ორტესებრი №16. აღნიშნულ კონსტრუქციაზე შემდეგ დადუღებულია ფირფიტა $20 \times 20 \times 0.8$ სმ, რომელიც წარმოადგენს მეორე სართულის სვეტის ბაზისს. აღნიშნული კვანძი ძალიან სუსტია, ის შეიძლება ჩაითვალოს სახსრულ შეერთებად, რაც ყოვლად დაუშვებელია. სვეტების შემაკავშირებელ ლითონის ფურცლებზე დამონტაჟებულია გრძივი რიგელები,

რომლებიც განხორციელებულია №16 შველერი. სართულშორისი გადახურვები განხორციელებულია მონოლითური $\delta=1.6$ სმ. სიმაღლის რკინაბეტონის ფილით, რომელიც მოწყობილია ერთმანეთის მიმართ (შენობის განივი მიმათულებით), 3.0 მ-ით განთავსებულ №16-სგან განხორციელებულ კოჭებზე. შესავეტების შემაერთებელი განივი რიგელი კი განხორციელებულია №16 შველერებზე. მინაშენი არსებულ შენობასთან დაკავშირებული არ არის (სურ. IV.28).



სურ. IV.28

მინაშენის მზიდი კონსტრუქციები და მათი შემაერთებელი კვანძები განხორციელებულია კუთხური შედუღებებით, ასევე სივრცეში მათი განლაგების და შესრულების მხრივ, გამოყენებულია ქვედა, ჰორიზონტალური, ვერტიკალური და ჭერის შედუღებები. შედუღების ნორმატიული წინადობა $0,7 R^\sigma$ -ის ტოლია, სადაც R^σ შესადუღებელი ლითონის ელემენტების ნორმატიული წინადობაა. საანგარიშო წინადობის მისაღებად ეს მნიშვნელობა მრავლდება შედუღების ერთგვაროვნების კოეფიციენტზე. ერთგვაროვნების კოეფიციენტი დამოკიდებულია რიგ ფაქტორებზე, რომლებიც ზეგავლენას ახდენენ შესადუღებელი ელემენტის სიმტკიცეზე. ეს ფაქტორებია: შედუღების ხარისხი, შესაბამისობა ელექტროდის და შესადუღებელი ლითონების მარკა და სხვა.

მინაშენის ლითონის მზიდ კონსტრუქციებში და მათ შემაერთებელ კვანძებში ლითონის შედუღების გამოპლევამ გვაჩვენა, რომ შედუღების შესრულების ხარისხი დაბალია. არ არის დაცული შედუღების სიმაღლის სტანდარტი, რომელიც დამოკიდებულია შესადუღებელი ლითონის სისქეზე. განსაკუთრებით ეს აისახება ჰორიზონტალურ, ვერტიკალურ და ე.წ. „ჭერის“ შედუღებებზე.

ლითონის ნაგლინი ელემენტების კოროზიის სარსიხის შესწავლა

ლითონის ნაგლინი ელემენტების კოროზიის შესწავლა ხდებოდა ნორმატიული დოკუმენტის СП-13-102-2003-ის პ. 8.4.3-ის და პ.8.4.4.-ის მოთხოვნების შესაბამისად.

დადგენილია: ლითონის კონსტრუქციები არ არის დაფარული ანტიკოროზიული სადებავით და 15 წელზე მეტია განიცდიან კოროზიას; ძირითად ლითონის ელემენტებში კოროზია არ აღემატება განივევეთის ფართის 8-10%-ს. მინაშენის სახურავის ქვეშ არსებულ ლითონის კონსტრუქციებში და მათი შეერთების კვანძებში კოროზია უფრო ინტენსიურია და აღწევს ელემენტების განივევეთის 12-15%-ს. ყველა შემთხვევაში მინაშენის მზიდი კარკასის კოროზიული ცვეთა განივევეთის ფართის 25%-ზე ნაკლებია. ნორმატიული დოკუმენტის CP-13-102-2003-ის პ.8.4.4-ის თანახმად ლითონის ელემენტების საანგარიშო წინადობებში ცვლილებების შეტანა საჭირო არ არის. შესწორების კოეფიციენტი 1-ის ტოლია. აუცილებელია სივრცითი ლითონის კარკასის კოროზიული ზედაპირების გაწმენდა უანგისაგან, ზედაპირების ანტიკოროზიული სსნარით დამუშავება და შედებვა.

როგორც ზემოთ ავღნიშნეთ მინაშენის მზიდი ლითონის კონსტრუქციები და მათი შემაერთებელი კვანძები არ არის დაფარული ანტიკოროზიული სადებავით. წლების განმავლობაში ლითონის კონსტრუქციები იმყოფებოდა ატმოსფერული ნალექების აქტიური ზემოქმედების ქვეშ, ამის გამო ლითონის ელემენტები და შედებების ნაკერები კოროზირებლია (ნახ. IV.27- IV.31, IV.33, IV.34). ცნობილია, რომ ასეთ პირობებში კოროზიის სიჩქარე წელიწადში 0,05-0,1 მმ-ია, რაც თხუთმეტი წლის განმავლობაში შეადგენს 0,75-1,5 მმ. აღსანიშნავია, რომ ლითონის მზიდი კონსტრუქციების და შეერთების კვანძებში კოროზიის პროცესი ასეთი ინტენსივობის არ არის. ძირითად ლითონის ელემენტებში კოროზია არ აღემატება განივევეთის 8-10%.

შედარებით მასიურად არის დაფარული უანგით სასხვენო გადახურვასთან შეთავსებული, სახურავის ქვეშ არსებული ლითონის მზიდი კონსტრუქციები და მათი შეერთების კვანძები. გაზომვებმა გვაჩვენა, რომ ამ ელემენტების კოროზია აღწევს განივევეთის 12-15%-ს.

უნდა შევნიშნოთ, რომ მინაშენი განიცდის არათანაბარ ჯდომით დეფორმაციებს. ჯდომის მაქსიმალური სიდიდე აღწევს 117 სმ. იატაკი დახრილია, დახრილობა აღწევს $8 \div 10$ სმ-ს.

IV.2.3. მინაშენის და ძირითადი შენობის საძირკვლის და ფუძის რეალური ფიზიკურ-მექანიკური მახასიათებლების დადგენა

საძირკვლების კონსტრუქციისა და ფუძე-გრუნტების შესწავლის მიზნით გაითხარა შურფი და გაშიშვლდა საძირკვლი (სურ. 29, 30). შურფის სიღრმეა მიწის ზედაპირიდან 1.90 მ. შემდეგ სიღრმეში გრუნტული პირობების შესწავლის მიზნით გაყვანილი იქნა ჭაბურღლილი 5.50 მ სიღრმემდე, რაც განპირობებულია აქტიური ზონის

გავრცელების სიღრმით. აღებული იქნა გრუნტის ნიმუშები მათი ფიზიკურ-მექანიკური მახასიათებლების დადგენის მიზნით.

ჭაბურღილში გრუნტის წყალი დაფიქსირებული იქნა 5.0 მეტრზე მიწის ზედაპირიდან.

ფუძის გრუნტული პირობები შემდეგი: მიწის ზედაპირიდან 1.3 მ სიღრმემდე გრუნტი წარმოადგენს ნაყარს – თიხნარს მასში ჩართული საყოფაცხოვრებო ნარჩენებით და სამშენებლო ნაგვით.



სურ. IV.29



სურ. IV.30

მის ქვემოთ გავრცელებულია თიხნარი სისქით 0.6 მეტრი, რომლის ფიზიკურ-მექანიკური მახასიათებლები შემდეგია $\rho=1.98 \text{ g/cm}^3$; $\rho_s=2.71 \text{ g/cm}^3$; $W=37\%$; $I_L=0.56 < 0.75$ – თიხნარი რბილპლასტიკურ მდგომარეობაშია; $R_0=1.65 \text{ g/cm}^2$; $C=0.26 \text{ g/cm}^2$; $\varphi=12^0$; $E=80 \text{ g/cm}^2$.

შემდეგი ფენა გამოკვლეულ სიღრმემდე 5.5 მ წარმოდგენილია ასევე თიხნარით, რომლის ფიზიკურ-მექანიკური მახასიათებლები შემდეგია: $\rho=1.89 \text{ g/cm}^3$; $W=42\%$; $I_L=0.82$ – გრუნტი დენადპლასტიკურია; $S_r=0.92$ – წყლით გაჟღენილია $R_0=0.62 \text{ g/cm}^2$; $C=0.16 \text{ g/cm}^2$; $\varphi=9^0$; $E=60 \text{ g/cm}^2$.

აღნიშნული მონაცემების საფუძველზე მოდელირებული იქნა საძირკვლის ფუძე-გრუნტი მიშენების კონსტრუქციის კომიუნიტეტული გაანგარიშებისათვის.

IV.2.4. მინაშენის მზიდი კონსტრუქციული სისტემის კომპიუტერული

გაანგარიშება სტატიკურ და დინამიკურ დატგირთვებზე.

მინაშენის კონსტრუქციული და საანგარიშო სქემის აღწერა

ქ. თბილისში, შირაქის ქ. №11-ში მდებარე ხუთსართულიანი მინაშენი გეგმაში მართვულია ფორმისაა, გაბარიტული ზომებით (დერძებში). I სართულის სიმაღლე – 3.5 მ, დანარჩენის კი 2.65 მ-ია. შენობის საძირკვლი წერტილოვანი რკინაბეტონის.

მიწისზედა ნაწილის მზიდ კონსტრუქციას წარმოადგენს ლითონის სივრცითი კარგასი, რომელიც შედგენილია ნაგლინი პროფილის სვეტების და კოჭებისაგან, რომლებიც ერთმანეთთან კვანძებში შედუღებით არის შეერთებული. მთელი შენობის სიმაღლეზე სვეტების კვეთები. შველერები ერთმანეთის მიმართ კედლებით არიან ორიენტირებული. სვეტების ელემენტები ერთმანეთთან შედუღებულია. გრძივი და განივი რიგელები კონსტრუირებულია ნაგლინი ელემენტებით.

რადგან მინაშენი სართულთშორისი გადახურვის დონეზე არ არის დაკავშირებული არსებულ შენობის მზიდ კონსტრუქციებთან, ამიტომ მინაშენის სივრცითი ლითონის ჩარჩოს გაანგარიშება მოხდა როგორც ცალკე მდგომი შენობისა.

მინაშენის სივრცითი ლითონის ჩარჩოს გაანგარიშება განხორციელდა გამოთვლითი კომპლექს „ლირა 9.6“-ის საშუალებით. შენობის კარგასის მზიდი ელემენტების (სვეტების და რიგელების) მოდელირება განხორციელდა ღეროვანი სასრულო ელემენტებით. სართულთშორისი რკინაბეტონის ფილების და კედლების – მართკუთხა, ოთხ კვანძიანი ფილის ელემენტებით. მზიდი ელემენტების მასალის ფიზიკურ-მექანიკური თვისებები და გეომეტრიული ზომები აღებულია მზიდი კონსტრუქციების მასალების ლაბორატორიული კვლევების და ჩატარებული აზომვების შედეგად მიღებული მონაცემების ანალიზის საფუძველზე.

გაანგარიშებაში განხილულია შემდეგი სახის დატვირთვები:

სტატიკური მუდმივი, სტატიკური დროებითი ხანგრძლივი და ხანმოკლე. რადგან მინაშენი შემოფარგლულია არსებული შენობით, ქარის დატვირთვა ანაგრიშში არ იქნა მიღებული. სეისმური ზემოქმედება განხილულია გრძივი და განივი მიმართულებით გათვალისწინებულია საკუთარი რხევის 6 ფორმა.

ანგარიშის შედეგად მიღებული იქნა, ძალგების მნიშვნელობა სტატიკურ და სეისმური დატვირთვის ხუთი თანწყობისათვის (სტატიკური დატვირთვები, სტატიკა+სეისმიკა X დერძის მიმართულებით, სტატიკა+სეისმიკა Y დერძის მიმართულებით, სტატიკა-სეისმიკა X დერძის მიმართულებით, სტატიკა – სეისმიკა Y დერძის მიმართულებით). X დერძის მიმართულება ორიენტირებულია მინაშენის გრძივად, ხოლო Y დერძის მიმართულება – განივად.

კომპიუტერული ანგარიშის გრაფიკული ნაწილი მოცემულია დანართში.

**მიშენების არსებული ლითონის სივრცითი ჩარჩოს, როგორც ცალკე მდგომი
კონსტრუქციის გაანგარიშების შედეგები**

მინაშენის ლითონის ჩარჩო განხილული იქნა დღეს არსებული მდგომარეობის მიხედვით. ჩარჩოს ელემენტების გეომეტრიული ზომები და მასალების ფიზიკურ-მექანიკური მასასიათებლები მიღებული იქნა ჩატარებული აზომვების და მასალების

კვლევის საფუძველზე. კომპიუტერულ ანგარიშში გათვალისწინებულ იქნა ფუძე-გრუნტის გავლენა კონსტრუქციის დაძაბულ-დეფორმირებულ მდგომარეობაზე. გაანგარიშებით მიღებული იქნა შემდეგი პარამეტრები:

1. მინაშენის მაქსიმალური გერტიკალური გადაადგილებები ძირითადი თანაწყობის დატვირთვებისაგან – 17 სმ.

2. მინაშენის საკუთარი რხევების ფორმების შესაბამისად

I ფორმა – $T_1 = 2.41$; II ფორმა – $T_2 = 1.82$; III ფორმა – $T_3 = 1.46$;

IV ფორმა – $T_4 = 1.34$; V ფორმა – $T_5 = 1.09$; VI ფორმა – $T_6 = 1.02$;

3. მინაშენის მაქსიმალური გადაადგილება გრძივი მიმართულებით განსაკუთრებული თანწყობის დატვირთვების გრძივი მიმართულებით მოქმედებისას

$$\Delta y = 22.5 \text{ სმ}$$

4. მაქსიმალური გადაადგილება განივი მიმართულებით განსაკუთრებული თანწყობის დატვირთვების განივი მიმართულებით მოქმედებისას

$$\Delta x = 41.7 \text{ სმ}$$

გაანგარიშებით მიღებული მინაშენის კონსტრუქციის მაქსიმალური გადაადგილებები მიუთითებს იმაზე, რომ კონსტრუქცია ძალიან მოქნილია. სეისმური ზემოქმედების დროს ასეთი გადაადგილებებისას მოსალოდნელია ნაგებობის მდგრადობის დაკარგავა.

შედეგად, არსებული სახით მინაშენის ექსპლუატაცია დაუშვებელია და საჭიროებს დემონტაჟს ან სათანადო გაძლიერებას.

ჩვენი აზრით მინაშენის გაძლიერება არა რენტაბელურია, რადგან მისი გაძლიერება ძალიან ძვირი დაჯდება, ვიდრე დემონტაჟი და იგივე კონსტრუქციების გამოყენებით ახალი მიშენების აგება შესაბამისი პროექტის მიხედვით.

IV.2.5. კვლევისა და გაანგარიშების შედეგების ანალიზი, დასკვნა-რეკომენდაციები

საცხოვრებელი სახლის მინაშენების ტექნიკური მდგომარეობის გამოკვლევის შედეგების ანალიზმა გვიჩვენა, რომ მის ლითონის მზიდ კონსტრუქციებში განვითარებული დაფენტები, გამოწვეულია არასრულყოფილი პროექტირებით, სამშენებლო-სამონტაჟო სამუშაოების არაკვალიფიციურად განხორციელების და ნაგებობის არასწორი ექსპლუატაციის შედეგად.

გამოკვლევის შედეგად დადგინდა შემდეგი დაფენტები და დაზიანებები:

1. დღეისათვის სხვადასხვა სართულებზე არ არის დამთავრებული კედლების მოწყობა.

2. მინაშენის ლითონის მზიდ კონსტრუქციებში და მათ შემაერთებელ კვანძებში ლითონის შედუღების გამოკვლევამ გვიჩვენა, რომ შედუღების შესრულების ხარისხი დაბალია. არ არის დაცული შედუღების სიმაღლის სტანდარტი, რომელიც დამოკიდებულია შესაღუღებელი ლითონის სისქეზე. განსაკუთრებით ეს აისახება პორიზონტალურ, ვერტიკალურ და ე.წ. „ჭერის“ შედუღებებზე.

3. მინაშენის როგორც ცალკე მდგომი სივრცითი სისტემის, ანგარიშმა (სტატიკურ და დინამიკურ დატვირთვებზე) გვიჩვენა, რომ სასხვენო გადახურვის დონეზე მაქსიმალური გადაადგილება $\delta=41.7$ სმ-ის ტოლია, ხოლო თავისუფალი საკუთარი რხევის პირველი პერიოდი $T_1=2.41$ წმ-ის ტოლია. ეს სიდიდეები მეტია (ამ ტიპის შენობებისათვის) დასაშვებზე. ანგარიშის საფუძველზე დადგინდა, რომ ასეთი გადაადგილებების დროს სივრცითი ჩარჩოს სვეტები კარგავს მდგრადობას.

4. მინაშენის სივრცითი ლითონის ჩარჩოს სტატიკური და დინამიკური დატვირთვების შედეგად მიღებული მონაცემების (ძალვების) საფუძველზე გაანგარიშებული იქნა შედუღების სიგრძეები, აღმოჩნდა, რომ შედუღების ნაკერების სიგრძეების თეორიული მნიშვნელობები ტოლია ან ნაკლებია კვანძებში არსებულ შედუღების სიგრძეებზე. გამოკვლევით დადგინდა, რომ „ჭერის“ და ვერტიკალური შედუღებები არ არის განხორციელებული სათანადო დონეზე, იგი უხარისხოა. მინაშენი წლების განმავლობაში იმყოფებოდა ატმოსფერული ნალექების აქტიური ზემოქმედების ქვეშ, ამიტომ შედუღებები და ლითონის ელემენტების ზედაპირები დაფარულია ქანგის ფენით. ზოგ შემთხვევაში ნაკერის სიმაღლე არ შეესაბამება ნორმარტიულ მნიშვნელობებს.

5. მინაშენის ვერტიკალიდან გადახრის სიდიდე ორიგე მიმართულებით აღწევს 20 სმ-ს, რაც გაცილებით დიდია დასაშვებზე $\frac{H}{500} = \frac{13.25}{500} = 2.65$ სმ.

6. მიშენება ამჟამად განიცდის ჯდომას. ჯდომის სიდიდე აღწევს 20 სმ-ს და ჯდომის პროცესი ატარებს პროგრესირებად ხასიათს. საძირკვლისა და ფუძე-გრუნტის გამოკვლევამ გვიჩვენა, რომ სვეტების ქვეშ საძირკვლებს აქვს უჩვეულო ფორმა და იგი ჩაღრმავებულია იმ ფენაში, რომელსაც აქვს ყველაზე დაბალი მექანიკური მახასიათებლები.

7. იატაკი დახრილია, რომლის სიდიდე აღწევს $8 \div 10$ სმ-ს.

8. მინაშენის სართულებული გადახურვის ფილები განიცდიან ვიბრაციას, რაც თანდათანობით მატულობს სართულის სიმაღლის ცვლილებასთან ერთად.

9. მინაშენის არსებულ მდგომარეობაში დატოვება ყოვლად დაუშვებელია.

10. მინაშენის აღდგენა-გაძლიერებისათვის და შენარჩუნებისათვის გამოიკვეთა ორი ვარიანტი.

- ა) მინაშენს უნდა მოეხსნას I სართულის ზემოთ ოთხი სართული, გაძლიერდეს საძირკვლები, I სართულის სვეტები, გახისტდეს ჩარჩოები გრძივი და განივი მიმართულებით, შემდეგ მოხდეს ზედა სართულების ხელახლა დაშენება;
- ბ) განხორციელდეს მინაშენის დემონტაჟი. არსებული ლითონის კონსტრუქციების გამოყენებით შესაძლებელია ახალი მიშენების აგება შესაბამისი პროექტის მიხედვით.

დასბონა

ჩატარებული გამოკვლების შედეგების ანალიზის საფუძველზე დადგინდა, რომ მინაშენის ტექნიკური მდგომარეობა არ შეესაბამება: სეისმომედეგობის და მდგრადობის ნორმატიული დოკუმენტების – СНиП II-23-81* (ლითონის კონსტრუქციები); СНиП II-7-81* (მშენებლობა სეისმურ რაიონებში) და საქართველოს სახმშენის მიერ №82-5* 1991 წელს დამტკიცებული „შენობების რეკონსტრუქციის (მიშენება-დაშენება) პროექტირების დროებითი რეკომენდაციების“ მოთხოვნებს. იგი მწვავე ავრიულ მდგომარეობაშია, მინაშენის ექსპლუატაცია დაუშვებელია, საჭიროებს დაუყოვნებლივ დემონტაჟს, მთალიანად ან პირველი სართულის გადახურვის დონეზე. შესაძლებელია არსებული ლითონის კონსტრუქციების გამოყენება, საძირკვლების ახლიდან მოწყობა და შესაბამისი პროექტის მიხედვით ახალი მიშენების აგება (ძირითადი შენობის როგორც საძირკვლები, ასევე მზიდი კონსტრუქციები დამაკმაყოფილებელ მდგომარეობაშია).

IV.3. ქ. ტყიბულში ამბროლაურის გზის მიმდებარე სანიტალურ ზონაში საფილტრი სადგურის შენობა (გადახურვის, „ПКЖ“-ის ტიპის ფილის ავარიულ ჩამოშლასთან დაკავშირებით სახურავის ავარიული მდგომარეობის შესწავლა-გაანალიზება)

IV.3.1. შენობის ტექნიკური მდგომარეობის გამოკვლევა

გამოსაკვლევი შენობა მდებარეობს ქ. ტყიბულში, ამბროლაურის გზის მიმდებარედ. იგი აშენებულია გასული საუკუნის 60-იან წლებში. ნაგებობა განთავსებულია სწორ რელიეფზე. შენობა გეგმაში სწორკუთხედის ფორმისაა, გაბარიტული ზომებით 36.0×54.0 მ.

ობიექტის ვიზუალური დათვალიერების შედეგად დადგინდა, რომ:

- შენობა „8-10“ ღერძებში „ა-ბ-გ“ მაღში ორსართულიანია, ზომებით 12.0×24.0 , სართულის სიმაღლე შეადგენს 3 მ-ს.

- „შენობა „გ-დ“ მალში „2-10“ ღერძებში ერთსართულიანია, სიმაღლით 6 მ.
- „ბ-გ“ მალში „1-10“ ღერძებში ორსართულიანია.
- „ა-ბ“ მალში „1-10“ ღერძებში ტექნოლოგიური პროცესებიდან გამომდინარე „ა-ბ“ მალის ნახევარში, „1-10“ ღერძებში ერთსართულიანია, ხოლო მეორე ნახევარში ორსართულიანია.

გამოსაკვლევი შენობის ძირითად მზიდ კონსტრუქციას წარმოადგენს ანაკრები სიგრცითი კარკასი, სვეტებით 40×40 სმ. რიგელების როლს ასრულებს მეორე სართულის ანაკრები ორქანობიანი კოჭები. სახურავი შესრულებულია წიბოვანი ფილებით, ე.წ. პკჯ (სურ. IV.31, IV.32), რომელთა საშუალებით მიიღწევა შენობის საერთო გრძივი სიხისტე.



სურ. IV.31.



სურ. IV.32.

ორსართულიანი ნაგებობის სართულშეა გადახურვა შესრულებულია ანაკრები ღრუბანიანი ფილებით.

სიგრცითი კარკასის შევსება განხორციელებულია აგურის წყობით, სისქით 38 სმ (სურ. IV.33, IV.34).



სურ. IV.33.



სურ. IV.34.

კარისა და ფანჯრის ზღუდარები განხორციელებულია რკინაბეტონის კოჭებით, რაც შეეხება საძირკვლებს, ისინი კვლევის მიზანს არ წარმოადგენდა.

ინსტრუმენტული კვლევის შედეგად დადგინდა, რომ ბეტონის მარტა შეადგენს $300 \div 350$ კგ/მ²-ს.

შენობის ფიზუალური დათვალიერებითა და ინსტრუმენტული გამოკვლევით დადგინდა, შემდეგი:

I. რკინაბეტონის ორქანობიანი კოჭები

ა-პ მალი

„1-1“ დერძი – კოჭის ქვედა სარტყელს აქვს განშრევადობა, ჩანს კოროზიული არმატურები, კედლის ბეტონის დამცავი შრე მცირეა, ჩანს საკიდები. კონსტრუქციის საყრდენებთან შეინიშნება ატმოსფერული ნალექების გავლენა. საყრდენთან სვეტის და კოჭის შეერთების ჩასატანებელი დეტალი კოროზირებულია.

„2-2“ დერძი – კოჭს ქვედა და ზედა სარტყელში აქვს განშრევადობა. დაზიანებულია ასევე საყრდენი კვანძების ჩასატანებელი ფურცელი. კოჭი განიცდის ატმოსფერული ნალექების ზემოქმედებას. რადგან გარემო, ტექნოლოგიური პროცესიდან გამომდინარე, დაბინძურებულია (დატენიანებულია), ამიტომ ბეტონი განიცდის გამოტუტვას.

„3-3“ დერძი – კოჭი მთლიანად დაზიანებულია, აქვს გამოტუტვის ნიშნები.

„4-4“ დერძი – კოჭის ქვედა სარტყელში შეინიშნება განშრევადობა; საყრდენებთან აქვს გამოტუტვის ნიშნები; საყრდენი კვანძი დაზიანებულია; არის ლითონის ელემენტების კოროზია ($0.5 \div 1.2$ მმ).

„5-5“, „6-6“, „7-7“ დერძები – კოჭის ქვედა სარტყელში ბეტონის დამცავი შრე დაზიანებულია. არმატურა და საყრდენი კვანძი კოროზირებულია.

„8-8“ დერძი – დერძის კოჭი განიცდის ატმოსფერული ნალექების ზემოქმედებას. მის კედლებში შეინიშნება გამოტუტვის ნიშნები.

„9-9“, „10-10“ დერძი – შედარებით ნორმალურ მდგომარეობაშია.

„ბ-გ“ მალი

„1-1“ დერძი – შედარებით ნორმალურ მდგომარეობაშია.

„2-2“ დერძი – კოჭის კედელი დაზიანებულია ატმოსფერული ნალექის და მავნე აირების ზემოქმედების გამო, ქვედა სარტყელში შეიმჩნევა განშრევადობა, ჩანს კოროზირებული არმატურა. საყრდენებთან კოჭის და სვეტის შეერთების კვანძის ლითონის ელემენტები კოროზირებულია ($0.6 \div 1.1$ მმ).

„3-3“, „4-4“, „5-5“, „6-6“, „7-7“ დერძი – კოჭების მდგომარეობა ერთმანეთის ანალოგიურია. ქვედა სარტყელში აქვს განშრევადობა, ჩანს კოროზირებული არმატურა. კოჭის კედლის ბეტონის დამცავ შრეში შეიმჩნევა გამოტუტვის ნიშნები. საყრდენი კვანძის ელემენტები კოროზირებულია ($0.8 \div 1.6$ მმ).

„8-8“ დერძი – კოჭის მდგომარეობა შედარებით კარგია მუშაობის პირობების თვალსაზრისით, რადგან მისი ქვედა სარტყელი მთლიანად ეყრდნობა აგურის მზიდ

კედელს. მისი კედლები, ასევე განიცდის ატმოსფერული ნალექების ჩადინებას. დამცავი შრე დაზიანებულია.

„9-9“ ღერძი – კოჭის საყრდენებთან კვანძები დაზიანებულია. მისი ლითონის ელემენტები ასევე კოროზირებულია ($0.7 \div 1.2$ მმ).

„10-10“ ღერძი – კოჭის მდგომარეობა შედარებით ნორმალურია, თუმცა მის საყრდენებთან და კედლებთან შეიმჩნევა გამოტუტვის ნიშნები.

„გ-დ“ მალი

„1-1“ ღერძი – შედარებით ნორმალურ მდგომარეობაშია.

„2-2“, „3-3“, „4-4“, „5-5“, „6-6“, „7-7“, „8-8“ ღერძი – კოჭის კედელი განიცდის ატმოსფერული ნალექების ჩადინებას, კედლებში შეიმჩნევა გამოტუტვის ნიშნები. საყრდენებთან კვანძის ელემენტები კოროზირებულია. ქვედა სარტყელში შეიმჩნევა განშრევადობა და ჩანს კოროზირებული არმატურა ($0.5 \div 0.9$ მმ).

„9-9“ ღერძი – კოჭის კედელი დაზიანებულია, ის 1 მ²-ის ფარგლებში მოლიანად დაშლილია.

„10-10“ ღერძი – კოჭის კედელი განიცდის ატმოსფერული ნალექების ზემოქმედებას.

უნდა აღინიშნოს რომ, „ა-ბ-გ-დ“ „1-1“, „ა-ა“, „1-10“, „10-10“, „ა-ბ-გ-დ“, „დ-დ“, „1-10“ ღერძებში აგურის შემოფარგლავი კედელი განიცდის ატმოსფერული ნალექების მოქმედებას და ის ზოგ ადგილებში იშლება (ბათქაში იშლება), ასევე „ბ-ბ“, „1-10“, „გ-გ“, „1-10“ ღერძებში შემვსები აგურის კედელიც განიცდის ატმოსფერული ნალექების გავლენას. ბათქაში ჩამოცვენილია და აგური იშლება.

მე-2 სართულის რკინაბეტონის სვეტები ამჟამად შელესილია და არსებული დაზიანებები არ ჩანს.

პირველი სართულის სვეტების მდგომარეობა არადამაკმაყოფილებელია. „ბ-ბ“ ღერძის გასწვრივ „8-7-6-5-4-3“ ღერძებზე სვეტებს აქვთ განშრევადობა, კიდევები ჩამომტვრეულია, ჩანს დეფორმირებული არმატურა და განიცდის კოროზიას.

IV.3.2. გადახურვის წიბოვანი ფილების ტექნიკური მდგომარეობის გამოკვლევა

„ა-ბ“ მალი – „1-2“ ღერძის წიბოვანი ფილები

ფილა №1 (6×3 მ) გრძივი წიბოები დაზიანებულია, ჩანს კოროზირებული ფ20 არმატურა. ასევე დაზიანებულია შუალედური განივი წიბოები და მათ შორის შემავსებელი ფილა.

ფილა №13 (1×6 მ) გრძივი წიბოები დაზიანებულია, ჩანს კოროზირებული არმატურა. ფილაში შეიმჩნევა გამოტუტვის ნიშნები. კოროზიის სისქე 0.5÷1.3 მმ.

ფილა №14 (1×6 მ) გრძივი წიბოები დაზიანებულია, ჩანს კოროზირებული არმატურა. ფილაში შეიმჩნევა გამოტუტვის ნიშნები. კოროზიის სისქე 0.6÷1.2 მმ.

ფილა №15 (1×6 მ) შეიმჩნევა გრძივი წიბოების დაზიანება, ჩანს კოროზირებული არმატურა. დაზიანებები შეინიშნება საყრდენების მახლობლად 1 მ სიგძეზე. კოროზიის სისქე 0.4÷0.9 მმ.

„ა-ბ“ მალი, „2-3“ ლერძი – გადახურვის წიბოვანი ფილები

ფილა №1 (3×6 მ) შეიმჩნევა გრძივი წიბოების მცირე დაზიანება.

ფილა №2 (3×6 მ) შეიმჩნევა გრძივი წიბოების დაზიანება. ჩანს კოროზირებული არმატურა. ფილას აქვს განშრევადობა და გამოტუტვის ნიშნები. კოროზიის სისქე 0.5÷1.1 მმ.

ფილა №3 (3×6 მ) შეიმჩნევა გრძივი წიბოების დაზიანება. ჩანს კოროზირებული არმატურა. ფილას აქვს განშრევადობა და გამოტუტვის ნიშნები. კოროზიის სისქე 0.5÷1.1 მმ.

ფილა №4 (3×6 მ) შეიმჩნევა გრძივი წიბოების დაზიანება. ჩანს კოროზირებული არმატურა. ფილას აქვს განშრევადობა და გამოტუტვის ნიშნები. კოროზიის სისქე 0.3÷0.8 მმ.

„ბ-გ“ მალი, „2-3“ ლერძი – გადახურვის წიბოვანი ფილები

ფილა №1 (1×6 მ) შეიმჩნევა განშრევადობა, გამოტუტვის ნიშნები. ჩანს კოროზირებული არმატურა. კოროზიის სისქე 0.5÷0.9 მმ.

ფილა №2 (1×6 მ) გრძივი წიბოები დაზიანებულია. ჩანს კოროზირებული არმატურა. ფილაში შეინიშნება ქვედა შრის დაზიანება ატმოსფერული ნალექებისა და მავნე აირების ზეგავლენის შედეგად. კოროზიის სისქე 0.4÷1.0 მმ.

ფილა №3 (1×6 მ) გრძივი წიბოები დაზიანებულია. ჩანს კოროზირებული არმატურა. ფილაში შეინიშნება ქვედა შრის დაზიანება ატმოსფერული ნალექებისა და მავნე აირების ზეგავლენის შედეგად. კოროზიის სისქე 0.4÷1.0 მმ.

ფილა №4 (1×6 მ) გრძივი წიბოები დაზიანებულია. ჩანს კოროზირებული არმატურა. ფილაში შეინიშნება ქვედა შრის დაზიანება ატმოსფერული ნალექებისა და მავნე აირების ზეგავლენის შედეგად. კოროზიის სისქე 0.6÷1.3 მმ.

ფილა №5 (1×6 მ) გრძივი წიბოები დაზიანებულია. ჩანს კოროზირებული არმატურა. ფილაში შეინიშნება ქვედა შრის დაზიანება ატმოსფერული ნალექებისა და მავნე აირების ზეგავლენის შედეგად. კოროზიის სისქე 0.5÷1.2 მმ.

ფილა №4 (6×3 მ) შეიმჩნევა გრძივი წიბოების დაზიანება. ჩანს კოროზირებული არმატურა. აქვს გამოტუტვის ნიშნები. კოროზიის სისქე 0.5÷1.1 მმ.

„გ-დ“ მაღი, „3-4“ ღერძი – გადახურვის წიბოები ფილები

ფილა №1 (6×3 მ) შეიმჩნევა გრძივი წიბოების დაზიანება. აქვს გამოტუტვის ნიშნები. განიცდის ატმოსფერული ნალექების ზემოქმედებას. კოროზიის სისქე 0.5÷1.6 მმ.

ფილა №2 (6×3 მ) შეიმჩნევა გრძივი წიბოების დაზიანება. აქვს გამოტუტვის ნიშნები. განიცდის ატმოსფერული ნალექების ზემოქმედებას. კოროზიის სისქე 0.3÷1.2 მმ.

ფილა №3 (6×3 მ) შეიმჩნევა გრძივი წიბოების დაზიანება. აქვს გამოტუტვის ნიშნები. განიცდის ატმოსფერული ნალექების ზემოქმედებას. კოროზიის სისქე 0.4÷1.3 მმ.

ფილა №4 (6×3 მ) შეიმჩნევა გრძივი წიბოების დაზიანება. აქვს გამოტუტვის ნიშნები. განიცდის ატმოსფერული ნალექების ზემოქმედებას. კოროზიის სისქე 0.5÷1.2 მმ.

„ა-ბ“ მაღი, „4-5“ ღერძი – გადახურვის წიბოები ფილები

ფილა №1 (6×3 მ) აქვს მცირე დაზიანება.

ფილა №2 (6×3 მ) ჩამონარეულია.

ფილა №3 (6×3 მ) შეიმჩნევა გრძივი წიბოების დაზიანება საყრდენებთან.

ფილა №4 (6×3 მ) შეიმჩნევა გრძივი წიბოების დაზიანება საყრდენებთან.

„ბ-გ“ მაღი, „4-5“ ღერძი – გადახურვის წიბოები ფილები

ფილა №1 (6×3 მ) შეიმჩნევა გრძივი და განივი წიბოების მცირე დაზიანება. საყრდენებთან აქვს განშრევადობა. განიცდის ატმოსფერული ნალექების ზემოქმედებასა და მავნე აირებს გავლენას.

ფილა №2 (6×3 მ) შეიმჩნევა გრძივი და განივი წიბოების მცირე დაზიანება. საყრდენებთან აქვს განშრევადობა. განიცდის ატმოსფერული ნალექების ზემოქმედებასა და მავნე აირებს გავლენას.

ფილა №3 (6×3 მ) შეიმჩნევა გრძივი და განივი წიბოების მცირე დაზიანება. საყრდენებთან აქვს განშრევადობა. განიცდის ატმოსფერული ნალექების ზემოქმედებასა და მავნე აირებს გავლენას.

ფილა №4 (6×3 მ) შეიმჩნევა გრძივი და განივი წიბოების მცირე დაზიანება. საყრდენებთან აქვს განშრევადობა. განიცდის ატმოსფერული ნალექების ზემოქმედებასა და მავნე აირებს გავლენას.

„გ-დ“ მაღი, „4-5“ ღერძი – გადახურვის წიბოები ფილები

ფილა №1÷№4 (6×3 მ) საყრდენებთან შეიმჩნევა გამოტუტვის ნიშნები, აქვს მცირე გზარები.

„ა-ბ“ მალი, „გ-დ“ ლერძი – გადახურვის წიბოვანი ფილები

ფილა №1 (6×3 მ) სხვებთან შედარებით მცირედ დაზიანებულია.

ფილა №2 (6x3 გ) სხვებთან შედარებით მცირედ დაზიანებულია.

ფილა №3 (6x3 გ) საყრდენებოან დაზიანებულია გრძივი წიბოები.

ფილა №4 (6×3 მ) საყრდენებოან შეიმჩნევა გრძივი წიბოების დაზიანება. ჩანს კოროზირებული არმატურა.

„3-გ“ მალი, „5-6“ ღერძი – გადახურვის წიბოვანი ფილები

ფილა №1 (6×3 მ) შეიმჩნევა გრძივი წიბოების დაზიანება. საყრდენებთან ჩანს კოროზიული არმატურა. აქვს გამოტუტვის ნიშნები. კოროზიის სისქე $0.3 \div 1.1$ მმ.

ფილა №2 (6×3 მ) შეიმჩნევა გრძივი წიბოების დაზიანება. საჭრდენებთან ჩანს კოროზირებული არმატურა. აქვს გამოტუტვის ნიშნები. კოროზიის სისქე $0.5 \div 1.2$ მმ.

ფილა №3 (6×3 გ) შეიმჩნევა გრძივი წიბოების დაზიანება. საყრდენებთან ჩანს კოროზირებული არმატურა. აქვს გამოტუტვის ნიშნები. კოროზიის სისქე $0.4 \div 1.3$ მმ.

ფილა №4 (6×3 მ) შეიმჩნევა გრძივი წიბოების დაზიანება. საყრდენებთან ჩანს კოროზიული არმატურა. აქვს გამოტუტვის ნიშნები. კოროზიის სისქე $0.3 \div 0.9$ მმ.

„ა-ბ“ მალი, „გ-ზ“ დერძი – გადახურვის წიბოვანი ფილები

ფილა №1 (6x3 გ) სხვებთან შედარებით მცირედ დაზიანებულია.

ფილა №2 (6×3 გ) აქვს გრძივი წიბოების მცირე დაზიანება.

ფილა №3 (6×3 მ) აქვს გრძივი წიბოების მცირე დაზიანება. შეიმჩნევა კოროზიის ნიშნები. კოროზიის სისქე $0.3 \div 0.9$ მმ.

ფილა №4 (6×3 მ) აქვს გრძივი წიბოების მცირე დაზიანება. შეიმჩნევა კოროზიის ნიშნები. კოროზიის სისქე $0.4 \div 0.9$ მმ.

„5-8“ მალი, „6-7“ ლერძი – გადახურვის წიბოვანი ფილები

ფილა №1 (6×3 გ) შეიმჩნევა გრძივი და განივი წიბოების მცირე დაზიანება.

ფილა №2 (6×3 მ) შეიმჩნევა გრძივი და განივი წიბოების მცირე დაზიანება.

ფილა №3 (6×3 გ) შეიმჩნევა გრძივი და განივი წიბოების მცირე დაზიანება.

ფილა №4 (6×3 გ) შეიმჩნევა გრძივი და განივი წიბოების მცირე დაზიანება.

„ა-ბ“ მაღი, „7-8“ ღერძი – გადახურვის წიბოვანი ფილები

ფილა №1 (6×3 მ) სხვებთან შედარებით მცირედ დაზიანებულია.

ფილა №2 (6×3 მ) შეიმჩნევა გამოტუტვის ნიშნები. საყრდენებთან ჩანს გრძივი და განივი წიბოების დაზიანების ნიშნები.

ფილა №3 (6×3 მ) შეიმჩნევა გამოტუტვის ნიშნები. საყრდენებთან ჩანს გრძივი და განივი წიბოების დაზიანების ნიშნები.

ფილა №4 (6x3 მ) აქვს განშრევადობა. ჩანს გრძივი წიბოების დაზიანებული კვეთები. დამცავი შრე დაზიანებულია და აქვს გამოტუტვის ნიშნები.

„ბ-გ“ მალი, „7-8“ ლერძი – გადახურვის წიბოვანი ფილები

ფილა №1 (6×3 მ) შეიმჩნევა გრძივი და განივი წიბოების დაზიანება საყრდენებთან. ჩანს კოროზირებული არმატურა. აქვს გამოტუტვის ნიშნები და შინიშნება განშრევადობა. კოროზიის სისქე $0.4 \div 0.9$ მმ.

ფილა №2 (6×3 მ) შეიმჩნევა გრძივი და განივი წიბოების დაზიანება საყრდენებთან. ჩანს კოროზირებული არმატურა. აქვს გამოტუტვის ნიშნები და შინიშნება განშრევადობა. კოროზიის სისქე $0.5 \div 1.1$ მმ.

ფილა №3 (6×3 მ) შეიმჩნევა გრძივი და განივი წიბოების დაზიანება საყრდენებთან. ჩანს კოროზირებული არმატურა. აქვს გამოტუტვის ნიშნები და შინიშნება განშრევადობა. კოროზიის სისქე $0.6 \div 1.3$ მმ.

ფილა №4 (6×3 მ) შეიმჩნევა გრძივი და განივი წიბოების დაზიანება საყრდენებთან. ჩანს კოროზირებული არმატურა. აქვს გამოტუტვის ნიშნები და შინიშნება განშრევადობა. კოროზიის სისქე $0.5 \div 1.2$ მმ.

ვიზუალური დათვალიერების შედეგად, ასევე გამოირკვა, რომ პირველი სართულის სართულშეა გადახურვის მონოლითური წიბოვანი ფილები თითქმის მთლიანად დაზიანებულია. აქვს განშრევადობა, ჩანს კოროზირებული არმატურა. განიცდის ტენიანი ჰაერის მუდმივ გავლენას. ტექნოლოგიური პროცესის გამო მეორე სართულიდან ჩამოდის წყალი.

არსი რომლის საშუალებითაც ხდებოდა წყლის დაცლა დაზიანებულია „გ-დ“ მალის „8-10“ ლერძებში. ამჟამად, აღნიშნული ფართი სავსეა ქიმიურად დაბინძურებული წყლით, რაც უარყოფით ზეგავლენას ახდენს შენობის საძირკველზე და შესაძლებელია გამოიწვიოს მთლიანად შენობის ჯდენითი დეფორმაცია.

გარდა ამისა, სახურავზე დატანილია, დამატებით, გადახურვის ფენილები. ზამთრის პერიოდის განმავლობაში მასში ჩაგროვდა გამდნარი თოვლის წყალი, რამაც წარმოქმნა ტემპერატურული ძაბვები და დამატებითი დატვირთვა, რის შედეგადაც ჩამოინგრა ფილა. ანალოგიური ნგრევის საშიშროება არის სხვა ფილებშიც.

სახურავზე დამოწმებულ „ПКЖ“-ს ტიპის ფილებს მუშაობა უწევს აგრესიულ გარემოში წლების მანძილზე, შენობაში ხდება წყლის აორთქლება და კონდენსირება ფილების ზედაპირზე. ზედა მხრიდან დაზიანებული იყო ტოლის ბურული და წვიმის წყლის ჩადინების გამო ფილები წლების განმავლობაში იყო წყლის ზემოქმედების ქვეშ, 2012 წლის სექტემბრის თვეში მოხდა სახურავის რემონტი, კერძოდ მოიხსნა ტოლის ბურული და ბიტუმის ზედა ფენები, ხოლო ქვედა საიზოლაციო ფენები კი დარჩა და მათზე ქანობის მოსაწყობად დაემატა პემზის ნაყარი და გაუკეთდა მოჭიმვა დაახლოებით 8 სმ-ზე, რაც ჩანს ჩამონგრეული ფილის ადგილზე (ი. ფოტოფიქსაცია დანართში). შემდეგ პროექტით გათვალისწინებული ბურულის საფარი არ მოწყობილა. ამასთან, მოხდა სავენტილაციო არხების დაფარვა, რასაც დაემატა მეტალოპლასტმასის

ფანჯრების მონტაჟი, რამაც გამოიწვია ჩაკეტილი სივრცის შექმნა. ტექნოლოგიური პროცესიდან გამომდინარე ჩაკეტილ სივრცეში აორთქლებული მასის კონდენსირება იწვევს არა მარტო გადახურვის ფილების, არამედ გადახურვის კოჭების, სვეტების, კედლების ბეტონისა და არმატურის ეროზიასა და კოროზიას, რომლის განვითარების სიჩქარე არის მაქსიმალური (დაახლოებით 1.6 მმ და მეტი წელიწადში). აქედან გამომდინარე შედეგი არის კატასტროფული. აუცილებელია, პირველ რიგში სავენტილაციო არხების გახსნა, ფანჯრების მოხსნა (ამოღება) რათა გადავარჩინოთ შენობის მზიდი კონსტრუქციები. ფილები დაზიანებულია და მათი 90% ავარიულია, რაც აუცილებელ დემონტაჟს მოითხოვს.

შენობის მზიდ კონსტრუქციებზე შეინიშნება მწვავე ეროზიისა და კოროზიის მოვლენები, რომლებიც ერთმანეთს ახლავს. კოროზია არის ქიმიური ზემოქმედების შედეგი და ქიმიური გარდაქმნის პროცესი, ხოლო ეროზია სუფთა ფიზიკური პროცესია. გაძლიერებული ეროზიული ზემოქმედებით კონსტრუქციის ზედაპირიდან ხდება დამცავი შრის მოცილება, რაც გამოწვეულია ტუტოვანი ჰიდროლიზის დესტრუქციული პროცესებით. ეროზიის გამომწვევი ფაქტორები შეიძლება განაწილდეს შემდეგნაირად: წყლის ზემოქმედება, ტემპერატურული ზემოქმედება, აბრაზიული ზემოქმედება და სინათლის ზემოქმედება.

წყლის ზემოქმედებამ ხელი შეუწყო გადახურვის ფილებში არსებული შემკვრელი მასალის გამოტუტვას, სხვადი აირების აგრესიული იონებისგან ტრანსპორტირებისას (როგორიცაა O_2 ან CO_2) მასალის შიგნით გაბერვის და გამოშრობის სახით. ამას გარდა წყალმა შექმნა მიკროორგანიზმების საკვები გარემო, რომლებიც აგრესიულად მოქმედებს მასალის თბოსაიზოლაციო თვისებაზე.

წვიმის წყალი, რომელიც წლების მანძილზე რეცხავდა ფილებს იწვევდა მის გამოუტვას. აქედან გამომდინარე წყალი ითვლება კოროზიული და ეროზიული პროცესების გადამწყვეტ ფაქტორად. დეფორმაციები მიმდინარეობს კონსტრუქციის გაბერვით. აღნიშნული დეფორმაცია ყოველთვის ნაკლებია ტემპერატურულ დეფორმაციაზე, მაგრამ მოცულობებში შეუძლია შექმნას დაძაბულობა, რომელმაც გამოიწვა ბზარების წარმოქმნა. ბზარებში შედის წყალი, იყინება და შლის ზედაპირს და აზიანებს შიგა სტრუქტურას.

ჩვენს შემთხვევაში ადგილი აქვს პროცესირებულ ეროზიას, რაც მოიცავს დეფექტების მთელ სპექტრს. ასეთი დეფექტები შეიძლებოდა ადვილად აგვეშორებინა თავიდან კვალიფიციური დაპროექტებით (ტექნოლოგიური პროცესის გათვალისწინებით) და სწორი მშენებლობით (რემონტით).

არმატურის კოროზია გამოწვეულია დამცავი შრის მოცილებით და ლითონზე ნესტისა და წყლის დიდი რაოდენობით მოხვედრით.

ჩვენს ამოცანას არ წარმოადგენდა შენობის ყველა მზიდი კონსტრუქციის შემოწმება, მაგრამ მდგომარეობიდან გამომდინარე შევისწავლეთ შენობის სხვა მზიდი

კონსტრუქციებიც. კერძოდ, რეინაბეტონის სვეტები შენობის პირველ სართულზე დაზიანებულია, აუცილებელია მათი გაძლიერება. მეორე სართულის სვეტები გალესილია და ვერ მოხერხდა მათი შემოწმება. მზიდი კედლები დაშლილია შენობის მეორე ნაწილში.

გამოკვლევის ამსახველი ზოგადი ფოტოფიქსაცია წარმოდგენილია დასკვნებისა და რეკომენდაციების შეძლეობა

IV.3.3. დასკვნა და რეკომენდაციები

ქ. ტყიბულში, ამბროლაურის გზის მიმდებარედ სანიტარულ ზონაში საფილტრი სადგურის გადახურვის „ПКЖ“-ის ტიპის ფილები ავარიულ მდგომარეობაშია, აუცილებლად მიგვაჩნია შენობის ექსპლუატაციის შეჩერება, რათა არ მოხდეს სახურავის რომელიმე ფილის უეცარი ჩამოშლა და მომსახურე პერსონალის დაზიანება.

ავარიულობის მიზეზები: სახურავზე დამონტაჟებულ „ПКЖ“-ს ტიპის ფილებს მუშაობა უწევს აგრესიულ გარემოში წლების მანძილზე, შენობაში ხდება წყლის აორთქლება და კონდენსირება ფილების ზედაპირზე. ზედა მხრიდან დაზიანებული იყო ტოლის ბურული და წვიმის წყლის ჩადინების გამო ფილები წლების განმავლობაში იყო წყლის ზემოქმედების ქვეშ, 2012 წლის სექტემბრის თვეში მოხდა სახურავის რემონტი, კერძოდ მოიხსნა ტოლის ბურული და ბიტუმის ზედა ფენები, ხოლო ქვედა საიზოლაციო ფენები კი დარჩა და მათზე ქანობის მოსაწყობად დაემატა პეტიონი ნაყარი და გაუკეთდა მოჭიმვა დაახლოებით 8 სმ-ზე. შემდეგ პროექტით გათვალისწინებული ბურულის საფარი არ მოწყობილა. ამასთან, მოხდა სავენტილაციო არხების დაფარვა, რასაც დაემატა მეტალობლასტმასის ფანჯრების მონტაჟი, რამაც გამოიწვია ჩაკეტილი სივრცის შექმნა. ტექნოლოგიური პროცესიდან გამომდინარე ჩაკეტილ სივრცეში აორთქლებული მასის კონდენსირება იწვევს არა მარტო გადახურვის ფილების, არამედ გადახურვის კოჭების, სვეტების, კედლების ბეტონისა და არმატურის ეროზიასა და კოროზიას, რომლის განვითარების სიჩქარე არის მაქსიმალური (დაახლოებით 1.6 მმ და მეტი წელიწადში). აქედან გამომდინარე შედეგი არის კატასტროფული. აუცილებელია, პირველ რიგში სავენტილაციო არხების გახსნა, ფანჯრების მოხსნა (ამოდება) რათა გადავარჩინოთ შენობის მზიდი კონსტრუქციები. ფილები დაზიანებულია და მათი 90% ავარიულია, რაც აუცილებელ დემონტაჟს მოითხოვს.

შენობის მზიდ კონსტრუქციებზე შეინიშნება მწვავე ეროზიასა და კოროზიის მოვლენები, რომლებიც ერთმანეთს ახლავს. კოროზია არის ქიმიური ზემოქმედების შედეგი და ქიმიური გარდაქმნის პროცესი, ხოლო ეროზია სუფთა ფიზიკური პროცესია. გაძლიერებული ეროზიული ზემოქმედებით კონსტრუქციის ზედაპირიდან ხდება დამცავი შრის მოცილება, რაც გამოწვეულია ტუტოვანი პიდროლიზის დესტრუქციული

პროცესებით. ერთზის გამომწვევი ფაქტორები შეიძლება განაწილდეს შემდეგნაირად: წყლის ზემოქმედება, ტემპერატურული ზემოქმედება, აბრაზიული ზემოქმედება და სინათლის ზემოქმედება.

წყლის ზემოქმედებამ ხელი შეუწყო გადახურვის ფილებში არსებული შემკვრელი მასალის გამოტუტვას, ხსნადი აირების აგრესიული იონებისგან ტრანსპორტირებისას (როგორიცაა O_2 ან CO_2) მასალის შიგნით გაბერვის და გამოშრობის სახით. ამას გარდა წყალმა შექმნა მიკროორგანიზმების საკვები გარემო, რომლებიც აგრესიულად მოქმედებს მასალის თბოსაიზოლაციო თვისებაზე.

წვიმის წყალი, რომელიც წლების მანძილზე რეცხავდა ფილებს იწვევდა მის გამოუტვას. აქედან გამომდინარე წყალი ითვლება კოროზიული და ერთზიული პროცესების გადამწყვეტ ფაქტორად. დეფორმაციები მიმდინარეობს კონსტრუქციის გაბერვით. აღნიშნული დეფორმცია ყოველთვის ნაკლებია ტემპერატურულ დეფორმაციაზე, მაგრამ მოცულობებში შეუძლია შექმნას დაძაბულობა, რომელმაც გამოიწვა ბზარების წარმოქმნა. ბზარებში შედის წყალი, იყინება და შლის ზედაპირს და აზიანებს შიგა სტრუქტურას.

წვენს შემთხვევაში ადგილი აქვს პროცესირებულ ერთზიას, რაც მოიცავს დეფექტების მთელ სპექტრს. ასეთი დეფექტები შეიძლებოდა ადგილად აგვერებინა თავიდან კვალიფიციური დაპროექტებით (ტექნოლოგიური პროცესის გათვალისწინებით) და სწორი მშენებლობით.

არმატურის კოროზია გამოწვეულია დამცავი შრის მოცილებით და ლითონზე ნესტისა და წყლის დიდი რაოდენობით მოხვედრით. ჰაერში არის წყლის ორთქლი, რომლის რაოდენობა განსაზღვრავს აბსოლუტურ ტენიანობას. ფოლადის ელემენტებზე (არმატურა, შველერი, კუთხოვანა) მიმდინარეობს ინტენსიური კონდენსაცია, რადგან ჰაერის ფარდობითი ტენიანობა გამოსაკვლევ შენობაში აღწევს $75\div80\%$ -ს. ამ შემთხვევაში კოროზიის სიჩქარე იზრდება და შეუძლებად ხასიათს დებულობს.

წვენს ამოცანას არ წარმოადგენდა შენობის ყველა მზიდი კონსტრუქციის შემოწმება, მაგრამ მდგომარეობიდან გამომდინარე შევისწავლეთ შენობის სხვა მზიდი კონსტრუქციებიც. კერძოდ, რეინაბეტონის სვეტები შენობის პირველ სართულზე დაზიანებულია, აუცილებელია მათი გაძლიერება. მეორე სართულის სვეტები გალესილია და გერ მოხერხდა მათი შემოწმება. მზიდი კედლები დაშლილია შენობის მეორე ნაწილში.

რეკომენდაცია

როგორც გამოკვლევიდან და დასკვნებიდან ჩანს შენობა ავარიულია, თითქმის ყველა მზიდი კონსტრუქცია გასაძლიერებელია (80%) საძირკვლების ჩათვლით, ასევე ტექნოლოგიური დანადგარებიც განიცდიან ფიზიკურ და მორალურ ცვეთას. აქედან

გამომდინარე ჩვენი აზრით შენობის რეაბილიტაცია არა რენტაბელური იქნება, მითუმეტეს ტექნოლოგიური პროცესი მოძველებულია და ახალი ტექნოლოგიის დასამონტაჟებლად გაცილებით ნაკლები ფართის და კომპაქტური შენობის აგება უფრო მისაღები იქნება.

თუ დამკვეთი გადაწყვეტს აღნიშნული შენობის შენარჩუნებას, რა თქმა უნდა არა ეკონომიურობიდან, არამედ ქ. ტყიბულის წყლის მიწოდების აუცილებლობიდან გამომდინარე, რომელსაც ჩვენ ვერ ვასაბუთებთ (სცილდება ჩვენი კომპეტენციის ფარგლებს), მაშინ აუცილებლად მიგვაჩნია შემდეგი:

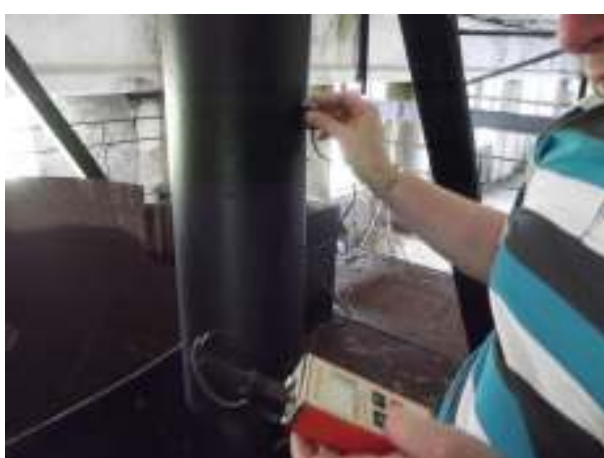
1. შენარჩუნებული იყოს შენობის ის ნაწილი, სადაც მიმდინარეობს ტექნოლოგიური პროცესი (პირველი და მეორე მალი), ხოლო მეორე ნაწილის (მესამე მალის) დემონტაჟი განხორციელდეს;
2. შენარჩუნებისათვის:
 - ა. მთლიანად მოიხსნას შენობის სახურავი (ფილები), დემონტაჟის პროექტის შესრულებით და მისი ზუსტი დაცვით;
 - ბ. შენობის დარჩენილ ნაწილში გაძლიერდეს სვეტები და კოჭები, რომლებიც მითითებულია კვლევით ნაწილში;
 - გ. „ბ“ დერძის გასწვრივ გრძივი მიმართულებით ვერტიკალური კავშირები კოროზირებულია, გამოსულია მწყობრიდან, რაც მოითხოვს აღდგენას.
3. მოქმედის გადახურვა შესაბამისად დამუშავებული პროექტის მიხედვით.

IV.3.4.

ფოტოფიქსაცია – ჩამოშლელი „ПКЖ“



ფოტოფიქსაცია – კორონიის გაზომვა



ფოტოფიქსაცია – დაზიანებული ფილების ფრაგმენტები



ფოტოფიქსაცია – ბეტონის მარკის შემოწმება



ფოტოფიქსაცია – დაზიანებული გადახურვის კოჭები



ფოტოფიქსაცია – კოროზირებული გავშირები



ფოტოფიქსაცია – კოროზირებული გავშირები



ფოტოფიქსაცია – მესამე მალში არსებული წყალი



ფოტოფიქსაცია – ამოქოლილი სავენტილაციო არხები



ფოტოფიქსაცია – დაზიანებული კედელი



ფოტოფიქსაცია – დაზიანებული სვეტები



გამოყენებული დიტერატურა

1. ა. წიქარიშვილი, გ. მანჯავიძე, გ. გარდიაშვილი, ა. წაქაძე, თ. მაღრაძე ბაგირის ტესტირება და მონიტორინგი ბოჭკოვან-ოპტიკური სენსორებით, სამეცნიერო-ტექნიკური ჟურნალი „მშენებლობა“ №3(14), თბილისი, 2009, გვ. 16-20;
2. Варвак П.М. Метод конечных элементов [Текст] / П.М. Варвак, А.С. Городецкий и др. – Киев: Высша школа, 1982. – 176с;
3. ა. წაქაძე, ა. კაცაძე, კ. ბაბილონძე, გ. წიქარიშვილი შენობა-ნაგებობების დეფორმაციების მონიტორინგის სისტემების დამუშავება, სამეცნიერო-ტექნიკური ჟურნალი „მშენებლობა“ №2(21), თბილისი, 2011, გვ. 73-79;
4. Безопасность России, Функционирование и развитие сложных народнохозяйственных, технических, энергетических, транспортных систем, систем связи и коммуникаций. – Т.1. – 444 с. Т.2. – 410 с;
5. Болотин В.В. Ресурс машин и конструкций. – М.: Машиностроение, 1990. – 448 с;
6. Гетман А.Ф. Концепция безопасности "течь перед разрушением" для сосудов и трубопроводов давления АЭС. – М.: Энергоатомиздат, 1999. – 258 с;
7. Гетман А.Ф. Ресурс эксплуатации сосудов и трубопроводов давления АЭС. – М.: Энергоатомиздат, 2000. – 427 с;
8. Коргина М.А. МКЭ-анализ напряженно-деформированного состояния строительных конструкций на основе пространственно-координатных моделей сооружений, полученных в ходе геодезического мониторинга [Текст] / М.А. Коргина, А.В. Коргин // Научные труды международной научно-практической конференции молодых ученых, аспирантов и докторантов "Строительство – формирование среды жизнедеятельности" / Моск. гос. строит. ун-та. – 2007. – С. 126-130;
9. Лужин О.В. Современные методы диагностики и мониторинга строительных конструкций зданий и сооружений – памятников архитектуры [Электронный ресурс] / О.В. Лужин, Ю.С. Кунин // Промышленное и гражданское строительство – М., 2001. – №9. Режим доступа: <http://pgs.newmail.ru>;
10. Матвиенко Ю.Г. Детерминированный анализ безопасности живучести и остаточного ресурса по критериям механики трещин // Заводская лаборатория. – 1997. – №6. – С. 52-58;
11. Матвиенко Ю.Г. Модели и критерии трещиностойкости в проблемах безопасности и живучести // Проблемы машиностроения и надежности машин. – 2001. – №5. – С. 117-126;
12. Махутов Н.А., Котоусов А.Г., Матвиенко Ю.Г. Механика катастроф // Проблемы безопасности при чрезвычайных ситуациях. – 1992. – №7. – С. 29-44;

13. Махутов Н.А., Матвиенко Ю.Г. Подходы механики разрушения в концепции инженерной безопасности // Физико-химическая механика материалов. – 1996. – №2. – С. 35-42;
14. Статические закономерности малоциклового разрушения / Н.А. Махутов, В.В. Зацаринный, Ж.Л. Базарас и др. – М.: Наука, 1989. – 252 с;
15. T. Nareklishvili, M. Tsikarishvili, L. Zambakhidze, T. Magradze, A. Tsakadze, D. Kupatadze Experimental Research of fiber-Optical System of Concrete Constructions Monitoring," Problems of mechanics" international scientific journal №1(34), 2009, p. 84-89;
16. Грешников В. А. Дробот Ю. Б. Акустическая эмиссия. М: Из-во стандартов. 1976, 270 с;
17. Финкел В. М. Физика разрушения. рост трещин в твердых телаах. – М. Металургия 1980, 176 с;
18. Davis B. E. Davis H. E. Broun E. H. Plastic flour and Voleume change of Concrete // Soc. for. Test. Proc. 1987. p. 37;
19. Duneagan H. L. Harris D. O. Tetelman A. S. Detection of fatigue crack growth by acoustic emission techiques // Materials Evaluation: 1979. v. 28 #10. p. 221-227;
20. Egle D. M. Tatro C. A. Analyse of acoustic – emission strain waves // I Acoustical Soc. Am. 1987. v. 41. #2 p. 321-327;
21. Callis P. P. Disclotion monitions and acoustic emission // Materials Res. Stand. 1972 v. 11, #3 p/ 11-13;
22. Руайе Д. Дъелесан Э. Упругие волны в твердых телаах. Пер. с фран. М: Наука 1992, 385 с;
23. Джикариани А. В. Решенио сингулярных интегральных уравнений коллокационными методами. \\ ЖВМ и МФ, 1981, т 21, №2 с. 355-362;
24. Мосесов М. Д. Применение акустических методов для исследования процессов трещинообразования и механизма разрушения бетона \\ Автореф. дисс. канд. техн.наук. М. 1984, 19 с;
25. Weinger H., Klausen D. Ermudunge verhalten von beton. Auswirking einer Beanspruchung in Dauerfestigkeits-bereich // Betonwerk Ferigteil-Technik. H. U. 1989. S. 214-220;
26. Weinger H., Klausen D. Die Schallemissionsanalgye. Vefahen und anwendung bei Beton // Betonwerk Fertigteil-Texnic H12. 1990. S. 709-716;
27. Логунова В. А., Михалевская Н. В. Маслевцов А. В. Исследование долговременного сопротивления бетона с помощью метода акустической эмиссии \\ Известия ВНИИГ, СНТ. – 1986 т. 136 с. 106-110.

28. Геофизические системы контроля информации [Электронный ресурс]: сайт компании ООО "Геофизические системы контроля информации" – "GPIKO" – Режим доступа: <http://www.gpiko.ru/ru/Main/ContentPage/Monitoring>;
29. გ. წიქარიშვილი, გ. მანჯავიძე, გ. ვარდიაშვილი, ა. წაქაძე, თ. მაღრაძე ბაგირის ტესტირება და მონიტორინგი ბოჭოვან-ოპტიკური სენსორებით, სამეცნიერო-ტექნიკური ჟურნალი „მშენებლობა“ №3(14), თბილისი, 2009, გვ. 16-20;
30. Дашевский Е.М. Итерационный метод подконструкций для решения больших задач механики деформированного твердого тела [Текст] / Е.М. Дашевский // Проблемы прочности. – 1997. №2. С. 12-15;
31. Егоров Ф.А. Волоконно-оптическая система мониторинга в Москве: опыт, результаты и перспективы [Электронный ресурс] / Ф.А. Егоровб В.В. Жданов, А.П. Неугодников, В.И. Поспелов, А.М. Шахраманьян, Е.В. Чурдалев, А.И. Уваров // Технология строительство – М., 2007. – №6. Режим доступа: <http://www.mocent.ru/articles>;
32. Донец А.М. Геодезический мониторинг высотных зданий и сооружений с помощью высокоточных спутниковых методов [Электронный ресурс] / А.М. Донец // Геопрофи. – М; 2005. – №5. – С. 17-19. Режим доступа: <http://www.geoprofi.ru/geoprofi>;
33. Gordon S.J. Metric Performance of a High-Resolution Laser Scanner [text] / S.J. Gordon, D.D. Lichti, M.P. Stewart, M. Tsakiri // Proceedings of SPIE Electronic Imaging 2001 Conference. San Jose, California, USA, 2001. – P.11.